

สัญญาเลขที่ RDG5550072 V.1

### รายงานวิจัยฉบับสมบูรณ์

โครงการสมบัติของไบโอลาสติกอีลาสต์เมอร์สมรรถห่วงพอลิเเลคติกแอซิด  
และยางธรรมชาติอิพอกไซด์โดยใช้ไฟฟานียมไดออกไซด์  
เป็นสารตัวเติมเพื่อทำพิล์มคลุมดิน

Properties of Polylactic Acid/Epoxydized natural rubber  
Bioplastic Elastomer incorporating with  $\text{TiO}_2$  fillers  
for Mulch Film Application

คณะผู้วิจัย สังกัด

1. นางสาวปราณี นุยหยุ่น คณะวิทยาศาสตร์ มหาวิทยาลัยอุบลราชธานี
2. รศ.ดร. สายยันต์ แสงสุวรรณ คณะวิทยาศาสตร์ มหาวิทยาลัยอุบลราชธานี

ชุดโครงการ “โครงการวิจัยขนาดเล็กเรื่องยางพารา คณะวิทยาศาสตร์ มหาวิทยาลัยอุบลราชธานี”  
สนับสนุนโดยสำนักงานคณะกรรมการวิจัยแห่งชาติ (วช.)  
และสำนักงานกองทุนสนับสนุนการวิจัย (สกว.)  
(ความเห็นในรายงานนี้เป็นของผู้วิจัย วช-สวว. ไม่จำเป็นต้องเห็นด้วยเสมอไป)

## บทคัดย่อ

วัตถุประสงค์ของงานวิจัยนี้เพื่อลดความความpare และปรับปรุงเสถียรภาพทางความร้อนของพอลิแลคติกแอซิดโดยการเติมยางธรรมชาติอิพอกไซด์เป็นสารเพิ่มความเหนียว และให้ทนเนื้ยมได้ ออกไซด์เกรดรูไทร์เป็นสารเพิ่มความเสถียรต่อความร้อนและรังสีอุตสาหกรรม ไวโอลेट ทำการทดสอบพอลิเมอร์ระหว่าง PLA/ENR ที่อัตราส่วน 90/10 โดยแปรปนิดของยางธรรมชาติอิพอกไซด์ที่มีปริมาณอิพอกไซด์ที่ 25 และ 50% โดยโมลและปริมาณไทยเนื้ยมได้ออกไซด์ที่ 5-15 phr ซึ่งทำการทดสอบโดยใช้เครื่องอัตโนมัติสกรูที่อุณหภูมิ 155-165 องศาเซลเซียส ความเร็วรอบสกรู 40 รอบ/นาที ตัดเม็ดและอบไล่ความชื้นที่อุณหภูมิ 60 องศาเซลเซียส เป็นเวลา 24 ชั่วโมง จากนั้นขึ้นรูปพิล์มด้วยเครื่องรีดฟิล์มที่อุณหภูมิ 155-170 องศาเซลเซียส โดยใช้ลมสำหรับการหล่อเย็นของพิล์มและขึ้นรูปพิล์มมีความหนาเท่ากับ 50-80 ไมครอน ทำการทดสอบสมบัติทางความร้อน สมบัติเชิงกล ลักษณะสัณฐานวิทยา การทนต่อรังสียูวีและการย่อยสลายได้ในดิน จากการศึกษาพบว่าอัตราส่วนที่เหมาะสมสำหรับขึ้นรูปพิล์มคือ PLA/ENR50 (90/10) และเติมไทยเนื้ยมได้ออกไซด์ 10 phr ซึ่งพอลิแลคติกแอซิดเข้ากับยางธรรมชาติอิพอกไซด์ได้ดีที่ปริมาณอิพอกไซด์เท่ากับ 50% โดยโมล พอลิเมอร์ทดสอบส่วนส่วนใหญ่เป็นสัณฐานและยางธรรมชาติอิพอกไซด์เกิดการเชื่อมโยงระหว่างสายโซ่โมเลกุลกับพอลิแลคติกแอซิดได้ดี ในขณะที่ยางธรรมชาติอิพอกไซด์ที่ปริมาณอิพอกไซด์ 25% โดยโมล เข้ากับพอลิแลคติกแอซิดได้ไม่ดี เนื่องจากมีความเป็นข้าวที่ต่ำส่งผลทำให้สมบัติเชิงกลและเสถียรภาพทางความร้อนลดลง การเติม ENR50 และไทยเนื้ยมได้ออกไซด์ มีผลทำให้เสถียรภาพทางความร้อนเพิ่มขึ้นจากการทดสอบด้วยเทอร์โมกราฟิตริกเอนโนไลซิส พบว่าอุณหภูมิการสลายตัวที่ 5% โดยน้ำหนัก (Td,5%) มีแนวโน้มเพิ่มสูงขึ้นซึ่งสูงกว่า Neat PLA จาก 120.1 องศาเซลเซียส เป็น 284.7 องศาเซลเซียส นอกจากนี้ยังพบว่าความทนทานต่อแรงดึง ระยะยืด ณ จุดขาด 10% โมดูลัส และความทนทานต่อการฉีกขาดมีแนวโน้มเพิ่มขึ้นจาก 33.06 MPa, 3%, 0 Mpa, 212.46 mN เป็น 51.56 Mpa, 63.40%, 39.56 MPa และ 392.39 mN ตามลำดับ และมีค่ามากที่สุดที่ปริมาณไทยเนื้ยมได้ออกไซด์ เท่ากับ 10 phr ดังนั้นการเติมยาง ENR50 และไทยเนื้ยมได้ออกไซด์ทำให้พอลิแลคติกแอซิดมีความเหนียวและเสถียรภาพทางความร้อนเพิ่มขึ้นตามปริมาณไทยเนื้ยมได้ออกไซด์ที่เพิ่มขึ้นและมีค่าสูงกว่า neat PLA จากลักษณะสัณฐานวิทยาพบว่าพื้นผิวมีความราบรื่นและมีการกระจายของยางไปบนเนื้อร่องของพอลิแลคติกได้ดี แต่พิล์มดังกล่าวไม่ทนต่อการบ่มเร่งสภาวะด้วย QUV ซึ่งพิล์มแตกและเป็นผงเมื่อได้รับรังสียูวีและพิล์มที่ไม่ได้รับรังสียูวีสามารถย่อยสลายในดินได้ 23.49% ที่ระยะเวลาในการย่อยสลาย 5 เดือน อย่างไรก็ตามพบว่าการเติมยาง ENR และไทยเนื้ยมได้ออกไซด์สามารถเพิ่มความเหนียวและความร้อนของพอลิแลคติกแอซิดและพิล์มสามารถคงสภาพคงทนได้ในดินได้ภายหลังจากเสร็จสิ้นการใช้งาน

คำสำคัญ

ยางธรรมชาติอิพอกไซด์ พอลิแลคติกแอซิด ไทยเนื้ยมได้ออกไซด์ พิล์มคลุมดิน

## Abstract

The aim of this research was to reduce and improve the brittleness and thermal properties of poly lactic acid (PLA), respectively. Epoxidized natural rubber (ENR) was used to enhance the toughness and rutile titanium dioxide ( $\text{R-TiO}_2$ ) as filler was also incorporated to improve the thermal properties and ultraviolet stability of the PLA. 10wt% ENR with epoxidation contents of 25 mol% (ENR25) and 50 mol% (ENR50) and various  $\text{TiO}_2$  contents (0-15 phr) were compounded with PLA by using a twin-screw extruder at 155-165°C and a rotor speed of 40 rpm. The pellets of blends were dried in an oven of 24 h at 60 °C for removing of moisture before use. After that a thin film of 50-80  $\mu\text{m}$  thick was fabricated using a cast film extruder at 155-170°C and cooled down under air flow. Thermal and mechanical properties, morphology, ultraviolet radiation resistance and biodegradable of PLA/ENR/ $\text{R-TiO}_2$  thin film were investigated. The result showed that the optimal ratio was PLA/ENR50 (90/10 by weight) and 10 phr  $\text{R-TiO}_2$ . ENR50 exhibited a better compatible with PLA and all polymer blends were amorphous, thus the ENR was a good crosslinker with PLA. However, the PLA showed a poor compatibility with ENR25 owing to the decreasing of polar groups of ENR and resulted in the reduction in mechanical and thermal properties. The thermal stability of PLA/ENR50 was found to improve with addition of  $\text{R-TiO}_2$ . From thermo gravimetric analysis indicated that the addition of 10 phr  $\text{R-TiO}_2$  increased in the decomposition temperature at 5% weight loss ( $T_{d5\%}$ ) of PLA/ENR than that of neat PLA from 120.1 °C to 284.7 °C. Beside, tensile strength, elongation at break, 100% modulus and tear strength of PLA/ENR thin film were enhanced from 33.06 MPa, 3%, 0 Mpa, 212.46 mN to 51.56 Mpa, 63.40%, 39.56 MPa and 392.39 mN, respectively and presented a maximum value at 10phr  $\text{TiO}_2$ . From morphology study, the ENR 50 phase showed a good dispersion in PLA matrix but exhibited less resistance of QUV ageing resulting in cracking and dust of the film. After biodegradation, the non-UV radiation film can degrade under 5 months of 23.49%. In conclusion, the addition of ENR and  $\text{TiO}_2$  was found to enhance both toughness and thermal stability of PLA and the film can be buried and covered up/down in the land after finished from the use.

Keywords: epoxidized natural rubber; poly lactic acid; Titanium dioxide; Mulch film

## บทสรุปย่อรายงานสำหรับผู้บริหาร

ชื่อโครงการ (ภาษาไทย)	สมบัติของไบโอลาสติกอีลาสโตเมอร์สมรรถว่างพอลิแลคติกแอซิด และ ยางธรรมชาติอิพอกไซด์โดยใช้เท่านี่มไดออกไซด์เป็นสารตัวเติมเพื่อทำ พิล์มคลุมดิน
(ภาษาอังกฤษ)	Properties of Polylactic Acid/Epoxydized natural rubber Bioplastic Elastomer incorporating with TiO <sub>2</sub> fillers for Mulch Film Application
ชื่อหัวหน้าโครงการ หน่วยงานสังกัด และที่อยู่	
ชื่อ-สกุล	นางสาวปราณี นุยหยู
หน่วยงาน	ภาควิชาเคมี สาขาวิทยาศาสตร์และเทคโนโลยีการยาง คณะวิทยาศาสตร์ มหาวิทยาลัยอุบลราชธานี
ที่อยู่	85 ถ. ถนนมาร์ค ต. เมืองศรีโค  อ. วารินชำราบ จ.อุบลราชธานี 34190
โทรศัพท์	0-4535-4562 โทรศัพท์ 0-4528-8379 มือถือ 08-7061-1296
E-mail	: npranee-rubu@hotmail.co.th, <u>npranee@ubu.ac.th</u> , <u>npranee.rubu@gmail.com</u>
ผู้ร่วมวิจัย	รองศาสตราจารย์ ดร. สายันต์ แสงสุวรรณ
นักศึกษา	นางสาวศิริกา ทองบุตร นายกิตติกร สโมสร และนายกิตติศักดิ์ ศรีลathaong
งบประมาณทั้งโครงการ	140,000 บาท
ระยะเวลาดำเนินการ	12 เดือน ตั้งแต่วันที่ 1 สิงหาคม 2555 ถึงวันที่ 31 กรกฎาคม 2556

### ปัญหาที่ทำวิจัยและความสำคัญ

เกษตรกรในภาคตะวันออกตะวันออกเฉียงเหนือประสบปัญหาการเพาะปลูกพืชในฤดูร้อนเนื่องจาก ความชื้นในดินต่ำ จึงมีความจำเป็นในการใช้วัสดุคลุมดินในการเพาะปลูก ซึ่งพิล์มคลุมดินที่ผลิตจากพอลิ เมอร์ที่ไม่สามารถถ่ายอุ่นสลายได้ทางชีวภาพจะมีปัญหาในด้านการกำจัดและส่งผลกระทบต่อสิ่งแวดล้อม การใช้พิล์มที่ผลิตจากพลาสติกย่อยสลายได้ทางชีวภาพจะช่วยลดขั้นตอนการเก็บและกำจัดพิล์มภายหลัง เสร็จสิ้นการใช้งาน เนื่องจากสามารถกำจัดโดยการไฟฟาร์นลงดินได้โดยตรง แต่อย่างไรก็ตามพอลิแลคติก แอซิดยังมีข้อด้อยในด้านความมีระดับ การตีกลีกต่ำ จึงเติมยางธรรมชาติมาดัดแปลงโครงสร้างโดยการเติม หมู่อิพอกไซด์ลงไป ทำให้การทนทานต่อความร้อนเพิ่มสูงขึ้นและเมื่อผสมกับพอลิเมอร์ดังกล่าวสามารถ ปรับปรุงความเนียนของพอลิแลคติกแอซิดได้ดี เมื่อนำมาทำการขึ้นรูปเป็นพิล์มทำให้พิล์มที่ได้มีความ เนียนยวเพิ่มขึ้น แต่พิล์มที่ได้ยังทนต่อความร้อนและรังสีอุลตราไวโอเลตต่ำจึงได้มีการนำเท่านี่มได ออกไซด์เป็นสารตัวเติมเพิ่มการทนทานต่อรังสีอุลตราไวโอเลตให้เพิ่มขึ้น ดังนั้นในงานวิจัยนี้มี วัตถุประสงค์เพื่อศึกษาการเตรียมไบโอลาสติกอีลาสโตเมอร์ระหว่างพอลิแลคติกแอซิดและยาง ธรรมชาติอิพอกไซด์โดยใช้เท่านี่มไดออกไซด์ จากนั้นทำการทดสอบสมบัติทางกายภาพ สมบัติทาง ความร้อนและสมบัติเชิงกลของพอลิเมอร์ผสมที่ได้เพื่อใช้เป็นข้อมูลสำหรับการประยุกต์ใช้ทำพิล์มคลุมดิน วัตถุประสงค์

เพื่อเตรียมพิล์มให้มีความเนียนยวและทนทานต่อเสถียรภาพเชิงความร้อนและรังสีอุลตราไวโอ เลตเพิ่มขึ้น

## ผลการดำเนินงาน

การศึกษาการเตรียมพอลิเมอร์สมรรถห่วง PLA/ENR โดยใช้เทาเนียมไดออกไซด์เป็นสารเพิ่มความเสถียรต่อรังสียูวี (UV) ซึ่งทำการทดสอบพอลิเมอร์ระหว่าง PLA/ENR ที่อัตราส่วน 90/10 โดยแบ่งชนิดของยางธรรมชาติอิพอกไซด์ที่มีปริมาณอิพอกไซด์ที่ 25 และ 50% โดยโมลและแบรปริมาณเทาเนียมไดออกไซด์ที่ 5-15 phr ซึ่งทำการทดสอบโดยใช้เครื่องอัครีดสกรูคู่ที่อุณหภูมิ 155-165 องศาเซลเซียส ความเร็วอบสกรู 40 รอบ/นาที ตัดเม็ดและอปไล่ความชื้นที่อุณหภูมิ 60 องศาเซลเซียส เป็นเวลา 24 ชั่วโมง จากนั้นขึ้นรูปฟิล์มด้วยเครื่องรีดฟิล์ม ที่อุณหภูมิ 155-170 องศาเซลเซียส โดยใช้ลมสำหรับการหล่อเย็นของฟิล์มและขึ้นรูปฟิล์มมีความหนาเท่ากับ 50-80 ไมครอน จากการศึกษาการเตรียมพิล์มคลุมดินจากพอลิเมอร์สมรรถห่วง PLA/ENR และใช้เทาเนียมไดออกไซด์เป็นสารเพิ่มเสถียรต่อรังสียูวี จากการศึกษาพบว่าอัตราส่วนที่เหมาะสมสำหรับขึ้นรูปฟิล์มคือ PLA/ENR50 (90/10) และเติมเทาเนียมไดออกไซด์ 10 phr ซึ่งพอลิแลคติกแอชิดเข้ากับยางธรรมชาติอิพอกไซด์ที่ปริมาณอิพอกไซด์เท่ากับ 50% โดยโมล พอลิเมอร์ผสมส่วนใหญ่เป็นสันฐานและยางธรรมชาติอิพอกไซด์ที่ปริมาณอิพอกไซด์ 25% โดยโมล เข้ากับพอลิแลคติกแอชิดได้ดีในขณะที่ยางธรรมชาติอิพอกไซด์ที่ปริมาณอิพอกไซด์ 50% โดยโมล เข้ากับพอลิแลคติกแอชิดได้มีดีเนื่องจากมีความเป็นขั้วที่ต่ำส่งผลทำให้สมบัติเบิงกลและเสถียรภาพทางความร้อนลดลง การเติม ENR50 และเทาเนียมไดออกไซด์ มีผลทำให้เสถียรภาพทางความร้อนเพิ่มขึ้นจากการทดสอบด้วยเทอร์โมกราวิเมตริกแอนนาไลซ์ พบว่าอุณหภูมิการสลายตัวที่ 5% โดยน้ำหนัก (Td,5%) มีแนวโน้มเพิ่มสูงขึ้นซึ่งสูงกว่า Neat PLA นокจากนี้พบว่าความทนทานต่อแรงดึง ระยะยืด ณ จุดขาด 10% โมดูลัส และความทนทานต่อการฉีกขาดมีแนวโน้มเพิ่มขึ้นและมีค่ามากที่สุดที่ปริมาณเทาเนียมไดออกไซด์ เท่ากับ 10 phr ดังนั้นการเติมยาง ENR50 และเทาเนียมไดออกไซด์สามารถทำให้พอลิแลคติกแอชิดมีความเหนียวและเสถียรภาพทางความร้อนเพิ่มขึ้นตามปริมาณเทาเนียมไดออกไซด์ที่เพิ่มขึ้นและมีค่าสูงกว่า neat PLA เนื่องจากลักษณะสันฐานวิทยาของพอลิเมอร์ผสมที่ส่องด้วยกล้องจุลทรรศน์อิเล็กตรอนแบบส่อง粒ด พบร่วมผืนมีความราบเรียบและมีการกระจายของยางไปบนเมทริกซ์ของพอลิแลคติกได้ดี แต่ฟิล์มดังกล่าวไม่ทนต่อการบ่มเร่งสภาพด้วย QUV ซึ่งฟิล์มแตกและเป็นผงเมื่อได้รับรังสียูวีและฟิล์มที่ไม่ได้รับรังสียูวี ฟิล์ม PLA/ENR25/TiO<sub>2</sub> = 10 phr สามารถย่อยสลายในดินได้ 23.49% ในขณะที่ PLA/ENR50/TiO<sub>2</sub> = 10 phr สามารถย่อยสลายในดินได้ 8.97% ที่ระยะเวลาในการย่อยสลาย 5 เดือน และมีต้นทุนแพงกว่าฟิล์มคลุมดินที่มีจำหน่ายตามท้องตลาด เท่ากับ 113.22 บาท/กิโลกรัม

## สรุปผลการวิจัย

จากการศึกษาพบว่าอัตราส่วนที่เหมาะสมสำหรับขึ้นรูปฟิล์มคือ PLA/ENR50 (90/10) และเติมเทาเนียมไดออกไซด์ 10 phr การเติม ENR50 และเทาเนียมไดออกไซด์ มีผลทำให้เสถียรภาพทางความร้อนเพิ่มขึ้นซึ่งมีอุณหภูมิการสลายตัวที่ 5% โดยน้ำหนัก (Td,5%) มีแนวโน้มเพิ่มสูงขึ้น ฟิล์มมีความทนทานต่อแรงดึง ระยะยืด ณ จุดขาด 10% โมดูลัส และความทนทานต่อการฉีกขาดมีแนวโน้มเพิ่มขึ้น แต่ฟิล์มดังกล่าวไม่ทนต่อการบ่มเร่งสภาพด้วย QUV ซึ่งฟิล์มแตกและเป็นผงเมื่อได้รับรังสียูวี และฟิล์มที่ไม่ได้รับรังสียูวี ฟิล์ม PLA/ENR25/TiO<sub>2</sub> = 10 phr สามารถย่อยสลายในดินได้ 23.49%

ในขณะที่ PLA/ENR50/TiO<sub>2</sub> = 10 phr สามารถย่อออยสลายในดินได้ 8.97% ที่ระยะเวลาในการย่อออยสลาย 5 เดือน และมีต้นทุนแพงกว่าฟิล์มคลุมดินที่มีจำนวนต่ำท้องตลาด เท่ากับ 113.22 บาท/กิโลกรัม

**ข้อเสนอแนะที่คาดว่าควรวิจัยเพิ่มเติม และวิธีการที่ควรพัฒนาต่ออยอดสูงภาคปฏิบัติจริง**

การศึกษาพบว่า Yang ธรรมชาติอิพอกไซด์กราฟเจตัวในเมทริกซ์ของโพลีแลคติกแอชิดไม่สม่ำเสมอส่งผลให้สมบัติเชิงกลที่ได้มาดีเท่าที่ควรแต่อย่างไรก็ตามการเติม Yang ธรรมชาติอิพอกไซด์สามารถปรับปรุงสมบัติทางความร้อนและเชิงกลให้เพิ่มขึ้นได้ ดังนั้นควรหาวิธีการที่ทำให้ Yang ธรรมชาติอิพอกไซด์มีขนาดเล็กลงหรือทำเป็น Yang ธรรมชาติอิพอกไซด์ผงเพื่อเพิ่มประสิทธิภาพในการเข้ากันได้ของโพลีเมอร์ผสมและสามารถขึ้นรูปฟิล์มให้มีประสิทธิภาพได้ดีและจากการวิจัยพบว่าฟิล์มที่ได้ไม่นานต่อรังสียูวีทำให้ฟิล์มแตกได้ง่าย ดังนั้นควรมีการศึกษาระยะเวลาที่เหมาะสมที่ฟิล์มสามารถสัมผัสรับรังสียูวีสำหรับการนำไปใช้งานได้จริง หากพบว่าฟิล์มที่ได้มีระยะเวลาในการสัมผัสรับรังสียูวีได้ในช่วงระยะเวลาสั้นๆ ควรมีการเปลี่ยนแปลงวัตถุประสงค์ของการใช้งานโดยนำไปคลุมดินสำหรับพืชที่ไม่ต้องการสัมผัสรับรังสียูวี เช่น แครอฟฟ์ฟิล์มดังกล่าวมีความเหมาะสมสำหรับการนำไปใช้งานในส่วนของการย่อออยสลายนั้นจะเห็นได้ว่าโพลีแลคติกแอชิดและ Yang ธรรมชาติอิพอกไซด์จะย่อออยสลายได้ยากในดินดังนั้นควรมีการศึกษาการนำเอนไซม์มาใช้สำหรับการย่อออยฟิล์มดังกล่าวเพื่อเพิ่มประสิทธิภาพในการนำไปใช้งานและเป็นประโยชน์ต่ออุตสาหกรรม

## สารบัญ

	หน้า
<b>บทคัดย่อ</b>	3
<b>Abstract</b>	4
<b>หน้าสรุปโครงการ</b>	5
<b>บทที่ 1 บทนำ</b>	
1.1 ความสำคัญและที่มาของปัญหาที่ทำการวิจัย	9
1.2 วัตถุประสงค์ของโครงการ	9
1.3 ขอบเขตของการวิจัย	10
1.4 ประโยชน์ที่คาดว่าจะได้รับ	10
1.5 ผลงานวิจัยที่เกี่ยวข้อง	15
<b>บทที่ 2 สารเคมี อุปกรณ์และวิธีดำเนินการวิจัย</b>	
2.1 วัสดุและสารเคมี	22
2.2 อุปกรณ์	22
2.3 วิธีดำเนินการวิจัย	25
<b>บทที่ 3 ผลการทดลองและวิจารณ์ผลการทดลอง</b>	
3.1 ผลการทดสอบสมบัติของพอลิเมอร์สมรรถนะว่างพอลิแลคติกแอซิดและ ยางธรรมชาติอิพอกไซด์โดยใช้ไทยเนียมไดออกไซด์เป็นสารตัวเติม	39
3.2 ผลการทดสอบสมบัติของฟิล์มจากพอลิเมอร์สมรรถนะว่างพอลิแลคติกแอซิด และยางธรรมชาติอิพอกไซด์โดยใช้ไทด์เนียมไดออกไซด์เป็นสารตัวเติม	52
3.3 ทดสอบการย่อยสลายได้ทางชีวภาพตามมาตรฐาน EN-13655	69
3.4 การทดสอบสมบัติการดูดซึมน้ำ (Water absorption) ของแผ่นฟิล์ม	73
3.5 การย่อยสลายผ่านกระบวนการไฮโดรไลซีส (Hydrolysis)	76
3.6 การทนต่อรังสีอุลตรaviolet ไวโอเลตด้วย QUV ตามมาตรฐาน ASTM G 154	83
3.7 สมบัติของฟิล์ม PLA/ENR ที่เติมไทด์เนียมไดออกไซด์หลังผ่านดิน	84
3.8 วิเคราะห์ความคุ้มค่าทางเศรษฐศาสตร์	100
<b>บทที่ 4 สรุปผลการทดลองและข้อเสนอแนะสำหรับงานวิจัยในอนาคต</b>	102
<b>เอกสารอ้างอิง</b>	103
<b>ภาคผนวก</b>	108

## บทที่ 1

### บทนำ

#### 1.1 ความสำคัญและความเป็นมาของการวิจัย

เกษตรกรในภาคตะวันออกเฉียงเหนือประสบปัญหาการเพาะปลูกพืชในฤดูร้อนเนื่องจากความชื้นในดินต่ำ จึงมีความจำเป็นในการใช้วัสดุคลุมดินในการเพาะปลูก ซึ่งพื้นที่ลักษณะพื้นที่ที่ผลิตจากพอลิเมอร์ที่ไม่สามารถย่อยสลายได้ทางชีวภาพจะมีปัญหาในด้านการกำจัดและส่งผลกระทบต่อสิ่งแวดล้อม เช่นพอลิเอทิลีนชนิดความหนาแน่นต่ำ จัดเป็นพลาสติกที่มีความยืดหยุ่นดี และมีความแข็งแรง ในปัจจุบันจึงได้มีการผลิตพลาสติกย่อยสลายได้ทางชีวภาพเพื่อประยุกต์ใช้ทางการเกษตร เช่น พีล์มพอลิแลคติกแอซิต (Poly(lactic acid), PLA) เป็นพอลิเอสเทอร์แบบกึ่งผลึกที่ย่อยสลายได้ทางชีวภาพ [1] การใช้พีล์มที่ผลิตจากพลาสติกย่อยสลายได้ทางชีวภาพจะช่วยลดขั้นตอนการเก็บและกำจัดพีล์มภายหลังเสร็จสิ้นการใช้งาน เนื่องจากสามารถกำจัดโดยการไถพรวนลงดินได้โดยตรงช่วยป้องกันการสูญเสียแร่ธาตุและสารอาหารบริเวณหน้าดินซึ่งมักเกิดขึ้นในขั้นตอนการเก็บและกำจัดพีล์มนอกจากนี้ยังมีการนำพลาสติกย่อยสลายได้มาใช้เป็นวัสดุควบคุมการปลดปล่อยสารสำคัญ เช่น ตัวยาปุ๋ย สารเคมีสำหรับการเกษตร [2] แต่อย่างไรก็ตามพอลิแลคติดีไซด์ยังมีข้อด้อยในด้านความ persistence การตีกลีกตัวและมีราคาที่สูง ซึ่งสามารถแก้ไขสมบัติความแข็งและ Persistence ได้โดยการเติมอิเลสโตเมอร์ (elastomer) ที่มีความยืดหยุ่นลงไป เช่น ยางธรรมชาติ (Natural rubber, NR) ยางบิวทาไดอีน (butadiene rubber, BR) เป็นต้น แต่อิเลสโตเมอร์เหล่านี้ไม่ทนต่อความร้อนและสภาพแวดล้อมเนื่องจากมีพันธะคู่อยู่ในโครงสร้าง [3] จึงเป็นข้อจำกัดในการนำไปใช้งาน สามารถแก้ไขปัญหาดังกล่าวได้โดยการนำยางธรรมชาติตัดแบ่งโครงสร้างโดยการตีมหุ้น อิพโอดิไซด์ลงไป ทำให้การทนทานต่อความร้อนเพิ่มสูงขึ้นและเมื่อผสมกับพอลิเมอร์ดังกล่าวสามารถปรับปรุงความเหนียวของพอลิแลคติกแอซิตได้ดี เมื่อนำมาทำการขึ้นรูปเป็นพีล์มทำให้พีล์มที่ได้มีความเหนียวเพิ่มขึ้น แต่พีล์มที่ได้ยังทนต่อความร้อนและรังสีอุตตราไวโอเลตต่ำจึงได้มีการนำไฟฟ้าเนียมไดออกไซด์เป็นสารตัวเติมเพิ่มการทนทานต่อรังสีอุตตราไวโอเลตให้เพิ่มขึ้นเนื่องจากผงไฟฟ้าเนียมไดออกไซด์เป็นผงสีขาวที่มีค่าดัชนีการหักเหสูงกว่าผงสีขาวชนิดอื่นๆ มีความทึบแสงส่งผลให้สามารถสะท้อนรังสีอาทิตย์ (Solar reflectance) ได้สูงกว่าชนิดอื่นๆ [4] (Changzhen et al, 2012) สามารถสะท้อนแสงในช่วงสายตามองเห็นได้ซึ่งสามารถลดปริมาณความร้อนที่สะสมบนแผ่นพีล์มได้อีกทั้งยางธรรมชาติมีสมบัติเด่นทางด้านความเป็นฉนวนความร้อนที่ต่ำ ซึ่งสามารถลดพลังงานความร้อน ปริมาณความร้อนที่ถ่ายเทจากภายนอกเข้าสู่ภายในพีล์มได้ ทำให้อุณหภูมิภายในลดลง ทำให้สามารถรักษาความชื้นของดินได้ดี หมายความสำหรับการนำไปใช้ประโยชน์พีล์มคลุมดินเพื่อใช้งานทางการเกษตร

ดังนั้นในงานวิจัยนี้มีวัตถุประสงค์เพื่อศึกษาการเตรียมใบโพลิเอสโตเมอร์ระหว่างพอลิแลคติกแอซิตและยางธรรมชาติอิพโอดิไซด์โดยใช้ไฟฟ้าเนียมไดออกไซด์เป็นสารตัวเติมเพื่อประยุกต์ใช้ทำพีล์มคลุมดินโดยทำการผสมด้วยเรื่องอัตรีสกรูคู่ (Twin screw extruder) และการขึ้นรูปด้วยกระบวนการเป่าพีล์ม (Blow film) จากนั้นทำการทดสอบสมบัติทางกายภาพ สมบัติทางความร้อน และสมบัติเชิงกลของพอลิเมอร์ผสมที่ได้เพื่อใช้เป็นข้อมูลสำหรับการประยุกต์ใช้ทำพีล์มคลุมดิน

## 1.2 วัตถุประสงค์

เพื่อเตรียมพิล์มให้มีความเนียนยวและทนทานต่อเสถียรภาพเชิงความร้อนและรังสีอุตตราไวโอลีเตเพิ่มขึ้น

## 1.3 ขอบเขตการวิจัย

1.3.1 คันคัวเอกสารที่เกี่ยวข้องและเตรียมอุปกรณ์และสารเคมีต่างๆที่ใช้ในการทดลอง

1.3.2 ทำการศึกษาปริมาณในการเติมไทดานเนียมไดออกไซด์ลงในพอลิเมอร์สมาระหว่าง PLA/ENR โดยใช้ PLA/ENR ที่อัตราส่วน 90/10 และใช้ย่าง ENR 2 เกรด คือ ENR25 และ ENR50 โดยเติมปริมาณของไทดานเนียมไดออกไซด์ 0-15 phr

1.3.3 ทดสอบสมบัติทางกายภาพ สมบัติทางเคมี สมบัติทางเชิงกล และสมบัติทางความร้อน ของพอลิเมอร์สม

1) สมบัติทางกายภาพ ได้แก่ ดัชนีการไหลของพอลิเมอร์ (Melt flow index, MFI) ASTM D 1238-98

2) สมบัติเชิงกล ได้แก่ ความทนทานต่อแรงดึง (Tensile strength) ASTM D 638 ความทนทานต่อการฉีกขาด (Tear strength) ASTM D 624 การทนต่อแรงกระแทก (Impact strength) ASTM D6110 มอดูลัส (Modulus) เป็นต้น

3) สมบัติทางเคมี ได้แก่ วิเคราะห์โครงสร้างทางเคมีด้วยเทคนิค FT-IR

4) สมบัติทางความร้อน ได้แก่ หาอุณหภูมิหลอมเหลวผลึกและอุณหภูมิการเปลี่ยนแปลงสถานะคล้ายแก้วด้วยเทคนิคดิฟเฟอร์เรนเซียลสแกนนิ่งแคลอริมิเตอร์ (Differential Scanning Calorimetry, DSC) ที่อุณหภูมิ -60 ถึง 200 องศาเซลเซียส ทดสอบอุณหภูมิการสลายตัวด้วยเทคนิคเทอร์โมกราฟิเมตริกแอนนาไลซิส (Thermo Gravimetric Analysis, TGA) ที่อุณหภูมิ ห้องถึง 600 องศาเซลเซียส

1.3.4 หาสภาวะที่เหมาะสมในการขึ้นรูปพอลิเมอร์สมาระหว่างพอลิแลกติกแอชิด ยางธรรมชาติอิพอกไซด์ และไทดานเนียมไดออกไซด์ในกระบวนการขึ้นรูปแบบเบ้าพิล์มโดยเตรียมพิล์มที่มีความหนา 50-80 ไมครอน

1.3.5 ทดสอบสมบัติทางกายภาพและสมบัติเชิงกลและทางความร้อนของพิล์มที่ได้จากการขึ้นรูปโดยกระบวนการขึ้นรูปพิล์มโดยวิธีการ Cast Film และพิล์มคลุมดินที่ผลิตจำหน่ายในทางการค้า เช่น พิล์มคลุมดินชนิด LDPE

1) สมบัติทางกายภาพ ได้แก่ ความหนา (Thickness) ISO 4593 ความหนาแน่น (Density) ASTM D792 ลักษณะทางสัณฐานวิทยาด้วยกล้องจุลทรรศน์อิเล็กตรอนแบบส่อง粒 (Scanning electron microscope, SEM) และศักขลาลักษณะพื้นผิวด้วยเครื่อง AFM

2) สมบัติเชิงกล ได้แก่ ความทนทานต่อแรงดึง (Tensile strength) ASTM D 882 ความทนทานต่อการฉีกขาด (Tear strength) ตามมาตรฐาน ASTM D 1922 เป็นต้น

3) สมบัติทางเคมี ได้แก่ วิเคราะห์โครงสร้างทางเคมีด้วยเทคนิค FT-IR วิเคราะห์หาปริมาณของผลึกด้วยเทคนิค XRD

4) สมบัติทางความร้อน ได้แก่ หาอุณหภูมิหลอมเหลวผลึกและอุณหภูมิการสลายตัวด้วยเทคนิคดิฟเฟอร์เรนเซียลสแกนนิ่งแคลอริมิเตอร์ (Differential Scanning Calorimeter, DSC) ที่อุณหภูมิ -60 ถึง 200 องศาเซลเซียส ทดสอบอุณหภูมิการสลายตัวด้วยเทคนิคเทอร์โมกราฟิเมตริกแอนนาไลซิส (Thermo Gravimetric Analysis, TGA)

เมตริกแอนนาไอลเซอร์ (Thermo Gravimetric Analyzer, TGA) ที่อุณหภูมิ ห้องถึง 600 องศาเซลเซียส

1.3.6 ทดสอบการทนต่อรังสีอุลตราไวเลตด้วย QUV ตามมาตรฐาน ASTM G 154

1.3.7 ทดสอบการย่อยสลายได้ทางชีวภาพ ตามมาตรฐาน EN-13655 ทดสอบโดยการนำฟิล์มไป放進ดินที่ทำการปลูกพืช ระยะเวลา 10 เดือนต่อเดือน ตามระยะเวลาที่ทำการศึกษา แล้วทดสอบสมบัติเชิงกลของฟิล์ม และดูลักษณะสัณฐานวิทยาของฟิล์ม หลังจากน้ำผึ้งลงเป็นเดินที่ระยะเวลาต่างๆ กัน เช่น 0-124 วัน และพิจารณาการเปลี่ยนแปลงของสมบัติดังกล่าว [5] ดังนี้

1.3.7.1) สมบัติเชิงกล ได้แก่ ความทนทานต่อแรงดึง (Tensile strength) ASTM D882 ก่อนและหลังการ放進ดิน

1.3.7.2) วิเคราะห์โครงสร้างทางเคมี ได้แก่ เครื่องฟูเรียร์ ทรานส์ฟอร์ม อินฟราเรด สเปกโตรไฟโต-มิเตอร์ (Fourier Transform Infared Spectrometer, FT-IR) และการวิเคราะห์โครงสร้างผลึกของสารประกอบด้วยเครื่องเอ็กซ์เรย์ แฟรกโตมิเตอร์ (X-ray Diffractrometer, XRD)

1.3.7.3) สมบัติทางกายภาพ ได้แก่ ลักษณะการเข้ากันได้ด้วยกล้องจุลทรรศน์ อิเล็กตรอนแบบส่องกราด (Scanning electron microscope, SEM) ทดสอบการดูดซับน้ำ (Water adsorption) ทดสอบการไฮโดรไลซิส (Hydrolysis) และ น้ำหนักที่หายไป (Weight loss)

1.3.7.4) สมบัติทางความร้อน ได้แก่ หาอุณหภูมิหลอมเหลวพลีกและอุณหภูมิกลาส ทรานซิชั่นด้วยเทคนิคดิฟเฟอร์เรนเชียล สแกนนิ่ง แคลอริมิเตอร์ (Differential- Scanning Calorimeter, DSC) ทดสอบอุณหภูมิการสลายตัวด้วยเทคนิคเทอร์โมกราฟิเมตريกแอนนาไอลเซอร์ (Thermo Gravimetric Analyzer, TGA)

1.3.8 รวบรวม ผลการทดลองและการทดสอบ และวิเคราะห์ความคุ้มค่าทางเศรษฐศาสตร์

7. วิเคราะห์ วิจารณ์ และสรุปผลการดำเนินการวิจัย

8. จัดทำรูปเล่มรายงาน

9. ทำการเผยแพร่/ถ่ายทอดเทคโนโลยี

#### 1.4 ทฤษฎี แนวคิดในการทำวิจัย

ประเทศไทยจัดเป็นประเทศที่ทำการเกษตรเป็นอาชีพหลักและสร้างรายได้ให้กับประชาชนของประเทศไทยในทุกภูมิภาค ซึ่งในแต่ละภูมิภาคจะมีอาชีพที่แตกต่างกันออกไป เช่น ภาคใต้ทำการสวนยางพารา ปาล์มน้ำมัน เนื่องจากมีสภาพแวดล้อมและความอุดมสมบูรณ์ของดินเหมาะสมแก่การเพาะปลูก ในขณะ ภาคตะวันออก ปลูกสวนยางพารา ปลูกอ้อย และข้าวโพด ภาคตะวันออกเฉียงเหนือปลูกข้าว และภาคเหนือ ปลูกพืชผักสวนครัวและผลไม้เป็นอาชีพหลัก เป็นต้น ทั้งนี้ขึ้นอยู่กับสภาพอากาศ เมื่อพิจารณาโดยรวมของประเทศไทยแล้วพบว่าประเทศไทยเป็นประเทศเขตร้อนเมื่อเทียบกับประเทศอื่นๆ ซึ่งความร้อนที่ได้รับส่วนใหญ่มาจากแสงดวงอาทิตย์ส่อง過來ให้พืชต่างๆ ทำการเพาะปลูกเกิดการสูญเสียน้ำ เนื่องจากได้รับความร้อนทำให้มีความชื้นในดินต่ำ โดยเฉพาะในภาคตะวันออกและภาคใต้ ที่มีปริมาณฝนน้อยมาก ผลทำให้ความชื้นในดินต่ำ จึงมีความจำเป็นในการใช้วัสดุคลุมดินในการเพาะปลูก ซึ่งพิล์มคลุมดินที่ผลิตจากพอลิเมอร์ที่ไม่สามารถย่อยสลายได้ทางชีวภาพจะมีปัญหาในด้านการกำจัด และส่งผลกระทบต่อสิ่งแวดล้อม เช่น พอลิเอทิลีนชนิดความหนาแน่นต่ำ (Low density polyethylene) จัดเป็นพลาสติกที่มีความยืดหยุ่นดี และมีความแข็งแรง หมายความว่าการนำไปใช้งานซึ่ง

โดยรวมพบว่าปริมาณการใช้พลาสติกทั่วโลกมีอัตราการเติบโตสูงมาก กำลังการผลิตพลาสติกในโลกปี ก.ศ. 2003 เป็นปริมาณ 169 ล้านตัน และปัจจุบันสูงกว่า 200 ล้านตัน/ปี โดยมีการเติบโตเพิ่มขึ้น ประมาณร้อยละ 5 ระหว่างปี ก.ศ. 1985 - ก.ศ. 2000 และคาดการว่าจะสูงขึ้นต่อไปอีกในอนาคต นอกจากมีการเติบโตเร็วที่สุดแล้วยังก่อให้เกิดปัญหาด้านสิ่งแวดล้อม ไม่ว่าจะเป็นเรื่องผลกระทบทางอากาศ (เช่น สภาวะโลกร้อนจากการเพิ่มขึ้นของก๊าซคาร์บอนไดออกไซด์ การลดลงของโอโซน หมอกควันจากการเผาผลาญเชื้อเพลิง) ปัญหาทรัพยากรน้ำ (เช่น แหล่งน้ำมีความเป็นกรดหรือมีแร่ธาตุมากเกินไปซึ่งเป็นอันตรายต่อสิ่งมีชีวิตในน้ำ) ปัญหาทรัพยากรดินและน้ำ (เช่น การสะสมของพลาสติกที่ไม่ย่อยสลาย) จัดว่าเป็นอีกประเด็นหนึ่งที่เราได้ตระหนักรถ แนวทางแก้ไขเพื่อให้ส่งผลกระทบต่อสิ่งแวดล้อมน้อยที่สุด

พลาสติกที่ได้มาจากการเผาไหม้เป็นวัสดุที่มีการนำมาใช้งานเพิ่มสูงขึ้น ทั้งนี้เนื่องจากสมบัติส่วนใหญ่ของพลาสติกที่มีความคงทนต่อการย่อยสลาย และขั้นรูปเป็นผลิตภัณฑ์รูปร่างต่างๆ ได้ง่าย กว่าวัสดุชนิดอื่น จึงทำให้พลาสติกเป็นวัสดุที่ผู้คนส่วนใหญ่นิยมนำมาใช้งาน แต่ผลิตภัณฑ์พลาสติกที่ผลิตส่วนใหญ่ถูกออกแบบมาให้ใช้แล้วทิ้งภายในครั้งเดียว จึงส่งผลให้กลไกเป็นขยายเพิ่มสูงขึ้นในทุกปี ซึ่งก่อให้เกิดปัญหาปริมาณของขยะพลาสติกที่ไม่ย่อยสลายเพิ่มมากขึ้น ซึ่งก่อให้เกิดมลพิษต่อสิ่งแวดล้อม จากปัญหาน้ำมันพลาสติกที่ไม่เกิดการย่อยสลายหรือย่อยสลายได้ยากและก่อให้เกิดปัญหาต่อสิ่งแวดล้อมซึ่งส่งผลให้เกิดภาวะโลกร้อน ในหลายประเทศทั่วโลกได้ให้ความสนใจเกี่ยวกับพลาสติกที่ย่อยสลายได้ทางชีวภาพมากขึ้นและมีการรณรงค์การใช้พลาสติกชีวภาพมากขึ้น เนื่องจากสามารถย่อยสลายได้ทางชีวภาพและเป็นมิตรต่อสิ่งแวดล้อม และพลาสติกที่ย่อยสลายได้ทางชีวภาพหลายชนิดได้ถูกผลิตขึ้น สามารถนำไปใช้งานได้หลากหลาย โดยมีพลาสติกที่ย่อยสลายได้ทางชีวภาพที่ถูกผลิตขึ้นในทางการค้าแล้ว เช่น พอลิไฮดรอกซิลแอลกanoate (Polyhydroxylalkanoate, PHA) พอลิแลกติกแอซิด (Polylactic Acid, PLA) และพอลิคิปโรแลกตอน (Polycaprolactone, PCL) พอลิแลกติกแอซิด (Polylactic Acid, PLA) เป็นพอลิเอสเทอร์แบบกึ่งผลึกที่ย่อยสลายได้ทางชีวภาพ ที่ได้รับความสนใจมาก เนื่องจากพอลิแลกติกแอซิด (Polylactic acid, PLA)s หรือ พอลิแลกไทด์ (Polylactide) เป็นเทอร์โมพลาสติก พอลิเอสเทอร์อะลิฟาติกแบบเส้นตรงโดยมีสมบัติเชิงกลสูงเทียบเท่าหรือสูงกว่าพลาสติกทางการค้า [1] เช่น พอลิเอธิลีน (Polyethylene, PE) พอลิไพรพิลีน (Polypropylene, PP) พอลิสไตรีน (Polystyrene, PS) และเทอร์โมพลาสติกชนิดอื่นๆ ซึ่งได้มาจากการพอลิเมอร์ไรเซนชัน (Polymerization) จากแลกไทด์ PLA มีโครงสร้างการจัดเรียงตัว 2 แบบ คือ D และ L ทั้งนี้ขึ้นอยู่กับการสังเคราะห์และตัวเร่งปฏิกิริยาที่ใช้ และโไฮ莫พอลิเมอร์ของ-l-lactide (PLLA) เป็นพอลิเมอร์แบบกึ่งผลึก ในขณะที่ Poly(dl-lactide) (PDLLA) อนุพันธ์ D,L จะเป็น mesometric และ racemic เป็นพอลิเมอร์แบบสัณฐาน และมีหมู่เมทธิล (Methyl group) ซึ่งจัดเรียงตัวเป็นแบบ Syndiotacticity และ atacticity ในขณะที่ PLLA มีสมบัติการทนทานต่อแรงดึงสูง เปอร์เซ็นต์การยืดตัว ณ จุดขาดตัว และค่ามอดูลัส (Modulus) สูง PDLLA มีค่าการทนทานต่อแรงดึงตัว เบอร์เซ็นต์การยืดตัว ณ จุดขาดสูง และสามารถย่อยสลายได้ภายในเวลาที่รวดเร็ว ใช้สำหรับระบบการปลดปล่อยยาพอลิแลกไทด์ มีความเป็นผลึกประมาณ 37% มี Tm เท่ากับ 175-178 °C และ Tg เท่ากับ 60-65 °C การย่อยสลายทางชีวภาพได้ต่ำกว่า PDLLA ซึ่งมีสมบัติเชิงกลที่สูง จึงสามารถนำมาผ่านกระบวนการขึ้นรูปต่างๆ ตามการใช้งานได้หลากหลาย ไม่ว่าจะเป็นการใช้งานในอุตสาหกรรมบรรจุภัณฑ์ อุตสาหกรรมชิ้นส่วนยานยนต์ อุตสาหกรรมสิ่งทอ และยังมีการพัฒนาไปสู่อุตสาหกรรมอิเล็กทรอนิกส์ และมีการนำ PLLA มาประยุกต์ใช้ทางด้านการเกษตรเพิ่มมากขึ้น

การใช้พลาสติกย่อยสลายได้ทางชีวภาพทางการเกษตรนั้นมีข้อดีในด้านการลดขั้นตอนการเก็บและกำจัดพิล์มภายหลังเสร็จสิ้นการใช้งานและสามารถกำจัดโดยการถูกเผาจนหมดไปได้โดยตรง ช่วยป้องกันการสูญเสียแร่ธาตุและสารอาหารบริเวณหน้าดินซึ่งมักเกิดขึ้นในขั้นตอนการเก็บและกำจัดพิล์มนอกจากนี้ยังมีการนำพลาสติกย่อยสลายได้มาใช้เป็นวัสดุควบคุมการปลดปล่อยสารสำคัญ เช่น ตัวยาปุ๋ย สารเคมีสำหรับการเกษตร แม้ว่าพลาสติกชนิดนี้มีข้อดีหลายประการแต่ก็ยังพบว่าพอลิแลกติกแอ๊ดิท ที่ผ่านกระบวนการสังเคราะห์มาแล้ว ยังไม่สามารถที่จะนำขึ้นรูปด้วยกระบวนการเป่าพิล์มได้เนื่องจากมีน้ำหนักโมเลกุลที่ค่อนข้างต่ำ มีอุณหภูมิเปลี่ยนสถานะคล้ายแก้ว (Glass Transition Temperature, T<sub>g</sub>) ที่สูงประมาณ 50 – 60 องศาเซลเซียส มีความเป็นผลึกที่สูง ทำให้มีความแข็งค่อนข้างมากที่อุณหภูมิห้อง และมีค่าดัชนีการไหลที่สูง ซึ่งเมื่อนำคุณสมบัติดังกล่าวมาเปรียบเทียบกับพลาสติกทางการค้าที่ขึ้นรูปด้วยกระบวนการเป่าพิล์ม (Blow Film) โดยทั่วไป เช่น พอลิเอทิลีน (Polyethylene, PE) จะมีอุณหภูมิเปลี่ยนสถานะคล้ายแก้ว อยู่ที่ -120 องศาเซลเซียส มีค่าดัชนีการไหลที่ต่ำ เป็นต้น จากข้อจำกัดดังกล่าวจึงเป็นอุปสรรคต่อกระบวนการขึ้นรูปโดยการเป่าพิล์ม ซึ่งเป็นวิธีการขึ้นรูปเพื่อให้ได้ผลิตภัณฑ์ที่นำมาใช้งานกันมากที่สุดในปัจจุบัน แต่อย่างไรก็ตามสามารถแก้ไขปัญหาความแข็งและประจำของพอลิแลกติกแอ๊ดิทโดยการเติมอิลาสโตเมอร์ (elastomer) ที่มีความยืดหยุ่นลงไป เช่น ยางธรรมชาติ (Natural rubber, NR) ซึ่งเป็นพิชที่มีความสำคัญทางเศรษฐกิจของไทย และมีสมบัติทั้งเชิงกลและเชิงพลวัตที่ดี [3] ดังนี้

- 1) ความยืดหยุ่น (Elasticity) ยางธรรมชาติที่คงรูปแล้วจะมีความยืดหยุ่นสูง เมื่อแรงภายนอกที่มากระทำกับยางหมดไป ยางจะกลับคืนสู่รูปร่างและขนาดเดิม ได้อย่างรวดเร็ว
- 2) ความเหนียวติดกัน (Tack) ยางธรรมชาติมีสมบัติเดียวกันในด้านความเหนียวติดกันซึ่งเป็นสมบัติสำคัญของการผลิตผลิตภัณฑ์ที่ต้องอาศัยการประกอบขึ้นส่วนต่างๆเข้าด้วยกัน เช่น ยางล้อรถยนต์
- 3) ความทนทานต่อแรงดึง (Tensile strength) เนื่องจากโมเลกุลของยางธรรมชาติมีความเป็นระเบียบสูงจึงทำให้ยางธรรมชาติสามารถแตกผลึกได้ง่ายเมื่อถูกยืด ซึ่งผลึกที่เกิดขึ้นจะช่วยเสริมความแข็งแรงให้กับยาง ดังนั้นยางธรรมชาติจึงมีค่าความทนทานต่อแรงดึงสูงมากโดยที่ไม่ต้องใช้สารตัวเติมเสริมแรงเข้าช่วย การเติมสารตัวเติมเสริมแรงลงไปก็จะช่วยทำให้ค่าความทนทานต่อแรงดึงสูงขึ้นซึ่งสมบัตินี้จะแตกต่างจากยางสังเคราะห์ส่วนใหญ่ที่มักมีค่าความทนทานต่อแรงดึงต่ำ จึงไม่สามารถนำไปใช้งานในทางวิศวกรรมได้นอกจากจะมีการเติมสารตัวเติมเสริมแรงเข้าช่วยเท่านั้น
- 4) ความทนทานต่อการฉีกขาด (Tear strength) เนื่องจากยางธรรมชาติสามารถแตกผลึกได้เมื่อถูกยืด ดังนั้น ยางธรรมชาติจึงมีความทนทานต่อการฉีกขาดของยางสูงขึ้น
- 5) สมบัติเชิงพลวัต (Dynamic properties) ยางธรรมชาติมีสมบัติเชิงพลวัตที่ดี ยางมีการสูญเสียพลังงานในรูปของความร้อนต่ำในระหว่างการใช้งาน นอกจากนี้ ยางธรรมชาติยังมีความต้านทานต่อการล้าตัวที่สูงมากอีกด้วย
- 6) ความต้านทานต่อการขัดถู (Abrasion resistance) ยางธรรมชาติมีค่าความต้านทานต่อการขัดถูสูง แต่ยังด้อยกว่ายางสไตรีนบิวทาไดอีน (Styrene butadiene rubber, SBR) เล็กน้อยอย่างไรก็ตาม เมื่อเปรียบเทียบกับยางสังเคราะห์ชนิดอื่นๆ พบร่วมยางธรรมชาติมีค่าความต้านทานต่อการขัดถูอยู่ในกลุ่มที่สูงมาก
- 7) ความเป็นอนวนไฟฟ้า (Insulation) ยางธรรมชาติมีความเป็นอนวนไฟฟ้าสูงมาก โดยมีค่าความต้านทานไฟฟ้าจำเพาะสูงถึง 1015 ล็อก 1016 ohm.cm

8) ความทนทานต่อของเหลวและสารเคมี (Liquid and chemical resistance) เนื่องจากองค์ประกอบของยางธรรมชาติ (Natural rubber) เป็นสารไฮโดรคาร์บอนที่ไม่มีข้าว ดังนั้นยางดิบจึงสามารถได้ดีในตัวทำลายที่ไม่มีข้าว เช่น เบนซิน เอกเซน และ โกลูอิน เป็นต้น ความสามารถในการลดลงถ้าหากเกิดการคงรูปเนื่องจากการเชื่อมโยงทางเคมีของโมเลกุลเกิดเป็นโครงสร้างตาข่ายสามมิติในยางคงรูปจะไปขัดขวางกระบวนการลดลายของยาง ยางคงรูปเกิดการบรวมตัวในตัวทำลายนี้เท่านั้น การบรวมตัวของยางตั้งกล่าวจะทำให้สมบัติเชิงกลของยางด้อยลงด้วยเหตุนี้ยางธรรมชาติจึงไม่ทนต่อน้ำมันบิตรเลียนหรือตัวทำลายที่ไม่มีข้าวต่างๆ แต่ยางจะทนทานต่อของเหลวที่มีข้าว เช่น อะซิโน หรือ แอลกอฮอล์ นอกจากนี้ ยางธรรมชาติยังทนต่อกรดและด่างเจือจากได้ดี แต่ไม่ทนต่อกรดในตริกและการดัดแปลงถ้าเข้มข้น

9) การเสื่อมสภาพเนื่องจากความร้อน โอโซน และแสงแดด (Aging properties) เนื่องจากโมเลกุลของยางธรรมชาติ (Natural rubber) มีพันธะคู่อยู่มากทำให้ยางว่องไวต่อการทำปฏิกิริยาดังนั้นยางธรรมชาติจึงถูกออกซิเดช (Oxidize) ได้ง่าย นอกจากนี้ยางธรรมชาติยังไม่ทนต่อโอโซน เพราะเมื่อยางถูกยืดแล้วได้รับโอโซนนานๆ จะเกิดรอยแตกขนาดเล็กจำนวนมากที่บริเวณพื้นผิวในทิศทางกับทิศทางการยืดตัวของยาง ด้วยเหตุนี้ในระหว่างการผลิตผลิตภัณฑ์จึงต้องมีการเติมสารเคมีบางชนิดและไขลงไปเพื่อยืดอายุการใช้งานของยางธรรมชาติ

10) การหักงอที่อุณหภูมิต่ำ (Low temperature flexibility) ยางธรรมชาติยังคงรักษาสมบัติความยืดหยุ่นหรือความสามารถในการหักงอได้แม้ที่อุณหภูมิต่ำมากๆ ซึ่งยางที่มีสมบัตินี้ต่ำกว่ายางธรรมชาติมีเพียง 2 ชนิดคือ ยางบิวตาไดอีน (Butadiene rubber) และยางซิลิโคน (Silicone rubber)

11) สมบัติการยืดหยุ่นภายหลังการกด (Compression set) ยางธรรมชาติมีค่า Compression set ค่อนข้างต่ำทั้งที่อุณหภูมิห้องและที่อุณหภูมิสูงปานกลาง อย่างไรก็ตามค่า Compression set ที่อุณหภูมิต่ำของยางธรรมชาติจะสูงขึ้นเนื่องจากยางอาจเกิดการตกผลึกทำให้ความยืดหยุ่นของยางเริ่มสูญเสียไปในขณะที่ค่า Compression set ที่อุณหภูมิสูงของยางธรรมชาติจะมีค่าสูงขึ้นเนื่องจากยางธรรมชาติไม่ทนต่อความร้อน ยางจึงเกิดความเสื่อมสภาพ ซึ่งจะส่งผลทำให้สมบัติ Compression set ด้อยลง

12) อุณหภูมิของการใช้งาน (Service temperature) ยางธรรมชาติสามารถใช้งานได้ที่อุณหภูมิตั้งแต่ -55°C จนถึง 70°C อย่างไรก็ตาม หากเก็บยางไว้ที่อุณหภูมิต้านนานๆ ยางอาจเกิดการตกผลึกซึ่งจะทำให้ยางแข็งขึ้นและสูญเสียความยืดหยุ่นไป แต่เมื่ออุณหภูมิการใช้งานสูงเกินไป สมบัติเชิงกลต่างๆ ก็จะด้อยลงเนื่องจากความร้อนจะทำให้ยางเกิดความเสื่อมสภาพ ในบางกรณีที่มีการออกสูตรผสมเคมียางได้อย่างเหมาะสม (มีการเติมสารป้องกันการเสื่อมสภาพลงไป) ยางธรรมชาติอาจสามารถนำไปใช้งานได้อย่างต่อเนื่องที่อุณหภูมิสูงถึง 90°C หรืออาจสูงถึง 100°C (ในกรณีที่ยางได้รับอุณหภูมิสูงเป็นช่วงๆ เท่านั้น)

อย่างไรก็ตามแม้ว่ายางธรรมชาติมีสมบัติที่ดีหลายประการแต่ก็พบว่าเสื่อมสภาพได้ย่างกายหลังจากการใช้งานเมื่อได้รับแสงแดด ออกซิเจน และโอโซน เนื่องจากมีพันธะคู่อยู่ภายในโมเลกุล สามารถแก้ไขปัญหาดังกล่าวได้โดยการนำยางธรรมชาติมาดัดแปลงโครงสร้างโดยการเติมหมุ้อพอกใช้ดลงไป ทำให้การทนทานต่อความร้อนเพิ่มสูงขึ้นและเมื่อผสมกับพอลิเมอร์ดังกล่าวสามารถปรับปรุงความเหนียวของพอลิแลคติกแอซิดได้ดี เมื่อนำมาทำการขันรูปเป็นฟิล์มทำให้ฟิล์มที่ได้มีความเหนียวเพิ่มขึ้น

## 1.5 งานวิจัยที่เกี่ยวข้อง

มีนักวิจัยในประเทศไทยได้ทำการศึกษาการนำยางธรรมชาติอิพอกไซด์ผสมกับพอลิแลคติกแอชิดดังนี้

ในปี ค.ศ. 2009 กลุ่มวิจัยของเรณุมาน พิพัฒน์ และคณะ [6] ได้ทำการศึกษาการผสมพอลิแลคติกแอชิดกับยางธรรมชาติอิพอกไซด์ ด้วยวิธีการหลอมผสม (melt compounding) โดยใช้เครื่องอัดรีดแบบสกรูคู่ (twin-screw extruder) จากการศึกษาพบว่าท่ออัตราส่วน 90/10 จะให้ค่าความทนทานต่อแรงดึง (tensile strength), มอดูลัส (modulus) และระยะยืด ณ จุดขาด (elongation at break) ที่สูงที่สุด เท่ากับ 18.34 MPa, 885.67 MPa, และ 2.86% ตามลำดับ ดังนั้น อัตราส่วนดังกล่าวจึงถูกเลือกมาทำการผสมกับออร์กานเคลล์ โดยการเติมออร์กานเคลล์ชนิด twice-functionalized organoclay (THF) และ Cloisite 25A (C25A) จากการเติมออร์กานเคลล์พบว่า สามารถปรับปรุง tensile strength และ modulus ของ PLA/ENR ได้ เพราะออร์กานเคลล์เป็นสารเสริมแรง อย่างไรก็ตามการเติม THF สามารถปรับปรุงความทนทานต่อแรงดึง (tensile strength), มอดูลัส (modulus) และระยะยืด ณ จุดขาด (elongation at break) ได้ดีกว่า C25A โดยเฉพาะอย่างยิ่งที่ปริมาณ THF ที่ 5 และ 7% เนื่องจากหมู่ epoxy group ที่เกิดพันธะบน THF ช่วยเพิ่มความเข้ากันได้ของ ENR และ PLA โดยการเกิดอันตรกิริยา กับ epoxide group และ hydroxyl group

ในปี ค.ศ. 2009 กลุ่มวิจัยของ W. Klinklai และคณะ [7] ได้ทำการศึกษาอัตราส่วนของการผสมยางธรรมชาติ/พอลิแลคติกแอชิด/ยางธรรมชาติอิพอกไซด์ (NR/PLA/ENR) ที่แตกต่างกัน เตรียมโดยใช้ Torque Rheometer ที่อุณหภูมิ 170°C ที่อัตราส่วนของการผสม 100/100/0, 100/90/10, 100/70/30, 100/50/50, 100/30/70, 100/10/90 และ 100/0/100% โดยน้ำหนัก จากการศึกษาด้วย FT-IR Spectrum แสดงให้เห็นว่าหลังจากการผสมปริมาณหมู่อิพอกไซด์ไม่เปลี่ยนแปลง ผลของอัตราการผสมต่อสมบัติทางกายภาพ และสมบัติเชิงกล พบร่วมกัน แนวโน้มของการผสมเพิ่มขึ้นเมื่อปริมาณของ PLA เพิ่มขึ้น อุณหภูมิการเปลี่ยนสถานะคล้ายแก้ว (Glass transition temperature,  $T_g$ ) และอุณหภูมิการหลอมเหลว (Melting temperature,  $T_m$ ) ของการผสมขึ้นอยู่กับอัตราการผสมค่าความทนทานต่อแรงดึง และระยะยืด ณ จุดขาดของการผสมระหว่าง PLA/NR เพิ่มขึ้นที่ปริมาณของ ENR เพิ่มขึ้น การผสม NR/PLA/ENR สามารถปรับปรุงสมบัติเชิงกลและเสถียรภาพทางความร้อนได้

ในปี ค.ศ. 2009 กลุ่มวิจัยของพัชราภรณ์ สมดี และคณะ [8] ศึกษาทำการปรับปรุงความเนียนยẁของพอลิแลคติกแอชิดด้วยยางธรรมชาติ โดยทำการผสมพอลิแลคติกแอชิดกับยางธรรมชาติที่ปริมาณต่างๆ จาก 0-20 เปอร์เซ็นต์โดยน้ำหนักและทำการผสมด้วยเครื่องผสมแบบบีด และศึกษาสมบัติทางกล ทางความร้อนและลักษณะสัณฐานวิทยาของพอลิเมอร์ผสมระหว่างพอลิแลคติกแอชิด และยางธรรมชาติ จากการศึกษาพบว่าความทนทานต่อแรงกระแทก ระยะยืด ณ จุดขาดและความเนียนยẁของพอลิเมอร์ผสมเพิ่มขึ้นเมื่อเพิ่มยางธรรมชาติจนถึง 10% โดยน้ำหนัก แต่ความแข็งแรงลดลง ในขณะที่ค่าความทนทานต่อแรงกระแทกและระยะยืด ณ จุดขาดจะมีค่าเพิ่มขึ้นและความเนียนยẁเพิ่มขึ้นสองเท่าเมื่อเทียบกับพอลิแลคติกแอชิดที่ไม่เติมยางธรรมชาติ ผลกระทบจากการศึกษาลักษณะสัณฐานวิทยาด้วยกล้องจุลทรรศน์อิเล็กตรอนแบบส่องกล้อง (SEM) พบร่วมกับพอลิเมอร์ผสมนี้สมเข้ากันไม่ได้โดยมีอนุภาคทรงกลมของยางธรรมชาติกระจายตัวในน้ำภาคต่อเนื่องของพอลิแลคติกแอชิดขนาดอนุภาคของยางธรรมชาติโดยเฉลี่ยมีแนวโน้มเพิ่มขึ้นตามปริมาณการเติมยางธรรมชาติที่เพิ่มขึ้น ซึ่งพอลิเมอร์ผสมดังกล่าวเมื่อใช้พอลิแลคติกแอชิดเกรดเป่าฟิล์มจะแสดงค่าความทนทานต่อการกระแทกสูงกว่าเกรดอื่น

ในปี ค.ศ.2012 กลุ่มวิจัยของ จันทิมา ดีประเสริฐกุล และคณะ [9] ได้ศึกษาสมบัติทางกายภาพของพอลิเมอร์ผสมระหว่างพอลิแลคติกแอซิด (PLA) และยางธรรมชาติ (NR) จากการที่ PLA เป็นพลาสติกที่ย่อยสลายได้ทางชีวภาพที่มีค่ามอดดักลัสและความแข็งแรงสูง แต่ประการเดียวกันนี้ จึงทำการผสมกับยางธรรมชาติเพื่อช่วยเพิ่มความเหนียว พนบฯ ยางธรรมชาติช่วยเพิ่มความเหนียวแบบดึงและความทนต่อแรงกระแทกให้กับ PLA ได้ โดยสัมพันธ์กับโครงสร้างเฟสของพอลิเมอร์ผสมที่ได้มีอิทธิพลต่อปริมาณยาง และปัจจัยการขึ้นรูปต่าง ๆ ทั้งนี้ พอลิเมอร์ผสมที่มีปริมาณยางธรรมชาติ 10% โดยน้ำหนัก ผสมที่อุณหภูมิ  $180^{\circ}\text{C}$  ด้วยความเร็วอบ 50 รอบต่อนาที ซึ่งให้ขนาดอนุภาคยางเท่ากับ 2.23 ไมโครเมตร กระจายอย่างสม่ำเสมอในเนื้อเมทริกซ์ PLA แสดงสมบัติต้านความเหนียวตั้งกล้าวสูงที่สุด เมื่อปริมาณยางสูงกว่า 10% โอกาสการรวมตัวของอนุภาคยางขณะผสมมีสูงขึ้นทำให้ไดอนุภาคขนาดใหญ่และกระจายตัวไม่สม่ำเสมอ ส่งผลให้สมบัติเชิงกลลดลง ในด้านสมบัติทางความร้อน การสมย่างธรรมชาติ แทนไม่ส่งผลต่อปริมาณผลึกของ PLA แม้ว่าจะเอื้อต่อการเกิดผลึกที่มีความสมบูรณ์สูงกว่า

ในปี ค.ศ.2011 กลุ่มวิจัยของ N. Bitinis และคณะ [10] ได้ทำการศึกษาการเตรียมพอลิเมอร์ผสมระหว่างพอลิแลคติก แอซิดและยางธรรมชาติ เพื่อลดความเปราะของพอลิแลคติกแอซิด ซึ่งเป็นเทอร์โมพลาสติก พอลิเอสเทอร์ ที่สามารถย่อยสลายได้ทางชีวภาพ เนื่องจากมีความเปราะสูง และมีพฤติกรรมการตกผลึกต่ำจึงได้พัฒนาให้ผสมยางธรรมชาติ (NR) โดยทำการผสมในเครื่องผสมแบบปิด (internal mixer) โดยแปรอุณหภูมิ เวลาในการผสม อัตราการหมุนของโรเตอร์ และปริมาณของยางเพื่อให้ได้สมบัติที่ดีที่สุด จากการศึกษาพบว่าเฟสของยางจะมีลักษณะเป็นหยดที่มีขนาดในช่วง 1.1 – 2.0 ไมโครเมตร ซึ่งจะกระจายตัวสม่ำเสมออย่างต่อเนื่องในเมตริกซ์ของ PLA จะเห็นได้ว่าความเหนียวของ PLA จะถูกปรับปรุงโดยการเติมยางธรรมชาติ ทำให้ค่าระยะยืด ณ จุดขาดเพิ่มขึ้น 5-200% ที่ปริมาณยางธรรมชาติ 10% โดยน้ำหนัก นอกจากนี้ยางธรรมชาติยังเพิ่มความสามารถในการตกผลึกของ PLA ได้

ในปี ค.ศ.2013 กลุ่มวิจัยของ Chunmei Zhang และคณะ [11] ได้ศึกษาการเพิ่มความเหนียวของพอลิแลคติกแอซิด (PLA) โดยใช้ยางธรรมชาติอิพอกซีไดซ์ที่มีปริมาณของการอิพอกซีเดือนที่ 20% โดยโมล และ 50% โดยโมล เป็นสารเพิ่มความเหนียว โดยใช้การผสมแบบหลอม (melt blending) ในเครื่องผสมแบบปิด (internal mixer) โดยใช้ความเร็วโรเตอร์ 60 รอบต่อนาที ใช้อุณหภูมิ  $170^{\circ}\text{C}$  องศาเซลเซียสและใช้เวลาการผสม 10 นาที ผลการทดสอบสมบัติเชิงกลพบว่าเมื่อผสมยาง ENR กับ PLA พบว่าค่าการยืดตัวและการทนต่อการทานต่อแรงกระแทกดีขึ้นในขณะที่ tensile modulus และ tensile strength ลดลง และผลจาก DSC ชี้ให้เห็นว่าหลังจากการผสมแบบหลอม (melt blending) วัสดุจะมีผลึกและจะมีพิเศษของการหลอมเหลวสองพิเศษในเทอร์โมแกรมหลังจากถูกอบอ่อนที่ 100 องศาเซลเซียส ยางธรรมชาติอิพอกซีไดซ์ที่มีปริมาณของการอิพอกซีเดือนที่ 20% โดยโมล ผสมกับพอลิ แลคติกแอซิด (PLA) และที่ 50% โดยโมล ผสมกับพอลิแลคติกแอซิดมีพฤติกรรมแบบ shear thinning รุนแรงมากและค่าความหนืดเชิงช้อนและค่า loss modulus ( $G'$ ) เพิ่มขึ้นหลังจากผสมกับยางธรรมชาติอิพอกซีไดซ์ (ENR)

ในปี ค.ศ.2012 Petchwattana และคณะ [12] ได้ศึกษาการใช้อุนภาคของยางอะคริเลตขนาดเล็ก เพื่อลดปัญหาความเปราะของพอลิแลคติกแอซิด โดยใช้ยางอะคริเลตอยู่ในช่วง 0.1-10 wt% ขั้นตอนการเตรียมพอลิแลคติกแอซิดดัดแปลงยางอะคริเลต (Ultrafine acrylate rubber-modified PLA) ประกอบไปด้วย 3 ขั้นตอน ขั้นแรกทำให้เกิดการกระจายตัวของอนุภาคยางอะคริเลตใน PLA โดยใช้ความเร็วอบสูงในการผสม ขั้นที่สอง ผสมยางอะคริเลตกับ PLA ในเครื่องอัดรีดสกรูคู่

ที่อุณหภูมิ 175°C และขันที่สาม ขึ้นรูปผลิตภัณฑ์ โดยตัวอย่างของพอลิอะคริลิกและอะคริเลต (acrylate rubber-modified PLA) จะถูกฉีดเข้าแม่พิมพ์เพื่อใช้ในการทดสอบสมบัติเชิงกล และทดสอบความเหนียว (Toughness test) โดยจะประเมินจากค่าสมบัติเชิงกลต่างๆ ที่ได้และลักษณะทางสัณฐานวิทยา จากผลการทดสอบพบว่าปัญหาของความerasible ใน PLA ลดลงอย่างเห็นได้ชัดจากการใช้ออนุภาคของยางอะคริเลตขนาดเล็ก ในปริมาณ 10% ทำให้ความแข็งแรงต่อแรงดึง (tensile modulus) ลดลง 40% และค่าความแข็งแรงต่อการหักงอ (flexural modulus) ลดลง 20% เป็นผลมาจากการมีคุณสมบัติที่นิ่มและยืดหยุ่นได้ จึงทำให้ PLA มีคุณสมบัติที่เหนียวมากขึ้น อย่างไรก็ตาม การใช้ออนุภาคของยางอะคริเลตขนาดเล็ก (ultrafine acrylate rubber particles) เพียง 0.5 wt% จะเพิ่มระดับความเป็นผลึก แต่เมื่อใส่มากกว่า 0.5 wt% จะทำหน้าที่ยับยั้งการเกิดผลึก โดยจะเห็นว่าระดับของผลึกลดลง

ในปี ค.ศ. 2002 Norman และคณะ [13] ได้ศึกษาปัจจัยที่มีอิทธิพลต่อสมบัติทางแสงของ  $\text{TiO}_2$  คือ ดัชนีหักเห (Refractive index) เท่ากับ 2.5-2.7 และขนาดอนุภาคของ  $\text{TiO}_2$  โดยทฤษฎีการกระจายแสงของ Mie light scattering theory กล่าวว่าขนาดอนุภาคที่เหมาะสมของ  $\text{TiO}_2$  สามารถกระเจิงแสงได้สูงและทึบแสงในช่วงที่ตามเห็น ซึ่งการกระเจิงแสงนี้ขึ้นกับความแตกต่างระหว่างดัชนีหักเหของผงสีกับสารยึด จากการศึกษาในปัจจุบันพบว่า  $\text{TiO}_2$  ที่มีขนาดอนุภาคนานาโนเมตรสามารถป้องกันแสงอัลตราไวโอเลตได้ ทำให้  $\text{TiO}_2$  ที่มีขนาดอนุภาคระดับนาโนเมตรเป็นที่นิยมในงานสีเป็นอันมาก

ในปี ค.ศ. 2007 Norio Nakayama และคณะ [14] ได้ศึกษาการเตรียมและสมบัติของ Poly(L-lactic acid)/ $\text{TiO}_2$  nanoparticle nanocomposite films ที่มีความโปร่งใสสูงและศึกษาความสามารถในการย่อยสลายได้โดยแสง (photodegradability) โดย Poly(L-lactic acid)/ $\text{TiO}_2$  nanoparticle nanocomposite films ถูกเตรียมขึ้นมาโดยการผสม  $\text{TiO}_2$  ขนาดนาโนที่ถูกดัดแปลงพื้นผิวไว้แล้วเข้าไปใน PLA โดยการละลาย PLA ในคลอร์ฟอร์มและผสม  $\text{TiO}_2$  ขนาดนาโนที่ดัดแปลงพื้นผิวแล้วล้วงไป 1,5 และ 10 โดยน้ำหนักของ PLA และ Cast ลงบนกระจกนาฬิกา ในการกระบวนการเตรียมพิล์มนานาโนคอมโพสิต การรวมตัวกันของ  $\text{TiO}_2$  อาจลดลงได้ด้วยการปรับปรุงพื้นผิวของ  $\text{TiO}_2$  โดยการใช้ Carboxylic acid และ Long-chain alkyl amine เป็นผลให้พิล์มนานาโนคอมโพสิตมีความโปร่งใสสูงคล้ายๆ กับพิล์ม PLA บริสุทธิ์ โดยไม่ขึ้นอยู่กับปริมาณของ  $\text{TiO}_2$  ที่เติมลงไป ไม่ครอบครองพื้นที่ได้จากเครื่อง TEM แสดงให้เห็นว่าอนุภาคขนาดนาโนของ  $\text{TiO}_2$  ที่มีขนาด 3-6 nm. กระจายตัวอย่างสม่ำเสมอใน PLA ผลกระทบทดสอบความเสถียรทางความร้อนด้วยเครื่อง TGA พบว่าพิล์มนานาโนคอมโพสิตที่ได้มีความสามารถเสถียรทางความร้อนลดลงต่ำกว่า PLA บริสุทธิ์ ผลกระทบของการศึกษาความสามารถในการย่อยสลายได้โดยแสงของนาโนคอมโพสิตพิล์มที่ได้มีความสามารถในการย่อยสลายได้โดยรังสียูวีสูงกว่า PLA บริสุทธิ์

ในปี ค.ศ. 2012 Sreejarani Kesavan Pillai และคณะ [15] ได้ศึกษาคอมโพสิตพิล์มระหว่าง PLA กับ  $\text{TiO}_2$  และ Ag-TiO<sub>2</sub> ขนาดนาโน โดยพิล์มจะถูกเตรียมขึ้นโดยการนำ PLA ไปละลายในคลอร์ฟอร์มพร้อมทั้งนำ  $\text{TiO}_2$  และ Ag-TiO<sub>2</sub> ขนาดนาโนปริมาณ 1 เปอร์เซ็นต์โดยน้ำหนักเติมลงไปผสมโดยผ่านกระบวนการ ultrasonication และนำไปกวนต่อเป็นเวลา 2 ชั่วโมงที่อุณหภูมิห้องและนำไป Cast ลงบนกระจกนาฬิกา หลังจากนั้นนำพิล์มที่ได้ไปทดสอบ โดยพิล์มจะสัมผัสรังสียูวีในระยะเวลาที่แตกต่างกันและลักษณะทางสัณฐานวิทยา ก่อนและหลังที่สัมผัสรังสียูวีจะถูกตรวจสอบเก็บข้อมูล ผลแสดงให้เห็นความเป็นเนื้อเดียวกันของ (homogenous) PLA และ Ag-TiO<sub>2</sub> ขนาดนาโน

สมบัติทางความร้อนและความเสถียรเชิงกลทางความร้อนของคอมโพสิตฟิล์มที่มี Ag-TiO<sub>2</sub> พบร่วมมีค่าสูงกว่าฟิล์มของ neat PLA และ PLA/TiO<sub>2</sub> ผลของ Scanning electron microscopy (SEM) และ X-ray diffraction (XRD) พบว่าความสามารถของการย่อยสลายได้โดยแสงของ PLA ได้รับการปรับปรุงขึ้นมากอย่างมีนัยสำคัญเมื่อใช้ Ag-TiO<sub>2</sub>

ในปี ค.ศ. 2013 Saeed Dadashi และคณะ [16] ได้นำพอลิเมอร์สองประเภทมาทดสอบในการศึกษาครั้งนี้ ใช้ Ethylene Terephthalate (PET) ซึ่งเป็นพอลิเมอร์สังเคราะห์ และพอลิ(แอลก็อกติกแอซิด) (PLA) ซึ่งเป็นพอลิเมอร์ธรรมชาติ ในการวิเคราะห์ DSC แสดงให้เห็นว่าการใช้ nanofiller เพิ่มระดับของผลึก (X<sub>c</sub>) ของ PET และ PLA แต่ผลของ nanocomposites PET จะมีค่าที่มากกว่า จุดของการตกผลึกของ PLA และ PET คล่องตัวและมีประสิทธิภาพจะเกิดขึ้นที่อุณหภูมิสูง เมื่อเปรียบเทียบกับพอลิเมอร์บริสุทธิ์ ผลการทดสอบแสดงให้เห็นว่ากลไกสำหรับ PET และ PLA nanocomposites ผล toughening ที่ประสบความสำเร็จมากที่สุดคือที่ 3% โดยน้ำหนัก ของอนุภาคนาโนใน TiO<sub>2</sub> จาก SEM เปิดเผยเครื่องแบบกระจายของอนุภาคนาโน TiO<sub>2</sub> ที่ 1% โดยน้ำหนัก และ 3% โดยน้ำหนัก ผลของการ WAXD สเปกตรัมอธิบายว่าในประเภท PLA และ PET ผลึกไม่ได้รับผลกระทบจากการมีอยู่ของอนุภาคนาโน TiO<sub>2</sub>

### 2.7.1 การศึกษาการย่อยสลายของพอลิแลคติกแอซิดด้วยการฝังดิน มีดังนี้

ในปี ค.ศ. 2009 กลุ่มวิจัยของ นครินทร์ นิลทวี และคณะ [17] ได้ศึกษาการเปลี่ยนแปลงสัณฐานวิทยาและผลึกของฟิล์มพอลิแลคไทด์ที่สามารถย่อยสลายได้โดยทางชีวภาพภายหลังจากการฝังในดิน โดยการฝังถุงพลาสติกที่มีพอลิแลคไทด์เป็นองค์ประกอบในดินที่ข่ายตามท้องตลาดเพื่อเปรียบเทียบผลกับการฝังถุง PLA ด้วยดินธรรมชาติทั่วไป และนำ PLA อีกชุดไปฝังในมูลสุกรและเศษอาหารก่อนการนำไปฝังและเมื่อฝังจะถูกชุดขึ้นมาทุกๆ สัปดาห์เพื่อนำไปวิเคราะห์ด้วยกล้องจุลทรรศน์อิเล็กตรอนแบบส่องราก (Scanning electron microscope, SEM), Gel permeation Chromatography (GPC), เทคนิคเทอร์โม gravimetric แอนนาไลเซอร์ (Thermo Gravimetric Analyzer, TGA) และเทคนิคดิฟเฟอร์เรนเชียล สแกนนิng แคลอริมิเตอร์ (Differential Scanning Calorimeter, DSC) เพื่อวิเคราะห์ทำการเปลี่ยนแปลงที่อาจเกิดขึ้นระหว่างการฝังโดยอุณหภูมิและความชื้นสัมพัทธ์จะถูกวัดตลอดการทดลองผลที่ได้จากเทคนิคกล้องจุลทรรศน์อิเล็กตรอนแบบส่องราก (Scanning electron microscope, SEM) ผลจากการศึกษาพบว่าการสลายตัวเริ่มขึ้นในสัปดาห์ที่ 4 และเกิดรูขึ้นที่พื้นผิวน้ำของถุงพลาสติก ผลของเทอร์โม gravimetric แอนนาไลเซอร์ (Thermo Gravimetric Analyzer, TGA) แสดงถึงการเปลี่ยนแปลงของอุณหภูมิการสลายตัวตั้งแต่สัปดาห์แรกเมื่อวิเคราะห์ด้วยเทคนิคดิฟเฟอร์เรนเชียล สแกนนิng แคลอริมิเตอร์ (Differential Scanning Calorimeter, DSC) เทอร์โมแกรมของสารตัวอย่างที่ถูกฝังตั้งแต่สัปดาห์แรกจนถึงสัปดาห์ที่ 12 จะถูกวิเคราะห์และได้ทำการคำนวณการเปลี่ยนแปลงของอ่อนหักปีสัมพัทธ์ของการหลอมเหลวซึ่งพบว่าอ่อนหักปีสัมพัทธ์มีค่าลดลงเมื่อระยะเวลาในการฝังที่นานมากขึ้น ผลหั้งหมุดนิ้วถูกตรวจสอบโดยการทดสอบ Gel permeation Chromatograph (GPC) พบร่วมน้ำหนักโนโลกุลของถุง PLA ลดลง 4% ในสัปดาห์ที่ 12

ในปี ค.ศ. 2011 กลุ่มวิจัยของ H. Balakrishnan และคณะ [18] ศึกษาการดูดซับน้ำและการย่อยสลายของ PLA/LLDPE/MMT ซึ่งมีการเติม Montmorillonite (MMT) ลงใน Polylactic acid (PLA) Nanocomposites (PLA/MMT) และเติม (LLDPE)-toughened ลงใน PLA (PLA/LLDPE อัตราส่วน = 90/10) Nanocomposites (PLA /LLDPE/MMT) ทดสอบการดูดซับน้ำ,

การย่อยสลายผ่านปฏิกิริยาไฮโดรไลซีส และวิเคราะห์การฝังดินของ PLA/MMT และ พอลิเมอร์ผสมระหว่าง PLA/LLDPE/MMT โดยแซลงในน้ำกลั่นที่อุณหภูมิห้อง, ที่ 60 องศาเซลเซียส และที่ 90 องศาเซลเซียส) และคำนวณความแตกต่างของน้ำหนักก่อนและหลังการแซลงที่ได้ การทดสอบความทนทานต่อแรงกระแทก (Impact strength) ของ PLA และPLA/LLDPE nanocomposites, ทดสอบลักษณะสัณฐานวิทยาด้วยกล้องจุลทรรศน์อิเล็กตรอนแบบส่องร้าด (Scanning electron microscopy, SEM), เทคนิคเทอร์โม gravimetric แอนนาไลเซอร์ (Transmission electron microscopy, TEM) และเทคนิคเอ็กเซเรย์ แฟร็กโตมิเตอร์ (X-ray diffraction, XRD) ผลจาก การศึกษาพบว่า การลดดูดซับความชื้นสูงสุด ( Maximum moisture absorption, Mm ) และการแพร่กระจาย ( Diffusivity, D ) ของ PLA และ PLA/LLDPE เพิ่มขึ้น เมื่อมีการเพิ่มของ MMT (2 phr) แต่การแพร่กระจายจะลดลงเมื่อมีการเพิ่ม MMT ที่ 4 phr ใน PLA/MMT และ PLA/LLDPE/MMT nanocomposites การสูญเสียน้ำหนักของ PLA/MMT และ PLA/LLDPE/MMT nanocomposites หลังจากจุดอิ่มตัวที่อุณหภูมิ 60 องศาเซลเซียส การทดสอบการฝังดินพบว่า ทุกตัวอย่างมีค่า Impact strength ลดลง ในขณะที่อัตราการย่อยสลายของ PLA เกิดได้ช้าในตัวอย่างที่มี MMT และ LLDPE

ในปี ค.ศ. 2008 กลุ่มวิจัยของ Yosita rudeekit และคณะ [19] ทำการศึกษาการย่อยสลายทางชีวภาพของ PLA หลังจากทึ้งในสภาวะธรรมชาติ เช่น การบำบัดน้ำเสีย, การฝังกลบ ทั้งในสภาวะจริงและการควบคุมในห้องปฏิบัติการ นำมาทดสอบการวิเคราะห์น้ำหนักโมเลกุล (Molecular Weight Analysis) โดยใช้วิธี เจลฟิลเตชัน โครมาโทกราฟี (Gel permeation Chromatography,GPC) การย่อยสลายในสภาวะจริงและการควบคุมในห้องปฏิบัติการและการทดสอบภาพ (Visual Inspection) โดยตรวจสอบด้วยสายตา สีและรูปร่างของพิล์มหลังจากการฝังกลบของเสียที่สภาวะบำบัดน้ำเสียและสภาวะการหมักที่ควบคุมในห้องปฏิบัติการ ถ่ายภาพด้วยกล้องดิจิตอล Nikon D50 6.1 ล้านพิกเซล ผลของการศึกษาพบว่า บรรจุภัณฑ์ PLA ที่การย่อยสลายภายในสภาวะของน้ำเสียเป็นเวลา 15 เดือน พบรดสีขาวขนาดเล็กบนพื้นผิวของแผ่น PLA นอกจากนี้ แผ่น PLA เกิดการเสียรูป และแข็งเปราะ แตกออกเป็นชิ้นหยาบและสลายตัวไปหลัง 15 เดือนของการทดสอบ น้ำหนักโมเลกุลของแผ่น PLA ที่ฝังกลบภายในสภาวะของเสียและการบำบัดน้ำเสียมีค่า 17.31 kDa และ 48.56 kDa ตามลำดับ ภายใต้สภาวะการหมักจริงอาจจะไม่เหลือแผ่น PLA เมื่อเวลาผ่านไป 34 วัน น้ำหนักโมเลกุลของแผ่น PLA ที่ได้จากการหมักลดลงจาก 151.90 KDa ถึง 4.45 kDa หลังจาก 17 วัน นอกจากนี้การย่อยสลายของแผ่น PLA ย่อยได้ 86% ใน 4 เดือน ภายใต้สภาวะการหมักที่ควบคุมในห้องปฏิบัติการด้วยวิธีการตามมาตรฐาน ISO 14855-99 ชิ้น PLA จะย่อยสลายอย่างสมบูรณ์ภายใต้สภาวะจริงและสภาวะการหมักโดยการควบคุม ในขณะที่การสลายตัวของแผ่น PLA ภายใต้สภาวะการฝังกลบแบบธรรมชาติและการบำบัดน้ำเสียจะต้องใช้เวลานาน

### 2.7.2 การศึกษาการย่อยสลายของพอลิแลคติกแอซิตด้วยกระบวนการไฮโดรไลซีส มีดังนี้

ในปี ค.ศ. 2013 กลุ่มวิจัยของ Yun Huang และคณะ [20] ได้ทำการศึกษาผลของยางธรรมชาติต่อการย่อยสลายผ่านปฏิกิริยาไฮโดรไลซีสของ PLA ในน้ำปราศจากไอออน โดยทำการประปิมาณของยาง NR ที่ 1-5 %โดยน้ำหนัก ผสมด้วยเครื่องบดผสมแบบอัตโนมัติสกอร์ค์ แล้วทำการศึกษาการย่อยสลายผ่านปฏิกิริยาไฮโดรไลซีสของ PLA และ PLA/NR blends ในน้ำปราศจากไอออน (Deionized water) ที่อุณหภูมิ 58 องศาเซลเซียส โดยวัดค่ามุมสัมผัส (Contact angle

measurement) และการดูดซับน้ำ (Water absorption) การเปลี่ยนแปลงของน้ำหนักโมเลกุลเฉลี่ย (Molecular weight measurement) ลักษณะทางสัณฐานวิทยาด้วยกล้องจุลทรรศน์อิเล็กตรอนแบบส่อง粒 (Scanning electron microscope, SEM) และสมบัติทางความร้อนด้วยเครื่องดิฟเฟอร์เรนเซียล สแกนning แคลอริมิเตอร์ (Differential Scanning Calorimeter, DSC) ผลจากการศึกษาชี้ให้เห็นว่า ย่างธรรมชาติสามารถเพิ่ม Hydrophobicity ของพื้นผิว PLA แต่ไม่ก่อให้เกิดการลดลงของการดูดซับน้ำใน PLA ในทางตรงกันข้าม การดูดซับน้ำกลับเพิ่มขึ้นตามปริมาณย่างธรรมชาติที่มากขึ้น กระบวนการย่อยสลายผ่านกระบวนการไฮโดรไลซิสโดยทั้งของ PLA และ PLA/NR blends โดยกลไกการกัดเซาะและอัตราการย่อยสลายผ่านกระบวนการไฮโดรไลซิสของ PLA ไม่มีผลต่อ Yang ธรรมชาตินอกจากนี้ยังพบว่า ย่างธรรมชาติสามารถขัดขวางการตกผลึกของ PLA

ในปี ค.ศ. 2012 กลุ่มวิจัยของ Yan-Bing Luo และคณะ [21] ได้ทำการศึกษาผลของนำโน้ne TiO<sub>2</sub> ในการย่อยสลายของ PLA ภายใต้สภาวะการย่อยสลายผ่านกระบวนการไฮโดรไลซิส เพื่อเพิ่มการกระจายตัวของ nanofillers และความแข็งแรงของผิวสัมผัสระหว่างสองเฟส นาโน TiO<sub>2</sub> ถูกрафท์ผ่านปฏิกิริยา Solution polycondensation ด้วยกรดแคลคติก โดยไม่ต้องใช้ตัวเร่งปฏิกิริยา ผลิตภัณฑ์ที่ได้จากการย่อยสลายผ่านกระบวนการไฮโดรไลซิส ของ Poly (lactic acid) (PLA)/TiO<sub>2</sub> nanocomposites เป็นเวลามากกว่าหนึ่งปี ถูกทดสอบ weight loss และ Water absorption ในสารละลายฟอสเฟตบัฟเฟอร์ของค่า pH 7.4 ที่อุณหภูมิ 37 องศาเซลเซียส เพื่อที่จะอธิบายผลของ nanofillers กับลักษณะการย่อยสลายของ PLA, ทดสอบด้วยกล้องจุลทรรศน์อิเล็กตรอนแบบส่อง粒 (Scanning electron microscope, SEM), ทดสอบ เจลพิลเตชัน โครมาไทกราฟ (Gel permeation Chromatography, GPC), วิเคราะห์ดิฟเฟอร์เรนเซียลสแกนning แคลอริมิเตอร์ (Differential Scanning Calorimeter, DSC), การวิเคราะห์อัลตราโซนิก (X-ray Diffractometer, XRD) และกล้องจุลทรรศน์อิเล็กตรอนแบบส่องผ่าน (Transmission Electron Microscopy, TEM) ผลการศึกษาพบว่า การย่อยสลายแตกต่างกันและเป็นกลุ่มที่มีกลไกการกัดกร่อนทั่วไปของ PLA และ TiO<sub>2</sub> nanocomposites และน้ำหนักโมเลกุลหลังการย่อยสลายผ่านกระบวนการ Hydrolytic พบว่า การย่อยสลายผ่านกระบวนการไฮโดรไลซิส ของ nanocomposites ที่เกิดขึ้น อินเตอเพตของ PLA matrix และ nanofillers และอัตราการย่อยสลายที่ถูกเร่งโดย TiO<sub>2</sub> nanofillers ที่เพิ่มขึ้น การกระจายตัวของ nanofillers ใน Polymer matrix จะมีผลต่อการดูดซึมน้ำและอัตราการย่อยสลาย การเพิ่มขึ้นอย่างมากของผลึกยังมีผลต่ออัตราการย่อยสลายของ nanocomposites ซึ่งให้เห็นว่า การย่อยสลายผ่านกระบวนการไฮโดรไลซิส ของ PLA จะได้รับการควบคุมโดยการเพิ่ม TiO<sub>2</sub> nanoparticles.

ในปี ค.ศ. 2006 กลุ่มวิจัยของ Righard A. Cairncross และคณะ [22] ได้ศึกษาการดูดซับความชื้นและการย่อยสลายผ่านปฏิกิริยาไฮโดรไลซิส (Hydrolytic degradation) ของ PLA การส่งผ่านความชื้น การตกผลึกและการย่อยสลายของ PLA ถูกศึกษาด้วยโดยใช้ Size-exclusion chromatography (SEC), Differential scanning calorimetry (DSC) และเครื่องอัลตราโซนิก (XRD) การทดสอบด้วยเทคนิค Quartz crystal microbalance heat conduction calorimeter (QCM/HCC) และ Dynamic vapor sorption (DVS) ถูกนำมาใช้ วัดการดูดซับความชื้นของฟิล์ม PLA ผลจากการศึกษาพบว่า ส่วนที่เป็นผลึก (Crystalline) และส่วนที่เป็นอัลตราโซนิก (Amorphous) ของ PLA แสดงผลการดูดซับความชื้นที่เท่ากัน

จากการวิจัยที่ผ่านมาพบว่ามีการเตรียมพอลิเมอร์สมรรถห่วง PLA/NR และ PLA/ENR เพื่อศึกษาสมบัติของพิล์มและพบว่าการเติมยางสามารถปรับปรับสมบัติเชิงกลได้ แต่พบว่าพิล์มที่ได้ยังทนทานต่อรังสีอุล ตร้าไวโอลেตต์ จึงได้ทำการศึกษาจากงานวิจัยที่ผ่านมาพบว่ามีการศึกษาการใช้ไทเทนเนียมผสมลงในพิล์มโพลีเอธิลีนชนิดความหนาแน่นต่ำแล้วสามารถปรับปรุงสมบัติการทนต่อรังสีอุลตร้าไวโอลেตได้เพิ่มขึ้น ดังนั้นจึงเป็นแนวทางหนึ่งสำหรับการนำมาระบุกตื้อสำหรับการเติมลงในพลาสติกที่อยู่สลายได้ทางชีวภาพและการศึกษาที่ผ่านมายังไม่พบการเติมไทเทนเนียมได้ออกใช้ด้วยในไบโอพลาสติกอิเล็กโทรเมอร์ที่อยู่สลายได้ทางชีวภาพ ดังนั้นในงานวิจัยนี้จึงได้ทำการศึกษาการเตรียมพิล์มคุณคุณที่อยู่สลายได้ทางชีวภาพ โดยการผสมรูปห่วง PLA/ENR และแปรปริมาณของไทเทนเนียมได้ออกใช้ ด้วยเครื่องผสมแบบอัตโนมัติและทำการขันรูปพิล์มด้วยเครื่องเป่าพิล์ม เพื่อเตรียมพิล์มไปประยุกต์ใช้งานคุณคุณทางการเกษตร

## บทที่ 2

### สารเคมี อุปกรณ์ และวิธีดำเนินการวิจัย

#### 2.1 วัสดุและสารเคมี

##### 2.1.1 ยางธรรมชาติอิพอกไซด์ (Epoxidized natural rubber, ENR)

ยางธรรมชาติอิพอกไซด์เป็นยางที่ได้จากการเติมออกซิเจนเข้าไปในโมเลกุลของยางตรงบริเวณพันธะคู่เกิดเป็นวงแหวนอิพอกไซด์โดยผ่านปฏิกิริยาอิพอกไซเดชัน (Epoxidation) โดยมีร้อยละโดยโมลอิพอกไซด์ตั้งแต่ร้อยละ 10-50 ผลิตโดยบริษัทเมืองใหม่กัททรี จำกัด (มหาชน) สาขา ภูเก็ต

##### 2.1.2 พอลิแลคติกแอซิด (Poly (lactic acid)) เกรด 4042D

เป็นพลาสติกที่ย่อยสลายได้ทางชีวภาพ จัดเป็นพอลิเมอร์ชีวภาพที่อยู่ในกลุ่มพอลิเอสเทอร์ซึ่งมีสายโซ่ตรง (Aliphatic polyester) สังเคราะห์ได้จากการแลกติก (Lactic acid) ซึ่งกรดแลกติกสามารถผลิตได้จากการหมักแป้งหรือน้ำตาล มีปริมาณ D-lactide = 3-5% ผลิตโดยบริษัท NatureWorks LLC จำกัด จำหน่ายโดย บริษัท ถุงสด จำกัด

##### 2.1.3 ไททาเนียมไดออกไซด์ (Titanium dioxide, TiO<sub>2</sub>) บริษัท กิจไพบูลย์ จำกัด

ไทเทเนียมไดออกไซด์ เป็นผงอนินทรีย์ที่มีเสถียรภาพสูง สีขาว ทึบแสง ช่วยสะท้อนรังสีอุลต์ร้าวีโอดีตในแสงแดดและสะท้อนแสงในช่วงที่สายตาของเห็นได้ เป็นเกรดรูไทล์ R-103 มีปริมาณ ไททาเนียมไดออกไซด์ 96% โดยน้ำหนัก มีขนาดอนุภาค 0.23 ไมโครเมตร และมีความถ่วงจำเพาะ 4.1

2.1.4 ดิน ยี้ห้อลำดวน ผสมขึ้นสำหรับใช้ปูกรดตันไม้กระถางหรือลงแปลง มีคุณสมบัติดังนี้ มีความร่วนชุบ รักษาความชื้นซึ่งได้สม่ำเสมอ น้ำ และอากาศ ถ่ายเทได้สะดวก คงสภาพอยู่ได้นาน pH ประมาณ 6-6.5 ไม่เป็นกรดหรือด่างเกินไป มีน้ำหนักเบา

#### 2.2 อุปกรณ์

##### 2.2.1 เครื่องบดผสมสองลูกกลิ้ง (Two roll mill)

เป็นเครื่องมือที่ใช้ในการบดผสมยางเข้ากับสารเคมีต่างๆ ลูกกลิ้งมีขนาดเส้นผ่าศูนย์กลาง 8 นิ้ว ยาว 18 นิ้ว อัตราส่วนความเร็วของลูกกลิ้งหน้าต่อลูกกลิ้งหลังเท่ากับ 1:1.38 ผลิตโดยบริษัท เจริญทัศน์ จำกัด

##### 2.2.2 เครื่องขัดรีดสกรูคู่ (Twin screw extruder)

เป็นเครื่องขัดรีดแบบสกรูคู่ที่มีประสิทธิภาพการผสมสูง มีแรงเฉือนที่เกิดขึ้นจากการหมุนของสกรูคู่สูง โดยลักษณะการหมุนของสกรูคู่เป็นแบบสวนทางกัน (Counter-rotating screw) ความเร็วรอบสกรู 40 รอบ/นาที ความดัน 4.5 บาร์ ผลิตโดยบริษัท ปราเบรนเดอร์ เยอรมันนี

### 2.2.3 เครื่องทดสอบการดึง (Universal testing machine)

เป็นเครื่องที่ใช้ทดสอบหาค่าความทานต่อแรงดึง ซึ่งใช้วัดแรงดึง สามารถรับแรงได้สูงสุด 1 kN มี Load cell ทำหน้าที่ในการแปลงสัญญาณจากค่าแรงที่ได้ผ่านวงจรอิเล็กทรอนิกส์ เป็นค่าแรงดึงหรือแรงในหน่วยนิวตัน สามารถตั้งค่าความเร็วในการเคลื่อนที่ของหัวจับชิ้นงานทดสอบ 0.01 ถึง 1000 mm/min ยี่ห้อ Dynisco รุ่น DSS-10T จำหน่ายโดยบริษัท CG engineering part., Ltd

### 2.2.4 กล้องจุลทรรศน์อิเล็กตรอนแบบส่องกราด (Scanning electron microscope, SEM)

เป็นเครื่องที่ใช้ลำอิเล็กตรอนสแกนไปบนผิวน้ำของชิ้นงานตัวอย่าง ทำให้เกิดการกระเจิงของอิเล็กตรอน (Scattered electron) และเกิดสัญญาณรูปภาพที่สามารถเห็นผิวน้ำและโครงสร้างของพอลิเมอร์ โดยเครื่องประกอบด้วย แหล่งกำเนิดอิเล็กตรอน (Electron Gun) ระบบเลนส์ (Electro Magnetic Lens) หัวดักจับสัญญาณ (Signal Detectors) และส่วนแสดงภาพบนจอคอมพิวเตอร์ การสร้างภาพทำโดยการตรวจวัดอิเล็กตรอนที่สะท้อนจากพื้นผิวน้ำของตัวอย่าง ผลิตโดยบริษัท JEOL รุ่น JEOL JSM 5410-LV

### 2.2.5 ดิฟเฟอเรนเซียลสแกนนิ่งแคลลอริเมเตอร์ (Differential scanning calorimeter, DSC)

เป็นเทคนิคที่เกี่ยวข้องกับการวัดอัตราการไหลของความร้อน (Heat flow:  $dQ/dt$ ) ที่ให้แก่สารตัวอย่างเทียบกับสารอ้างอิงเป็นฟังก์ชัน (Function) กับเวลาหรืออุณหภูมิ ในทางปฏิบัติเมื่อมีการเปลี่ยนแปลงทางพิสิกส์และเคมีจะส่งผลต่อการเปลี่ยนแปลงเอนราลปี รุ่น DSC 832<sup>o</sup> บริษัท METTLER TOLEDO Co., Ltd

### 2.2.6 เทอร์โมกราฟิเมทริกซ์เอนนาไลเซอร์ (Thermogravimetric analyzer, TGA)

เป็นเครื่องที่ใช้วิเคราะห์การเปลี่ยนแปลงน้ำหนักของสารตัวอย่างที่หายไป เมื่อได้รับความร้อนด้วยอัตราคงที่ค่าหนึ่ง ซึ่งนำไปใช้งานกับพอลิเมอร์ เพื่อศึกษาการสลายตัวด้วยความร้อน (Thermal decomposition) การเกิดปฏิกิริยาออกซิเดชันและความมีเสถียรภาพ (Stability) ของพอลิเมอร์ รุ่น Thermo plus TG 8120 ของบริษัท METTLER TOLEDO

### 2.2.7 ฟูเรีย์ทรายฟอร์ม อินฟราเรด สเปกโตรสโคป (Fourier infrared spectroskop, FT-IR)

เป็นเทคนิคที่ใช้ในการวิเคราะห์หาโครงสร้างของสารประกอบอินทรีย์ โดยใช้หลักการดูดกลืนรังสีอินฟราเรด เมื่อรังสีอินฟราเรด (ในช่วงความยาวคลื่น 4000-400  $\text{cm}^{-1}$ ) ถูกดูดกลืน พลังงานนั้นจะถูกเปลี่ยนเป็นพลังงานที่ทำให้พันธะในโมเลกุลของสารเกิดการหมุนและสั่น ซึ่งการสั่นแบบยีด-หดพันธะ (Stretching) และการกาง-หุบมุมพันธะ (Bending) ของแต่ละพันธะจะทำให้เกิดเป็นพีคการดูดกลืนพลังงาน (Absorption peak) ที่เป็นเอกลักษณ์ของความยาวคลื่นหรือค่าเลขคณิต (Wave number,  $\text{cm}^{-1}$ ) ต่างๆ

### 2.2.8 อะตอมมิกฟอร์สไมโครสโคป (Atomic Force Microscop AFM)

เป็นเครื่องมือที่ใช้ในการตรวจสอบลักษณะพื้นผิวของฟิล์มบางในระดับนาโน โดยอาศัยหลักการของอันตรกิริยาของแรงระหว่างอะตอม (atomic force) ระหว่างหัวเข็มวัดในระดับนาโนกับพื้นผิวของสาร และทำการประมวลผลออกในลักษณะของภาพพื้นผิว เครื่อง AFM จะสามารถทำงานได้โดย

การใช้อุปกรณ์ตรวจหรือprob (probe) ที่มีปลายแหลมเล็ก (เหมือนกับเครื่อง scanning tunneling microscope, STM) ซึ่งติดอยู่กับคานยื่น (cantilever) ที่สามารถโก่งอตัวได้เคลื่อนที่สัมผัสไปบนพื้นผิวของวัตถุ ยี่ห้อ XE-100 Park Systems

#### 2.2.9 เครื่องวิเคราะห์การเลี้ยวเบนรังสีเอ็กซ์ (X-ray Diffractrometer, XRD)

เครื่องวิเคราะห์การเลี้ยวเบนรังสีเอ็กซ์ X - Ray Diffractometer (XRD) เป็นเครื่องทดสอบด้าน X - Ray โดยใช้หลักการเลี้ยวเบนของรังสีเอ็กซ์ (X - Ray diffraction) โดยรังสีเอ็กซ์ ยี่ห้อ Bruker รุ่น D8-Discover

#### 2.2.10 เครื่องทดสอบด้านนีก้าร่าไฟลของพอลิเมอร์ (Melt flow index, MFI) ยี่ห้อ Modula Flow Index รุ่น TELEX 220147 จากบริษัท CEAST (ประเทศอิตาลี)

เป็นเครื่องที่ใช้ในการหาปริมาณเป็นกรัมของพลาสติกหลอมเหลวที่ไหลผ่านหัวดายน้ำยาใต้ Specific weight ซึ่งมีหน่วยเป็นอุณหภูมิที่กำหนดภายในเวลา 10 นาที

#### 2.2.11 เครื่องทดสอบความหนานานต่อแรงกระแทก (Pendulum impact) ของ HOUNSFIELD

เป็นเครื่องทดสอบแบบค้อนเหวี่งพร้อมด้วยค้อนกระแทกที่มีค่าพลังงานศักย์ไกล์เคียงกับค่า พลังงานถึงจุดแตกหักที่ต้องการวัดค่า

#### 2.2.12 เครื่องวัดความหนาแน่น (Densimeter) ของ Alfa mirage ประเทศไทยปุ่น

เป็นเครื่องมือที่ใช้วัดความหนาแน่นของสารต่างๆที่เป็นของแข็งและสารที่เป็นของเหลว มีความละเอียดในการวัดค่าความหนาแน่น 0.01 กรัม/ ลบ.ซม สามารถวัดขั้นงานที่มีน้ำหนักสูงสุด 300 กรัม ใช้เวลาในการวัด 10 วินาที

#### 2.2.13 ตู้อบลมร้อน (Hot air oven)

เป็นเครื่องมือที่ใช้ในการอบสารตัวอย่างหรือวัสดุต่างๆเพื่อทำให้แห้งหรือไล่ความชื้น ภายในตู้อบมีตะแกรงเหล็กวางเป็นชั้นๆเพื่อใช้สำหรับวางชิ้นตัวอย่าง ในตู้อบสามารถควบคุมอุณหภูมิได้สามารถตั้งอุณหภูมิได้สูงสุดถึง 220 องศาเซลเซียส ผลิตโดยบริษัท MEMMERT GmbH ประเทศเยอรมัน

#### 2.2.13 QUV Accelerate Weathering Tester

เป็นเครื่องที่ใช้ในการเร่งและจำลองสภาพอากาศ QUV Weathering Tester ที่ให้พลังงานเฉพาะแสง UV ที่มีอยู่บนพื้นโลกจริงคือ UVA และ UVB ทั้งยังจำลองการเกิดน้ำค้างในตอนกลางคืน ใช้ในทดสอบเกี่ยวกับความคงทนของพอลิเมอร์ สภาพอากาศ

### 2.3 วิธีดำเนินการวิจัย

2.3.1. การเตรียมพอลิเมอร์สมรรถว่างพอลิแลคติกแอซิดและยางธรรมชาติอิพอกไซด์ โดยใช้เทาเนียมไดออกไซด์เป็นสารตัวเติม มีขั้นตอนดังนี้

การเตรียมพอลิเมอร์สมท่อตราช่วงของ PLA/ENR 25 และ 50 โมล% ที่ 90/10 ด้วยเครื่องอัดรีดแบบสกรูคู่ (twin screw extruder) โดยนำเม็ดพอลิแลคติกแอซิดไปอบไอล์ความชื้นที่ 60 องศาเซลเซียส เป็นเวลา 24 ชั่วโมง และนำยางธรรมชาติอิพอกไซด์ที่มีปริมาณอิพอกไซด์ 25 และ 50 โมล% มาบดผสมกับไฟเทาเนียมไดออกไซด์ที่ 5, 10 และ 15 phr ในเครื่องบดผสมสองลูกกลิ้ง ก่อนนำไปใช้และทำการตัดยางธรรมชาติอิพอกไซด์ ให้มีขนาดประมาณ 1X1 เซนติเมตร ผสมกับเม็ดพอลิแลคติกแอซิดให้เข้ากันและป้อนเม็ดพอลิเมอร์สมลงในเครื่องอัดรีดสกรูคู่ โดยการตั้งค่าของเครื่อง ดังนี้ อุณหภูมิ = Barrel 1-4, die=30,150,160,160,160,160 และใช้ ความเร็วสกรู 40 rpm หลังจากผสมนำพอลิเมอร์ดังกล่าวแล้วทำการตัดเม็ดด้วยความเร็ว 152 รอบ/นาที และความเร็วในการดึง 25 รอบ/นาที และนำเม็ดไปอบที่ 60 องศาเซลเซียส เป็นเวลา 24 ชั่วโมง และนำไปขึ้นรูปฟิล์มด้วยกระบวนการ Cast film โดยการตั้งค่าความเร็วสกรูของเครื่อง Single-screw extruder ที่ 65.6 รอบ/นาที อุณหภูมิอยู่ในช่วง 150-170 องศาเซลเซียส และความเร็วของลูกกลิ้ง 1- 4 ในการดึงฟิล์มที่ 07.4, 07.4, 0 และ 31 รอบ/นาที จากนั้นทำการขึ้นรูปฟิล์มและวัดความหนาของฟิล์มตามมาตรฐาน ISO 4593

2.3.2 กระบวนการเตรียมฟิล์มจากพอลิเมอร์สมรรถว่างพอลิแลคติกและยางธรรมชาติอิพอกไซด์ โดยใช้เทาเนียมไดออกไซด์เป็นสารตัวเติม

การเตรียมฟิล์มจากพอลิเมอร์สมท่อตราช่วงของ PLA/ENR 25 และ 50 โมล% ที่ 90/10 ด้วยเครื่อง cast film โดยนำเม็ดพอลิเมอร์สมไปอบไอล์ความชื้นที่ 60 องศาเซลเซียส เป็นเวลา 24 ชั่วโมง จากนั้นป้อนเข้าไปในเครื่อง cast film โดยการตั้งค่าเครื่องดังนี้ อุณหภูมิ = Barrel 1-5, die=160,170,170,170,170,170 และใช้ ความเร็วสกรู 55 rpm

#### 2.3.3 ทดสอบการย่อยสลายได้ทางชีวภาพ ตามมาตรฐาน EN-13655

เตรียมชิ้นทดสอบขนาด  $1.5 \times 15 \text{ cm}$  แล้วบรรจุในตาข่ายใน lon จากนั้นนำฟิล์มไปฝังลงในดินที่ระดับความลึก 10 เซนติเมตร ที่ระยะเวลา 1, 2, 3, 4 และ 5 เดือน หลังฝังนำดินมาล้างทำความสะอาดด้วยน้ำกากลัน ทำให้แห้งโดยการอบที่อุณหภูมิ 40 องศาเซลเซียส แล้วซึ่งน้ำหนักฟิล์มเพื่อคูน้ำหนักที่หายไปของฟิล์มทุกๆ เดือน

2.3.4 การทดสอบสมบัติของพอลิเมอร์สมและฟิล์มพอลิเมอร์สมรรถว่างพอลิแลคติกแอซิดและยางธรรมชาติอิพอกไซด์ โดยใช้เทาเนียมไดออกไซด์เป็นสารตัวเติม

2.3.4.1 ทดสอบสมบัติเชิงกล ของฟิล์มพอลิเมอร์สมและพอลิเมอร์สมรรถว่างพอลิแลคติกแอซิดและยางธรรมชาติอิพอกไซด์ โดยใช้เทาเนียมไดออกไซด์เป็นสารตัวเติม

1) ทดสอบความทนทานต่อแรงดึง (Tensile strength) ASTM D 638

เป็นการดึงชิ้นตัวอย่างทดสอบจนขาดออกจากกัน ในขณะเดียวกันจะมีการบันทึกแรงที่ใช้ในการดึง และระยะยืดของชิ้นตัวอย่างทดสอบด้วยเครื่องบันทึก เพื่อตรวจสอบความแข็งแรงของ

วัสดุเมื่อได้รับแรงดึง เมื่อดึงชิ้นตัวอย่างที่มีสมบัติแข็งเปราะอย่างต่อเนื่องจนเกิดการแตกหัก ผลจากการวัดแรงดึงที่กระทำต่อชิ้นตัวอย่าง ณ ตำแหน่งที่เกิดการแตกหัก เรียกว่าความเค้นสูงสุด (Ultimate tensile stress) หรือความต้านทานแรงดึง (Tensile strength) แสดงดังรูปที่ 2.1

- การทดสอบ

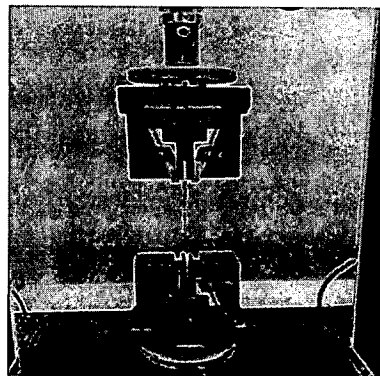
1) ตัดชิ้นทดสอบของพอลิเมอร์สมเป็นรูปดัมเบลล์ (Dumbbell) ยาว 165 มิลลิเมตร หนา 3 มิลลิเมตร และตัดชิ้นทดสอบพีล์ม ขนาด ยาว 150 มิลลิเมตร หนา 0.5-0.8 มิลลิเมตร กว้าง 15 มิลลิเมตร ที่เตรียมไว้ไปจับยึดด้วยหัวจับขนาด 10 kN

2) ทำการดึงชิ้นงานด้วยเครื่อง Testing Tester ด้วยความเร็วคงที่ (50 mm/ min)

3) ได้ผลการทดลองในรูปของความสัมพันธ์ระหว่างความเค้น (Stress) และความเครียด (Strain) คำนวนผลที่ได้จากการทดสอบ

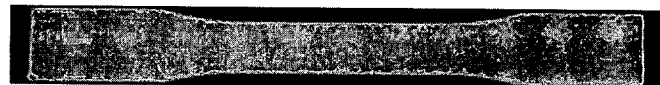
4) บันทึกข้อมูล Tensile strength Young's modulus และ Percent strain at break และทำการทดสอบเข่นเดิมกับทุกชิ้นงาน ตัวอย่างละ 10 ชิ้น

5) นำข้อมูลที่ได้จากการทดลองมาฟื้อตกราฟ หากความสัมพันธ์เปรียบเทียบสมบัติเชิงกลของชิ้นงาน



รูปที่ 2.1 เครื่องทดสอบความทนทานต่อแรงดึง

ชิ้นงานตัวอย่างการทดสอบความทนทานต่อแรงดึง เตรียมได้จากการนำชิ้นงานพอลิเมอร์ ผสมที่ได้จากการเตรียมให้เป็นแผ่นในขั้นตอนการอัดขึ้นรูป มาตัดเป็นรูปดัมเบล ด้วยเครื่องตัดชิ้นงานพลาสติก แสดงดังรูปที่ 2.2



รูปที่ 2.2 ชิ้นงานสำหรับทดสอบความทนทานต่อแรงดึง

2) ทดสอบความทนทานต่อแรงกระแทก (Impact strength) ตามมาตรฐาน  
ASTM D 256-84 ของพอลิเมอร์ผสม [23]

เป็นการใช้แรงกระทำเคลื่อนที่ด้วยความเร็วกระแทกซึ่นตัวอย่างทดสอบให้แตกหักในเวลาอันสั้น เพื่อศึกษาพฤติกรรมของวัสดุเมื่อถูกแรงกระแทก ความต้านทานแรงกระแทกจากการตีด้วยค้อนในรูปของพลังงานจลน์ ในหน่วยจูลต่อตารางเมตร

ชิ้นงานตัวอย่างการทดสอบความทนทานต่อแรงกระแทก เตรียมได้จากการนำชิ้นงานพอลิเมอร์ผสมที่ได้จากการเตรียมให้เป็นแผ่นในขั้นตอนการอัดขึ้นรูป มาตัดด้วยเครื่องตัดชิ้นงานพลาสติกยี่ห้อ Ceast ขนาด  $12.7 \times 64 \times 3$  มิลลิเมตร แสดงดังรูปที่ 2.3

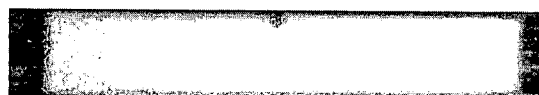
- วิธีการทดสอบ

1) วัดความกว้างและความหนาของชิ้นงานที่นำมาทดสอบ บริเวณด้านหลังรอยปากของชิ้นงาน บันทึกค่าที่ได้เพื่อใช้ในการคำนวณ

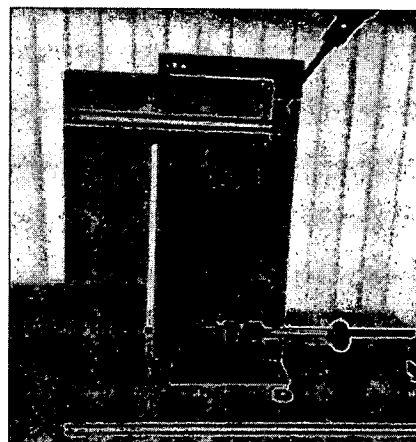
2) ทำการทดสอบเพื่อเปรียบเทียบสมบัติการรับแรงกระแทกของชิ้นงานด้วยวิธีการทดสอบแบบ Izod impact testing โดยนำชิ้นงานยึดกับฐานของเครื่องทดสอบให้แน่น หันด้านที่มีรอยปากเข้าหาค้อน ขนาด 2 จูล และทำการปล่อยค้อนตกลงมากระแทกชิ้นงาน

3) บันทึกค่าพลังงานที่ได้จากเครื่อง ในหน่วย จูล และทำการทดสอบเช่นเดียวกันกับทุกชิ้นงาน ทดสอบจำนวน 10 ชิ้น

4) คำนวนหาค่าพลังงานเฉลี่ยต่อพื้นที่ของรอยแตก ในหน่วย  $\text{kJ/m}^2$



รูปที่ 2.3 ชิ้นงานสำหรับทดสอบความทนทานต่อแรงกระแทก



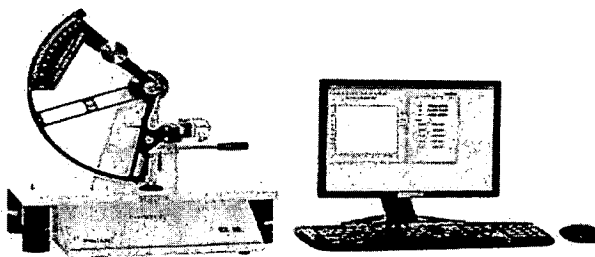
รูปที่ 2.4 เครื่องทดสอบความทนทานต่อแรงกระแทก

**3) ทดสอบความทนทานต่อการฉีกขาด (Tear strength) ตามมาตรฐาน ASTM D 1922 ของพิล์มพอลิเมอร์ผสม**

การทดสอบแรงฉีก คือการทดสอบการต้านทานแรงฉีกของตัวชิ้นงานตัวอย่าง การทดสอบแรงฉีกขาดจะทำการฉีกตัวอย่างที่ได้ขนาดมาตรฐานด้วยความเร็วคงที่ เพื่อดูว่าต้องใช้แรงเท่าใดที่จะทำให้ชิ้นงานที่นำมาทดสอบนั้น เกิดการฉีกขาดเกิดขึ้น

- **วิธีการทดสอบ**

ตัดพิล์มให้เป็นรูปสี่เหลี่ยมผืนผ้าขนาด กว้าง 63 มิลลิเมตร ยาว 76 มิลลิเมตร นำมาวางในตำแหน่งหัวจับ และตั้งลูกตุ้มที่ 27.5° หลังจากนั้นก็จะเริ่มการทดสอบ โดยลูกตุ้มจะเหวี่ยงเพื่อทำให้ชิ้นงานขาดออกและวัดแรงที่การทำต่อพิล์มอ่อนมา



รูปที่ 2.5 เครื่องทดสอบความทนทานต่อการฉีกขาด

**3.3.4.2 วิเคราะห์โครงสร้างทางเคมีของพอลิเมอร์สมาระห่วงพอลิแลคติกแอซิดและยางธรรมชาติอิพอกไซด์ โดยใช้ไฟฟานียมไดออกไซด์เป็นสารตัวเติม**

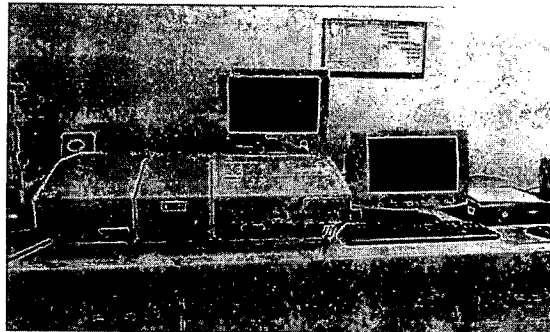
**1) การวิเคราะห์โครงสร้างทางเคมีด้วยฟูเรียร์ ทรานส์ฟอร์ม อินฟราเรดสเปกโตรสโคป (Fourier Transform Infared Spectrometer, FTIR) ของพอลิเมอร์ผสมและพิล์ม**

เป็นเทคนิคที่ใช้ในการวิเคราะห์โครงสร้างของสารประกอบอินทรีย์ โดยใช้หลักการดูดกลืนรังสีอินฟราเรด เมื่อรังสีอินฟราเรด (ในช่วงความยาวคลื่น 4000-400  $\text{cm}^{-1}$ ) ถูกดูดกลืน พลังงานนั้นจะถูกเปลี่ยนเป็นพลังงานที่ทำให้พันธะในโมเลกุลของสารเกิดการหมุนและสั่น ซึ่งการสั่นแบบยืด-หดพันธะ (Stretching) และการการ-หุบมุมพันธะ (Bending) ของแต่ละพันธะจะทำให้เกิดเป็นพีคการดูดกลืนพลังงาน (Absorption peak) ที่เป็นเอกลักษณ์ของความยาวคลื่นหรือค่าเลขคลื่น (Wave number,  $\text{cm}^{-1}$ ) ต่างๆ ดังนั้นโมเลกุลของสารแต่ละชนิดที่หมุนฟังก์ชันที่แตกต่างกัน จะให้สเปกตรัมที่เป็นเอกลักษณ์ของพันธะในโมเลกุลนั้นๆ ซึ่งเป็นประโยชน์อย่างมากต่อการพิสูจน์หาโครงสร้างของสารประกอบ

- **วิธีการทดสอบ**

การทดสอบพอลิเมอร์ผสมทำโดยการเตรียมตัวอย่างแผ่นพลาสติกที่ขึ้นรูปให้มีความหนาประมาณ 3 มิลลิเมตร และนำไปตัดให้มีขนาดประมาณ  $2 \times 1$  เซนติเมตรและใส่เครื่องทดสอบ

การทดสอบพิล์มทำการเตรียมตัวอย่างโดยจะนำพิล์มพอลิเมอร์ผสมมาตัดให้มีขนาดประมาณ  $1.5 \times 1.5$  เซนติเมตร และใส่เครื่องทดสอบ และทำการวิเคราะห์ด้วยเทคนิค ATR และนำไปวิเคราะห์ผล



รูปที่ 2.6 เครื่องฟูเรียร์ ทรานส์ฟอร์ม อินฟราเรด สเปคโตรสโคป  
(Fourier Transform Infared Spectrometer, FTIR)

2) เครื่องอีกเซเรย์ดิฟแฟร์กโตมิเตอร์ ( X-ray Diffractometer, XRD) ของพิล์ม [24]

โดยรังสีเอ็กซ์จะถูกสร้างขึ้นภายในหลอดปิดซึ่งอยู่ภายใต้สภาพสัญญาการโดยให้กระแสไฟฟ้าแก่เส้นลวดฟิลาเมนต์ (Filament) ทำให้เส้นลวดร้อนขึ้นและก่อให้เกิดการปลดปล่อยอิเล็กตรอนออกจากเส้นลวดอิเล็กตรอนถูกเร่งด้วยความต่างศักย์สูง ทำให้เคลื่อนที่เส้นลวดฟิลาเมนต์ที่เป็นขั้วแคโทดด้วยความเร็วสูงเข้าชนขั้วแอนโอด ซึ่งโดยทั่วไปมาจากโลหะทองแดงอิเล็กตรอนที่พุ่งเข้าชนจะทำให้วางในสุด (K-shell) ของอะตอมของเหลือออกไปจึงเกิดเป็นช่องว่างขึ้นเป็นผลให้อิเล็กตรอนวงนอกสุดหลุดที่อยู่ถัดมา (L- และ M-shell) เกิดการเปลี่ยนระดับพลังงานลงมาแทนที่ช่องว่างนั้น โดยค่ารังสีอกมา รังสีเอ็กซ์ที่คายอกมาจะผ่านออกจากการหลอดกำเนิดรังสีเอ็กซ์ไปยังสารตัวอย่าง และรังสีเอ็กซ์ที่เลี้ยวเบนออกจากสารตัวอย่างจะถูกตรวจจับด้วย อุปกรณ์ตรวจจับรังสีเอ็กซ์ (detector) เมื่อรังสีเอ็กซ์กระทบบนผลึกหนึ่งมันจะแตกกระฉัดกระจายโดยอะตอม เนื่องจากรังสีที่กระจายเป็นผลเนื่องมาจากการเร่งขึ้นและการห่วง浪ของอิเล็กตรอนที่เกิดจากการเคลื่อนที่โดยรังสีเอ็กซ์ไปกระตุ้นมันจะมีความยาวคลื่นเดียวกับรังสีเอ็กซ์ที่ไปกระทบด้วยความจริงมากับความปกติของรูปแบบของอะตอมในผลึกทำให้ถือได้ว่าการหักเหในสามมิติเกิดขึ้น การหักเหหรือการรับกวนที่สร้างขึ้นมาเกิดขึ้น เมื่อความแตกต่างในระยะทางเคลื่อนที่โดยสองคลื่นหักเหที่เหมือนกันเป็นเลขจำนวนเต็มของความยาวคลื่น เมื่อคลื่นทั้งสองจะอยู่ในเฟสเดียวกันเส้นแนวระดับแนวระนาบของอะตอม ซึ่งระยะระหว่างระนาบเป็น  $d$  ระยะทางที่แตกต่างกันทั้งหมดระหว่างรังสีทั้งสองเป็น  $2d \sin \Theta$  จะได้สมการที่ 1 สมการนี้คือ

$$\text{Bragg's Law of X-ray diffraction } n\lambda = 2d \sin \Theta \quad (1)$$

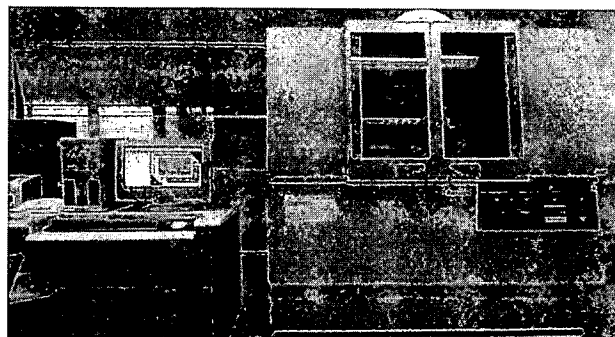
เมื่อ  $n$  = เลขจำนวนเต็มใดๆ  
 $\lambda$  = ความยาวคลื่นของรังสี  
 $\Theta$  = มุมของรังสีทั้งสอง

XRD เป็นเทคนิคที่อาศัยหลักการของการยิงรังสีเอ็กซ์ ที่ trab ความยาวคลื่นไปกระทบขั้นงานและเกิดการเลี้ยวเบนของรังสีเอ็กซ์ที่มุ่งต่างๆ กัน โดยมีอุปกรณ์ตรวจจับรังสีเอ็กซ์ (Detector)

เป็นตัวรับข้อมูลเนื่องจากสารประกอบและธาตุที่มีส่วนผสม หรือโครงสร้างต่างกันจะทำให้เกิดการเลี้ยวเบนที่มุมที่มองศาต่างกัน ข้อมูลที่ได้รับจึงสามารถบ่งบอกชนิดของสารประกอบที่มีอยู่ในสารตัวอย่าง และสามารถนำมาใช้ศึกษารายละเอียดเกี่ยวกับ โครงสร้างของผลึกของสารตัวอย่างนั้นๆได้ นอกจากนี้ข้อมูลที่ได้ยังสามารถนำมาหาปริมาณของปริมาณความเป็นผลึก ขนาดของผลึกของสารประกอบในสารตัวอย่าง

- วิธีการทดสอบ

ตัดพิล์มตัวอย่างเป็นรูปสี่เหลี่ยมขนาด  $1 \times 1$  เซนติเมตร นำไปวางบนแท่นวางตัวอย่าง หลังจากนั้นนำเข้าเครื่อง XRD เพื่อทดสอบโครงสร้างผลึกของเส้นใย ช่วงองศาที่ทดสอบ  $5^{\circ}$ - $50^{\circ}$  ข้อมูลที่ได้จากเครื่อง XRD จะเป็นกราฟข้อมูล นำกราฟที่ได้มาวิเคราะห์ปริมาณผลึกของตัวอย่าง



รูปที่ 2.7 เครื่องเอกซเรย์ดิฟแฟร็กโตเมตอร์ (X-ray Diffractrometer, XRD)

#### 2.3.4.3 สมบัติทางกายภาพ ของพอลิเมอร์ผสมระหว่างพอลิแลคติกแอซิดและยางธรรมชาติอิพอกไซด์ โดยใช้ไทยาเนียมไดออกไซด์เป็นสารตัวเติม

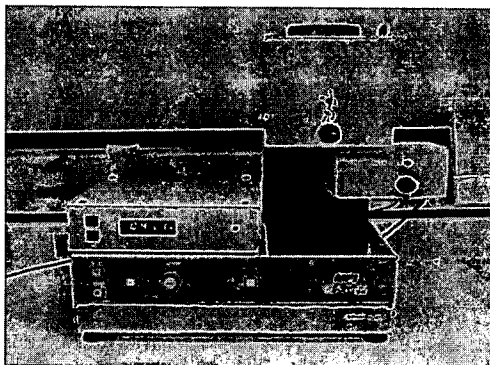
##### 1) ทดสอบดัชนีการไหลของพอลิเมอร์ (Melt flow index, MFI) ASTM 1238 ของพอลิเมอร์ผสม

การทดสอบค่าดัชนีการไหล (Melt Flow Index, MFI) คือ การหาปริมาณเป็นกรัม ของพลาสติกหลอมเหลวที่ไหลผ่านหัวดายน้ำยาให้ Specific Weight ซึ่งมีหน่วยเป็นอุณหภูมิที่กำหนดภายในเวลา 10 นาที ค่าที่ได้จากการทดสอบของพอลิเมอร์แต่ละชนิดมีค่าที่แตกต่างเป็นการทดสอบคุณสมบัติการไหลตัวของพลาสติกเหลวจำพวก Thermoplastics ตามมาตรฐาน DIN 53735 (MFI, Melt Flow Index) ASTM D 1238 และ ISO 1133 (MFR, Melt Flow Rate) การทดสอบนี้จะคล้ายกับการ Extrusion คือเป็นการหลอมเหลวพลาสติกในระบบอุกทดสอบ (cylinder) ด้วยอุณหภูมิที่กำหนดแล้วใช้น้ำหนักดตามค่าที่กำหนด เช่น กันกล่องแบบหัวกด (Piston) โดยให้แห่งกดกระทำกับพลาสติกเหลวที่อยู่ในระบบอุกทดสอบ พลาสติกเหลวจะไหลผ่านหัวดายน้ำออกมาน หลังจากนั้นกึ่งนาพลาสติกที่ไหลออกมายังชั้นน้ำหนักเทียบกับเวลา 10 นาที เราจะได้ค่าของ MFI ของพลาสติก ซึ่งมีหน่วยเป็น กรัม / 10 นาที

- วิธีการทดสอบ

##### 1) ก่อนทำการทดสอบควรทำความสะอาดระบบอุกสูบและลูกสูบด้วยตัวทำละลายร้อน แล้วเช็ดสีสกปรกทั้งหมดออก

- 2) ตั้งอุณหภูมิเครื่องทดสอบที่ 190 องศาเซลเซียส เป็นเวลา 15 นาที
- 3) บรรจุสารตัวอย่าง โดยมีน้ำหนักประมาณ 8 กรัม ลงในระบบอุ่น
- 4) นำน้ำหนักกด 2.16 กิโลกรัม มวลลงบนก้านกดน้ำหนัก จากนั้นเริ่มจับเวลา เมื่อพอลิเมอร์ผสมไว้หลอกอกมาจากหัวดายันแต่ละชิ้น ตั้งทิ้งไว้ 10 วินาที
- 5) เก็บตัวอย่างจากหัวดายัน อย่างน้อย 5 ตัวอย่าง
- 6) ปล่อยหัวดายันทิ้งไว้ที่อุณหภูมิห้อง ซึ่งน้ำหนัก และคำนวนหาค่าดัชนีการไฟล



รูปที่ 2.8 เครื่องทดสอบดัชนีการไฟล

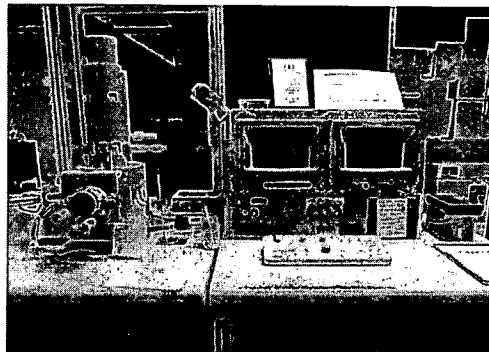
2) ทดสอบลักษณะสัมฐานวิทยาด้วยกล้องจุลทรรศน์อิเล็กตรอนแบบส่องกราด (Scanning electron microscope, SEM) ของพอลิเมอร์ผสมและพิล์ม [25]

เครื่องประกอบด้วยแหล่งกำเนิดอิเล็กตรอนซึ่งทำหน้าที่ผลิตอิเล็กตรอนเพื่อป้อนให้กับระบบโดยกลุ่มอิเล็กตรอนที่ได้จากแหล่งกำเนิดจะถูกเร่งด้วยสนามไฟฟ้า จากนั้นกลุ่มอิเล็กตรอนจะผ่านเลนส์รวมรังสี (Condenser lens) เพื่อทำให้กลุ่มอิเล็กตรอนกล้ายเป็นลำอิเล็กตรอนซึ่งสามารถปรับให้ขนาดของลำอิเล็กตรอนใหญ่หรือเล็กได้ตามต้องการ หากต้องการภาพที่มีความคมชัด จะปรับให้ลำอิเล็กตรอนมีขนาดเล็ก หลังจากนั้นลำอิเล็กตรอนจะถูกปรับระยำไฟกัสโดยเลนส์ไกลัตตุ (Objective lens) ลงไปบนผิวชิ้นงานที่ต้องการศึกษา หลังจากลำอิเล็กตรอนถูกกราดลงบนชิ้นงานจะทำให้เกิดอิเล็กตรอนทุติยภูมิ (Secondary electron) ขึ้นซึ่งสัญญาณจากอิเล็กตรอนทุติยภูมินี้จะถูกบันทึก และแปลงไปเป็นสัญญาณทางอิเล็กทรอนิกส์และถูกนำไปสร้างเป็นภาพบนจอโทรทัศน์ต่อไป และสามารถบันทึกภาพจากหน้าจอโทรทัศน์ได้เลย ดังแสดงในรูปที่ 2.9

พอลิเมอร์ที่สามารถนำไปใช้ได้ สามารถนำตัวอย่างที่เป็นผง ติดตัวอย่างบนฐานยึดตัวอย่าง (Stub) ด้วยแผ่นเทปกาว 2 หน้าจึงวิเคราะห์ด้วย SEM (ตัวอย่างที่เป็นแผ่นก็ทำเช่นเดียวกัน กับตัวอย่างที่เป็นผง) แต่พอลิเมอร์ที่ไม่สามารถนำไปใช้ได้ต้องนำไปเผาผิวด้วยทองหรือคาร์บอนก่อน ทำการวิเคราะห์ด้วย SEM (ตัวอย่างที่เป็นแผ่นก็ทำเช่นเดียวกันกับตัวอย่างที่เป็นผง)

#### - วิธีการทดสอบ

นำพอลิเมอร์ผสมที่ได้จากเครื่องอัตโนมัติสกรูซูม่าแซชในในโตรเจนเหลวแล้วหักเพื่อตัด นำตัวอย่างที่ได้มาตัดให้ได้ความสูงประมาณ 5 mm และนำไปโค๊ดทอง 2 นาที ด้วยเครื่อง Sputter Coater นำตัวอย่างที่ได้ไปทดสอบด้วย SEM ที่กำลังขยาย X 500 และ 1000 เท่า



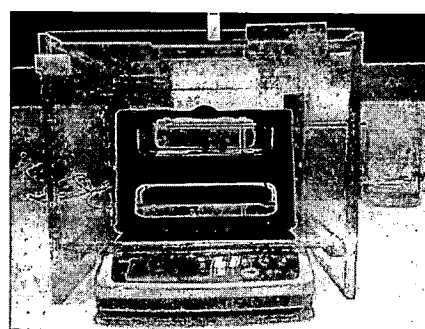
รูปที่ 2.9 เครื่องสแกนนิ่งอิเล็กตรอนไมโครสโคป (Scanning electron microscope, SEM)

### 3) ทดสอบความหนาแน่น (Density) ของพอลิเมอร์ผสมและฟิล์มพอลิเมอร์ผสม

ค่าความถ่วงจำเพาะ (specific gravity) ของพอลิเมอร์จะหมายถึงสัดส่วนระหว่างน้ำหนักของวัสดุพอลิเมอร์ที่ทดสอบเทียบกับน้ำหนักของน้ำที่มีปริมาตรเท่าวัสดุ ณ อุณหภูมิที่กำหนด (เช่น 23 องศาเซลเซียส) ดังนั้นค่าความถ่วงจำเพาะจึงเป็นค่าที่ไม่มีหน่วย ในขณะที่ค่าความหนาแน่น (density) จะหมายถึงน้ำหนักต่อหน่วยปริมาตรของวัสดุนั้น ซึ่งจะเป็นค่าที่มีหน่วยเป็นกรัมต่อลูกบาศก์เซนติเมตร หรือปอนด์ต่อลูกบาศก์ฟุต จะเห็นได้ว่าค่าทั้ง 2 มีความหมายต่างกันแต่ค่าที่ได้ใกล้เคียงกันมากและบางครั้งมักจะมีการนำตัวเลขไปใช้อ้างอิงสลับกัน ค่าความถ่วงจำเพาะถือเป็นจุดเด่นของวัสดุพอลิเมอร์ เนื่องจากพอลิเมอร์จะมีน้ำหนักเบาเมื่อเทียบกับวัสดุประเภทอื่นๆ เช่น โลหะ หรือ เซรามิกส์ นอกจากนี้ในบางกรณีผลิตภัณฑ์พอลิเมอร์จะมีการเติมสารเติมแต่ง (additive) ลงไปด้วยซึ่งจะส่งผลให้ค่าความถ่วงจำเพาะเปลี่ยนแปลงไป ดังนั้นการวัดความถ่วงจำเพาะหรือความหนาแน่นของพอลิเมอร์จึงมีความสำคัญในแง่ของการควบคุมคุณภาพของผลิตภัณฑ์

#### - วิธีการทดสอบ

สำหรับตัวอย่างของพอลิเมอร์ผสมเตรียมขึ้นพอลิเมอร์ผสมขนาดประมาณ 0.5 กรัม และนำขึ้นพอลิเมอร์ผสมมาซึ่งในเครื่อง Density โดยจะซึ่งในอากาศหลังจากนั้นนำมาซึ่งในน้ำ เครื่องจะแสดงค่าความหนาแน่นออกมา และตัวอย่างที่เป็นฟิล์มจะต้องตัดฟิล์มพอลิเมอร์ผสมขนาดประมาณ  $1.5 \times 1.5 \text{ cm}$  และฟิล์มพอลิเมอร์ผสมมาซึ่งในเครื่อง Density โดยจะซึ่งในอากาศหลังจากนั้นนำมาซึ่งในน้ำ เครื่องจะแสดงค่าความหนาแน่นออกมา



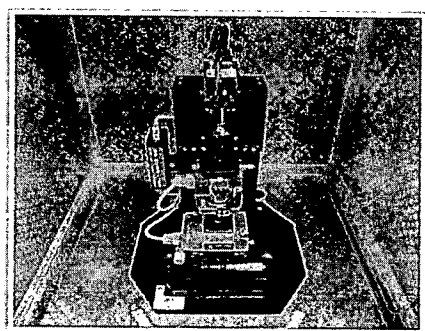
รูปที่ 2.10 เครื่องทดสอบความหนาแน่น (Density)

#### 4) ทดสอบลักษณะพื้นผิวด้วยเครื่อง Atomic force microscope (AFM) ของฟิล์ม [26]

การทำงานของเครื่อง AFM การผ่านแสงเลเซอร์ไปให้กับส่วนปลายแหลม (tip) ของคานยื่นที่มีขนาดระดับอะตอมในระยะใกล้ ซึ่งส่วนปลายแหลมของคานนั้นจะไปสัมผัสแบบกระดกในทิศทางขึ้นและลงกับพื้นผิวของวัตถุ และเมื่อเครื่อง AFM ลากส่วนปลายแหลมผ่านโครงสร้างระดับนาโน แรงปฏิกิริยาที่กระทำในแนวตั้งจากที่เกิดขึ้นระหว่างอะตอมของพื้นผิวกับปลายแหลมจะดึงคาน ทำให้คานโกร่งอตัวทำให้สามารถตรวจดูขนาดของแรงเชิงปฏิสัมพันธ์ ระหว่างความสัมพันธ์เชิงตำแหน่ง ของส่วนปลายแหลมและพื้นผิวของวัตถุ (ทำให้สามารถทราบถึงระดับพลังงานที่เกิดขึ้นได้) ซึ่งจะถูกนำมาแปรสัญญาณร่วมกันเพื่อนำมาสร้างเป็นภาพพื้นผิวที่เป็นลักษณะเชิงโครงสร้างระดับอะตอมที่มีกำลังการขยายสูงไปแสดงบนจอมภาพที่เป็นมอนิเตอร์เช่นเดียวกับเครื่อง STM (และโดยหลักการเดียวกันนี้สามารถที่ใช้ปลายแหลมของคานนี้ในการสร้างแรงผลัก เพื่อเคลื่อนย้ายอะตอมแต่ละตัว ของโครงสร้างวัสดุได้เช่นเดียวกันอีกด้วย)

##### - วิธีการทดสอบ

ตัดฟิล์มให้มีขนาดเท่ากับฐานรองรับ และใช้การสองหน้าติดกับฐานรองรับ จากนั้นพิมป์ไปทดสอบด้วยเครื่อง AFM และทำการเลือกโหมดในการวิเคราะห์ลักษณะทางพื้นผิวของฟิล์ม



รูปที่ 2.11 เครื่อง Atomic Force Microscopy (AFM)

#### 2.3.4.4 ทดสอบสมบัติทางความร้อน ของพอลิเมอร์สมรรถว่างพอลิแลคติกแอซิดและยางธรรมชาติอิพอกไซด์ โดยใช้ไฟฟานียมไดออกไซด์เป็นสารตัวเติม

1) อุณหภูมิหลอมเหลวพลีกและอุณหภูมิกาสทรานชิชั่นด้วยเทคนิคดิฟเฟอร์เรนเชียลสแกนนิngแคลโรเมต์เตอร์ (Differential Scanning Calorimeter, DSC) ของพอลิเมอร์ผสมและฟิล์มพอลิเมอร์ผสม

เป็นเทคนิคที่เกี่ยวข้องกับการวัดอัตราการไหลของความร้อน (Heat flow:  $dQ/dt$ ) ที่ให้แก่สารตัวอย่างเทียบกับสารอ้างอิงเป็นฟังก์ชัน (Function) กับเวลาหรืออุณหภูมิ ในทางปฏิบัติเมื่อมีการเปลี่ยนแปลงทางฟิสิกส์และเคมีจะส่งผลต่อการเปลี่ยนแปลงเอนราลปี ซึ่งการเปลี่ยนแปลงของเอนราลปี (Enthalpy) นี้สามารถใช้ DSC ตรวจด้วย การเปลี่ยนแปลงที่เกิดขึ้นหลายชนิด เช่น การเปลี่ยนแปลงมวล รูปร่างหรือคุณสมบัติทางแสงของสารจะส่งผลต่อการเพิ่มหรือลดอุณหภูมิ นอกจากนี้เครื่อง DSC ยังใช้ในการวัดความจุความร้อน (Heat Capacity;  $C_p$ ) ซึ่งเป็นสมบัติที่มีความสำคัญของพอลิเมอร์ (Polymer) เนื่องจากประวัติของกระบวนการผลิต สมบัติเชิงกล และการให้ความร้อนใน

รูปแบบต่างๆ จะแสดงให้ทราบถึงลักษณะเฉพาะของพอลิเมอร์ซึ่งใช้ปั่งบวกความเป็นสารนั้นในผลิตภัณฑ์สุดท้าย บางครั้งเรียกว่า Fingerprint นั้นแสดงค่าพลังงานของระบบจะมีค่าเฉพาะเพียงค่าเดียวเท่านั้น ดังนั้นการเปลี่ยนแปลงของ  $C_p$  เมื่อเทียบกับสารอ้างอิงสามารถใช้ในการบ่งบอกประวัติที่ผ่านมาของพอลิเมอร์ตัวอย่างนั้น [27]

#### - วิธีการทดสอบ

1) เปิดชุดทดสอบ DSC ซึ่งประกอบด้วยคอมพิวเตอร์ใช้สำหรับพล็อตกราฟและบันทึกข้อมูล ด้วยระบบควบคุม DSC (DSC Controller)

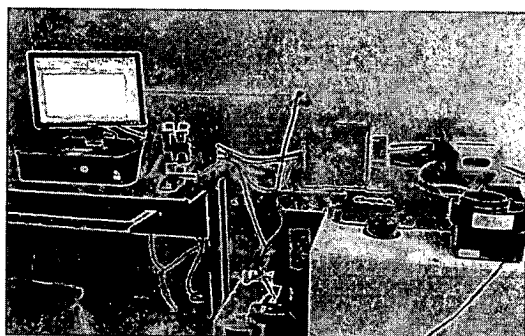
2) บรรจุสารตัวอย่างลงในภาชนะบรรจุสาร ประมาณ 3-5 มิลลิกรัม ใส่ลงในภาชนะอลูมิเนียม (Pan) แล้วนำไปอัดปิดฝาให้แน่นจนอากาศไม่สามารถเข้าไปได้ นำไปใส่ในเตา (Furnace) ของเครื่อง DSC ซึ่งมี 2 เตา โดยเตาที่ 1 สำหรับใส่ภาชนะเปล่าเพื่อเป็นตัวอ้างอิง และเตาที่ 2 ใช้สำหรับใส่ภาชนะที่บรรจุสารตัวอย่างเพื่อทำการทดสอบ

3) ปิดฝาครอบเครื่อง DSC

4) ตั้งค่าการทดสอบโดยใช้อัตราการเพิ่มความร้อน  $10^{\circ}\text{C}/\text{min}$  จากอุณหภูมิ  $-60^{\circ}\text{C}$  จนถึง  $200^{\circ}\text{C}$  โดยการรักษาอุณหภูมิที่  $200^{\circ}\text{C}$  เป็นเวลา 5 นาที เพื่อกำจัด Thermal history แล้วลดความร้อน  $10^{\circ}\text{C}/\text{min}$  จากอุณหภูมิ  $200^{\circ}\text{C}$  ลงมาจนถึง  $30^{\circ}\text{C}$

5) เริ่มทำการเดินเครื่อง DSC และเปิดก้าชในโตรเจนเข้าสู่ระบบ คอมพิวเตอร์จะทำการวิเคราะห์อุณหภูมิตามเงื่อนไขที่ตั้งไว้เมื่อถึงเวลาสุดท้ายจะมีเสียงสัญญาณเตือน คอมพิวเตอร์จะหยุดการวิเคราะห์ผล

6) ปิดวาล์วถังก้าชในโตรเจนและนำภาชนะบรรจุสารตัวอย่างออกจากเตาเครื่อง DSC บันทึกข้อมูล จากนั้นจะเริ่มทำการทดสอบตัวอย่างแล้วทำการวิเคราะห์ผลที่ได้



รูปที่ 2.12 เครื่องเครื่องดิฟเฟอเรนเชียลสแกนนิ่งแคลอริมิเตอร์ (Differential Scanning Calorimeter , DSC)

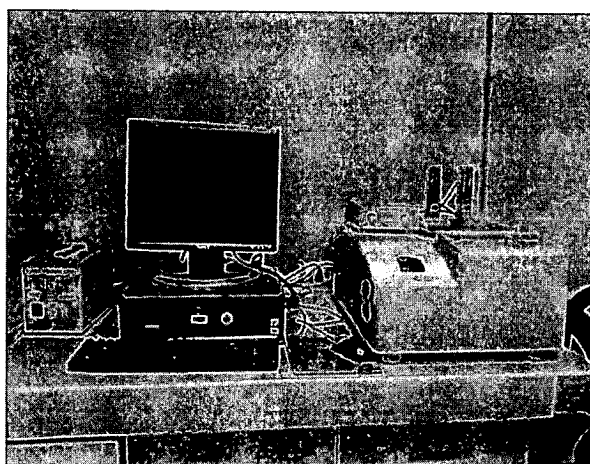
## 2) ทดสอบอุณหภูมิการสลายตัวด้วยเทคนิคเทอร์โมกราฟิเมตริกแอนนาไลเซอร์ (Thermo Gravimetric Analyzer, TGA) ของพอลิเมอร์ผสม

การวิเคราะห์สมบัติทางความร้อนเป็นการวิเคราะห์การเปลี่ยนแปลงสมบัติทางกายภาพหรือทางเคมีของวัสดุที่ขึ้นกับอุณหภูมิและเวลา ผลการวิเคราะห์จะให้ข้อมูลเกี่ยวกับสมบัติทางความร้อน เสถียรภาพต่อความร้อน เสถียรภาพต่อการเกิดปฏิกิริยาออกซิเดชัน และลักษณะการผ่านกระบวนการทางความร้อนของวัสดุ โดยทำการศึกษาน้ำหนักที่หายไปเมื่อมีการเปลี่ยนแปลง

อุณหภูมิ ความร้อนที่รักษาดูดหรือคาย เมื่อเกิดการเปลี่ยนแปลงอุณหภูมิหรือเวลา และการเปลี่ยนแปลงขนาดของวัสดุ ชิ้นงานภายใต้การเปลี่ยนแปลงอุณหภูมิหรือเวลา [28]

- วิธีการทดสอบ

นำพอลิเมอร์ผสมที่ได้มาซึ่งน้ำหนักประมาณ 3 - 5 มิลลิกรัมใส่ลงไปในถ้วยอลูมิเนียม (Aluminium crucible) นำถ้วยอลูมิเนียมที่บรรจุตัวอย่างแล้วมาทำการใช้แท่งเหล็กกดเพื่อให้เส้นใยอัดลงในถ้วยอลูมิเนียม จากนั้นนำตัวอย่างไปเข้าเครื่อง TGA ทดสอบภายใต้บรรยากาศในโตรเจนจากอุณหภูมิ  $25^{\circ}\text{C}$  ถึง  $600^{\circ}\text{C}$  อัตราการให้ความร้อน  $10^{\circ}\text{C}/\text{min}$  นำข้อมูลที่ได้จากเครื่อง TGA ไปวิเคราะห์หาอุณหภูมิการสลายตัวทางความร้อน



รูปที่ 2.13 เครื่องเทอร์โมกราฟิกซ์ แอนนาไลซิส (Thermogravimetric Analysis ,TGA)

2.3.4.5 การทดสอบแผ่นพิล์มที่ได้จากพอลิเมอร์ผสมระหว่างพอลิแลคติกแอซิตและยางธรรมชาติอิพอกไซด์โดยใช้ไฟฟานีเมียมไดซ์ออกไซด์เป็นสารตัวเติมก่อนและหลังผ่านดิน

1) การทดสอบสมบัติทางกายภาพ

1.1) สแกนนิ่ง อิเล็คทรอนไมโครสโคป (Scanning electron microscope, SEM)

วิธีการทดสอบ

ตัดแผ่นพิล์มตัวอย่างเท่ากับ Stub ทองเหลืองซึ่งมี 2 ด้าน เช็ด Stub ด้วยเอธรานอล 95 เปอร์เซ็นต์ เพื่อทำความสะอาด ติด Carbon tape แล้วนำตัวอย่างติดลงไป และทำการเคลือบด้วยทอง 2 นาที ด้วยเครื่อง Sputter Coater นำตัวอย่างที่ได้ไปทดสอบด้วย SEM ที่กำลังขยาย X 500 และ 1000 เท่า

1.2) การทดสอบการดูดซับน้ำ (Water absorption) ตามมาตรฐาน D570 [29]

วิธีการทดสอบ

ตัดชิ้นตัวอย่างขนาด  $1 \times 3$  ตารางเซนติเมตร อบในเตาอบที่อุณหภูมิ 40 องศาเซลเซียส จนน้ำหนักคงที่ และซับน้ำหนัก (3 ตัวอย่าง) จากนั้นนำตัวอย่างใส่ลงไปในหลอดทดลองที่มีน้ำ Deionized (ปริมาณ 10 มิลลิลิตร) วางบน Water bath ที่อุณหภูมิ 58 องศาเซลเซียส แข็งไว้ที่

เวลา 5, 10, 15, 20,...,160 นาที ตามลำดับ ครบเวลาแล้วทำการนำชิ้นตัวอย่างไปปั่นน้ำหนัก โดยใช้กราดழชบัฟน้ำส่วนที่เกินอุกมา (บันทึกผล) การคูดซับน้ำที่ได้สามารถคำนวณได้จากสมการที่ 3.1

$$\text{Water adsorption (\%)} = \frac{W_d - W_a}{W_a} \times 100 \quad (3.1)$$

โดยที่  $W_a$  = น้ำหนักก่อนการคูดซับน้ำของชิ้นงาน (กรัม)  
 $W_d$  = น้ำหนักหลังการคูดซับน้ำของชิ้นงาน (กรัม)

### 1.3) การทดสอบไฮโดรไลซิส (Hydrolysis) [29]

วิธีการทดสอบ

ตัดชิ้นตัวอย่างขนาด  $1 \times 3$  เซนติเมตร และซึ่งน้ำหนัก จากนั้นนำตัวอย่างใส่ลงในหลอดทดลองที่มีน้ำ Deionized (ปริมาณ 10 มิลลิลิตร) วางบน water bath ที่อุณหภูมิ 58 องศาเซลเซียส แซ่ทิ้งไว้ที่เวลา 3, 6, 9, 12, วัน ครบเวลาแล้วนำชิ้นตัวอย่างมาล้างด้วยน้ำ Deionized ไปปั่นน้ำหนัก โดยใช้กราดழชบัฟน้ำส่วนที่เกินอุกมา (บันทึกผล) นำชิ้นงานไปอบให้แห้งที่อุณหภูมิ 40 องศาเซลเซียส จนน้ำหนักคงที่ แล้วซึ่งน้ำหนักที่เปลี่ยนแปลงไปและคำนวณหาเปอร์เซ็นต์น้ำหนักที่หายไป ได้จากสมการที่ 3.2

$$\text{Mass loss (\%)} = \frac{1-W_t}{W_0} \times 100 \quad (3.2)$$

โดยที่  $W_0$  = น้ำหนักก่อนการสูญเสียมวลไม่เลกุลของชิ้นงาน (กรัม)  
 $W_t$  = น้ำหนักหลังการสูญเสียมวลไม่เลกุลของชิ้นงาน (กรัม)

## 2) การทดสอบสมบัติทางความร้อน

2.1) เครื่องดิฟเฟอเรนเชียลแอกซิเมทรี [Differential Scanning Calorimetry (DSC)]

วิธีการทดสอบ

นำฟิล์มตัวอย่างมาทำการซึ่งน้ำหนัก 3 – 5 มิลลิกรัม ใส่ลงในถาดอลูมิเนียม (Aluminum pan) นำถาดอลูมิเนียมที่บรรจุตัวอย่างแล้วมาทำการปิดฝ้าด้วยเครื่องปิดฝ้า จากนั้นนำตัวอย่างไปเข้าเครื่อง DSC เพื่อทดสอบสมบัติทางความร้อนโดยทดสอบภายใต้บรรยากาศในตอรเจน อัตราการไหลของในตอรเจน  $20 \text{ mL/min}$  ตั้งค่าอุณหภูมิของเครื่องในการทดสอบ  $-60^{\circ}\text{C}$ - $200^{\circ}\text{C}$  และอัตราการให้ความร้อนที่  $10^{\circ}\text{C}/\text{min}$  นำเทอร์โมแกรมที่ได้ไปวิเคราะห์หาอุณหภูมิการหลอมเหลว ผลลัพธ์ ( $T_m$ ) อุณหภูมิการเปลี่ยนสถานะคล้ายแก้ว ( $T_g$ )

2.2) เครื่องเทอร์โมกราวิเมทริกต์ แอนนาไลซิส (Thermogravimetric Analysis, TGA)

วิธีการทดสอบ

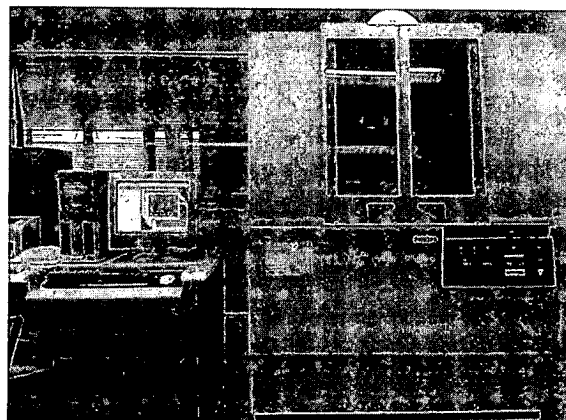
นำแผ่นฟิล์มตัวอย่างมาทำการชั่งน้ำหนักประมาณ 3 - 5 มิลลิกรัม ใส่ลงในภาชนะอลูминิ엄 (Aluminium crucible) นำภาชนะอลูминิียมที่บรรจุตัวอย่างแล้วมาทำการใช้แท่งเหล็กกดเพื่อให้ฟิล์มอัดลงในภาชนะอลูминิียม จากนั้นนำตัวอย่างไปเข้าเครื่อง TGA (TG 8120 Thermo Plus Rigaku, Japan) ทดสอบภายใต้บรรยากาศในโตรเจน จากอุณหภูมิ 25 - 600 องศาเซลเซียส อัตราการให้ความร้อน 10 °C/min นำข้อมูลที่ได้จากเครื่อง TGA ไปวิเคราะห์หาอุณหภูมิการสลายตัวทางความร้อน

3) การทดสอบโครงสร้างผลึกของฟิล์ม

3.1) เครื่องเอกซเรย์ดิฟเฟรกโตเมเตอร์ (X-ray Diffractometer, XRD)

วิธีการทดสอบ

ตัดแผ่นฟิล์มตัวอย่างเป็นรูปสี่เหลี่ยมขนาด 15 x 15 ตารางมิลลิเมตร นำไปวางบนแท่นวางตัวอย่าง หลังจากนั้นนำเข้าเครื่อง XRD เพื่อทดสอบโครงสร้างผลึกของฟิล์ม PLA ซึ่งองค์ที่ทดสอบ 5° - 80° ข้อมูลที่ได้จากเครื่อง XRD จะเป็นกราฟข้อมูล นำกราฟที่ได้มาวิเคราะห์ปริมาณผลึกของตัวอย่าง



รูปที่ 2.14 เครื่องเอกซเรย์ดิฟเฟรกโตเมเตอร์ (X-ray Diffractometer, XRD)

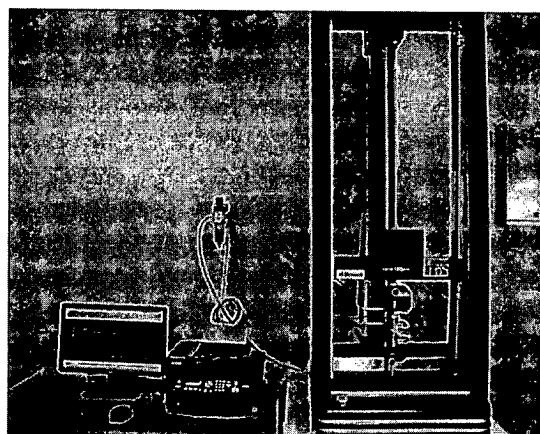
4) การทดสอบสมบัติความทนทานต่อแรงดึง (Tensile strength)

- การเตรียมตัวอย่าง

ตัดแผ่นฟิล์มตัวอย่างขนาด 1.5 x 15 เซนติเมตร สูตรละ 10 ตัวอย่าง นำชั้นตัวอย่างใส่เข้าไปในตาข่ายในลอน แล้วเย็บเพื่อไม่ให้ชั้นตัวอย่าง ผงลงในตินที่ความลึก 10 เซนติเมตร ที่ระยะเวลา 1, 2 และ 3 เดือน คระยะเวลาแล้วให้นำฟิล์มขึ้นมาล้างทำความสะอาดด้วยน้ำกลั่นทั้งให้แห้งที่อุณหภูมิท้อง

- วิธีการทดสอบ

นำแผ่นพิล์มตัวอย่างมาทำการวัดความหนาของชิ้นตัวอย่างด้วยไมโครมิเตอร์ ทดสอบด้วยเครื่องดึง Tensile strength ตามมาตรฐาน ASTM D882 ที่ Speed: up = 12.5 mm/min Gauge Length: 25.4 mm



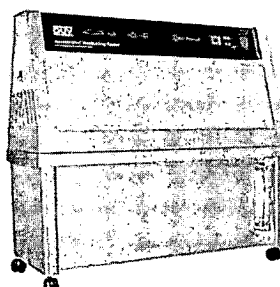
รูปที่ 2.15 เครื่อง Tensile strength

5) การทดสอบสมบัติการทนต่อรังสีอุլตราไวโอเลตด้วย QUV ตามมาตรฐาน ASTM G 154 [30]

การทดสอบความทนต่อสภาพแวดล้อมของผลิตภัณฑ์ทางเคมีและพลาสติก ด้วยเครื่อง QUV Accelerated Weathering รุ่น QUV/SE โดยใช้หลอดไฟแสงยูวีบีความยาวคลื่นหลัก 313 นาโนเมตร ความเข้มแสง  $0.63 \text{ W/m}^2/\text{nm}$  (วัตต์/ตารางเมตร/นาโนเมตร) ควบคุมอุณหภูมิได้ตั้งแต่  $50^\circ\text{C}$  ถึง  $90^\circ\text{C}$  ส่วนช่วงไอน้ำควบแนสนสามารถควบคุมอุณหภูมิได้ตั้งแต่  $40^\circ\text{C}$  ถึง  $60^\circ\text{C}$  สามารถวิเคราะห์ลักษณะภายนอก เช่น การแตก การขึ้นเหลือง ความมันวาว การเปลี่ยนแปลงของสี หรือนำไปทดสอบสมบัติทางกายภาพ เช่น ความทานแรงดึง และความยืดเมื่อขาด เปรียบเทียบกับชิ้นทดสอบชุดควบคุมที่ถูกเก็บไว้ในที่มีดินสภาระปกติที่อุณหภูมิห้อง การเลือกสภาพการทดสอบขึ้นอยู่กับสภาพการใช้งานจริงของตัวอย่างผลิตภัณฑ์

วิธีการทดสอบ

นำชิ้นตัวอย่างเข้าเครื่อง QUV โดยใช้ UVB-313 ที่อุณหภูมิ 60 องศาเซลเซียส เป็นเวลา 8 ชั่วโมง และควบแน่นที่อุณหภูมิ 50 องศาเซลเซียส เป็นเวลา 4 ชั่วโมง



รูปที่ 2.16 QUV Accelera Weathering Tester

### บทที่ 3

#### ผลการทดลองและวิจารย์ผลการทดลอง

งานวิจัยนี้ศึกษาผลของปริมาณไทเทเนียมไดออกไซด์ และปริมาณอิพอกไซด์ของธรรมชาติตัดแบ่งไม่เลกุล ต่อการวิเคราะห์โครงสร้างทางเคมี สมบัติเชิงกลของแผ่นฟิล์ม ได้แก่ ความหนาแน่นต่อแรงดึง ความหนานานต่อการนีกขาด สมบัติทางความร้อน และการย่อยสลายของฟิล์ม สรุปผลการทดลองได้ดังนี้

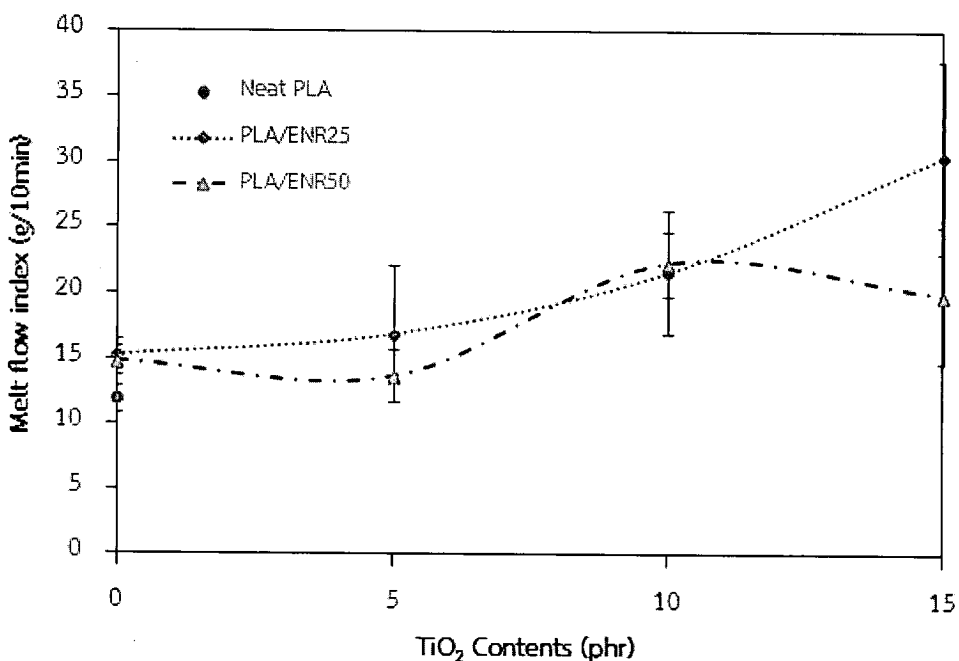
#### 3.1 ผลการทดสอบสมบัติของพอลิเมอร์สมรรถหว่างพอลิแลคติกและยางธรรมชาติอิพอกไซด์โดยใช้ไทเทเนียมไดออกไซด์เป็นสารตัวเติม

3.1.1 ผลการทดสอบดัชนีการไหล (Melt flow index, MFI) ตามมาตรฐาน ASTM D 1238-98 ของพอลิเมอร์สมรรถหว่างพอลิแลคติกและยางธรรมชาติอิพอกไซด์โดยใช้ไทเทเนียมไดออกไซด์เป็นสารตัวเติม

ผลการทดสอบดัชนีการไหลของพอลิเมอร์สมรรถหว่าง PLA/ENR ที่มีปริมาณอิพอกไซด์ 25 และ 50 มอล% โดยแปรปริมาณของไทเทเนียมไดออกไซด์ที่ 5-15 phr ซึ่งทำการทดสอบโดยใช้อุณหภูมิ 190 องศาเซลเซียส น้ำหนักของ Piston 2.16 กิโลกรัม แสดงดังตารางที่ 3.1 และรูปที่ 3.1 พบว่าการเติมยาง ENR25 และ ENR50 ลงไปผสมกับพอลิแลคติกและ橡 ยาง ENR25 และ ENR50 ส่งผลให้ค่าดัชนีการไหลสูงกว่าที่ไม่เติมยางและการเติม ENR25 จะมีค่าดัชนีการไหลสูงกว่า ENR50 ทั้งนี้เนื่องจาก ENR50 มีน้ำหนักไม่เลกุลที่สูงกว่าและความเป็นขั้วสูงจึงทำให้เกิดอันตรกิริยากับพอลิแลคติกและ橡 และเข้ากันได้ดีส่งผลให้ค่าดัชนีการไหลต่ำกว่าการใช้ยาง ENR25 เนื่องจากมีความเข้ากันได้น้อยและมีแนวโน้มในการเกิดการแยกของวัสดุไฟฟ์ส่งผลให้มีค่าดัชนีการไหลสูง ในขณะที่เติมยาง ENR50 จะทำให้ค่าดัชนีการไหลต่ำเนื่องจากการเข้ากันดีกว่าการเติม ENR25 [31]

ตารางที่ 3.1 ค่าดัชนีการไหลของพอลิเมอร์ (Melt flow index) ของพอลิเมอร์สมรรถหว่าง PLA/ENR (90/10) ที่เติมไทเทเนียมไดออกไซด์ที่ 0-15 phr

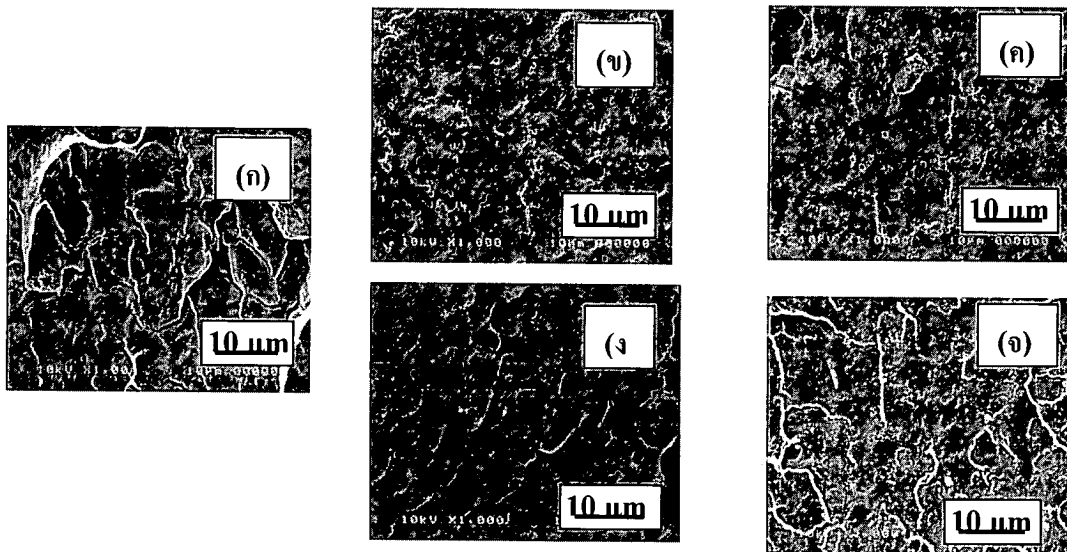
ตัวอย่าง	Melt flow index (กรัม/10นาที)
Neat PLA	11.99±1.02
PLA/ENR25	15.35±1.16
PLA/ENR25/TiO <sub>2</sub> = 5 phr	16.91±5.17
PLA/ENR25/TiO <sub>2</sub> = 10 phr	21.59±4.70
PLA/ENR25/TiO <sub>2</sub> = 15 phr	30.45±7.34
PLA/ENR50	14.89±1.12
PLA/ENR50/TiO <sub>2</sub> = 5 phr	13.72±2.04
PLA/ENR50/TiO <sub>2</sub> = 10 phr	22.29±2.44
PLA/ENR50/TiO <sub>2</sub> = 15 phr	19.91±5.19



รูปที่ 3.1 ค่าดัชนีการไหลของพอลิเมอร์ (Melt flow index) ของพอลิเมอร์ผสมระหว่าง PLA/ENR (90/10) ที่เติมไทดีเจเนียมไดออกไซด์ที่ 0-15 phr

### 3.1.1.2 ลักษณะสัณฐานวิทยาของพอลิเมอร์ผสมระหว่างพอลิแลคติกแอซิดและยางธรรมชาติอิพอกไซด์ที่เติมไทดีเจเนียมไดออกไซด์

การศึกษาลักษณะสัณฐานวิทยาของพอลิเมอร์ผสมระหว่างพอลิแลคติกแอซิดและยางธรรมชาติอิพอกไซด์ที่เติมไทดีเจเนียมไดออกไซด์เป็นสารตัวเติมโดยทำการศึกษานิดของยางธรรมชาติอิพอกไซด์ที่ 25 และ 50% โดยโมล และปริมาณของไทดีเจเนียมไดออกไซด์ที่ 5-15 phr ด้วยกล้องจุลทรรศน์อิเล็กตรอนแบบส่องการดูของพื้นผิวของพอลิเมอร์ผสมโดยการนำตัวอย่างไปแข็งในไมโครเจนเวลา 15 นาที ศึกษาลักษณะพื้นผิวของพอลิเมอร์ผสมก่อนและหลังการเติมไทดีเจเนียมไดออกไซด์ของ PLA/ENR25 และ PLA/ENR50 แสดงดังรูปที่ 3.2 พบว่า Neat PLA ในรูป ก แสดงให้เห็นว่ามีรอยแตกขนาดใหญ่ซึ่งมีพฤติกรรมแข็งและเปราะ [32] สำหรับการเติมยางธรรมชาติอิพอกไซด์ที่ 25% โดยโมล และเติมไทดีเจเนียมไดออกไซด์ พบร่วงยางที่เติมลงไปมีการกระจายไปในเมทริกซ์ของพอลิแลคติกแอซิดแต่ยาง ENR25 มีการเกิดอันตรกิริยาซึ่งก่อให้เกิดการเชื่อมสายโซ่โมเลกุลน้อยซึ่งไม่เข้าเป็นเนื้อเดียวกันและก่อให้เกิดการแยกเฟส [33] จะเห็นได้ในรูป ข และ ง ซึ่งจะเห็นอนุภาคนางเป็นวงกลมเป็นจุดเล็กในภาพแสดงให้เห็นว่าอนุภาคนางสามารถเข้ากับ PLA ได้น้อย มีผลทำให้สมบัติเชิงกลลดลง ในขณะที่การเติมยางธรรมชาติอิพอกไซด์ที่ 50% โดยโมล และเติมไทดีเจเนียมไดออกไซด์ ในรูป ง และ จ พบร่วงพื้นผิวมีความราบรื่นมากกว่าซึ่งแสดงลักษณะของวัสดุที่มีความเหนียว ดังนั้นการเติมยางธรรมชาติอิพอกไซด์ที่ 50% โดยโมล จะทำให้เกิดอันตรกิริยาส่งผลให้เกิดการเข้ากันซึ่งสามารถปรับปรุงสมบัติเชิงกลของพอลิเมอร์ผสมให้เพิ่มสูงขึ้นได้ [34]



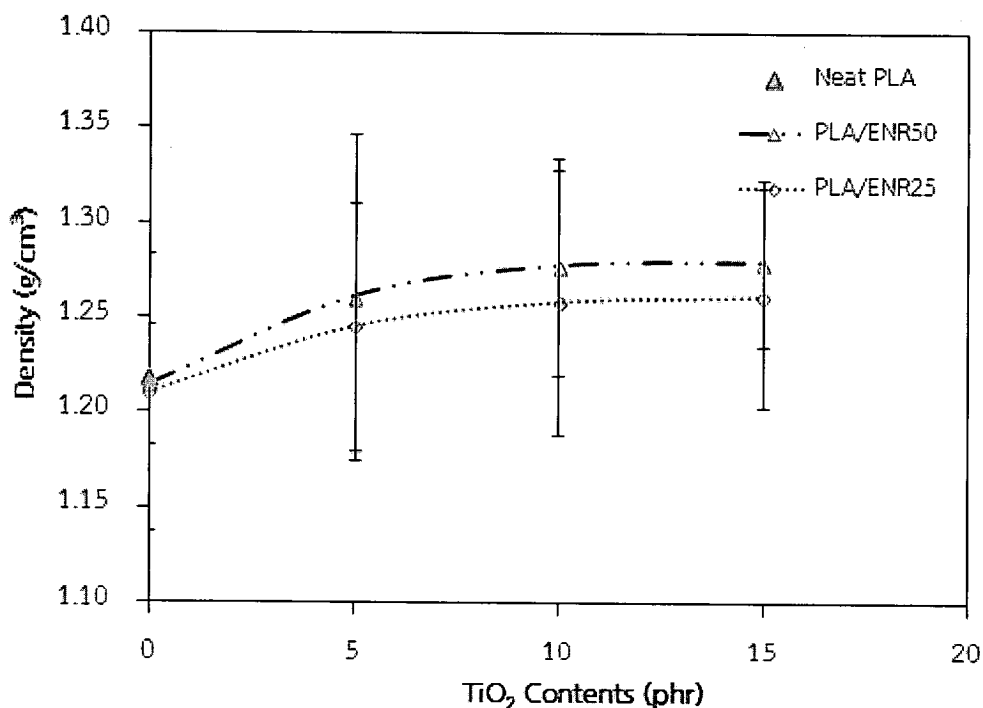
รูปที่ 3.2. ภาพ SEM ของ PLA/ENR25 และ PLA/ENR50 ที่เติม Rutile TiO<sub>2</sub>; (ก) neat PLA, PLA/ENR25 (TiO<sub>2</sub>=5 phr) (ດ) และ PLA/ENR25 (TiO<sub>2</sub>=10 phr), (ດ) PLA/ENR50 (TiO<sub>2</sub>=5 phr) และ (ຈ) PLA/ENR50 (TiO<sub>2</sub>=10 phr) (magnification x1000).

### 3.1.1.3 ผลการทดสอบความหนาแน่นของพอลิเมอร์ผสม

จากการวัดค่าความหนาแน่นของพอลิเมอร์ผสมแสดงค่าในตารางที่ 3.2 และรูปที่ 3.3 จะเห็นได้ว่าค่าความหนาแน่นของพอลิเมอร์ผสมมีค่าต่ำกว่า PLA pure เนื่องจากยาง ENR ที่เติมลงไปมีค่าความหนาแน่นที่ต่ำกว่า แต่เมื่อเติมไทดานียมไดออกไซด์จะทำให้ค่าความหนาแน่นเพิ่มขึ้นเล็กน้อยตามปริมาณไทดานียมที่เพิ่มขึ้น เนื่องจากไทดานียมมีค่าความหนาแน่นที่สูงกว่ายาง ENR ซึ่งสอดคล้องกับผล Melt Flow index ที่เมื่อเติมยาง ENR เข้าไปในพอลิเมอร์ผสมทำให้ดัชนีการไหลตัวเพิ่มขึ้น เพราะยางจะเข้าไปแทรกตัวในเมทริกซ์ของ PLA ซึ่งอาจทำให้แรงยึดเหนี่ยวระหว่างสายโซ่ไมมเลกุลลดลงหรือยางอาจเข้าไปหล่อลินสายโซ่มเลกุลของ PLA ซึ่งจะสามารถบังชี้ได้จากความหนาแน่นของพอลิเมอร์ผสมที่ลดลงเมื่อเติมยางเข้าไป

ตารางที่ 3.2 ผลของปริมาณไทดานียมไดออกไซด์ต่อสมบัติค่าความหนาแน่นของพอลิเมอร์ผสมระหว่างพอลิแลคติกแอซิดและยางธรรมชาติอิพอกไซด์ที่อัตราส่วน 90/10

ตัวอย่าง	ความหนาแน่นของพอลิเมอร์ผสม ( $\text{g}/\text{cm}^3$ )
PLA	$1.218 \pm 0.11$
PLA/ENR25	$1.210 \pm 0.07$
PLA/ENR25/TiO <sub>2</sub> =5 phr	$1.246 \pm 0.06$
PLA/ENR25/TiO <sub>2</sub> =10 phr	$1.258 \pm 0.07$
PLA/ENR25/TiO <sub>2</sub> =15 phr	$1.261 \pm 0.06$
PLA/ENR50	$1.215 \pm 0.03$
PLA/ENR50/TiO <sub>2</sub> =5 phr	$1.261 \pm 0.09$
PLA/ENR50/TiO <sub>2</sub> =10 phr	$1.277 \pm 0.06$
PLA/ENR50/TiO <sub>2</sub> =15	$1.279 \pm 0.04$



รูปที่ 3.3 ผลของปริมาณไทดานียมไดออกไซด์ต่อสมบัติค่าความหนาแน่นของพอลิเมอร์ผสมระหว่างพอลิแลคติกแอซิดและยางธรรมชาติอิพอกไซด์ที่อัตราส่วน 90/10

### 3.1.2 ผลการทดสอบสมบัติทางความร้อน

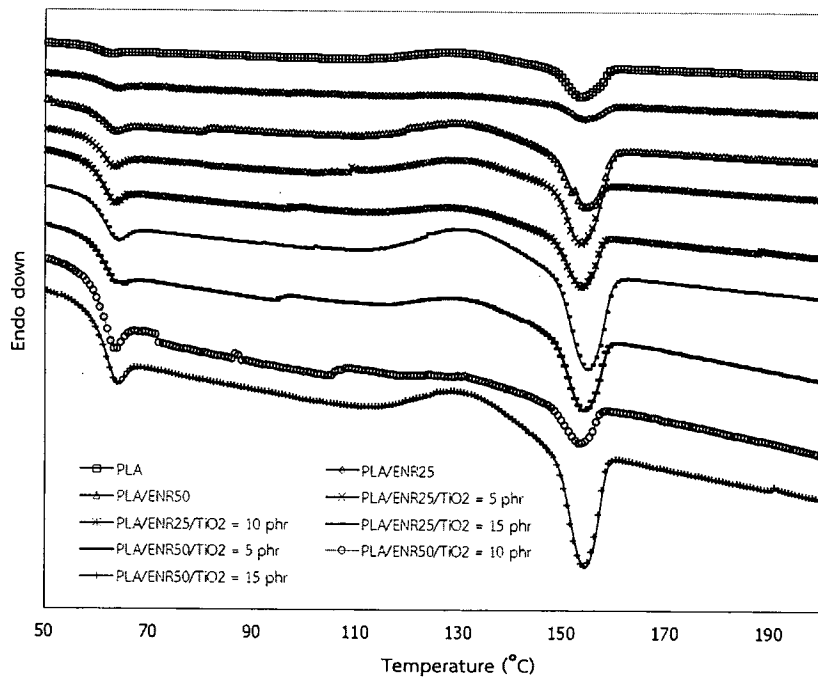
#### 3.1.2.1 ผลการทดสอบด้วยเทคนิคดิฟเฟอร์เรนเชียลแคลอริเมทรี (Differential Scanning Calorimetry, DSC)

ผลการทดสอบสมบัติทางความร้อนด้วยเทคนิค DSC ของพอลิเมอร์ผสมระหว่าง PLA/ENR ที่มีปริมาณอิพอกไซด์ 25 และ 50 มอล% โดยแบ่งปริมาณของไทดานียมไดออกไซด์ที่ 5-15 phr ซึ่งทำการทดสอบโดยใช้อุณหภูมิ -60 ถึง 200 องศาเซลเซียส แสดงดังตารางที่ 3.3 และรูป

ที่ 3.4 ผลของการเติมไทดานาโนไซด์ลงใน PLA/ENR25 และ PLA/ENR50 ต่อสมบัติทางความร้อน พบร่วมกับการเติมไทดานาโนไซด์ลงในพอลิเมอร์ผสมส่งผลให้พอลิเมอร์ผสมเข้ากันได้ดีมากยิ่งขึ้นเนื่องจากเกิดอันตราริกิริยะระหว่างสารตัวเติมและยางมีผลทำให้แรงดึงดูดเพิ่มสูงขึ้นส่งผลต่อการผสมเข้ากันได้ดีและจะเห็นว่าเมื่อเติมยาง ENR50 ลงไปจะมีปริมาณผลลัพธ์และเห็นได้ชัดเจนเมื่อเติมปริมาณไทดานาโนไซด์ลงในพอลิเมอร์ผสมทำให้ลดลงและเห็นได้ชัดเจนเมื่อเปลี่ยนแปลงเพียงเล็กน้อย [6] การที่ผลลัพธ์จะเกิดจากการ crosslinking หรือ เกิดอันตราริกิริยะระหว่างสายโซ่ของ PLA และยาง ENR ซึ่งจะทำให้การจัดเรียงตัวของสายโซ่ของ PLA เป็นไปได้ยากขึ้น จึงเป็นที่มาของการลดลงของผลลัพธ์ในพอลิเมอร์ผสมทำให้และเมื่อปริมาณ  $TiO_2$  มากขึ้นจะเพิ่มการเกิดอันตราริกิริยะให้มากขึ้นจึงทำให้การจัดเรียงตัวของสายโซ่ PLA เป็นไปได้ยากขึ้นจึงทำให้ปริมาณผลลัพธ์มีแนวโน้มลดลงเมื่อปริมาณ  $TiO_2$  มากขึ้น [14]

ตารางที่ 3.3 สมบัติทางความร้อนและปริมาณผลลัพธ์ของพอลิเมอร์ผสม neat PLA, PLA/ENR25 และ PLA/ENR50 (90/10) วิเคราะห์ในขั้น second heating scan ที่ heating rate  $10^{\circ}C/min^{-1}$

ตัวอย่าง	$T_g$ ( $^{\circ}C$ )	$T_c$ ( $^{\circ}C$ )	$T_m$ ( $^{\circ}C$ )	%Crystallinity
neat PLA	59.30	129.93	153.69	21.30
PLA/ENR25	61.08	132.92	154.56	4.99
PLA/ENR25/ $TiO_2$ =5 phr	60.52	130.93	153.71	9.98
PLA/ENR25/ $TiO_2$ =10 phr	61.10	131.25	154.04	6.42
PLA/ENR25/ $TiO_2$ =15 phr	61.21	131.58	154.85	11.60
PLA/ENR50	61.08	130.94	154.88	14.95
PLA/ENR50/ $TiO_2$ =5 phr	60.07	131.59	154.21	7.34
PLA/ENR50/ $TiO_2$ =10 phr	60.60	131.37	153.41	3.31
PLA/ENR50/ $TiO_2$ =15 phr	61.02	131.40	154.35	7.94



รูปที่ 3.4 เทอร์โมแกรม DSC ของพอลิเมอร์ผสมระหว่าง PLA/ENR25 (90/10) และ PLA/ENR50 (90/10) ที่เติม TiO<sub>2</sub>= 5-10 phr

### 3.1.2.2 การสลายตัวทางความร้อนด้วยเทอร์โมกราวิเมตริกซ์เอนนาไลซ์ (Thermogravimetric Analysis,TGA)

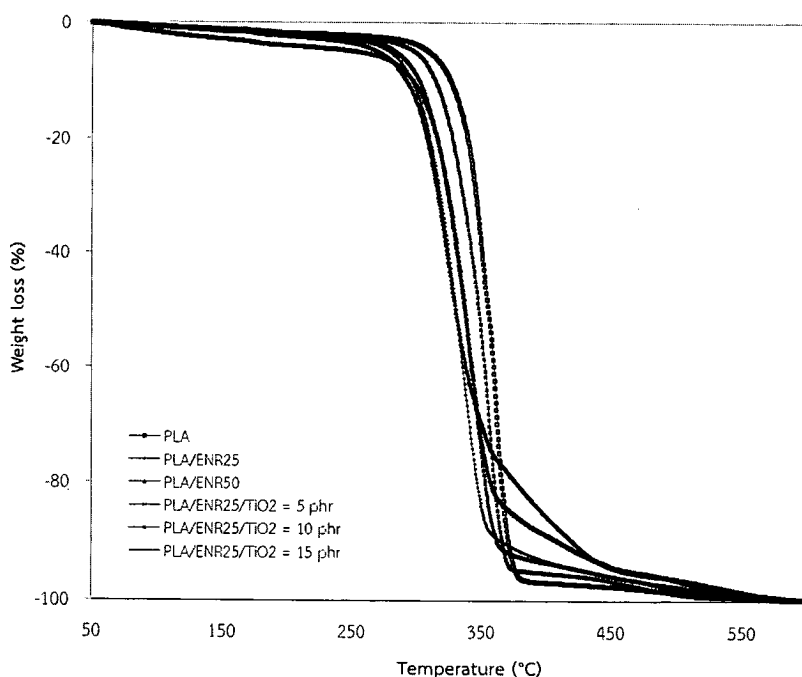
การศึกษาอุณหภูมิการสลายตัวทางความร้อนของพอลิเมอร์ผสมที่ปรับปรุงโดยการเติมยางธรรมชาติอิพอกไซด์ และใช้ไทดานียมไดออกไซด์เป็นสารตัวเติมโดยทำการศึกษานิดของยางธรรมชาติอิพอกไซด์ที่ 25 และ 50% โดยโมล และปริมาณของไทดานียมไดออกไซด์ที่ 5-15 phr แสดงดังตารางที่ 3.4 และรูปที่ 3.5 พบว่าความเสถียรทางความร้อนลดลงเมื่อเพิ่มยาง ENR โดยการอธิบายผลจากการวิจัยของ Chunmei Zhang และคณะ [34] ทั้งนี้เนื่องจากยาง ENR มีพันธะคู่อยู่ในโครงสร้างซึ่งพันธะคู่จะทำให้เกิดการเสื่อมสภาพได้ง่ายเมื่อได้รับความร้อนส่งผลให้สายโซ่ไม่เลกูลตัดขาด โดยเฉพาะการเติมยาง ENR25 จะมีความเสถียรทางความร้อนน้อยกว่า ENR50 เนื่องจาก ENR50 จะมีจำนวนพันธะคู่ที่มากกว่า ENR25 เพราะ ENR50 มีการเติมออกซิเจนเข้าไปในโครงสร้างมากกว่า จึงมีความเสถียรต่อความร้อนที่สูงกว่าพิจารณาจาก T<sub>i</sub> T<sub>d</sub> และ T<sub>f</sub> ที่สูงกว่าของ ENR50 และผลการทดสอบการสลายตัวทางความร้อนของพอลิเมอร์ผสมที่เติมยางธรรมชาติอิพอกไซด์ที่ 25 และ 50% โดยโมล และไทดานียมไดออกไซด์ พบว่าอุณหภูมิการสลายตัว ที่ 5% โดยน้ำหนัก (T<sub>d,5%</sub>) อุณหภูมิการสลายในขั้นเริ่มต้น [initial decomposition temperature (T<sub>i</sub>)] อัตราการสลายตัวมากที่สุด (maximum rate (T<sub>d,max</sub>)) และอุณหภูมิสุดท้ายของการสลายตัว (final temperature, T<sub>f</sub>) มีค่าต่ำกว่า Neat PLA เมื่อเปรียบเทียบระหว่างการเติมยาง ENR25 และ ENR50 พบว่าการเติมยาง ENR50 มีเสถียรภาพทางความร้อนที่ดีกว่าการเติมยาง ENR25 และการเติมไทดานียมไดออกไซด์ในพอลิเมอร์ผสมระหว่าง PLA/ENR50 สามารถปรับปรุงเสถียรภาพทางความร้อนของพอลิเมอร์ผสมให้มีค่าเทียบเท่ากับ Neat PLA ได้ ทั้งนี้ Yan-Bing Luo และคณะได้ทำการอธิบายเกี่ยวกับพอลิเมอร์ผสมระหว่าง PLA กับ TiO<sub>2</sub> เมื่อปริมาณ TiO<sub>2</sub> เพิ่มขึ้นทำให้ความเสถียรทางความร้อนของพอลิเมอร์ผสม

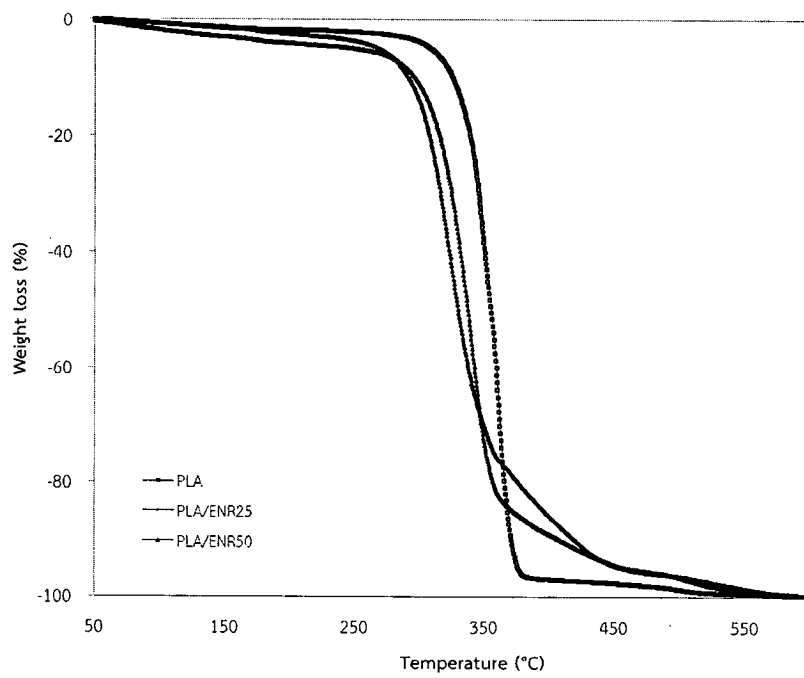
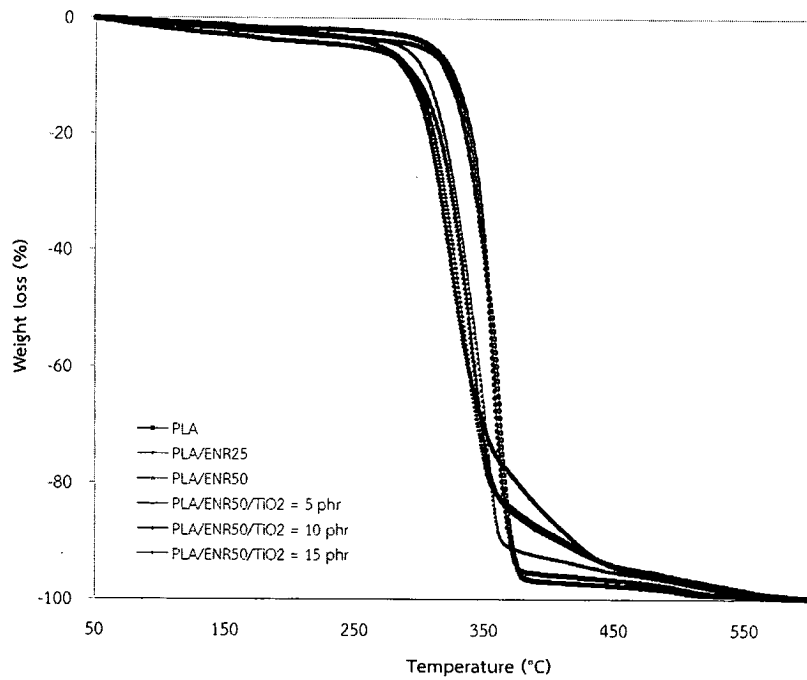
เพิ่มขึ้นเนื่องจาก  $\text{TiO}_2$  เป็นอนุวนความร้อน (insulator) และ  $\text{TiO}_2$  จะเป็นตัวปิดกั้นการส่งผ่านสารที่ระเหย (volatile) ได้ออกมากจากตัวอย่างในระหว่างการสลายตัว ดังนั้นการเติมไททาเนียมไดออกไซด์ลงไปในพอลิเมอร์ผสมส่งผลให้สามารถเพิ่มเสถียรภาพทางความร้อนได้ดีขึ้น [21]

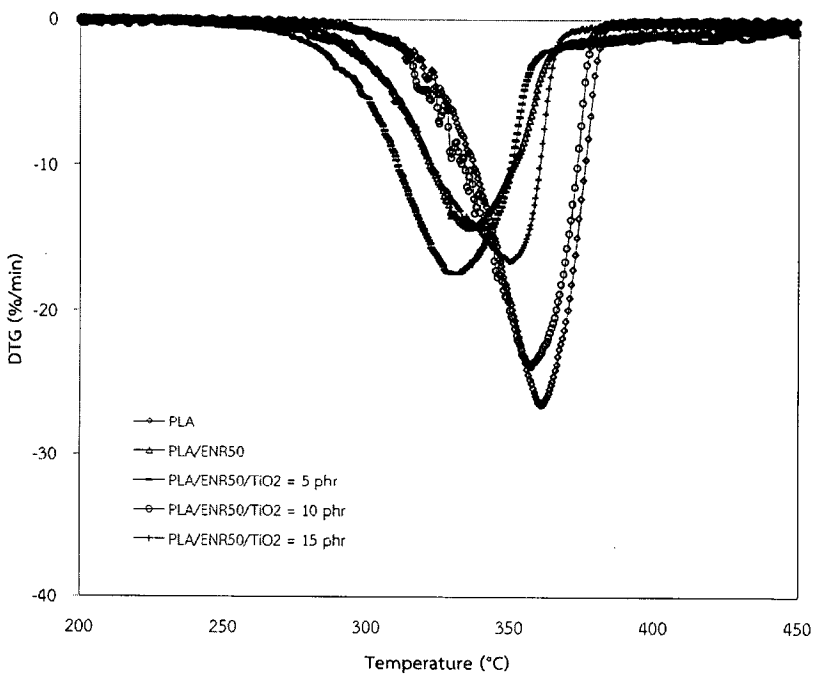
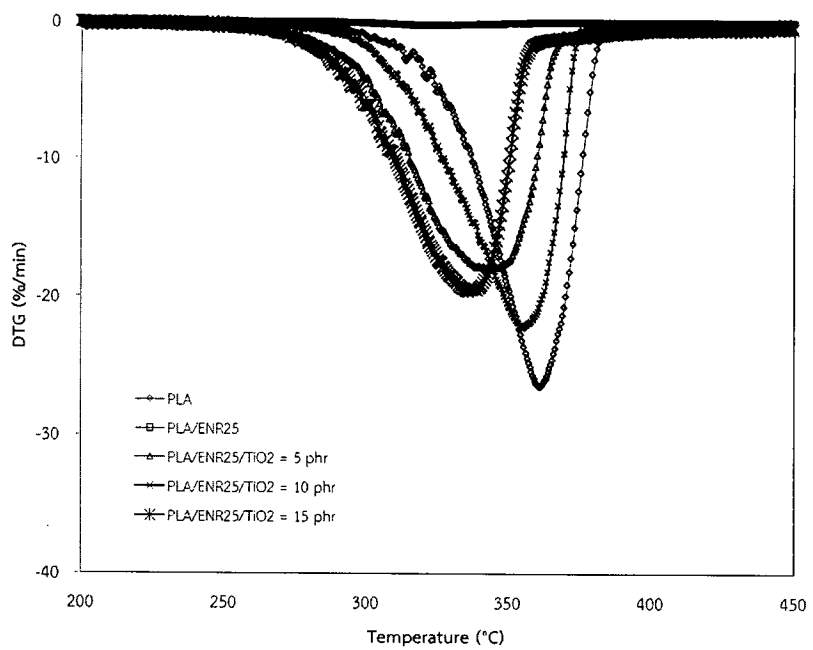
ตารางที่ 3.4 อุณหภูมิการสลายตัวทางความร้อนของพอลิเมอร์ผสม PLA/ENR (90/10) ที่เติมไททาเนียมไดออกไซด์ที่แตกต่างกัน

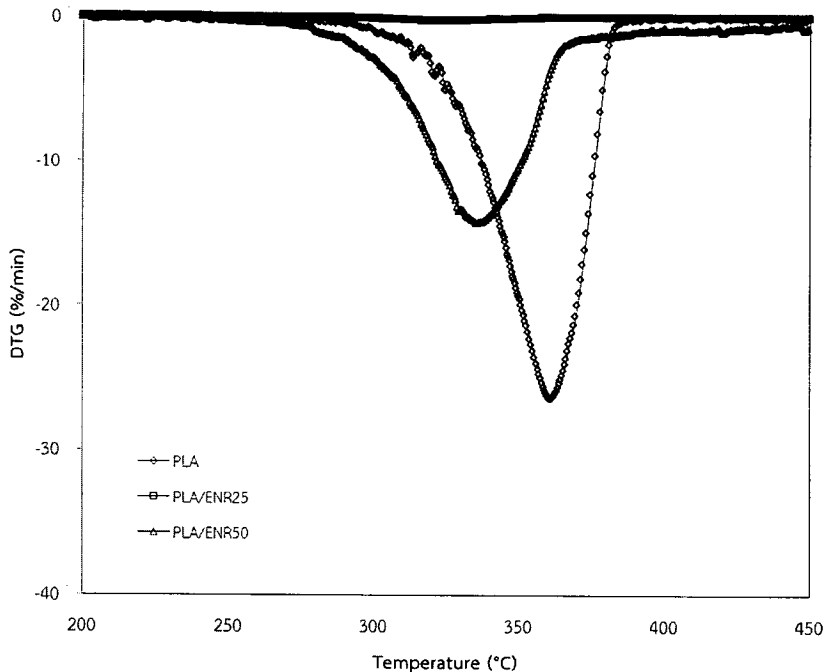
ตัวอย่าง	อุณหภูมิการสลายตัว (องศาเซลเซียส)			
	$T_{d,5\%}$	$T_i$	$T_{dmax}$	$T_f$
neat PLA	308.1	333.0	361.8	373.5
PLA/ENR25	269.7	295.9	325.0	363.9
PLA/ENR25/ $\text{TiO}_2$ =5phr	281.0	307.6	344.9	361.9
PLA/ENR25/ $\text{TiO}_2$ =10phr	296.7	318.5	355.7	369.0
PLA/ENR25/ $\text{TiO}_2$ =15phr	278.1	304.4	338.0	354.0
PLA/ENR50	269.9	301.2	330.6	355.0
PLA/ENR50/ $\text{TiO}_2$ =5phr	272.0	311.4	336.5	365.7
PLA/ENR50/ $\text{TiO}_2$ =10phr	299.8	328.7	358.7	372.0
PLA/ENR50/ $\text{TiO}_2$ =15phr	290.2	311.8	351.3	362.7

หมายเหตุ  $T_{d,5\%}$  = 5% weight loss temperature  
 $T_i$  = initial decomposition temperature  
 $T_{dmax}$  = maximum temperature  
 $T_f$  = final temperature









รูปที่ 3.5 เทอร์โมแกรม Weight loss และ DTG ของพอลิเมอร์สมาระห่วง PLA/ENR 25 และ 50 อัตราส่วน 90/10 โดยปรีปรามของ ไททาเนียมไดออกไซด์ที่ 5-15 phr

### 3.1.3 สมบัติเชิงกลของพอลิเมอร์สม

การศึกษาสมบัติเชิงกลของแผ่นที่ปรับปรุงโดยการเติมยางธรรมชาติอิพอกไซด์ และใช้ไททาเนียมไดออกไซด์เป็นสารตัวเติมโดยทำการศึกษาข้อดีของยางธรรมชาติอิพอกไซด์ที่ 25 และ 50% โดยโนล และปรีปรามของไททาเนียมไดออกไซด์ที่ 0-15 phr ต่อสมบัติความทนทานต่อแรงดึง (Tensile strength) เปอร์เซ็นต์การยืดตัว ณ จุดขาด (Elongation at break) และมอดูลัสของยัง (Young's modulus) ตามมาตรฐาน ASTM D 882 แสดงในตารางที่ 3.5 จากการแสดงให้เห็นว่า การเติมยางธรรมชาติอิพอกไซด์ที่ 50% โดยโนล มีผลให้ความทนทานต่อแรงดึง ระยะยืด ณ จุดขาด นอดูลัสของยัง (Young's modulus) มีค่าสูงกว่าการเติมยางธรรมชาติอิพอกไซด์ที่ 25% โดยโนล [10] เพราะการเติมยางธรรมชาติอิพอกไซด์ที่ 50% โดยโนล มีความเข้ากันได้กับพอลิแลคติกแอซิดได้ดีกว่า ยางธรรมชาติอิพอกไซด์ที่ 25% โดยโนล [11] เมื่อปรีปรามอิพอกไซด์เพิ่มขึ้น ความเป็นขั้วจึงมีมากขึ้น ส่งผลให้เกิดอันตรายร้ายห่วงสายโซ่โนลและเกิดการเชื่อมโยงสายโซ่โนลได้สูงขึ้นเนื่องจากมี Epoxy groups ที่มากกว่าสามารถเกิดพันธะไฮโดรเจนกับ carbonyl groups ของ PLA ได้ดีกว่า จากงานวิจัยของ Jeerupun J และคณะ [35] พบว่าการเติมยางธรรมชาติอิพอกไซด์ที่ 50% โดยโนลผสม กับพอลิแลคติกแอซิด ปรีปราม 10% โดยน้ำหนักส่งผลให้ระยะยืด ณ จุดขาดสูงกว่าพอลิแลคติกแอซิด ที่ไม่เติมยางธรรมชาติอิพอกไซด์ประมาณ 4 เท่า ทั้งนี้อาจเนื่องมาจากอนุภาคยางกระจายเข้าไปในเฟล ของพอลิแลคติกแอซิดและเกิดการเชื่อมโยงของสายโซ่โนลทำให้ปรับปรุงความเหนียวของพอลิแลคติกแอซิดให้เพิ่มขึ้นได้

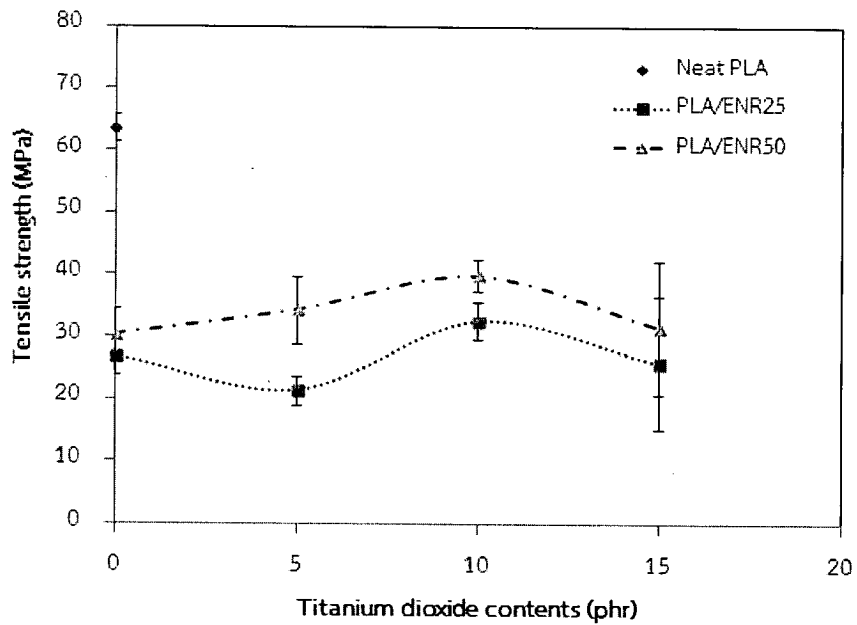
ผลของการเติมไททาเนียมไดออกไซด์ลงในพอลิเมอร์สมาระห่วงพอลิแลคติกแอซิดและ ยางธรรมชาติอิพอกไซด์ที่อัตราส่วน 90/10 พบร่วมกันว่าการเติมไททาเนียมไดออกไซด์ในพอลิเมอร์สม

ระหว่างพอลิแลคติกแอซิดและยางธรรมชาติอิพอกไซด์ที่ 25% โดยโนล ส่งผลให้ความทนทานต่อแรงดึง ระยะยืด ณ จุดขาด และมอดูลัสของยัง (Young's modulus) มีค่าไม่แตกต่างกันแต่การเติมลงในพอลิแลคติกแอซิดและยางธรรมชาติอิพอกไซด์ที่ 50% โดยโนล มีแนวโน้มเพิ่มขึ้นและมีค่ามากที่สุดที่ปริมาณ 10 phr แต่มีอัตราการเติมในปริมาณที่เพิ่มมากขึ้นถึง 15 phr ส่งผลให้สมบัติดังกล่าวมีแนวโน้มลดลงทั้งนี้ Yu-Zhong Wang และคณะ [36] ได้อธิบายไว้ว่าเมื่อปริมาณไททาเนียมไดออกไซด์เพิ่มขึ้นจะทำให้ความทนทานต่อแรงดึง ระยะยืด ณ จุดขาด โมดูลัส และความทนทานต่อการฉีกขาดเพิ่มขึ้นเนื่องจากการเกิดอันตรกิริยาระหว่างพอลิแลคติกแอซิดและไททาเนียมไดออกไซด์ในระหว่างขั้นตอนการผสม (melt compounding) อันตรกิริยาที่เกิดขึ้นมีความแข็งแรงและสามารถทำให้เกิดการเข้ากันและสามารถส่งผ่านความเครียด (Stress) ไปยังไททาเนียมไดออกไซด์มากขึ้นจะสามารถเพิ่มสมบัติเชิงกลได้จนถึงจุดจุดหนึ่งหลังจากนั้นจะมีแนวโน้มลดลงทั้งนี้เนื่องจากอนุภาคไททาเนียมไดออกไซด์จะเกิดการรวมตัวกันส่งผลทำให้เกิดการยับยั้งอันตรกิริยาการเข้ากันได้ทำให้สมบัติเชิงกลลดลง

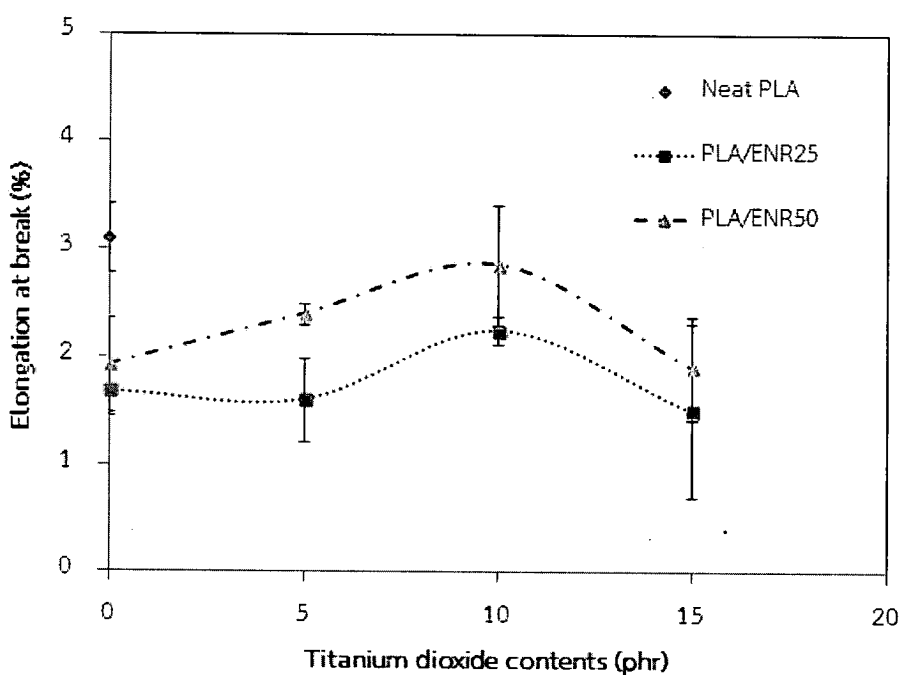
จากรูปที่ 3.9 เมื่อเติมไททาเนียมมากขึ้น ค่าความต้านทานต่อแรงกระแทกจะมีแนวโน้มสูงขึ้น ทั้งนี้อาจเป็นเพราะ เมื่อไททาเนียมเกิดการแตกตัวและสายโซ่มोเลกุลของพลาสติกสามารถเข้าไปแทรกตัวในชั้นไททาเนียมและยาง ENR และทำให้เกิดการเปลี่ยนแปลงโครงสร้างโมเลกุลให้เป็นแบบอัตโนมัติจึงทำให้ พอลิเมอร์ผสมสามารถรับแรงกระแทกได้มากขึ้น ยืนยันผลได้จากการทดสอบด้วยเครื่อง DSC ผลึกของพอลิเมอร์ผสมลดลงอาจเกิดการ crosslinking [11] หรือเกิดอันตรกิริยาระหว่างสายโซ่ของ PLA และยาง ENR ซึ่งจะทำให้การจัดเรียงตัวของสายโซ่ของ PLA เป็นไปได้ยากขึ้นจึงเป็นที่มาของการลดลงของผลึกในพอลิเมอร์ผสมทำให้มีปริมาณ  $TiO_2$  มากขึ้นจะเพิ่มการเกิดอันตรกิริยาน้ำก๊อกจึงทำให้การจัดเรียงตัวของสายโซ่ PLA เป็นไปได้ยากขึ้นจึงทำให้ปริมาณผลึกมีแนวโน้มลดลงเมื่อปริมาณ  $TiO_2$  มากขึ้น [14]

ตารางที่ 3.5 ผลของสมบัติเชิงกลของพอลิเมอร์ผสม PLA/ENR ที่เติมไททาเนียมไดออกไซด์

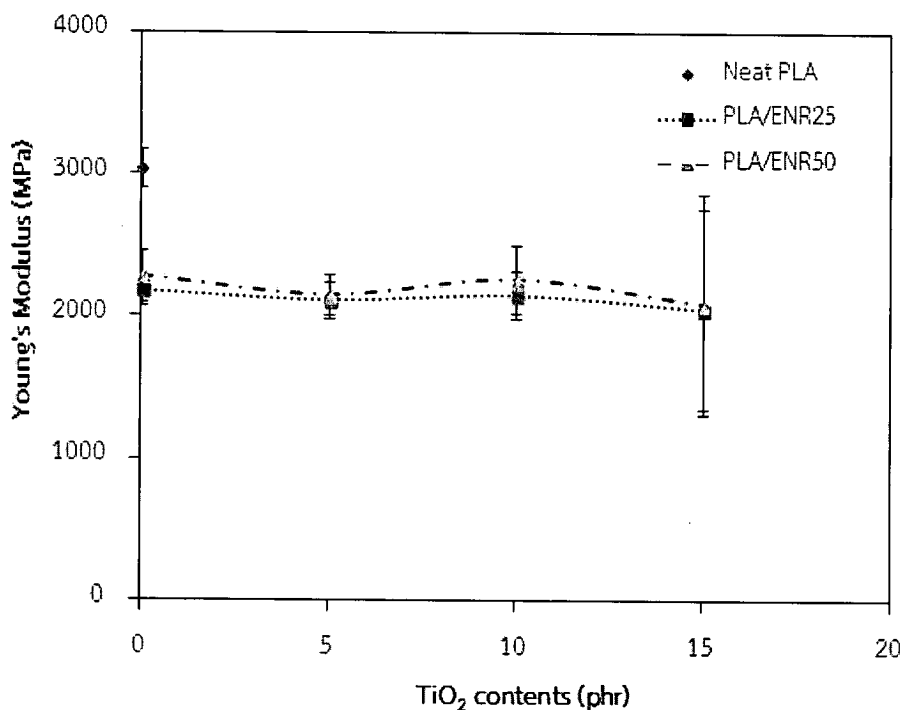
ตัวอย่าง	Tensile strength (MPa)	Elongation at break (%)	Young's Modulus (MPa)	impact strength (J/m)
neat PLA	63.55 $\pm$ 2.31	2.60 $\pm$ 3.11	3034 $\pm$ 142	27.55 $\pm$ 1.29
PLA/ENR25	26.99 $\pm$ 4.27	1.69 $\pm$ 0.45	2282 $\pm$ 109	31.18 $\pm$ 4.53
PLA/ENR25/ $TiO_2$ =5phr	21.39 $\pm$ 5.69	1.52 $\pm$ 0.19	2152 $\pm$ 131	75.97 $\pm$ 40
PLA/ENR25/ $TiO_2$ =10phr	32.51 $\pm$ 2.71	2.25 $\pm$ 0.58	2149 $\pm$ 247	132.73 $\pm$ 46.84
PLA/ENR25/ $TiO_2$ =15phr	29.17 $\pm$ 5.22	1.55 $\pm$ 0.13	2390 $\pm$ 31	64.28 $\pm$ 28.77
PLA/ENR50	30.25 $\pm$ 3.2	1.92 $\pm$ 0.24	2181 $\pm$ 192	40.90 $\pm$ 0.78
PLA/ENR50/ $TiO_2$ =5phr	34.26 $\pm$ 2.40	2.4 $\pm$ 0.40	2114 $\pm$ 151	85.02 $\pm$ 18.16
PLA/ENR50/ $TiO_2$ =10phr	39.84 $\pm$ 2.99	2.84 $\pm$ 0.20	2263 $\pm$ 166	149.94 $\pm$ 109.20
PLA/ENR50/ $TiO_2$ =15phr	34.31 $\pm$ 10.66	2.10 $\pm$ 2.16	2336 $\pm$ 101.50	202.26 $\pm$ 70.10



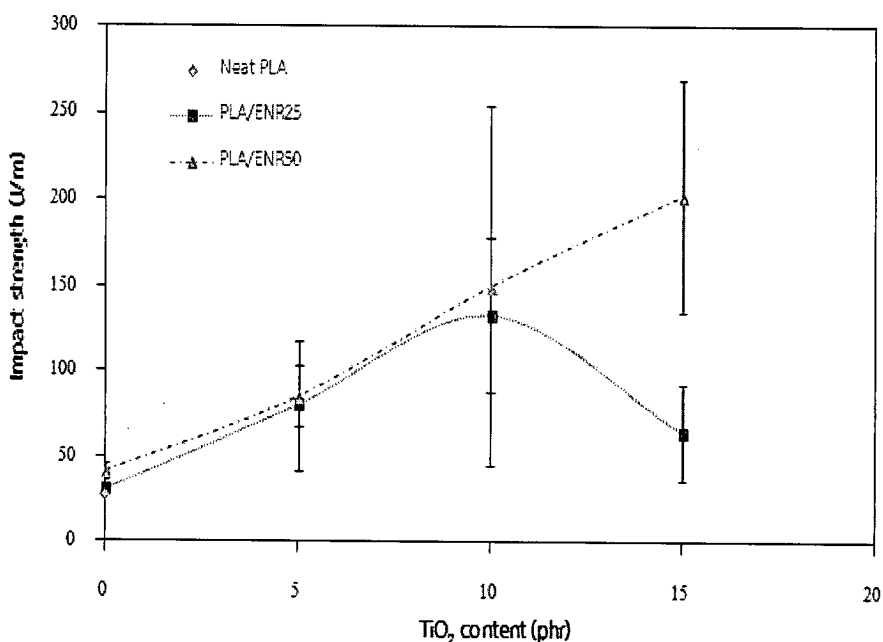
รูปที่ 3.6 ผลของปริมาณไทดานียมไดออกไซด์ต่อสมบัติความทนทานต่อแรงดึงของพอลิเมอร์ผสมระหว่างพอลิแลคติกแอกซิดและยางธรรมชาติอิพอกไซด์ที่อัตราส่วน 90/10



รูปที่ 3.7 ผลของปริมาณไทดานียมไดออกไซด์ต่อระยะยืด ณ จุดขาด ของพอลิเมอร์ผสมระหว่างพอลิแลคติกแอกซิดและยางธรรมชาติอิพอกไซด์ที่อัตราส่วน 90/10



รูปที่ 3.8 ผลของปริมาณไทดานียมไดออกไซด์ต่อค่า Young's Modulus (MPa) ของพอลิเมอร์ผสมระหว่างพอลิแลคติกแอซิดและยางธรรมชาติอิพอกไซด์ที่อัตราส่วน 90/10



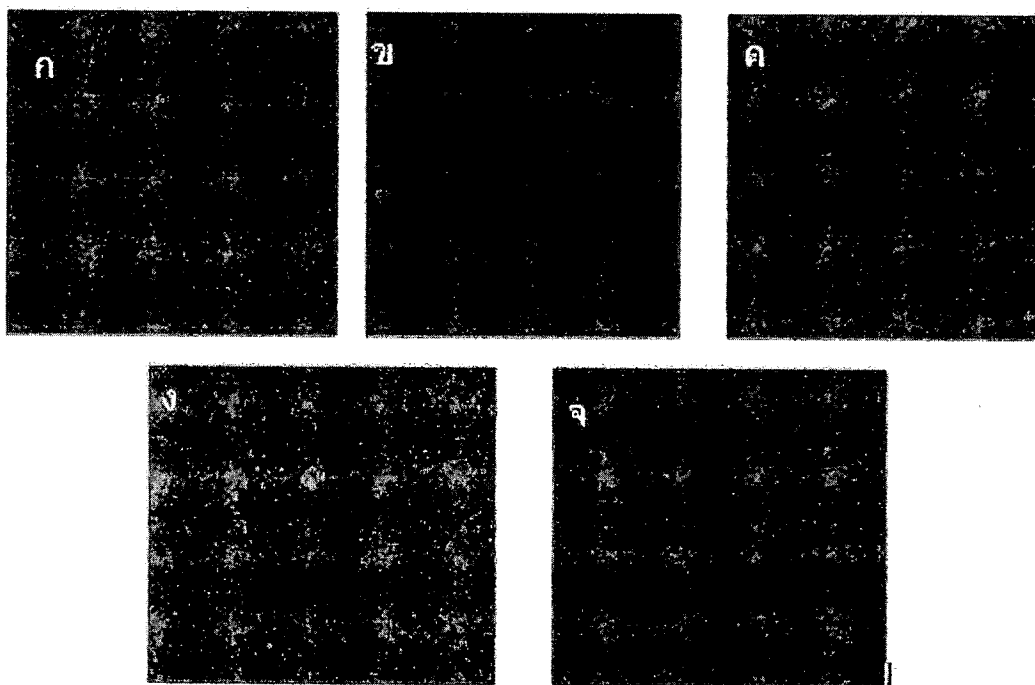
รูปที่ 3.9 ผลการทดสอบการทนทานต่อแรงกระแทกของพอลิเมอร์ผสมระหว่าง PLA/ENR (90/10) ที่เติมไทดานียมไดออกไซด์ที่ 0-15 phr

3.2 ผลการทดสอบสมบัติของพิล์มจากพอลิเมอร์สมาระห่วงพอลิแลคติกแอชิดและยางธรรมชาติอิพอกไซด์โดยใช้ไฟเทเนียมไดออกไซด์เป็นสารตัวเติม

### 3.2.1 สมบัติทางทางกายภาพของพิล์ม PLA/ENR ที่เติมไฟเทเนียมไดออกไซด์

#### 3.2.1.1 การทดสอบลักษณะทางสัณฐานวิทยา

การศึกษาลักษณะสัณฐานวิทยาของพอลิเมอร์สมาระห่วงพอลิแลคติกแอชิดและยางธรรมชาติอิพอกไซด์ที่เติมไฟเทเนียมไดออกไซด์เป็นสารตัวเติมโดยทำการศึกษาชนิดของยางธรรมชาติอิพอกไซด์ที่ 25 และ 50% โดยไม่ลดปริมาณของไฟเทเนียมไดออกไซด์ที่ 5-15 phr ด้วยกล้องจุลทรรศน์อิเล็กtronแบบส่องรากัดของพื้นผิวพิล์มของพอลิเมอร์ผสม จากผลการทดลองพบว่าพิล์มของ neat PLA จะมีลักษณะพื้นผิวที่ราบรื่นเป็นเนื้อเดียวกัน เมื่อเติมยางเข้าไปจะพบเพสกระจายอยู่บนพิล์มโดยมี PLA เป็นเมทริกซ์และยางเป็นเฟสกระจาย จากรูปที่ 3.8 จะพบว่า รูป (ก) PLA/ENR50 ( $TiO_2=5$  phr) และ (จ) PLA/ENR50 ( $TiO_2=10$  phr) จะพบเพสกระจายที่มีขนาดเล็กกว่า รูป (ข) PLA/ENR25 ( $TiO_2=5$  phr) และ (ค) PLA/ENR25 ( $TiO_2=10$  phr) ทั้งนี้เกิดการความไม่เข้ากันของยาง ENR25 กับ PLA เพราะ ENR25 จะมีความเป็นข้าวที่ต่ำ แต่ที่ยาง ENR50 กับ PLA จะเกิดการเข้ากันได้มากกว่าสังเกตได้จากเพสกระจายที่มีขนาดเล็กกว่าเพรพยายาม ENR50 มีความเป็นข้าวสูงกว่า ENR25 [34]



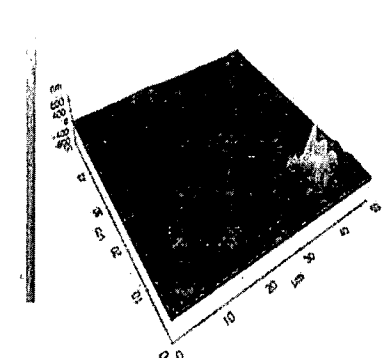
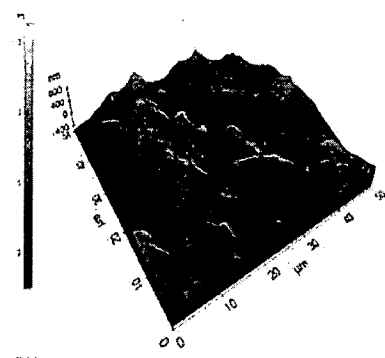
รูปที่ 3.10 ภาพ SEM ของพิล์มพอลิเมอร์สมาระห่วง PLA/ENR25 และ PLA/ENR50

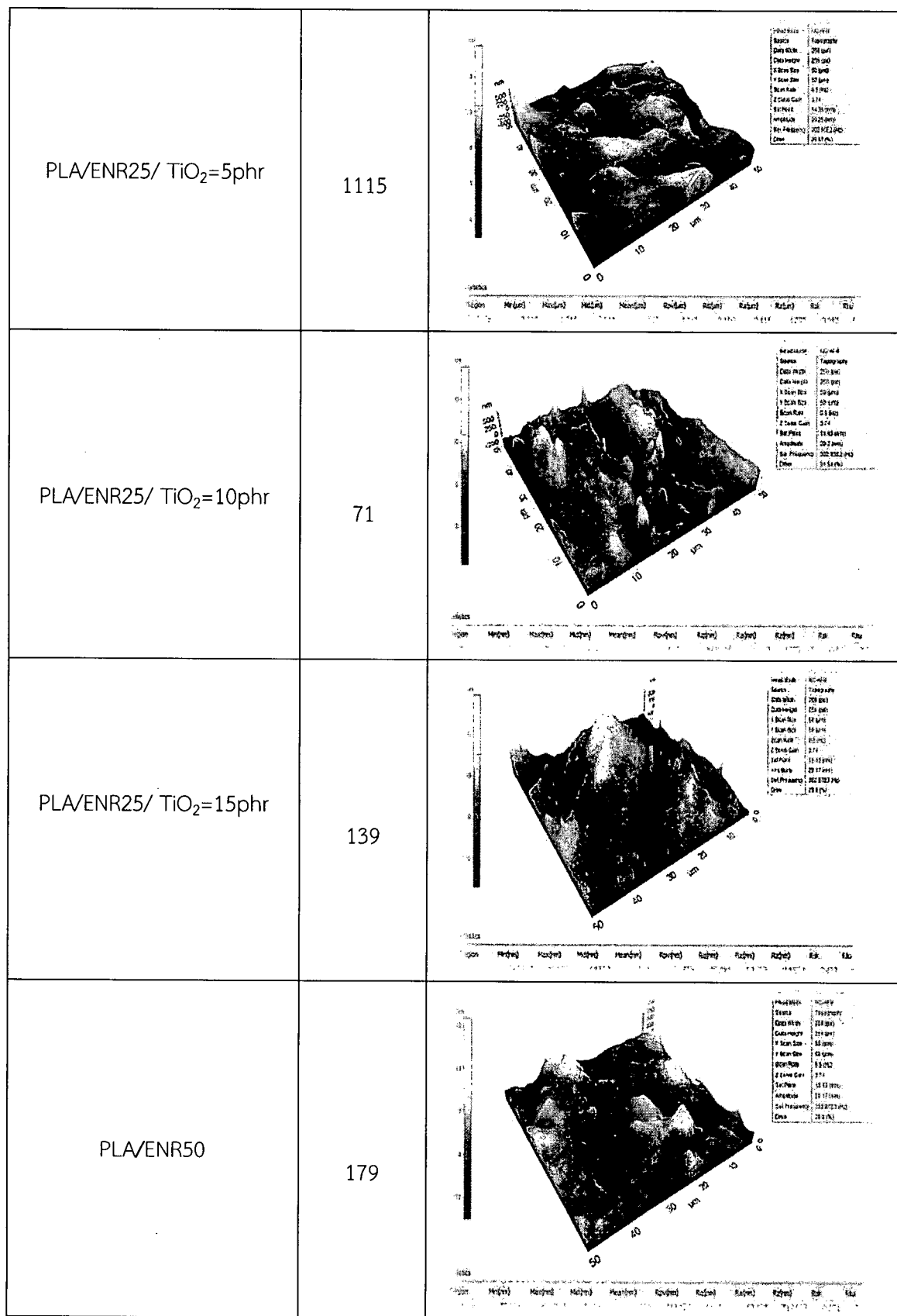
ที่เติม  $TiO_2$ ; (ก) neat PLA, (ข) PLA/ENR25 ( $TiO_2=5$  phr) และ (ค) PLA/ENR25 ( $TiO_2=10$  phr), (ก) PLA/ENR50 ( $TiO_2=5$  phr) และ (จ) PLA/ENR50 ( $TiO_2=10$  phr) (magnification x1000).

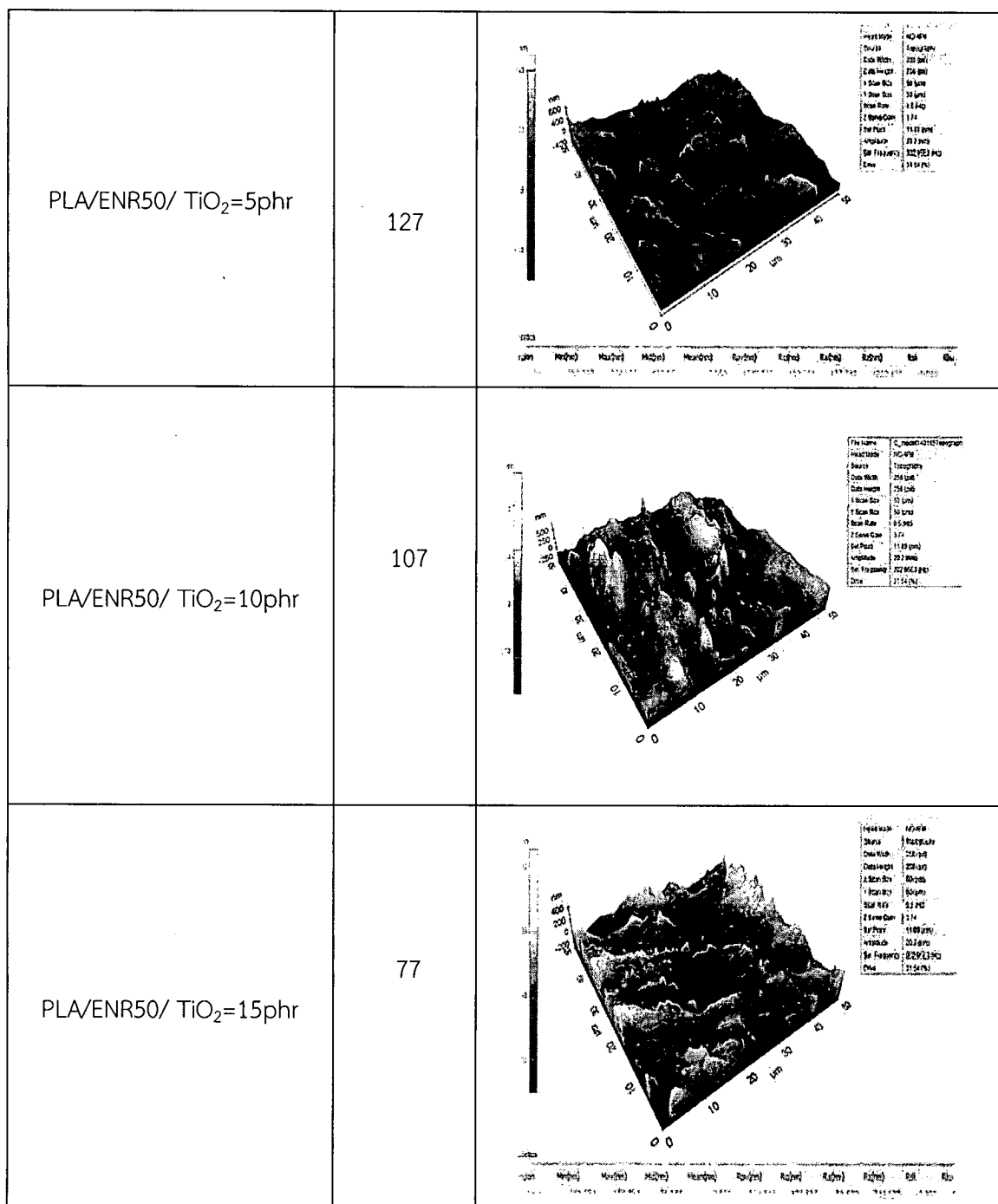
### 3.2.1.2 การทดสอบลักษณะพื้นผิวด้วยเครื่อง AFM

การวิเคราะห์ลักษณะพื้นผิวของแผ่นฟิล์ม PLA/ENR ด้วยกล้องจุลทรรศน์แบบแรงอະตอม พบร้า PLA pure มีความเรียบที่สัม่ำเสมอมาก แต่เมื่อมีการผสมยาง ENR เข้าไปทำให้ฟิล์มมีความขุ่นมากขึ้น เนื่องจากยาง ENR จะไม่ผสมเป็นเนื้อดีiyกันกับฟิล์มแต่จะจับตัวเป็นก้อนเล็กๆ กระจายไปทั่วฟิล์ม และเมื่อมีการเติมไททาเนียมออกไซด์เข้าไป จะทำให้ความขุ่นของเนื้าฟิล์มมากขึ้น เนื่องจากไททาเนียมได้ออกไซด์ที่มากขึ้น เนื่องจากไททาเนียมได้ออกไซด์ที่เติมเข้าไปจะไปเพิ่มแรงเฉือนในขณะที่บดผสมจึงทำให้เฟสยาง ENR มีขนาดที่เล็กลง และกระจายตัวได้มากขึ้นซึ่งผลการทดลองจะสอดคล้องกับผลการทดลองของ SEM ที่บ่งชี้ว่าเนื้อตัวยางพื้นผิวของ PLA จะขุ่นมากขึ้น เนื่องจากยางไม่สามารถเข้าเป็นเนื้อดีiyกันได้อย่างสัม่ำเสมอ แต่เมื่อเติม  $TiO_2$  เข้าไปจะทำให้พอลิเมอร์ผสมเข้ากันได้ดีขึ้นจึงมีความขุ่นของพื้นผิวลดลงตามปริมาณ  $TiO_2$  ที่เพิ่มขึ้น

ตารางที่ 3.6 แสดงลักษณะพื้นผิวของฟิล์ม PLA และฟิล์มพอลิเมอร์ผสมที่ได้จากการทดลอง AFM

ตัวอย่าง	Ra (nm.)	รูปแสดงพื้นผิว
neat PLA	47	
PLA/ENR25	161	





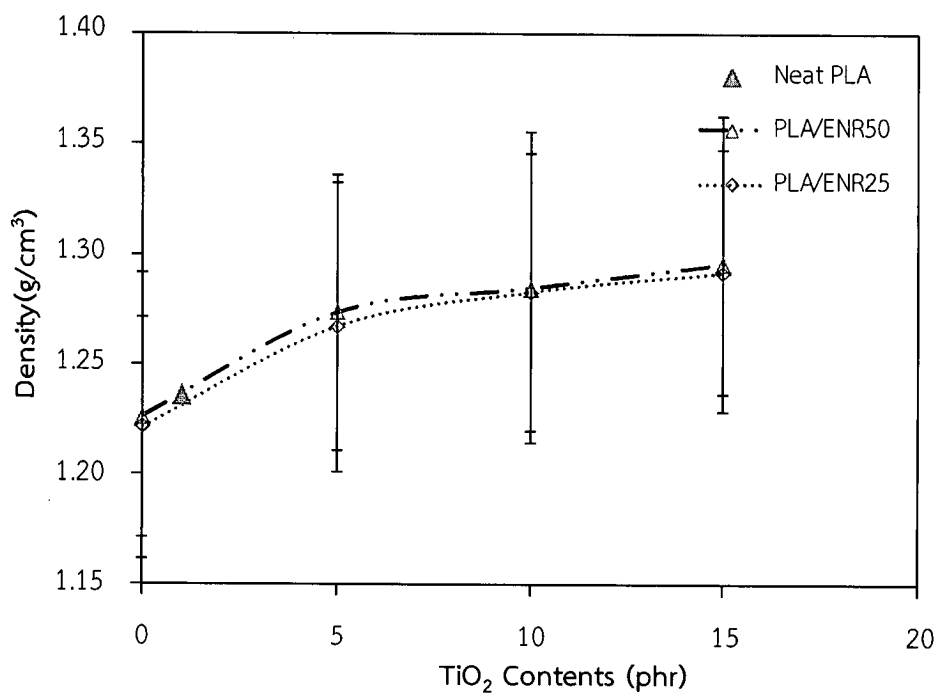
### 3.2.1.3 ผลการทดสอบความหนาแน่นของพิล์ม

จากการวัดค่าความหนาแน่นของพิล์มโพลิเมอร์ผสมแสดงค่าในตารางที่ 3.7 และรูปที่ 3.9 จะเห็นได้ว่าค่าความหนาแน่นของพิล์มโพลิเมอร์ผสมมีค่าต่ำกว่า PLA pure เนื่องจากยาง ENR ที่เติมลงไปมีค่าความหนาแน่นที่ต่ำกว่า แต่เมื่อเติมไฟฟานียมโดยออกไซด์จะทำให้ค่าความหนาแน่นเพิ่มขึ้นเล็กน้อยตามปริมาณไฟฟานียมที่เพิ่มขึ้น เนื่องจากไฟฟานียมมีค่าความหนาแน่นที่สูงกว่ายาง ENR ซึ่งสอดคล้องกับผล Melt Flow index ที่เมื่อเติมยาง ENR เข้าไปในพิล์มโพลิเมอร์ผสมทำให้ดัชนีการไหลตัวเพิ่มขึ้น เพราะยางจะเข้าไปแทรกตัวในเมทริกซ์ของ PLA ซึ่งอาจทำให้แรงยึดเหนี่ยว

ระหว่างสายโซ่ไม่เกิดคลื่นหรืออย่างอาจเข้าไปหล่อลื่นสายโซ่ของ PLA ซึ่งจะสามารถบีบตัวได้จากความหนาแน่นของพอลิเมอร์ผสมที่ลดลงเมื่อเติมยางเข้าไป

ตารางที่ 3.7 ความหนาแน่นของพีล์ม

ตัวอย่าง	ความหนาแน่นของพีล์ม ( $\text{g}/\text{cm}^3$ )
PLA	$1.235 \pm 0.06$
PLA/ENR25	$1.221 \pm 0.07$
PLA/ENR25/TiO <sub>2</sub> =5 phr	$1.267 \pm 0.06$
PLA/ENR25/TiO <sub>2</sub> =10 phr	$1.283 \pm 0.07$
PLA/ENR25/TiO <sub>2</sub> =15 phr	$1.292 \pm 0.07$
PLA/ENR50	$1.226 \pm 0.05$
PLA/ENR50/TiO <sub>2</sub> =5 phr	$1.274 \pm 0.07$
PLA/ENR50/TiO <sub>2</sub> =10 phr	$1.285 \pm 0.06$
PLA/ENR50/TiO <sub>2</sub> =15 phr	$1.296 \pm 0.06$



รูปที่ 3.11 ผลของปริมาณไฟฟานียมไดออกไซด์ต่อสมบัติความหนาแน่นของพีล์ม พอลิเมอร์ผสมระหว่างพอลิแลคติกแอซิดและยางธรรมชาติอิพอกไซด์ ที่อัตราส่วน 90/10

### 3.2.2 สมบัติทางความร้อนของฟิล์ม

#### 3.2.2.1 เทคนิคดิฟเฟอเรนเซียลสแกนนิ่งแคลลอริมิเตอร์ (DSC)

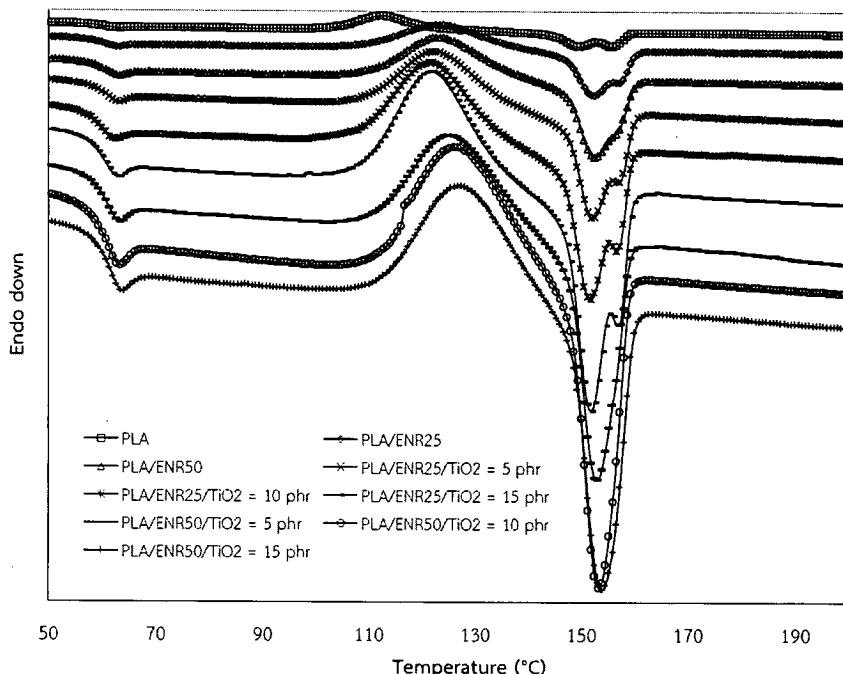
ผลการทดสอบสมบัติทางความร้อนด้วยเทคนิค DSC ของพอลิเมอร์ผสมระหว่าง PLA/ENR ที่มีปริมาณอิพอกไซด์ 25 และ 50 มอล% ที่ปรับปรุงโดยการเติมยางธรรมชาติอิพอกไซด์ และใช้เทาเนียมไดออกไซด์เป็นสารตัวเติมโดยทำการศึกษาชนิดของยางธรรมชาติอิพอกไซด์ที่ 25 และ 50% โดยโนล และปริมาณของเทาเนียมไดออกไซด์ที่ 0-15 phr ซึ่งทำการทดสอบโดยใช้อุณหภูมิ -60 ถึง 200 องศาเซลเซียส แสดงดังตารางที่ 3.8 และเทอร์โมแกรม DSC แสดงดังรูปที่ 3.10 พบว่าการเติมยางธรรมชาติอิพอกไซด์ที่มีปริมาณอิพอกไซด์ที่ 25 และ 50% โดยโนล และเทาเนียมไดออกไซด์ทำให้ค่าอุณหภูมิการเปลี่ยนสถานะคล้ายแก้ว (glass transition temperature,  $T_g$ ) มีค่า  $T_g$  ประมาณ 59 องศาเซลเซียส ซึ่งจากการศึกษาของ (Jaratrot-kamjorn et al., 2012 และ Cao X,2003) [37] โดยการนำยางธรรมชาติผสมกับพอลิแลคติกแอชิด พบว่ามีการเปลี่ยนแปลง  $T_g$  เล็กน้อย และการเติม ENR25 ส่งผลให้เพรำเมอร์ผสมเข้ากันได้ไม่เต็มที่สามารถสังเกตได้จากลักษณะของพีค  $T_m$  ที่เกิดขึ้นซึ่งจะแยกออกเป็น 2 พีคในขณะที่เติม ENR50 ปรากฏเพียงพีคเดียว จากผลดังกล่าวแสดงให้เห็นว่า ENR50 เข้ากับ PLA ได้ดีกว่าและผลของอุณหภูมิหลอมเหลวหลัก (melting temperature,  $T_m$ ) มีแนวโน้มลดลง (Suksut B. et al.,2011) [38] ทั้งนี้อาจเนื่องมาจากการเข้ากันได้ระหว่างพอลิแลคติกแอชิดและยางธรรมชาติอิพอกไซด์มีเพิ่มขึ้นส่งผลให้พอลิแลคติกแอชิดมีความยืดหยุ่นมากขึ้นเนื่องจากยางมีโครงสร้างที่เป็นอ่อน懦านส่งผลทำให้สามารถลดระดับผลลัพธ์ของ PLA ได้ (Tashiro K. et al.,2008) [39]

ตารางที่ 3.8 สมบัติทางความร้อนและปริมาณผลลัพธ์ของฟิล์ม neat PLA, PLA/ENR25 และ PLA/ENR50 (90/10) วิเคราะห์ในขั้น second heating scan ที่ heating rate  $10^{\circ}\text{C}/\text{min}^{-1}$

ตัวอย่าง	$T_g$ ( $^{\circ}\text{C}$ )	$T_c$ ( $^{\circ}\text{C}$ )	$Tm_1$ ( $^{\circ}\text{C}$ )	$Tm_2$ ( $^{\circ}\text{C}$ )	%Crystallinity
PLA	60.99	119.45	-	152.29	37.78
PLA/ENR25	59.07	123.80	151.34	152.27	30.62
PLA/ENR25/TiO <sub>2</sub> =5 phr	59.84	122.46	151.77	157.31	30.78
PLA/ENR25/TiO <sub>2</sub> =10 phr	58.91	121.80	151.27	156.98	28.60
PLA/ENR25/TiO <sub>2</sub> =15 phr	59.38	121.63	151.41	157.13	28.48
PLA/ENR50	59.62	122.96	-	152.42	30.34
PLA/ENR50/TiO <sub>2</sub> =5 phr	59.75	125.28	-	152.76	24.77
PLA/ENR50/TiO <sub>2</sub> =10 phr	59.76	126.29	-	153.30	20.57
PLA/ENR50/TiO <sub>2</sub> =15 phr	60.25	126.78	-	153.96	21.43

ทำให้สายโซ่มากกลุ่มเกิดการเคลื่อนไหวได้ง่ายขึ้นและส่งผลให้พอลิแลคติกแอชิดมีความยืดหยุ่นมากขึ้นในขณะที่เติมเทาเนียมไดออกไซด์ลงไปใน PLA/ENR50 อุณหภูมิการตกหลัก (Crystalline temperature,  $T_c$ ) มีแนวโน้มเพิ่มขึ้นตามปริมาณของเทาเนียมไดออกไซด์ แต่ปริมาณผลลัพธ์ (% Crystallinity) มีแนวโน้มลดลงอาจเกิดการ crosslinking [34] หรือเกิดอันตรกิริยาระหว่าง

สายโซ่ของ PLA และยาง ENR ซึ่งจะทำให้การจัดเรียงตัวของสายโซ่ของ PLA เป็นไปได้ยากขึ้นจึงเป็นที่มาของการลดลงของผลึกในพอลิเมอร์ผสมทำให้มีปริมาณ  $\text{TiO}_2$  มากขึ้นจะเพิ่มการเกิดอันตรกิริยาให้มากขึ้นจึงทำให้การจัดเรียงตัวของสายโซ่ PLA เป็นไปได้ยากขึ้นจึงทำให้ปริมาณผลึกมีแนวโน้มลดลงเมื่อปริมาณ  $\text{TiO}_2$  มากขึ้น [14]



รูปที่ 3.11 เทอร์โมแกรม DSC ของฟิล์ม PLA/ENR25 (90/10) และ PLA/ENR50 (90/10)  
ที่เติม  $\text{TiO}_2$  = 5-10 phr

### 3.2.2.2 การสลายตัวทางความร้อนด้วยเทคนิคเทอร์โมกราฟิกซ์เอนนาไอลซิส (TGA)

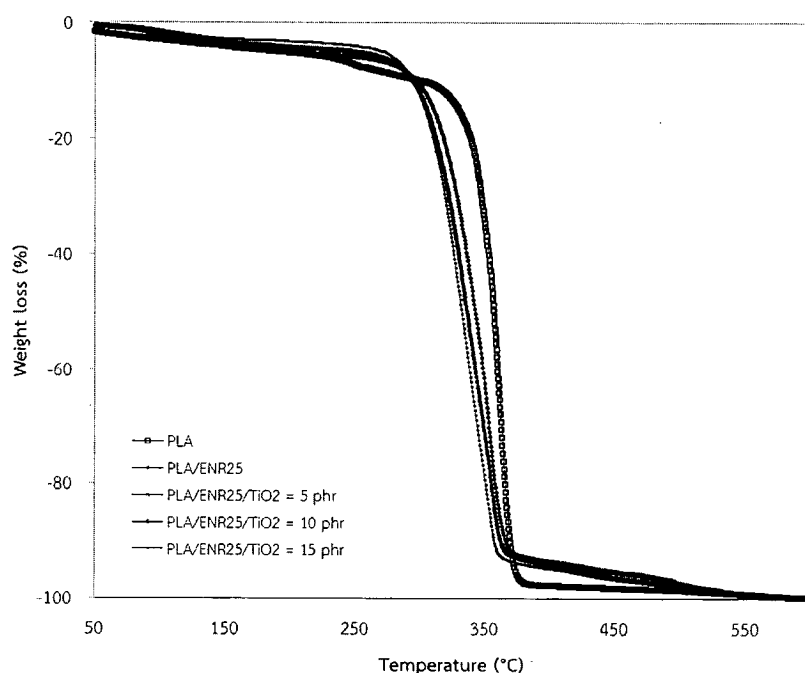
การศึกษาอุณหภูมิการสลายตัวทางความร้อนของแผ่นฟิล์มที่ปรับปรุงโดยการเติมยางธรรมชาติอิพอกไซด์ และใช้เทาเนียมไดออกไซด์เป็นสารตัวเติมโดยทำการศึกษานิดของยางธรรมชาติอิพอกไซด์ที่ 25 และ 50% โดยโมล และปริมาณของเทาเนียมไดออกไซด์ที่ 5-15 phr แสดงตั้งตารางที่ 3.9 และรูปที่ 3.11 พบว่าความเสถียรทางความร้อนเพิ่มขึ้นเมื่อเติม ยาง ENR25 และ ENR50 ลงใน PLA เนื่องจากยาง ENR มีอุณหภูมิการสลายตัวที่สูงกว่า PLA จึงสามารถเพิ่มค่า  $T_{d,5\%}$  ให้เพิ่มขึ้นได้ และ ENR 50 สามารถเพิ่มค่า  $T_{d,5\%}$  ได้มากกว่า เพราะมีปริมาณพันธะคู่อยู่ในโครงสร้างน้อยกว่า ENR25 (พันธะคู่ที่มีอยู่ในโครงสร้างยางจะเป็นจุดที่ไม่ทนความร้อนและสามารถเสื่อมสภาพได้ง่าย) ผลของการเติม  $\text{TiO}_2$  จะทำให้สามารถปรับปรุงค่า  $T_{d,5}$  ให้เพิ่มขึ้นได้ตามปริมาณของ  $\text{TiO}_2$  โดย Norio Nakayama [14] และคณ์ได้ทำการศึกษาเกี่ยวกับพอลิเมอร์ผสมระหว่าง PLA กับ  $\text{TiO}_2$  เมื่อปริมาณ  $\text{TiO}_2$  เพิ่มขึ้นทำให้ความเสถียรทางความร้อนของพอลิเมอร์ผสมเพิ่มขึ้นเนื่องจาก  $\text{TiO}_2$  เป็นฉนวนความร้อน (insulator) และ  $\text{TiO}_2$  จะเป็นตัวปิดกั้นการส่งผ่านสารที่ระเหย (volatile)

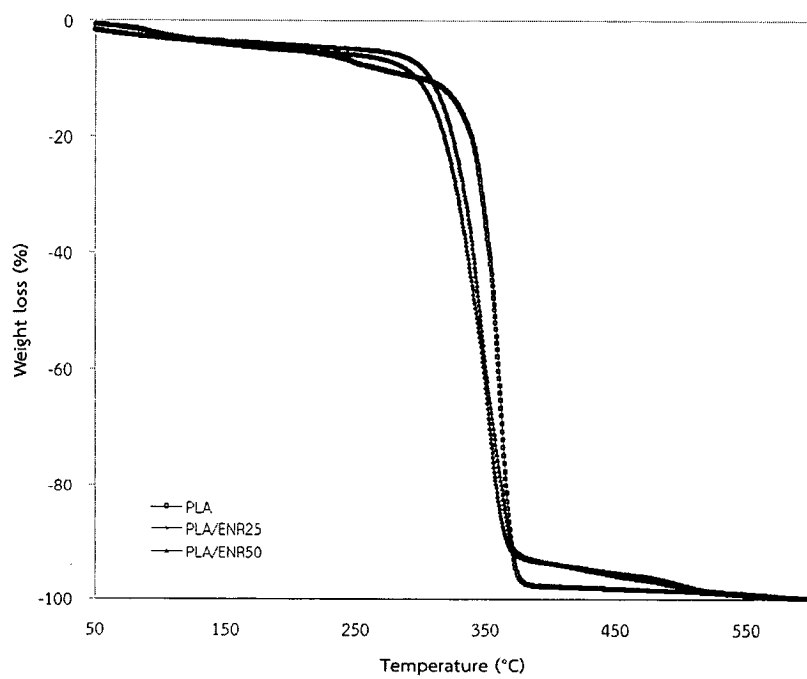
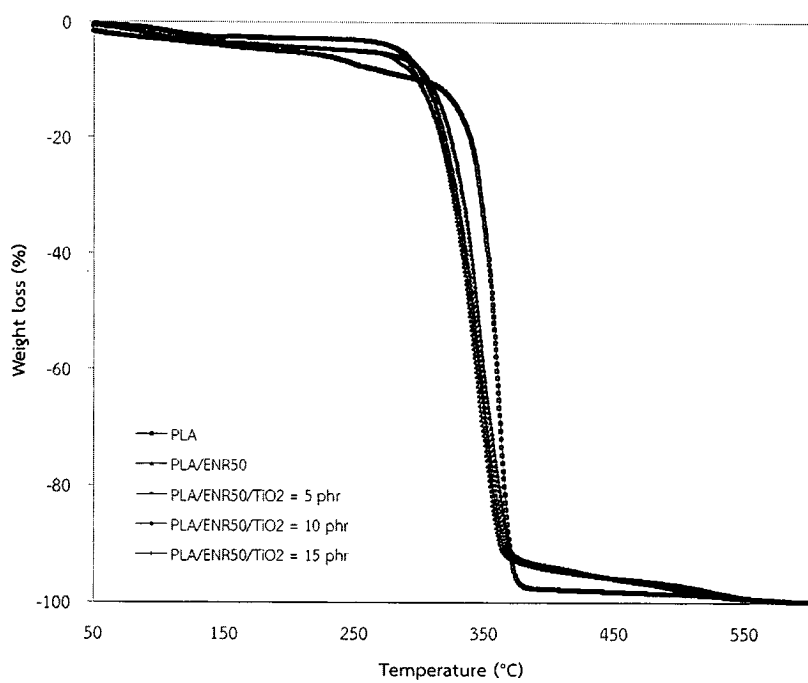
ได้ออกมาจากการตัวอย่างในระหว่างการสลายตัว ดังนั้นการเติมไททาเนียมไดออกไซด์ลงไปในพอลิเมอร์ ผสมส่งผลให้สามารถเพิ่มเสถียรภาพทางความร้อนได้ดีขึ้น

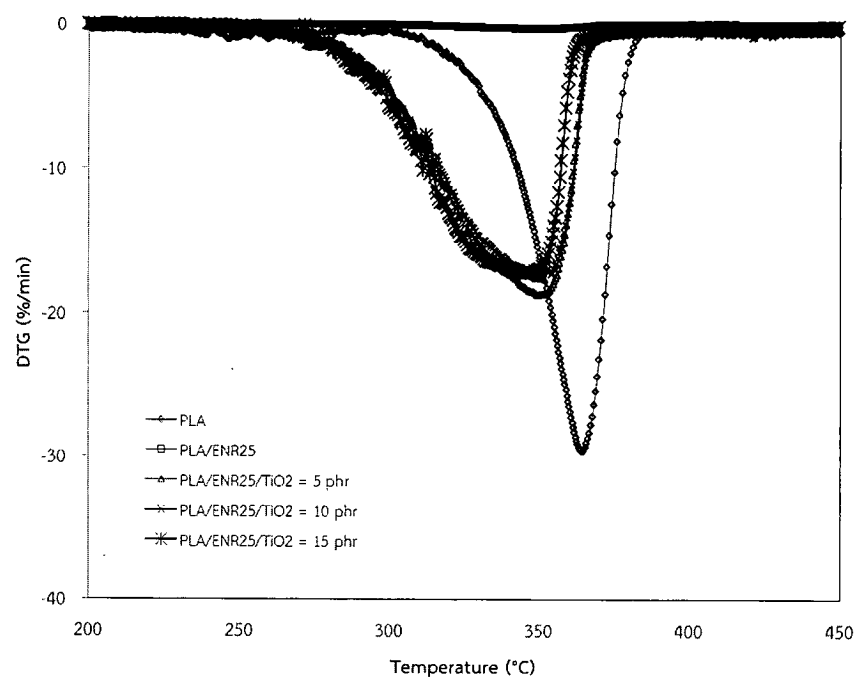
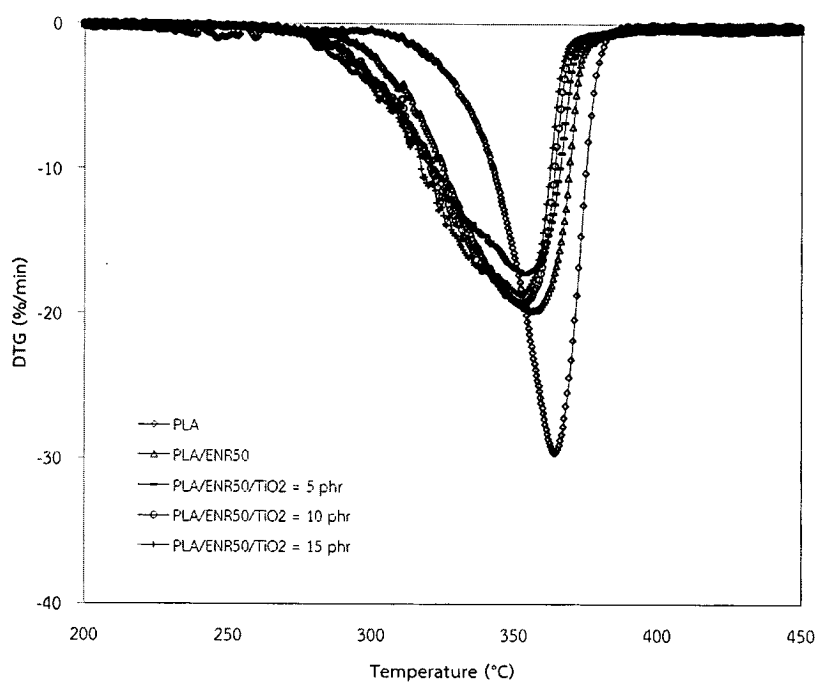
ตารางที่ 3.9 สมบัติทางความร้อนของฟิล์ม PLA/ENR (90/10) ที่เติมไททาเนียมไดออกไซด์ ที่แตกต่างกัน

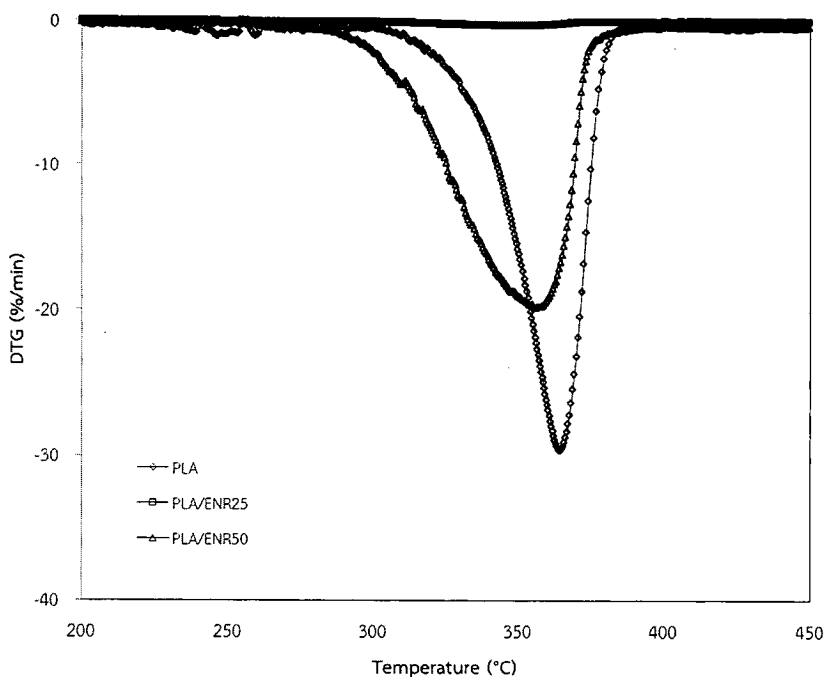
ตัวอย่าง	อุณหภูมิการสลายตัว (องศาเซลเซียส)			
	$T_{d,5\%}$	$T_i$	$T_{dmax}$	$T_f$
neat PLA	120.1	340.8	358.8	374.2
PLA/ENR25	180.1	316.4	350.9	366.7
PLA/ENR25/TiO <sub>2</sub> =5phr	241.0	308.5	351.6	364.4
PLA/ENR25/ TiO <sub>2</sub> =10phr	234.9	305.0	351.6	363.4
PLA/ENR25/ TiO <sub>2</sub> =15phr	272.6	306.3	344.8	358.5
PLA/ENR50	230.4	321.3	357.6	370.5
PLA/ENR50/ TiO <sub>2</sub> =5phr	250.0	312.6	355.2	369.9
PLA/ENR50/ TiO <sub>2</sub> =10phr	284.7	314.9	353.9	365.7
PLA/ENR50/ TiO <sub>2</sub> =15phr	281.7	310.7	353.9	364.8

หมายเหตุ  $T_{d,5\%}$  = 5% weight loss temperature       $T_i$  = initial decomposition temperature  
 $T_{dmax}$  = maximum temperature       $T_f$  = final temperature









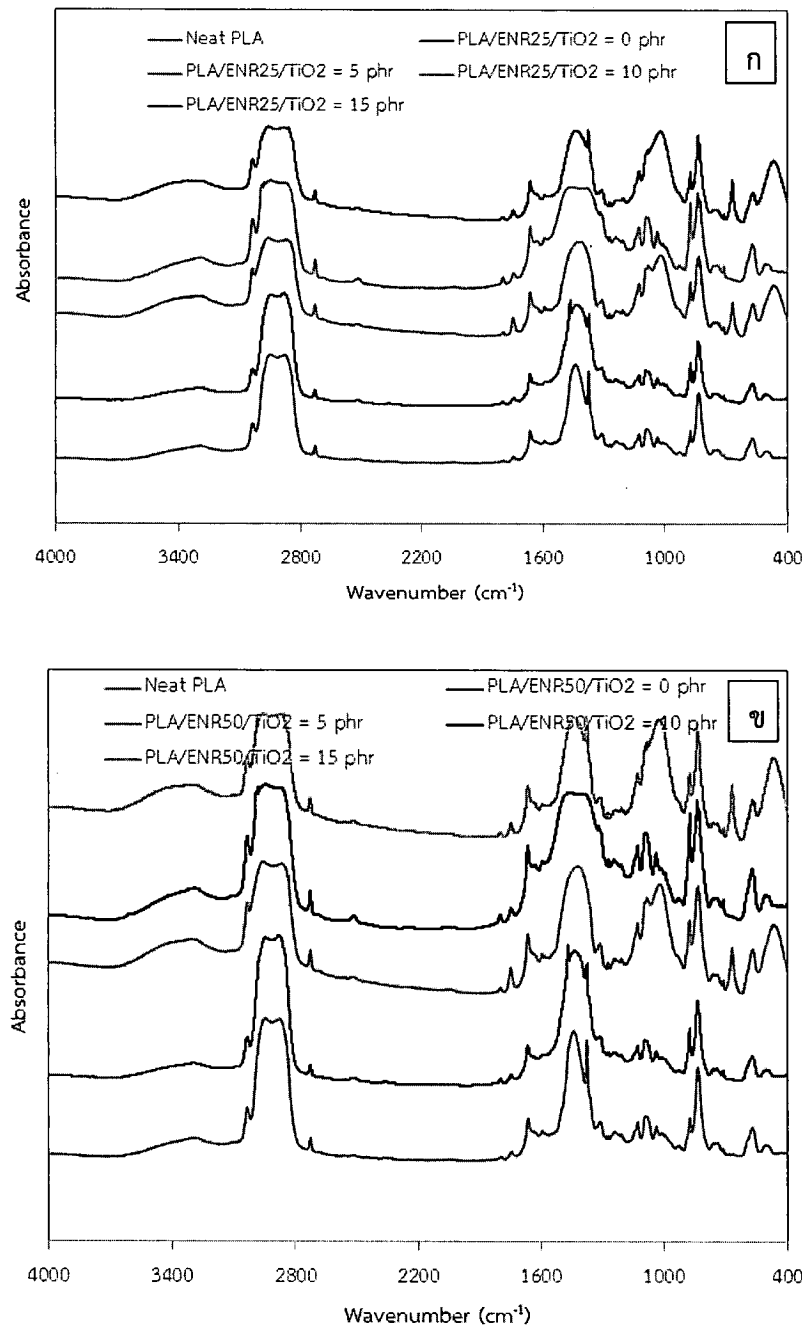
รูปที่ 3.12 เทอร์โมแกรม Weight loss และ DTG ของพิล์ม PLA/ENR 25 และ 50 อัตราส่วน 90/10 โดยประปริมาณของ ไทด์ที่ได้ออกไชด์ที่แตกต่างกัน

### 3.2.3 การทดสอบสมบัติทางเคมีของพิล์ม

#### 3.2.3.1 การวิเคราะห์โครงสร้างทางเคมีด้วยเครื่องฟูเรียร์ทรานฟอร์มอินฟารेडสเปคโตรโฟโตมीเตอร์ (Fourier Transform Infrared Spectrophotometer, FT-IR)

จาก FT-IR สเปกตรัมที่ได้จากการเติมไทด์ที่ได้ออกไชด์ลงไปในพอลิเมอร์ผสมระหว่าง PLA/ENR25 และ PLA/ENR50 แล้วนำมาขึ้นรูปพิล์มพบว่า สเปกตรัมของยางธรรมชาติอิพอกไชด์ (ENR) มีพิการดูดกลืนรังสีอินฟราเรดที่ตำแหน่งเลขคลื่น  $870\text{ cm}^{-1}$  (การสั่นของวงแหวนอิพอกไชด์)  $1,255\text{ cm}^{-1}$  (การสั่นแบบยืดของพันธะ C-O ในหมู่อิพอกไชด์) ซึ่งเลขค่าที่กล่าวมาแสดงถึงการเกิดหมู่อิพอกไชด์ และจะสังเกตได้ว่าเมื่อระดับของการเกิด epoxidation เพิ่มมากขึ้น จะพบตำแหน่งการดูดกลืนที่เลขคลื่นดังกล่าวซัดเจนมากขึ้น ซึ่งแสดงได้ว่าตำแหน่งพันธะคู่ของ Isoprene unit ในยางธรรมชาติถูกเปลี่ยนเป็นหมู่อิพอกไชด์นั้นเอง นอกจากนี้จะเห็นว่าสเปกตรัมของยางธรรมชาติอิพอกไชด์ ENR มีพิการดูดกลืนที่เลขคลื่นประมาณ  $3,400\text{ cm}^{-1}$  ซึ่งแสดงถึงการสั่นของหมู่  $-OH$  ที่อาจเกิดจากการเปิดวงแหวนอิพอกไชด์ PLA pure จะมีการดูดกลืนเลขคลื่นที่ตำแหน่ง  $1082\text{ cm}^{-1}$  (C-H bending)  $1451\text{ cm}^{-1}$  (O-ester)  $1751\text{ cm}^{-1}$  (-C=O Stretching)  $3000-2919\text{ cm}^{-1}$  (C-H stretching) เมื่อทำการวิเคราะห์หาหมู่ฟังก์ชันของพอลิเมอร์สมนรมระหว่าง PLA/ENR พบว่ามีการดูดกลืนเลขคลื่นที่ตำแหน่ง  $860\text{ cm}^{-1}$  และ  $1260\text{ cm}^{-1}$  ซึ่งเป็นของเพสยาง ENR และพบการดูดกลืนเลขคลื่นที่ตำแหน่ง  $1730\text{ cm}^{-1}$ ,  $1456\text{ cm}^{-1}$  และ  $2949\text{ cm}^{-1}$  จาก FT-IR สเปกตรัมที่ได้จากการเติมไทด์ที่ได้ออกไชด์ลงไปในพอลิเมอร์สมนรมระหว่าง PLA/ENR พอลิเมอร์

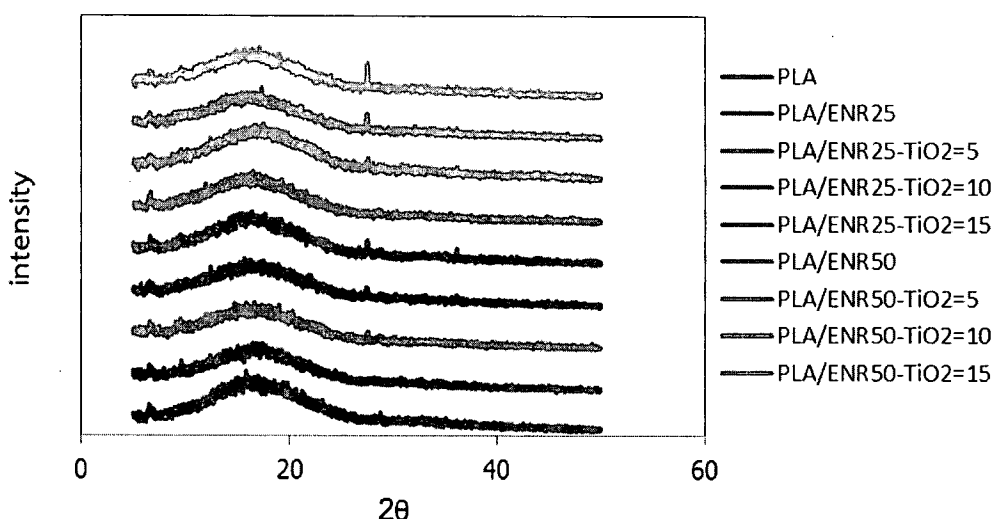
ผสานจะแสดงค่าการดูดกลืนเลขคณิตที่  $746\text{ cm}^{-1}$  ( $\text{TiO}_2$ ) ,  $1451\text{ cm}^{-1}$  (O-ester) ,  $1082\text{ cm}^{-1}$  (C-H bending) ซึ่งสารไททาเนียมจะเกิดการดูดกลืนเลขคณิต  $740\text{ cm}^{-1}$  ซึ่งเป็นการดูดกลืนของหู่  $\text{TiO}_2$  ของสารไททาเนียมได้ออกไซด์และเมื่อปริมาณการเติมสารไททาเนียมได้ออกไซด์เพิ่มมากขึ้นจะทำให้เกิดการดูดกลืนเลขคณิตที่ตำแหน่งนี้เพิ่มมากยิ่งขึ้น [14]



รูปที่ 3.13 FT-IR สเปกตรัมของ PLA/ENR อัตราส่วน 90/10 ที่เติมปริมาณไททาเนียมได้ออกไซด์ 0-15 phr. โดยรูป ก PLA/ENR25 และ รูป ข PLA/ENR50

### 3.2.3.1 วิเคราะห์หาปริมาณของพลีกด้วยเทคนิค XRD

จากรูปที่ 3.14 แสดงผล XRD pattern ของฟิล์มจากพอลิเมอร์สมาระห่วง PLA/ENR50 (90/10) แปรปริมาณไทด์เทาเนียมไดอกไซด์และนาโนไทด์ส่วนในไทด์ที่ 0-15 phr. จาก XRD pattern พบว่าฟิล์มที่ได้มีลักษณะโครงสร้างโดยส่วนใหญ่เป็นแบบสัณฐานและมีส่วนที่เป็นพลีกเกิดขึ้นเพียงเล็กน้อยและมีแนวโน้มเพิ่มขึ้นเมื่อปริมาณ  $\text{TiO}_2$  มากขึ้น ซึ่งพบตำแหน่งของ  $2\theta = 27.5$



รูปที่ 3.14 XRD pattern ของ PLA/ENR50 (90/10) ที่แปรปริมาณไทด์เทาเนียมไดอกไซด์ที่ 0-15 phr.

### 3.2.4 สมบัติเชิงกลของฟิล์ม PLA/ENR ที่เติมไทด์เทาเนียมไดอกไซด์

การศึกษาสมบัติเชิงกลของแผ่นฟิล์มที่ปรับปรุงโดยการเติมยางธรรมชาติอิพอกไซด์ และใช้ไทด์เทาเนียมไดอกไซด์เป็นสารตัวเติมโดยทำการศึกษาชนิดของยางธรรมชาติอิพอกไซด์ที่ 25 และ 50% โดยโมล และปริมาณของไทด์เทาเนียมไดอกไซด์ที่ 5-15 phr ต่อสมบัติความทนทานต่อแรงดึง (Tensile strength) เปอร์เซ็นต์การยืดตัว ณ จุดขาด (Elongation at break) และ 10% โมดูลัส (Modulus) ตามมาตรฐาน ASTM D 882 และความทนทานต่อการฉีกขาด (Tear strength) ตาม มาตรฐาน ASTM D 1922 แสดงในตารางที่ 3.10 จากตารางแสดงให้เห็นว่าการเติมยางธรรมชาติ อิพอกไซด์ที่ 50% โดยโมล มีผลให้ค่าความทนทานต่อแรงดึง ระยะยืด ณ จุดขาด 10% โมดูลัส และ ความทนทานต่อการฉีกขาดมีค่าสูงกว่าการเติมยางธรรมชาติอิพอกไซด์ที่ 25% โดยโมล [10] และ พบว่าฟิล์มที่ปราศจากการเติมยางธรรมชาติอิพอกไซด์จะมีค่าความทนทานต่อแรงดึง ระยะยืด ณ จุดขาด และความทนทานต่อการฉีกขาด เท่ากับ 33.06 MPa 3.0% และ 212.46 mN ตามลำดับ หลังจากเติมยางธรรมชาติอิพอกไซด์ที่ 50% โดยโมล ส่งผลให้ค่าความทนทานต่อแรงดึง ระยะยืด ณ จุดขาด 10% โมดูลัส เพิ่มขึ้น เท่ากับ 39.16 37.80 และ 28.67 MPa ตามลำดับ ในขณะที่ความทนทานต่อการฉีกขาดมีค่าลดลงทั้งนี้อาจเป็นผลมาจากการเข้ากันได้บางส่วนของยางและพอลิแลคติก แอชิด อย่างไรก็ตามพบว่าการเติมยางธรรมชาติอิพอกไซด์ที่ 50% โดยโมล มีความเข้ากันได้กับพอลิแลคติก แอชิดได้ดีกว่ายางธรรมชาติอิพอกไซด์ที่ 25% โดยโมล [34] ได้อธิบายว่าปริมาณอิพอกไซด์เพิ่มขึ้น ความเป็นขี้จึงมีมากขึ้นส่งผลให้เกิดอันตรกิริยาระหว่างสายโซ่โมเลกุล และเกิดการเชื่อมโยง

สายโซ่ไมเลกุลได้สูงขึ้นเนื่องจากมี Epoxy groups ที่มากกว่าสามารถเกิดพันธะไฮโดรเจนกับ carbonyl groups ของ PLA ได้ดีกว่า จากรายงานวิจัยของ (Jeerupun et al.,2004) [35] พบว่าการเติมยางธรรมชาติอิพอกไซด์ที่ 50% โดยไม่ผสมกับพอลิแลคติกแอชิด ปริมาณ 10% โดยน้ำหนัก ส่งผลให้ร้อยละ ณ จุดขาดสูงกว่าพอลิแลคติกแอชิดที่ไม่เติมยางธรรมชาติอิพอกไซด์ประมาณ 4 เท่า ทั้งนี้อาจเนื่องมาจากการกระจายเข้าไปในเฟสของพอลิแลคติกแอชิดและเกิดการเชื่อมโยงของสายโซ่ไมเลกุลทำให้ปรับปรุงความเหนียวของพอลิแลคติกแอชิดให้เพิ่มขึ้นได้

ผลของการเติมไททาเนียมไดออกไซด์ลงในพอลิเมอร์ผสมระหว่างพอลิแลคติกแอชิดและยางธรรมชาติอิพอกไซด์ที่อัตราส่วน 90/10 พบว่าการเติมไททาเนียมไดออกไซด์ในพอลิเมอร์ผสมระหว่างพอลิแลคติกแอชิดและยางธรรมชาติอิพอกไซด์ที่ 25% โดยไม่ ส่งผลให้ความทนทานต่อแรงดึง ร้อยละ ณ จุดขาด 10% ไมดูลัส และความทนทานต่อการฉีกขาดมีค่าไม่แตกต่างกันแต่การเติมลงในพอลิแลคติกแอชิดและยางธรรมชาติอิพอกไซด์ที่ 50% โดยไม่ มีแนวโน้มเพิ่มขึ้นและมีค่ามากที่สุด ที่ปริมาณ 10 phr แต่เมื่อเติมในปริมาณที่เพิ่มมากขึ้นถึง 15 phr ส่งผลให้สมบัติคงล่ามีแนวโน้มลดลง ทั้งนี้ (Yu-Zhong Wang et al.,2009) [36] ได้อธิบายไว้ว่าเมื่อปริมาณไททาเนียมไดออกไซด์เพิ่มขึ้นจะทำให้ความทนทานต่อแรงดึง ร้อยละ ณ จุดขาด ไมดูลัส และความทนทานต่อการฉีกขาดเพิ่มขึ้นเนื่องจากการเกิดอันตรกิริยาระหว่างพอลิแลคติกแอชิดและไททาเนียมไดออกไซด์ในระหว่างขั้นตอนการผสม (melt compounding) อันตรกิริยาที่เกิดขึ้นมีความแข็งแรงและสามารถทำให้เกิดการเข้ากันและสามารถส่งผ่านความเครียด (Stress) ไปยังไททาเนียมไดออกไซด์ส่งผลให้สมบัติคงล่ามีค่าเพิ่มขึ้น เมื่อปริมาณของไททาเนียมไดออกไซด์มากขึ้นจะสามารถเพิ่มสมบัติเชิงกลได้จนถึงจุดจุดหนึ่งหลังจากนั้นจะมีแนวโน้มลดลงทั้งนี้เนื่องจากอนุภาคไททาเนียมไดออกไซด์จะเกิดการรวมตัวกัน จึงส่งผลทำให้เกิดการยับยั้งอันตรกิริยาการเข้ากันได้ทำให้สมบัติเชิงกลลดลง

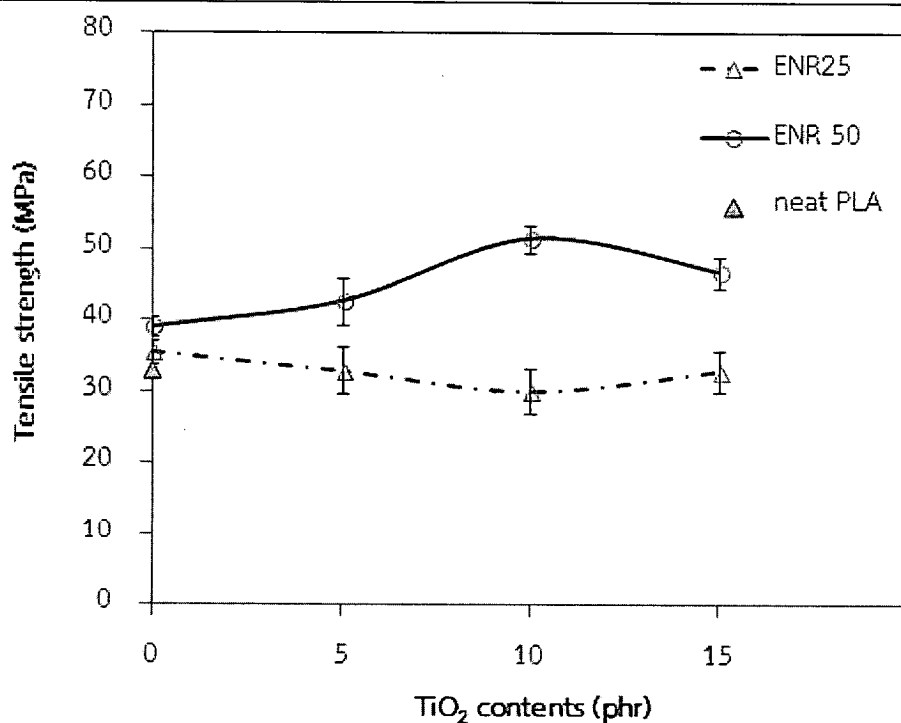
จากรูปที่ 3.18 จะเห็นได้ว่า Neat PLA จะมีพฤติกรรมเป็นแบบแข็ง เพราะเมื่อค่า Stress ถึงจุดสูงสุดแล้วจะขาดโดยไม่เกิดคอขอดและสามารถดูได้จาก %Strain ที่ต่ำ แต่การเติม ENR25 ลงในพอลิแลคติกแอชิดจะทำให้การผสมเข้ากันได้ไม่ดีเนื่องจาก ยาง ENR25 มีหมู่ epoxy ในการเกิดอันตรกิริยา กับ Neat PLA ได้น้อยส่งผลให้มีพฤติกรรมเป็นแบบแข็งเหล็กน้อย (Tashiro K et al.,2008) [39] ในขณะที่เติมยาง ENR 50 จะทำให้เกิดอันตรกิริยาระหว่าง PLA และ ENR การเข้าได้มีมากขึ้นส่งผลให้ฟิล์มมีความเหนียวเพิ่มขึ้นและพบว่าการเติมไททาเนียมไดออกไซด์เพิ่มมากขึ้นถึง 10 phr จะทำให้ความเหนียวของฟิล์มเพิ่มขึ้น แสดงดังรูปที่ 3.15 และ 3.16 แต่เมื่อเติมไททาเนียมไดออกไซด์เพิ่มมากขึ้นถึง 15 phr จะทำให้ค่า %Strain มากที่สุด เนื่องจากการเกิดอันตรกิริยาที่ต้องห่วงพอลิแลคติกแอชิดและไททาเนียมไดออกไซด์ เมื่อเติมไททาเนียมไดออกไซด์ในปริมาณที่มากขึ้นถึง 15 phr จะทำให้ค่า %Strain ลดลงเนื่องจากเกิดการรวมตัวของอนุภาคไททาเนียมไดออกไซด์ทำให้เกิดการยับยั้งผลของการเกิดอันตรกิริยาเนื่องจากการกระจายตัวของอนุภาคไททาเนียมไดออกไซด์ได้ไม่เต็ม [34]

จากรูปที่ 3.18 การต้านทานต่อการฉีกขาดมีค่าเพิ่มขึ้นตามปริมาณที่เพิ่มขึ้นของไททาเนียมไดออกไซด์ และจะมีค่าต้านทานต่อการฉีกขาดสูงที่สุดในสูตรที่มีการเติม TiO<sub>2</sub> 10 phr แต่เมื่อเติม TiO<sub>2</sub> 15 phr จะทำให้ค่าความต้านทานต่อการฉีกขาดลดลง เนื่องจากการเติมไททาเนียมไดออกไซด์เข้าไปจะช่วยขัดขวางการฉีกขาดของฟิล์มจึงมีค่าความต้านทานต่อการฉีกขาดเพิ่มขึ้น แต่เมื่อเติมในปริมาณมากเกินไปจะทำให้ไททาเนียมไดออกไซด์เกินการจับตัวกันเองและกระจายตัวได้น้อย Yu-Zhong Wang และคณะ [36] ทำให้ค่าความต้านทานต่อการฉีกขาดลดลง ในขณะที่พอลิเมอร์ผสมที่เติมยาง ENR50

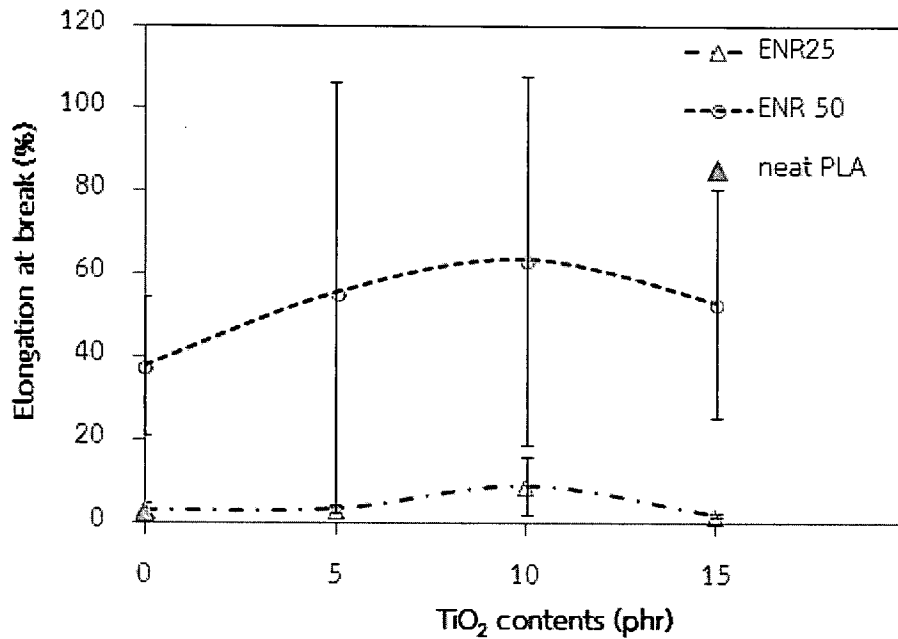
จะมีความเข้ากันกับ PLA ได้ดีกว่าเนื่องจากมีความเป็นขั้วมากกว่าจึงทำให้การต้านทานต่อการฉีกขาดสูงกว่าพอลิเมอร์ผสมที่เติมยาง ENR25

ตารางที่ 3.10 ผลของสมบัติเชิงกลของฟิล์ม PLA/ENR ที่เติมไทดีเนียมไดออกไซด์

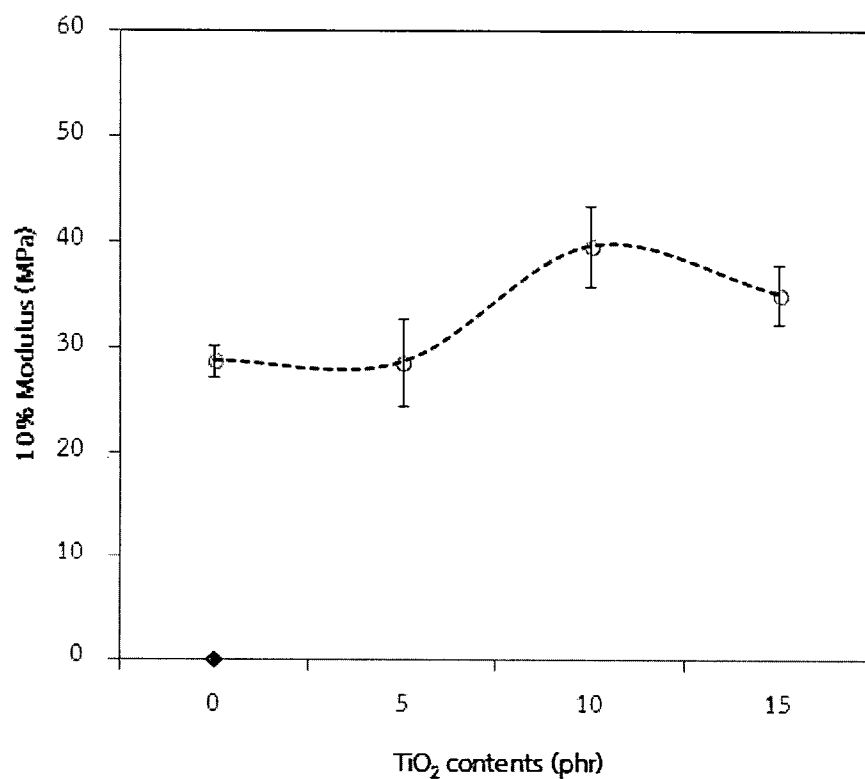
ตัวอย่าง	Tensile strength (MPa)	Elongation at break (%)	10% Modulus (MPa)	Tear strength (mN)
neat PLA	$33.06 \pm 2.12$	$3.00 \pm 1.73$	-	$212.46 \pm 4.47$
PLA/ENR25	$35.72 \pm 1.37$	$3.20 \pm 1.64$	-	$190.59 \pm 16.20$
PLA/ENR25/ $\text{TiO}_2=5\text{phr}$	$33.04 \pm 3.58$	$3.60 \pm 0.89$	-	$199.90 \pm 17.39$
PLA/ENR25/ $\text{TiO}_2=10\text{phr}$	$30.16 \pm 2.01$	$9.20 \pm 6.87$	-	$340.84 \pm 30.15$
PLA/ENR25/ $\text{TiO}_2=15\text{phr}$	$33.09 \pm 2.36$	$2.20 \pm 0.45$	-	$180.21 \pm 9.15$
PLA/ENR50	$39.16 \pm 1.74$	$37.80 \pm 16.56$	$28.67 \pm 1.5$	$202.64 \pm 14.80$
PLA/ENR50/ $\text{TiO}_2=5\text{phr}$	$42.76 \pm 3.50$	$55.40 \pm 51.21$	$30.22 \pm 11.70$	$306.90 \pm 26.34$
PLA/ENR50/ $\text{TiO}_2=10\text{phr}$	$51.56 \pm 3.37$	$63.40 \pm 44.40$	$39.56 \pm 2.91$	$392.39 \pm 20.90$
PLA/ENR50/ $\text{TiO}_2=15\text{phr}$	$46.94 \pm 3.05$	$53.00 \pm 27.50$	$35.14 \pm 2.61$	$302.97 \pm 22.57$



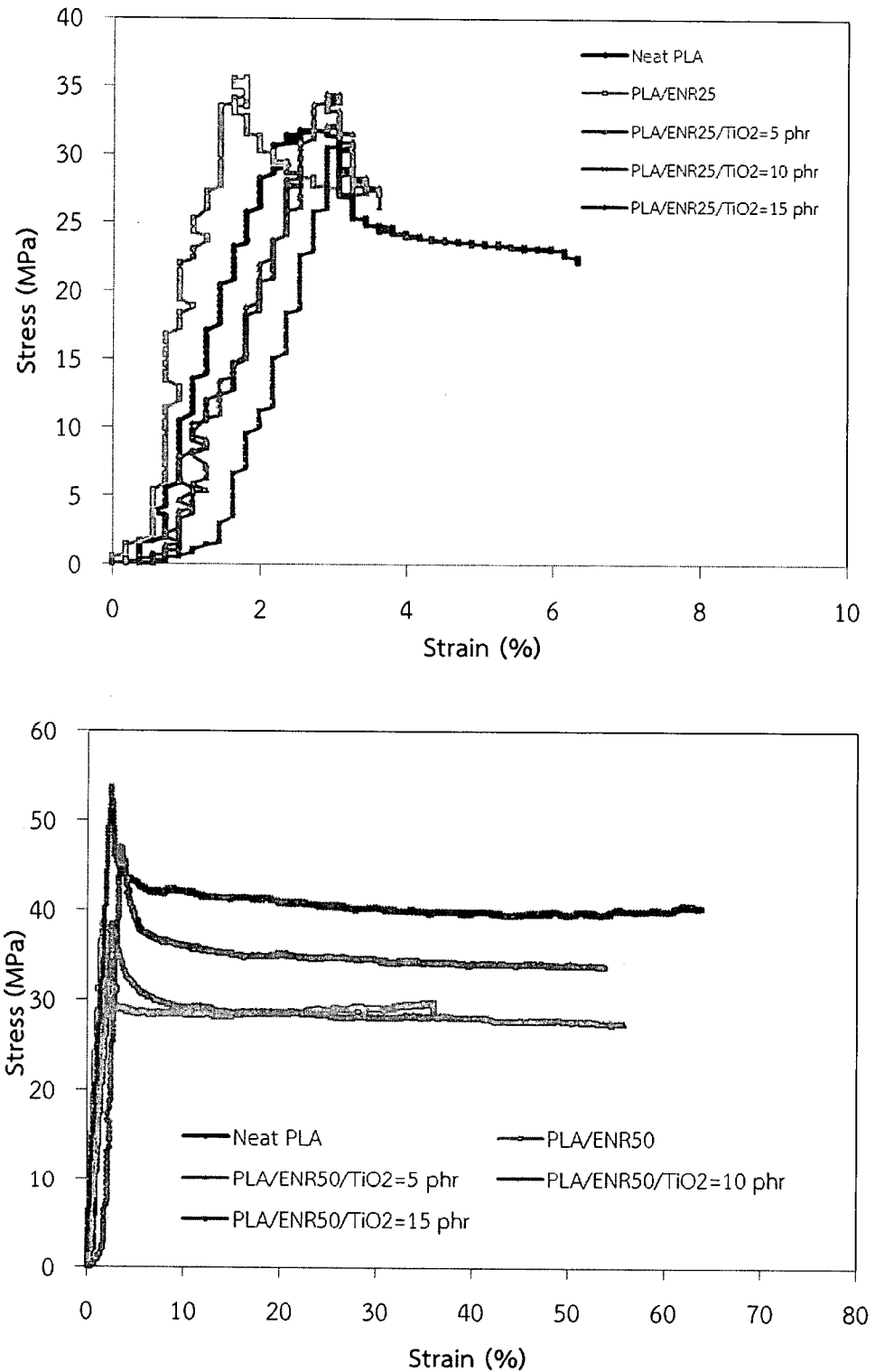
รูปที่ 3.15 ผลของปริมาณไทดีเนียมไดออกไซด์ต่อสมบัติความทนทานต่อแรงดึงของพอลิเมอร์ผสมระหว่างพอลิแลคติกแอชิดและยางธรรมชาติอิพอกไซด์ที่อัตราส่วน 90/10



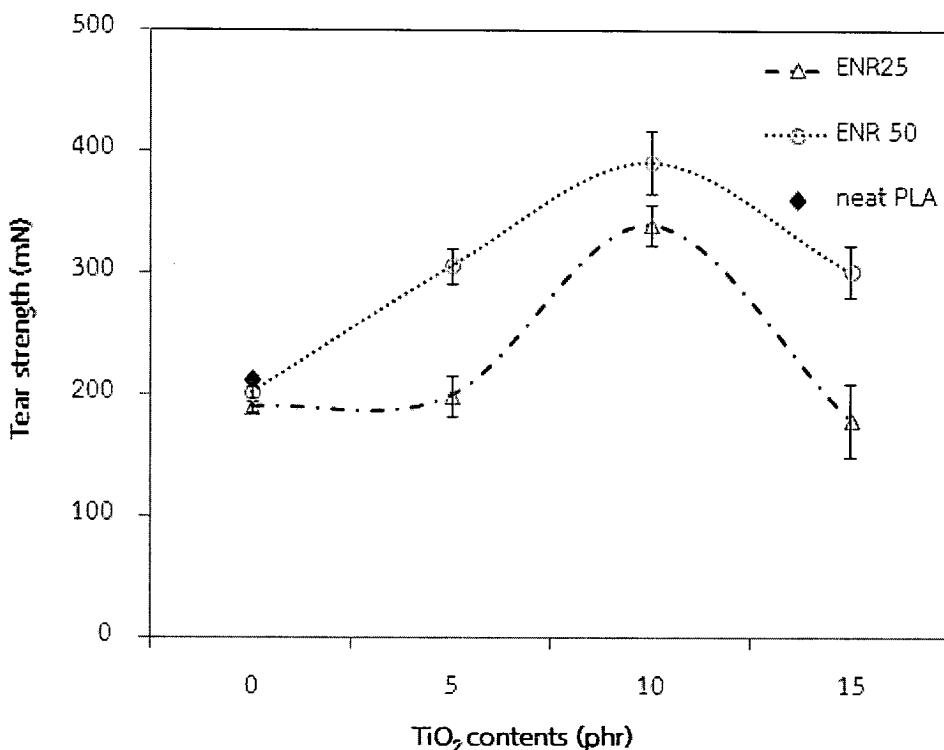
รูปที่ 3.16 ผลของปริมาณไทดานเนียมไดออกไซด์ต่อระยะยืด ณ จุดขาด ของพอลิเมอร์ผสมระหว่าง พอลิแลคติกแอซิดและยางธรรมชาติอิพอกไซด์ที่อัตราส่วน 90/10



รูปที่ 3.17 ผลของปริมาณไทดานเนียมไดออกไซด์ต่อ 10% โมดูลัส ของพอลิเมอร์ผสมระหว่าง พอลิแลคติกแอซิดและยางธรรมชาติอิพอกไซด์ 50% โดยไม่ลดอัตราส่วน 90/10



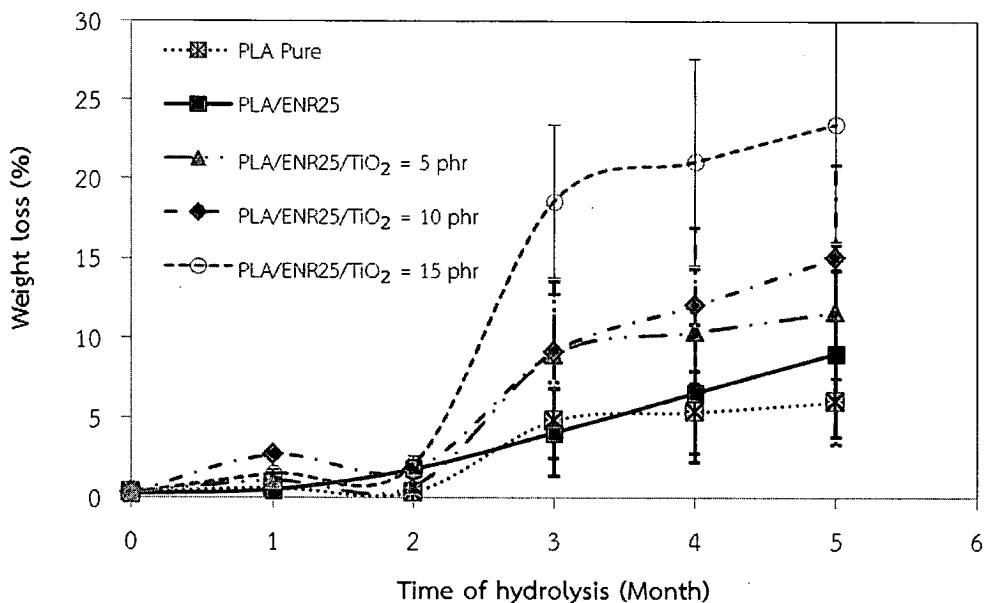
รูปที่ 3.18 ผลของปริมาณไฟฟานเนียมไดออกไซด์ต่อพฤติกรรม stress-strain ของพอลิเมอร์ผสมระหว่างพอลิแลคติกแอซิตและยางธรรมชาติอิพอกไซด์ ที่อัตราส่วน 90/10



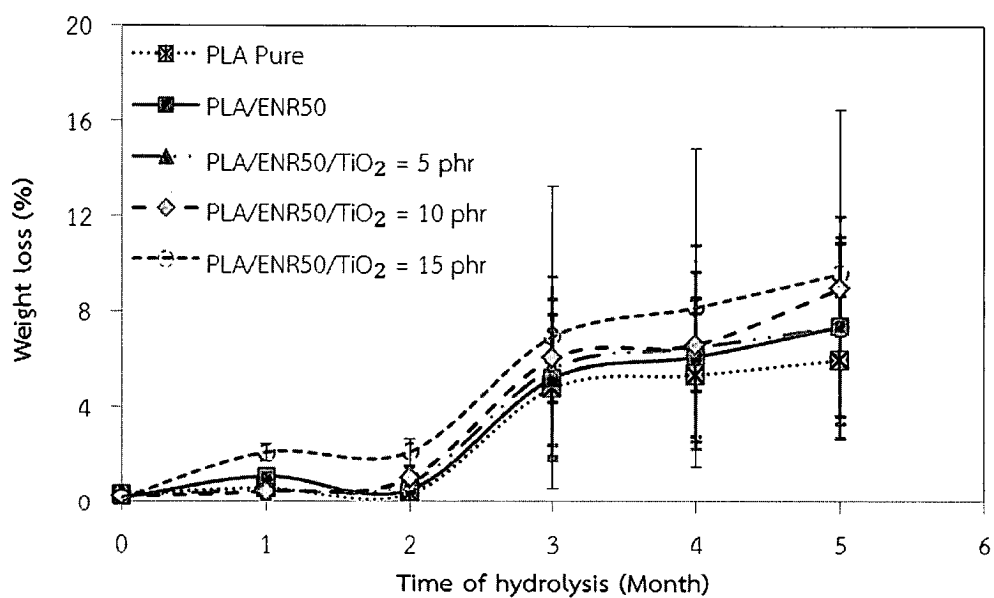
รูปที่ 3.19 ผลของปริมาณไททาเนียมไดออกไซด์ต่อความทนทานต่อการฉีกขาดของพอลิเมอร์ผสมระหว่างพอลิแลคติกแอซิดและยางธรรมชาติอิพอกไซด์ที่อัตราส่วน 90/10

### 3.3 ทดสอบการย่อยสลายได้ทางชีวภาพตามมาตรฐาน EN-13655

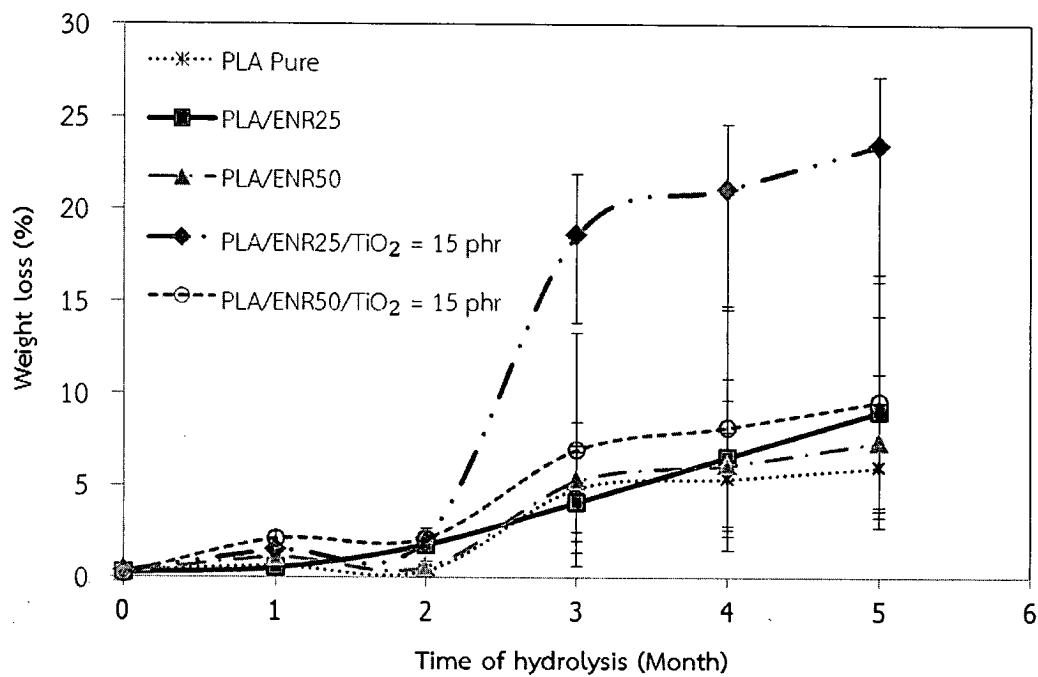
การศึกษาการย่อยสลายของแผ่นฟิล์มไปโอลิสติกอิลัสโตร์ที่ปรับปรุงโดยการเติมยางธรรมชาติอิพอกไซด์และใช้ไททาเนียมไดออกไซด์เป็นสารตัวเติมโดยทำการศึกษานิดของยางธรรมชาติอิพอกไซด์ที่ 25 และ 50% โดยโมล และแปรปริมาณของไททาเนียมไดออกไซด์ที่ 0-15 phr โดยทำการนำฟิล์มไปฝังในดินเพื่อให้เกิดการย่อยสลายที่ 1-5 เดือน ทำการผึ้งฟิล์มลงไปในดินที่ความลึก 10 เซนติเมตร โดยใช้ดินสำหรับปลูกพืชยี่ห้อลำดวน แสดงผลดังตารางที่ 3.11 จากตารางแสดงให้เห็นว่าในช่วง 1-3 เดือน ฟิล์มทุกสัดส่วนของการผสมสามารถย่อยสลายได้น้อยเมื่อทำการย่อยสลายที่ระยะเวลา 5 เดือน พบว่าฟิล์มดังกล่าวมีความสามารถในการย่อยสลายได้มากขึ้น การย่อยสลายของพอลิเมอร์ผสมที่เติมยาง ENR25, ENR50 และไททาเนียมไดออกไซด์ พบว่า PLA/ENR25 สามารถย่อยสลายได้ดีกว่า PLA/ENR50 ทั้งนี้อาจเป็นผลมาจากการที่ PLA/ENR25 เข้ากันได้ไม่ดีและมีบางส่วนเกิดการแยกเฟسمีผลทำให้เกิดการย่อยสลายได้ง่าย ในขณะที่ PLA/ENR50 เข้ากันได้ดีกว่ามีผลทำให้ความสามารถในการย่อยสลายมากกว่า และ PLA/ENR25 ที่เติมไททาเนียมไดออกไซด์ที่ 15 phr ย่อยสลายได้มากที่สุดซึ่งสังเกตเห็นได้ชัดเจนจากรูปที่ 3.22 โดยที่ฟิล์มดังกล่าวจะมีรอยแตกเป็นรูขนาดเล็กๆ กระจายในแผ่นฟิล์มในขณะที่ PLA/ENR50 ยังไม่ปรากฏรอยแตกของแผ่นฟิล์มแต่มีลักษณะเป็นฟองอากาศแทรกตัวอยู่ในเนื้อฟิล์มบางส่วนดังรูปที่ 3.20 การเติมยาง ENR และไททาเนียมไดออกไซด์ทำให้ฟิล์มย่อยสลายได้ดีขึ้น แต่การย่อยสลายของ PLA จะย่อยสลายได้ยากเนื่องจากสภาพที่ไม่เหมาะสมสำหรับการย่อยสลายของฟิล์ม พอลิแลคติกแอซิด ซึ่งการย่อยของฟิล์ม PLA สามารถย่อยได้ดีในสภาพที่ดินมีอุณหภูมิประมาณ 60 องศาเซลเซียส [17]



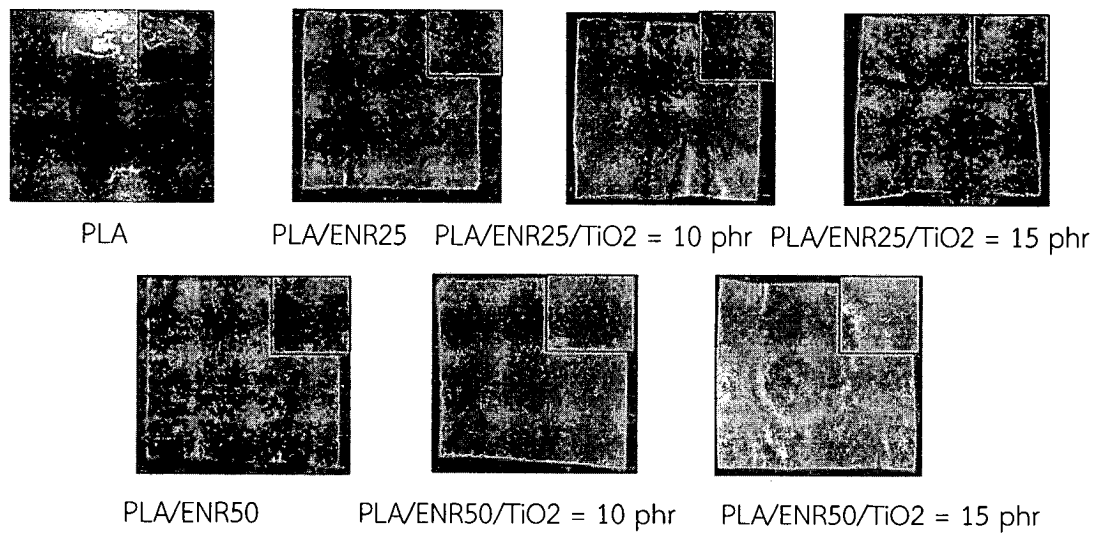
รูปที่ 3.20 ผลของการย่อยสลายของฟิล์มจากพอลิเมอร์ผสมระหว่าง PLA/ENR25 ที่เติมไทดานาเนียมไดออกไซด์ในดินสำหรับปลูกพืชชีห้อจำนวนที่ระยะเวลา 0-5 เดือน



รูปที่ 3.21 ผลของการย่อยสลายของฟิล์มจากพอลิเมอร์ผสมระหว่าง PLA/ENR50 ที่เติมไทดานาเนียมไดออกไซด์ในดินสำหรับปลูกพืชชีห้อจำนวนที่ระยะเวลา 0-5 เดือน



รูปที่ 3.22 เปรียบเทียบผลของการย่อยสลายของฟิล์มจากพอลิเมอร์สมาระห่วง PLA/ENR ที่เติมไทดานเนียมไดออกไซด์ในดินสำหรับปลูกพืชยี่ห้อลำดวนที่ระยะเวลา 0-5 เดือน



รูปที่ 3.23 ลักษณะทางกายภาพของฟิล์มจากพอลิเมอร์สมาระห่วง PLA/ENR ที่ถูกย่อยสลายในดินเป็นระยะเวลา 5 เดือน

ตารางที่ 3.1.1 ผลการอย่างต่อเนื่องของพิรุณ PLA/ENR (90/10) ที่เต็มไปทางน้ำมันดีออกไซด์และกําลังในกระบวนการร่อนอย่างต่อเนื่อง โดยใช้ชั้นเรียบและเวลาในการร่อนอย่างต่อเนื่อง ผลกระทบต่อตัว่างๆ ของตัวอย่างที่ 1-5 เดือน

ตัวอย่าง (กรัม)	น้ำหนักก้อนผงคง น้ำหนักที่หายไป (%)	ระยะเวลาในการร่อนอย่างต่อเนื่อง (เดือน)				
		0	1	2	3	4
Neat PLA	0.32±0.02	0.63±0.12	0.36±0.23	4.82±2.37	5.34±2.55	5.99±2.69
PLA/ENR25	0.26±0.00	0.52±0.19	1.79±0.50	4.08±2.73	6.56±4.3	9.05±5.22
PLA/ENR25/TiO <sub>2</sub> = 5 phr	0.31±0.06	1.09±0.46	0.74±0.60	8.95±3.84	10.36±3.98	11.62±4.2
PLA/ENR25/TiO <sub>2</sub> = 10 phr	0.3±0.01	2.68±0.18	1.78±0.30	9.13±4.41	12.04±4.89	15.07±5.84
PLA/ENR25/TiO <sub>2</sub> = 15 phr	0.31±0.01	1.5±0.25	2.11±0.53	18.62±4.80	21.11±6.54	23.49±7.38
PLA/ENR50	0.33±0.02	1.11±0.21	0.56±0.30	5.23±3.26	6.12±3.54	7.38±3.76
PLA/ENR50/TiO <sub>2</sub> = 5 phr	0.32±0.02	0.55±0.32	0.86±0.32	5.63±3.84	6.51±4.26	7.38±4.62
PLA/ENR50/TiO <sub>2</sub> = 10 phr	0.25±0.02	0.49±0.39	1.05±0.50	6.05±1.82	6.62±1.92	8.97±1.93
PLA/ENR50/TiO <sub>2</sub> = 15 phr	0.2±0.02	2.11±0.38	2.14±0.55	6.95±0.33	8.18±6.66	9.6±6.9

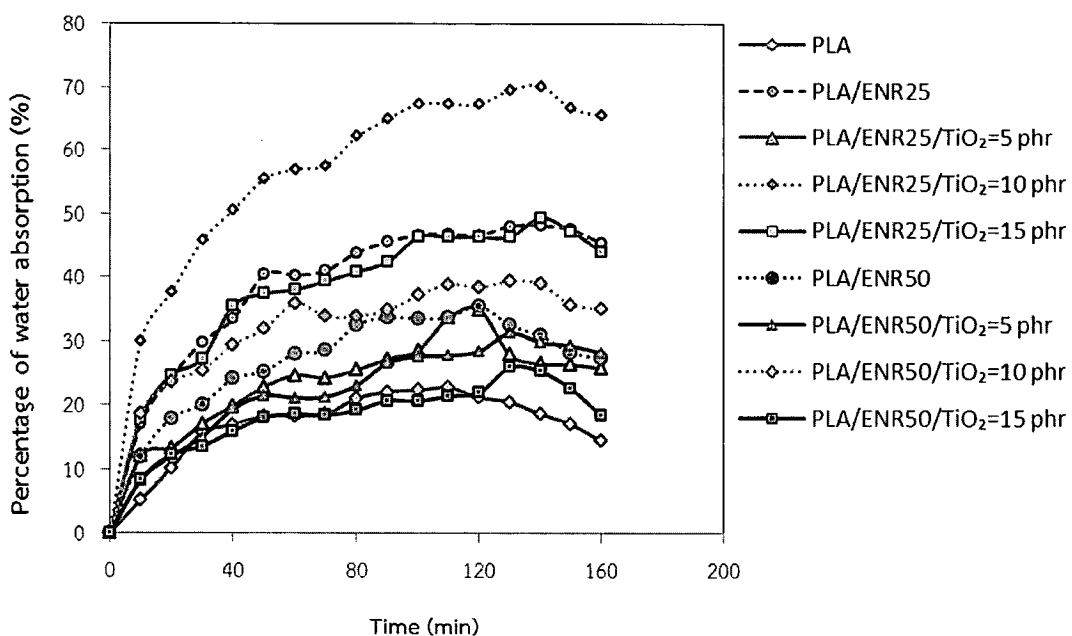
### 3.4 การทดสอบสมบัติการดูดซับน้ำ (Water absorption) ของแผ่นพิล์ม

การทดสอบการดูดซับน้ำ (Water absorption) ตามมาตรฐาน D570 ของแผ่นพิล์มไบโอลาสติกอิเล็กทรอนิกส์ที่ปรับปรุงโดยการเติมยางธรรมชาติอิพอกไซด์ และใช้ไทยเนียมไดออกไซด์เป็นสารตัวเติมที่ 5-15 phr โดยทำการนำพิล์มก่อนและหลังการย่อยในดินที่ 0, 2 และ 5 เดือน ตัดชิ้นตัวอย่างขนาด  $1 \times 3$  ตารางเซนติเมตรอบในตู้อบที่อุณหภูมิ 40 องศาเซลเซียส จนน้ำหนักคงที่ และซั่งน้ำหนักจากนั้นนำตัวอย่างใส่ลงไปในหลอดทดลองที่มีน้ำ Deionized (ปริมาณ 10 มิลลิลิตร) วางบน water bath ที่อุณหภูมิ 58 องศาเซลเซียส แซฟท์ไวท์เวลา 10, 20, 30,...,160 นาทีตามลำดับ รูปที่ 3.23 แสดงให้เห็นว่า้อยละการดูดซับน้ำของ PLA และพอลิเมอร์ผสมระหว่าง PLA/ENR แซฟท์ที่อุณหภูมิ 58 องศาเซลเซียส ซึ่งเป็นอุณหภูมิการย่อยสลายพบว่าพอลิเมอร์ผสมทุกสัดส่วนจะมีปริมาณการดูดซับน้ำมากที่สุด หลังจากนั้นปริมาณการดูดซับน้ำเริ่มคงที่ก่อนที่น้ำหนักจะเพิ่มสูงขึ้น และลดลงอีกรึ่งหนึ่ง การดูดซับน้ำเกิดได้ 4 ขั้นตอนตามลำดับดังนี้: (1) เกิดการดูดซับน้ำได้อย่างรวดเร็วซึ่งตัวอย่างย่างต่อการแพร่ของน้ำที่เวลา 0-30 นาที (2) การดูดซับน้ำไม่ได้เพิ่มขึ้นกับเวลาที่เพิ่มขึ้นของชั้นงานถึงชั้มน้ำที่เวลา 30-100 นาที (3) การดูดซับน้ำจะเพิ่มขึ้นอีกรึ่งและเพิ่มอัตราการดูดซับด้วยเวลาแซฟท์ที่เวลา 100-165 นาที (4) การดูดซับน้ำถึงค่าสูงสุดและดูดซับความชื้นก็จะเริ่มลดลงอีกรึ่งที่เวลามากกว่า 165 นาที [29]

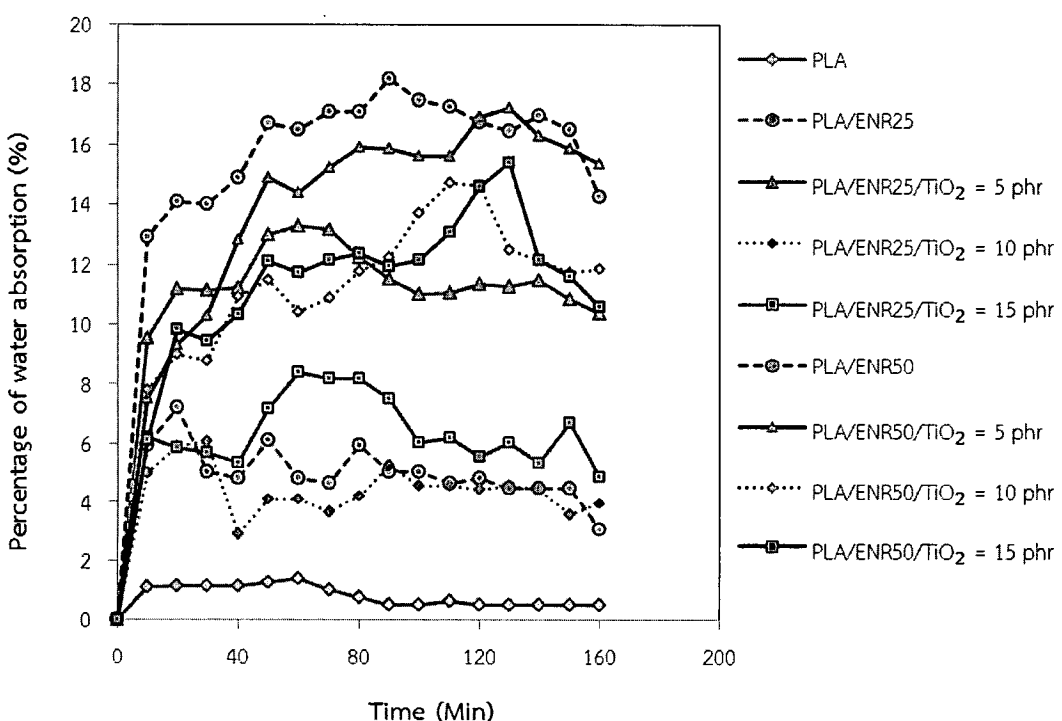
การดูดซับน้ำของพอลิเมอร์ผสมที่มีการเติม  $TiO_2$  จะมีค่าสูงกว่าพอลิเมอร์ที่ไม่ได้เติม  $TiO_2$  ตัวอย่างทุกสัดส่วนแสดงให้เห็นการดูดซับน้ำที่เพิ่มขึ้นกับเวลาในการแซฟท์ เมื่อปริมาณของ PLA สัมผัสกับ Hydrophilic filler สายโซ่ของ PLA จะถูกน้ำแทรกซึมเข้าไปได้ง่าย ทั้งนี้ไทยเนียมไดออกไซด์ยังมีผลต่อการดูดซับน้ำ การดูดซับจะเกิดได้ช้าที่ปริมาณ  $TiO_2$  น้อยๆ และจะเกิดได้เร็วที่ปริมาณ  $TiO_2$  สูงขึ้น ซึ่งเกี่ยวข้องกับความไม่ชอบน้ำของพื้นผิว PLA และความชอบน้ำของ  $TiO_2$  ดังนั้นการดูดซับน้ำของพอลิเมอร์ผสมที่ได้มาจากการความชอบน้ำของ  $TiO_2$  ทำให้การดูดซับน้ำในพอลิเมอร์ผสมเป็นของ  $TiO_2$  เป็นส่วนใหญ่ [40] รูปที่ 3.24 และ 3.25 พบว่าที่ระยะเวลาหลังฝังดินที่ 2 และ 5 เดือน การดูดซับน้ำของตัวอย่างทุกสัดส่วนมีแนวโน้มลดลง อาจเป็นผลมาจากการซึ้งตัวอย่างได้รับการย่อยสลายด้วยการฝังดิน

ตารางที่ 3.12 ผลการดูดซับน้ำของพิล์ม PLA/ENR (90/10) ที่เติมไทดานียมไดออกไซด์ที่แตกต่างกัน ก่อนและหลังผึ้งดิน

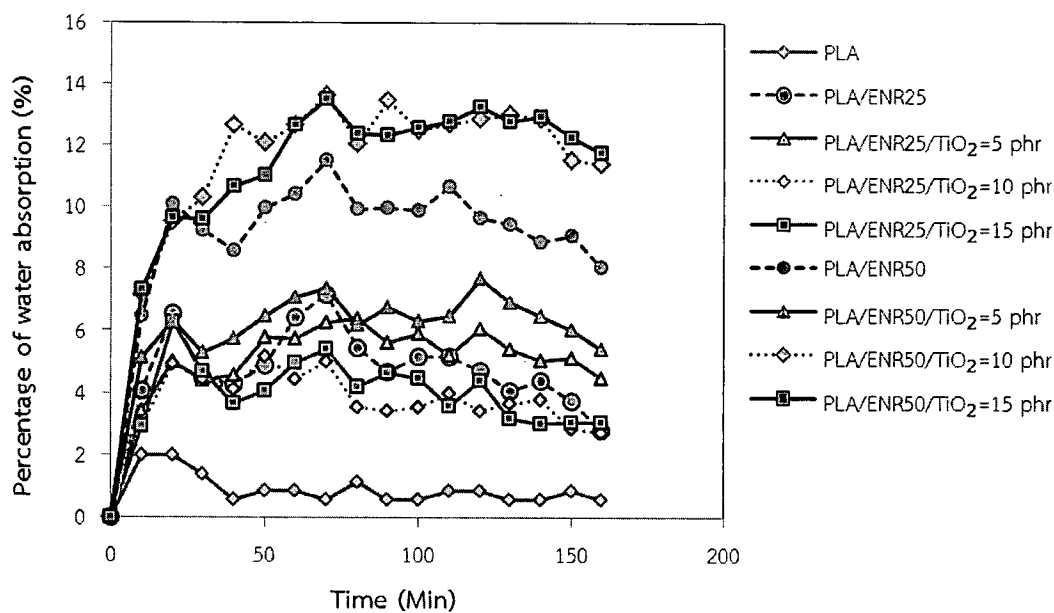
samples	ระยะเวลา ในการผึ้งดิน (เดือน)	การดูดซับน้ำ (%)				
		0	40	80	120	160
neat PLA	0	16.88	21.01	21.21	14.40	
PLA/ENR25	0	33.39	43.88	46.62	45.36	
PLA/ENR25/TiO <sub>2</sub> = 5 phr	0	19.84	25.48	34.96	25.73	
PLA/ENR25/TiO <sub>2</sub> = 10 phr	0	50.47	62.13	67.36	65.52	
PLA/ENR25/TiO <sub>2</sub> = 15 phr	0	35.46	40.80	46.31	44.05	
PLA/ENR50	0	24.08	32.47	35.49	27.32	
PLA/ENR50/TiO <sub>2</sub> = 5 phr	0	19.33	23.07	28.36	28.14	
PLA/ENR50/TiO <sub>2</sub> = 10 phr	0	29.35	33.87	38.36	35.06	
PLA/ENR50/TiO <sub>2</sub> = 15 phr	0	15.88	19.15	21.95	18.38	
neat PLA	0	1.15	0.77	0.50	0.51	
PLA/ENR25	0	4.87	5.96	4.87	3.07	
PLA/ENR25/TiO <sub>2</sub> = 5 phr	0	11.22	12.24	11.34	10.37	
PLA/ENR25/TiO <sub>2</sub> = 10 phr	0	2.93	4.22	4.48	3.98	
PLA/ENR25/TiO <sub>2</sub> = 15 phr	2	5.36	8.20	5.56	4.90	
PLA/ENR50	0	14.90	17.07	16.75	14.24	
PLA/ENR50/TiO <sub>2</sub> = 5 phr	0	12.83	15.91	16.89	15.34	
PLA/ENR50/TiO <sub>2</sub> = 10 phr	0	10.92	11.79	14.65	11.85	
PLA/ENR50/TiO <sub>2</sub> = 15 phr	0	10.34	12.35	14.61	10.59	
neat PLA	0	0.57	1.13	0.86	0.58	
PLA/ENR25	0	4.28	5.45	4.71	2.81	
PLA/ENR25/TiO <sub>2</sub> = 5 phr	0	4.56	6.38	6.07	4.46	
PLA/ENR25/TiO <sub>2</sub> = 10 phr	0	4.09	3.52	3.40	2.73	
PLA/ENR25/TiO <sub>2</sub> = 15 phr	5	3.66	4.19	4.38	3.05	
PLA/ENR50	0	8.57	9.92	9.64	8.07	
PLA/ENR50/TiO <sub>2</sub> = 5 phr	0	5.73	6.17	7.68	5.42	
PLA/ENR50/TiO <sub>2</sub> = 10 phr	0	12.63	12.02	12.84	11.37	
PLA/ENR50/TiO <sub>2</sub> = 15 phr	0	10.64	12.34	13.26	11.77	



รูปที่ 3.24 การเปลี่ยนแปลงน้ำหนักในการดูดซับน้ำของพิล์มจากพอลิเมอร์สมาระห์ว่าง PLA/ENR25 และ PLA/ENR50 ที่ปริมาณการเติมไทดานียมที่แตกต่างกัน ก่อนฝังดิน ที่อุณหภูมิ 58 °C



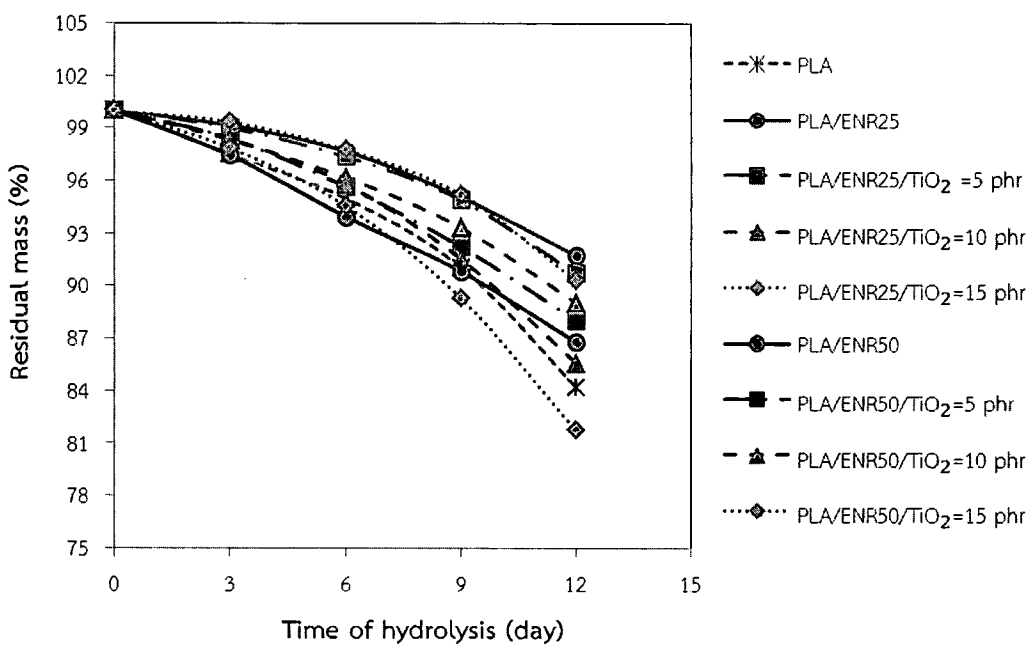
รูปที่ 3.25 การเปลี่ยนแปลงน้ำหนักในการดูดซับน้ำของพิล์มจากพอลิเมอร์สมาระห์ว่าง PLA/ENR ที่ปริมาณการเติมไทดานียมที่แตกต่างกัน หลังฝังดิน 2 เดือน ที่อุณหภูมิ 58 °C



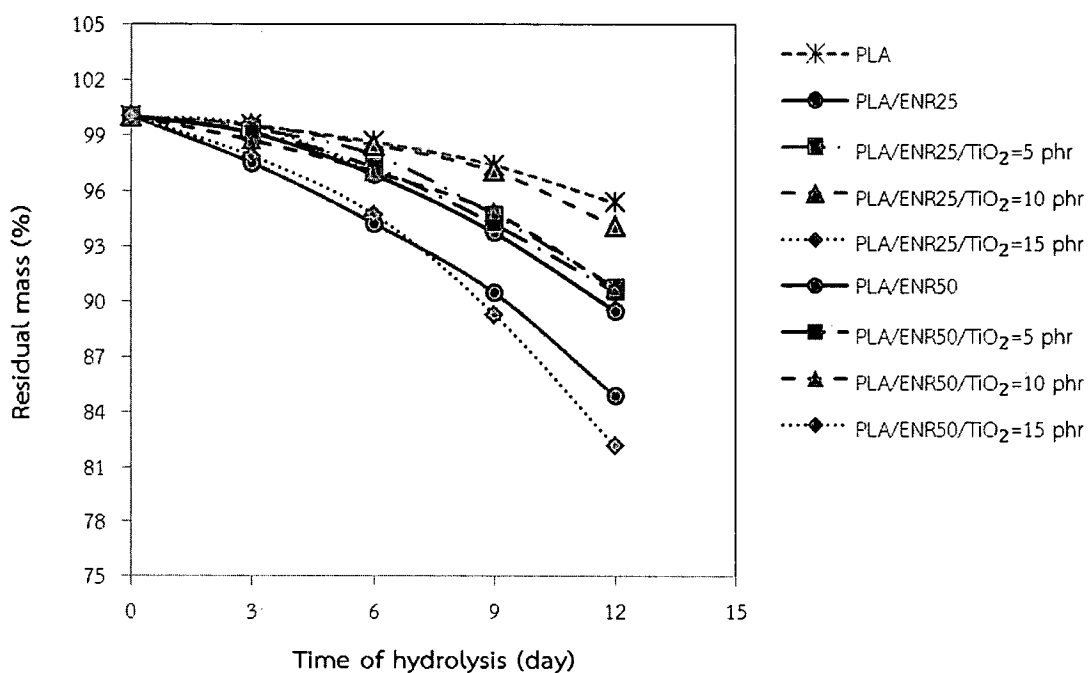
รูปที่ 3.26 การเปลี่ยนแปลงน้ำหนักในการดูดซับน้ำของพิล์มจากพอลิเมอร์ผสมระหว่าง PLA/ENR ที่ปริมาณการเติมไทดานียมที่แตกต่างกัน หลังผ่าน 5 เดือน ที่อุณหภูมิ 58 °C

### 3.5 การย่อยสลายผ่านกระบวนการไฮโดรไลซิส (Hydrolysis)

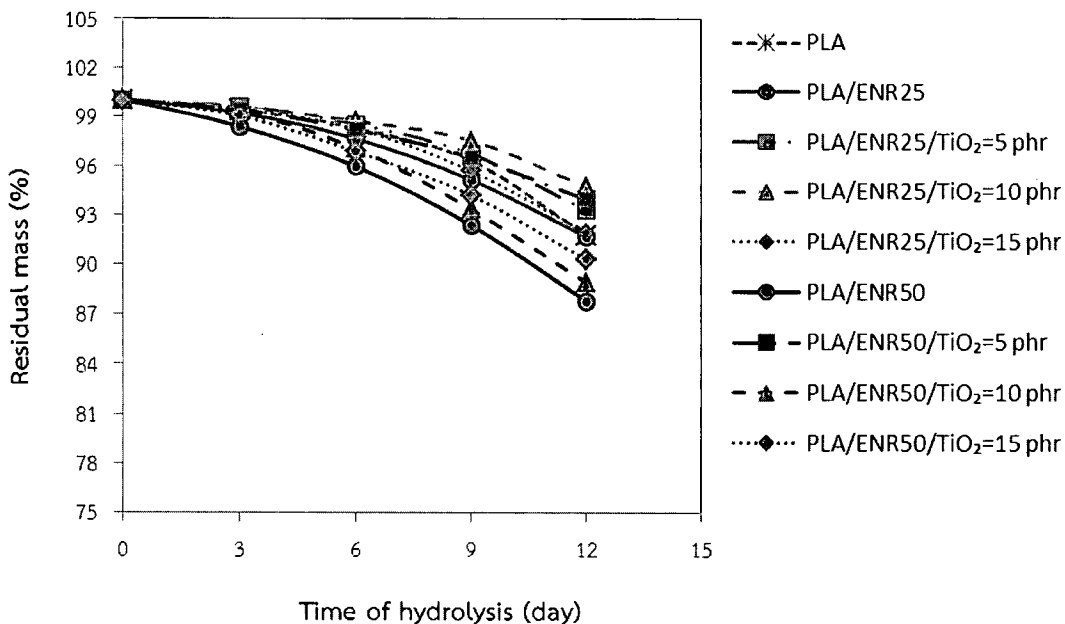
การเปลี่ยนแปลงน้ำหนักโมเลกุลของตัวอย่างที่เกิดจากการย่อยสลายผ่านกระบวนการไฮโดรไลซิส ในช่วงระยะเวลาการทดลองที่ก่อนและหลังผ่าน 5 วัน แสดงในรูปที่ 3.27 - 3.31 พบว่า น้ำหนักโมเลกุลดลงตามระยะเวลาของการย่อยสลายผ่านกระบวนการไฮโดรไลซิส ที่เวลา 9 วันตัวอย่างสูตรที่เติม  $TiO_2 = 10$  และ  $15$  phr ขึ้นตัวอย่างเริ่มเกิดความเปราะ ขาดเล็กน้อย และที่เวลา 12 วัน จะมีน้ำหนักลดลงมากที่สุดเมื่อทำการทดสอบจนถึงเวลา 15 วัน พบร่วมกันทุกสัดส่วนเกิดการแตกขาดเป็นชิ้นเล็กๆ ไม่สามารถดูดซับน้ำหนักที่หายไปได้ นั้นแสดงว่าพอลิเมอร์ผสมระหว่างพอลิแลคติกแอซิดและยางธรรมชาติอิพอกไซด์ 25 และ 50 % โดยโมล ที่อัตราส่วน 90/10 ที่ปริมาณการเติมไทดานียมที่แตกต่างกันจะเกิดการย่อยสลายได้ดีที่อุณหภูมิ 58 องศาเซลเซียส และพบว่าที่การเติม  $TiO_2 = 15$  phr ลงในพอลิเมอร์ผสมระหว่าง PLA/ENR25 ก่อนผ่าน 5 วัน มีน้ำหนักที่เหลืออยู่ = 90.31 % และหลังผ่าน 5 วัน = 89.48 % หลังผ่าน 5 เดือน = 91.94 % และพอลิเมอร์ผสม PLA/ENR50 มีน้ำหนักที่เหลืออยู่ก่อนผ่าน 5 วัน = 81.71 % และหลังผ่าน 5 เดือน = 82.11 % หลังผ่าน 5 เดือน = 90.28 % อาจเป็นผลจากขั้นตัวอย่างเกิดการย่อยสลายที่สมบูรณ์แล้วในระหว่างที่ทำการผ่าน 5 วัน ทำให้การย่อยสลายผ่านกระบวนการไฮโดรไลซิสมีน้ำหนักที่หายไปเกิดได้มากกว่าที่ก่อนผ่าน 5 วัน



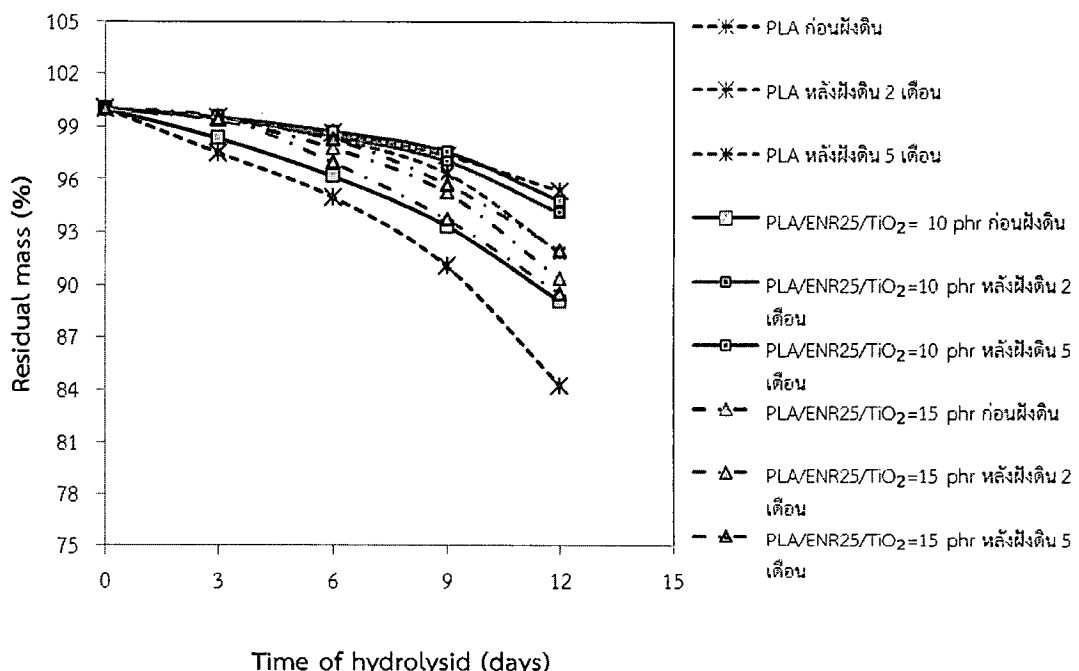
รูปที่ 3.27 น้ำหนักที่เหลือจากการไฮโดรไลซ์ของ PLA และพอลิเมอร์สมรรถห่วง PLA/ENR ที่ปริมาณการเติมไทดานายมที่แตกต่างกันขึ้นตัวอย่างก่อนผ่านดินที่ 58 °C ในน้ำ Deionized



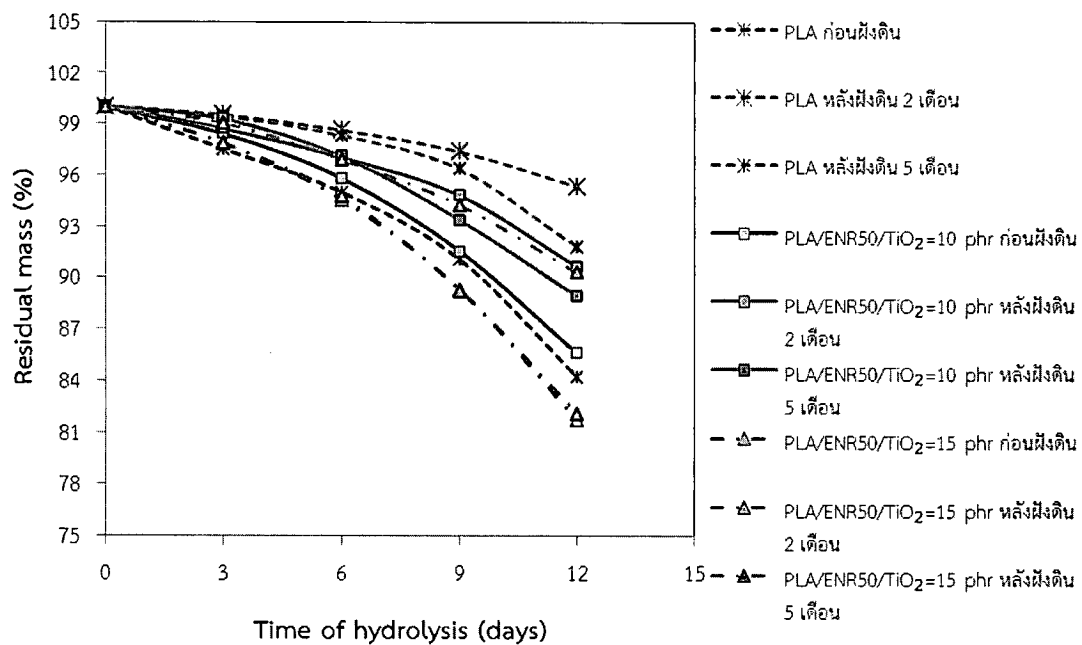
รูปที่ 3.28 น้ำหนักที่เหลือจากการไฮโดรไลซ์ของ PLA และพอลิเมอร์สมรรถห่วง PLA/ENR ที่ปริมาณการเติมไทดานายมที่แตกต่างกันหลังผ่าน 2 เดือน ที่ 58 °C ในน้ำ Deionized



รูปที่ 3.29 น้ำหนักที่เหลือจากการไฮโดรไลซ์ของ PLA และพอลิเมอร์สมาระห์ว่าง PLA/ENR ที่ปริมาณการเติมไทดานียมที่แตกต่างกันหลังผ่าน 5 เดือน ที่ 58 °C ในน้ำ Deionized



รูปที่ 3.30 เปรียบเทียบน้ำหนักที่เหลือของเวลาในการไฮโดรไลซ์ของ PLA และพอลิเมอร์สมาระห์ว่าง PLA/ENR25 ที่ปริมาณการเติมไทดานียมที่แตกต่างกันที่ 58 °C ในน้ำ Deionized



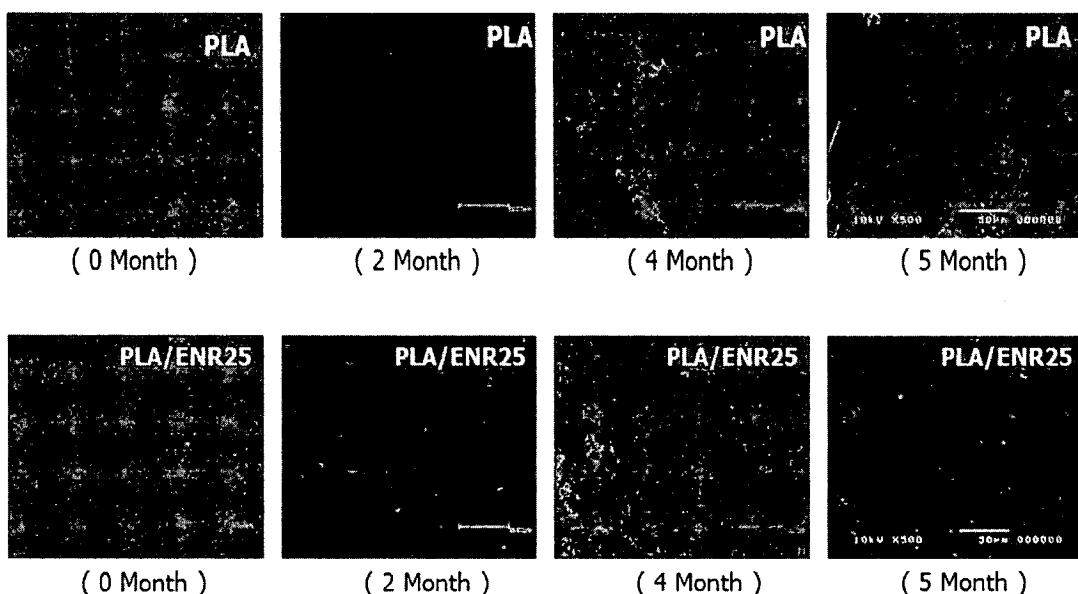
รูปที่ 3.31 เปรียบเทียบน้ำหนักที่เหลือของเวลาในการไฮโดรไลซิสของ PLA และพอลิเมอร์สมาระห่วง PLA/ENR50 ที่ปริมาณการเติมไทดานียมที่แตกต่างกันที่ 58 °C ในน้ำ Deionized

ตารางที่ 3.13 ผลของน้ำหนักที่เหลือของเวลาในการไฮโดรไลซีสของ PLA และพอลิเมอร์สมรรถว่าง PLA/ENR50 ที่ปริมาณการเติมไทดานาเนียมที่แตกต่างกันก่อนและหลังผ่านดินที่ 58 °C ในน้ำ Deionized

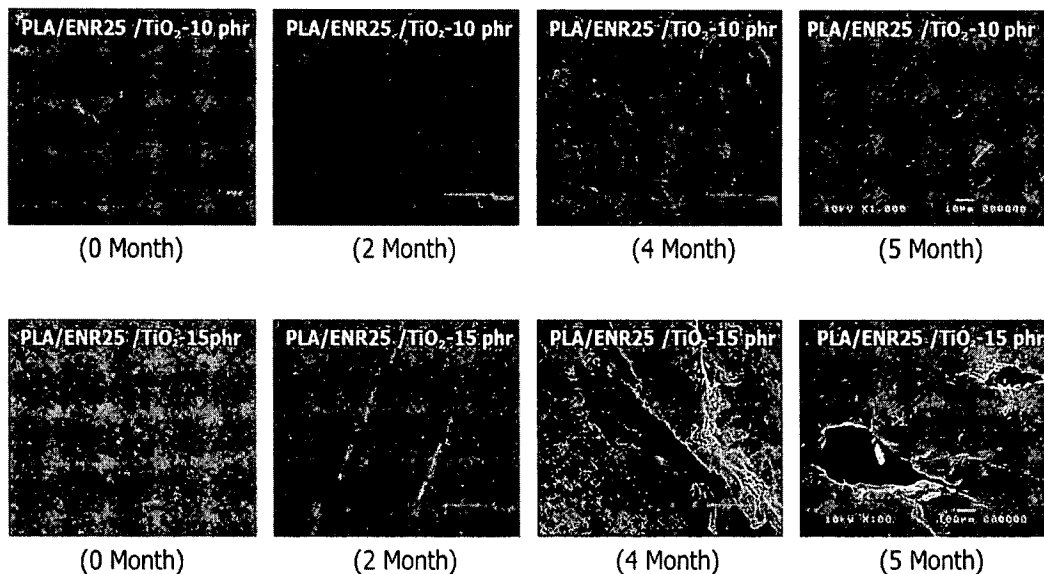
samples	ระยะเวลาในการผัง ดิน (เดือน)	ระยะเวลาในการ hydrolysis ในน้ำ (วัน)				
		0	3	6	9	12
neat PLA		100	97.49	94.97	91.04	84.22
PLA/ENR25		100	99.15	97.66	95.05	91.75
PLA/ENR25/TiO <sub>2</sub> = 5 phr		100	99.01	97.36	94.88	90.72
PLA/ENR25/TiO <sub>2</sub> = 10 phr		100	98.31	96.15	93.32	89.04
PLA/ENR25/TiO <sub>2</sub> = 15 phr	0	100	99.35	97.76	95.21	90.31
PLA/ENR50		100	97.43	93.92	90.83	86.79
PLA/ENR50/TiO <sub>2</sub> = 5 phr		100	98.39	95.63	92.24	88.02
PLA/ENR50/TiO <sub>2</sub> = 10 phr		100	98.39	95.78	91.53	85.58
PLA/ENR50/TiO <sub>2</sub> = 15 phr		100	97.84	94.52	89.28	81.71
neat PLA		100	99.49	98.61	97.35	95.32
PLA/ENR25		100	97.47	94.22	90.43	84.83
PLA/ENR25/TiO <sub>2</sub> = 5 phr		100	99.30	97.91	94.68	90.74
PLA/ENR25/TiO <sub>2</sub> = 10 phr		100	99.48	98.45	97.03	94.05
PLA/ENR25/TiO <sub>2</sub> = 15 phr	2	100	99.51	96.93	93.70	89.48
PLA/ENR50		100	99.07	96.85	93.69	89.43
PLA/ENR50/TiO <sub>2</sub> = 5 phr		100	99.12	97.24	94.17	90.49
PLA/ENR50/TiO <sub>2</sub> = 10 phr		100	98.69	96.99	94.79	90.64
PLA/ENR50/TiO <sub>2</sub> = 15 phr		100	97.84	94.70	89.25	82.11
neat PLA		100	99.43	98.29	96.32	91.77
PLA/ENR25		100	99.22	97.65	95.15	91.70
PLA/ENR25/TiO <sub>2</sub> = 5 phr		100	99.59	98.55	96.73	93.30
PLA/ENR25/TiO <sub>2</sub> = 10 phr		100	99.53	98.72	97.55	94.75
PLA/ENR25/TiO <sub>2</sub> = 15 phr	5	100	99.41	98.26	95.69	91.94
PLA/ENR50		100	98.38	95.97	92.38	87.79
PLA/ENR50/TiO <sub>2</sub> = 5 phr		100	99.39	98.19	96.53	93.96
PLA/ENR50/TiO <sub>2</sub> = 10 phr		100	99.27	97.06	93.36	88.91
PLA/ENR50/TiO <sub>2</sub> = 15 phr		100	99.02	96.87	94.22	90.28

**3.6 ลักษณะสัณฐานวิทยาของฟิล์มจากพอลิเมอร์สมรรถว่างพอลิแลคติกแอซิดและยางธรรมชาติ อิพอกไซด์ที่เติมไทดานียมไดออกไซด์ก่อนและหลังการฝังดิน**

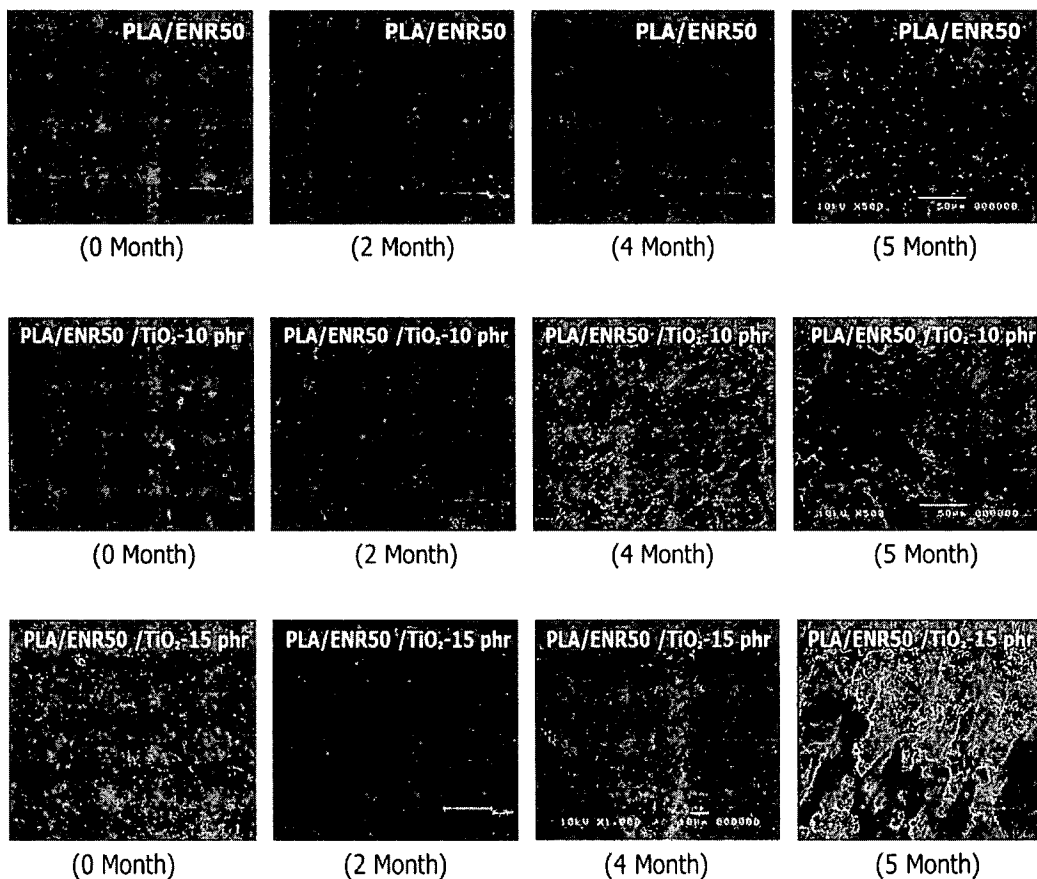
การศึกษาลักษณะสัณฐานวิทยาของพอลิเมอร์สมรรถว่างพอลิแลคติกแอซิดและยางธรรมชาติอิพอกไซด์ที่เติมไทดานียมไดออกไซด์เป็นสารตัวเติมโดยทำการศึกษาชนิดของยางธรรมชาติอิพอกไซด์ที่ 25 และ 50% โดยไม่ลดและปริมาณของไทดานียมไดออกไซด์ที่ 5-15 phr ด้วยกล้องจุลทรรศน์อิเล็กตรอนแบบส่องราชของพื้นผิวของพอลิเมอร์สมรรถว่างโดยการนำตัวอย่างก่อนและหลังการฝังดิน ผลจากการศึกษาพบว่า PLA/ENR25 มีความเป็นรูพรุนและเกิดขั้นหลุดลอกบริเวณพื้นผิวได้มากกว่า PLA/ENR50 ทั้งนี้อาจเป็นผลมาจากการที่ PLA/ENR25 เข้ากันได้ไม่ดีและมีบางส่วนเกิดการแยกเฟสเมื่อผลทำให้เกิดการย่อยสลายได้ง่าย [17] ในขณะที่ PLA/ENR50 เข้ากันได้ดีกว่า มีผลทำให้ความสามารถในการย่อยสลายช้ากว่า การเติมยาง ENR25 และ ENR50 ที่เติมไทดานียมไดออกไซด์ที่ 15 phr จะเกิดรูและขั้นหลุดลอกที่พื้นผิวของแผ่นฟิล์ม PLA/ENR25/TiO<sub>2</sub> = 15 phr และ PLA/ENR50/TiO<sub>2</sub> = 15 phr ได้มากกว่าที่ 4 เดือน และ 5 เดือน ทั้งนี้อาจเป็นผลจากไทดานียมได-ออกไซด์ที่มีขนาดอนุภาคเล็ก จะช่วยเพิ่มพื้นที่ผิวมากขึ้นทำให้อัตราการดูดซับเพิ่มสูงขึ้นส่งผลให้อัตราการย่อยสลายสูงขึ้นหากเติมในปริมาณที่มากขึ้น [41]



(ก) ฟิล์มของ PLA และ PLA/ENR25 ที่ฝังดินระยะเวลา 2-5 เดือน



(ข) ฟิล์มของ PLA/ENR25 ที่เติม TiO<sub>2</sub> ปริมาณ 10 และ 15 phr ที่ผ่านดินระยะเวลา 2-5 เดือน



(ค) ฟิล์มของ PLA/ENR50 ที่เติม TiO<sub>2</sub> ปริมาณ 10 และ 15 phr ที่ผ่านดินระยะเวลา 2-5 เดือน

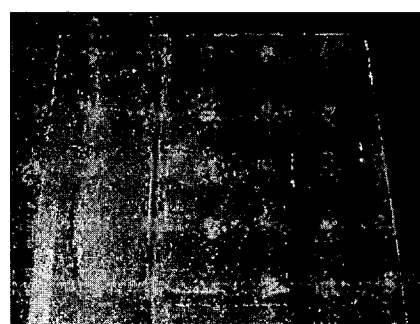
**รูปที่ 3.32** ภาพลักษณะทางสัณฐานวิทยาจาก SEM ของฟิล์ม PLA/ENR25 และ PLA/ENR50 ที่ปริมาณการเพิ่ม TiO<sub>2</sub>=10 และ 15 phr ที่ระยะเวลาการผั่งดิน 2-5 เดือน

### 3.7 การทนต่อรังสีอุลตราไวโอเลตด้วย QUV ตามมาตรฐาน ASTM G 154

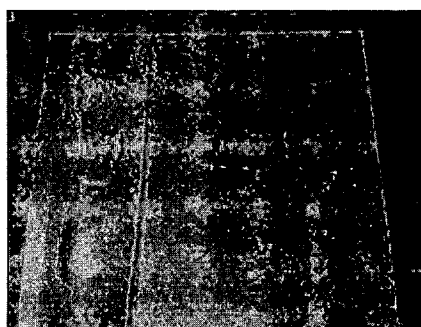
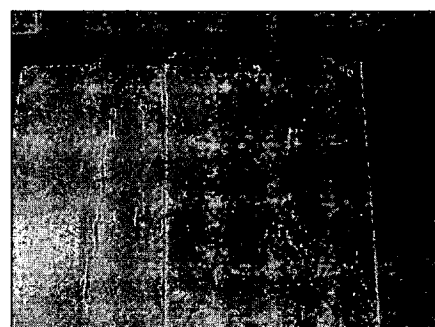
การทนต่อรังสีอุลตราไวโอเลตด้วย QUV ของแผ่นฟิล์มไบโอลาสติกอิเล็กทรอนิกส์ที่ปรับปรุงโดยการเติมยางธรรมชาติอิพอกไซด์ที่ 25 และ 50% โดยโนล และใช้ไฟทาเนียมไดออกไซด์เป็นสารตัวเติมที่ 5-15 phr โดยใช้ UVB-313 ที่อุณหภูมิ 60 องศาเซลเซียส เป็นเวลา 8 ชั่วโมง และควบคู่กันไปที่อุณหภูมิ 50 องศาเซลเซียส เป็นเวลา 4 ชั่วโมง [5] ผลการศึกษาพบว่าพอลิเมอร์สมาระห่วง PLA/ENR50 จะเกิดการเสื่อมสภาพมากกว่าฟิล์มที่ไม่ได้ผสมยาง ENR50 เนื่องจากในสายโซ่ไม่เลกูลของยาง ENR50 มีพันธะคู่ ซึ่งจะช่วยไวต่อการเกิดปฏิกิริยาจึงทำให้ฟิล์มที่มีการเติมยาง ENR50 เข้าไปจะมีการเสื่อมสภาพได้มากกว่า PLA และปริมาณที่แตกต่างกันของ  $TiO_2$  จะสังเกตได้ว่าผลการเสื่อมสภาพของฟิล์มไม่แตกต่างกันมากนัก จากฟิล์มดังกล่าวจะเห็นได้ว่าการเติมไฟทาเนียมไดออกไซด์ไม่สามารถปรับปรุงการทนต่อรังสียูวีได้นีองจากพอลิแลคติกแอซิต เมื่อได้รับความร้อน 2 ครั้ง ในขณะที่มีการขึ้นรูปฟิล์มส่งผลให้เกิดการเสื่อมสภาพแม้ว่าจะมีการเติมยางธรรมชาติอิพอกไซด์ และส่งผลให้สมบัติเชิงกลด้อยลงและเมื่อได้รับความร้อนและรังสียูวีเพิ่มขึ้นจึงส่งผลให้แผ่นฟิล์มแตกเป็นผงได้ง่าย แสดงดังรูปที่ 3.33



PLA



PLA-ENR50

PLA-ENR50/ $TiO_2$ = 5 phrPLA-ENR50/ $TiO_2$ = 10 phr

รูปที่ 3.33 ผลของปริมาณไฟทาเนียมไดออกไซด์ต่อความทนทานต่อสภาวะแวดล้อมของฟิล์มจากพอลิเมอร์สมาระห่วงพอลิแลคติกแอซิตและยางธรรมชาติอิพอกไซด์ที่เติมไฟทาเนียมไดออกไซด์

### 3.8 สมบัติเชิงกลของพิล์ม PLA/ENR ที่เติมไไทเทเนียมไดออกไซด์หลังผึ้งดิน

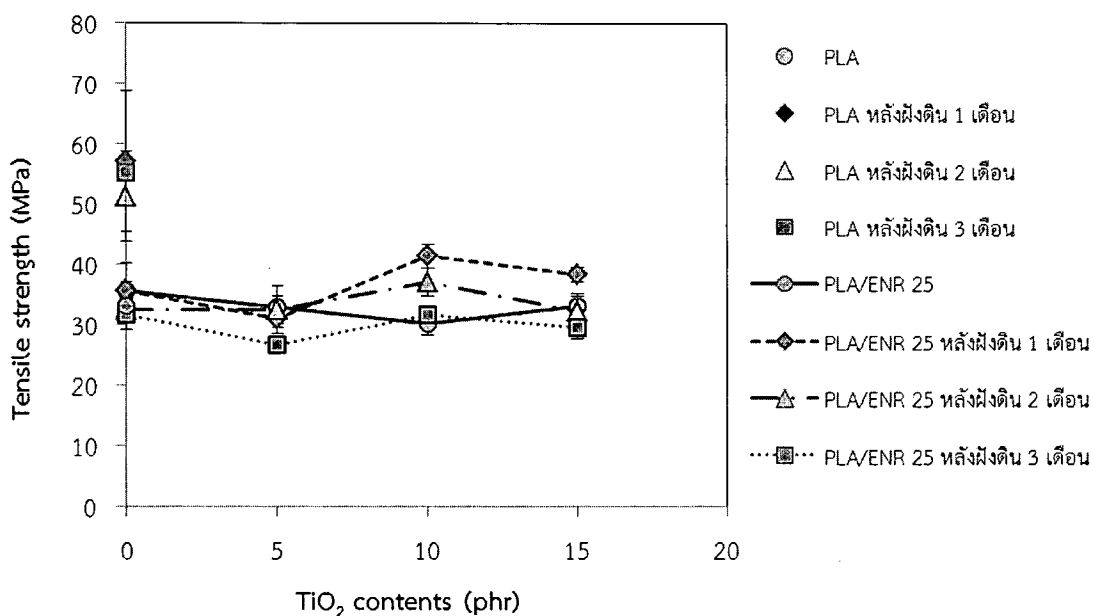
การศึกษาสมบัติเชิงกลของแผ่นพิล์มที่ปรับปรุงโดยการเติมยางธรรมชาติอิพอกไซด์ และใช้ไไทเทเนียมไดออกไซด์เป็นสารตัวเติมโดยทำการศึกษานิดของยางธรรมชาติอิพอกไซด์ที่ 25 และ 50% โดยโมล และ ปริมาณของไไทเทเนียมไดออกไซด์ที่ 0-15 phr ต่อสมบัติความทนทานต่อแรงดึง (Tensile strength) เปอร์เซ็นต์การยืดตัว ณ จุดขาด (Elongation at break) และ 10% โมดูลัส (Modulus) ตามมาตรฐาน ASTM D 882 ก่อนและหลังผึ้งดิน ทำโดยการตัดตัวอย่างขนาด  $1.5 \times 15$  เซนติเมตรฟังในดินที่ความลึก 10 เซนติเมตร ที่ระยะเวลา 1, 2 และ 3 เดือน การทดสอบจะใช้ Speed: up = 12.5 mm/min และ Gauge Length: 25.4 มิลลิเมตร ผลการทดสอบแสดงในตารางที่ 3.14 พบว่าการเติมยางธรรมชาติอิพอกไซด์ที่ 50% โดยโมล มีผลให้ค่าความทนทานต่อแรงดึง ระยะยืด ณ จุดขาด และ 10% โมดูลัส มีค่าสูงกว่าการเติมยางธรรมชาติอิพอกไซด์ที่ 25% โดยโมลเพราการเติมยางธรรมชาติอิพอกไซด์ที่ 50% โดยโมล มีความเข้ากันได้ กับพอลิแลคติกแอชิดได้ดีกว่ายางธรรมชาติอิพอกไซด์ที่ 25% โดยโมล ปริมาณอิพอกไซด์เพิ่มขึ้น ความเป็นขี้ว จึงมีมากขึ้นส่งผลให้เกิดอันตรกิริยะระหว่างสายโซ่โมเลกุล [11] และพบว่าสูตรที่มีการเติมยางธรรมชาติ อิพอกไซด์ที่ 50% โดยโมล ตัวอย่างก่อนผึ้งดินจะมีความทนทานต่อแรงดึง, ระยะยืด ณ จุดขาด และ 10% โมดูลัส เพ่ากับ  $39.16 \text{ MPa}$ ,  $37.80\%$  และ  $28.67 \text{ MPa}$  ตามลำดับ แต่ความทนทานต่อแรงดึง, ระยะยืด ณ จุดขาดและ 10% โมดูลัสหลังผึ้งดินมีแนวโน้มลดลง หลังผึ้งดิน 1 เดือน เพ่ากับ  $38.51 \text{ MPa}$ ,  $13\%$  และ  $16.13 \text{ MPa}$  ตามลำดับ หลังผึ้งดิน 2 เดือน เพ่ากับ  $32.71 \text{ MPa}$ ,  $14.63\%$  และ  $29.58 \text{ MPa}$  ตามลำดับ และ หลังผึ้งดิน 3 เดือน  $31.99 \text{ MPa}$ ,  $10.38\%$  และ  $28.85 \text{ MPa}$  ตามลำดับ ทั้งนี้อาจเป็นผลจากการย่อยสลาย ของแผ่นพิล์มซึ่งสอดคล้องกับสมบัติการย่อยสลายทางชีวภาพ

อย่างไรก็ตามการเติมยางธรรมชาติอิพอกไซด์ที่ 50% โดยโมลเข้าไปจะส่งผลให้ระยะยืด ณ จุด ขาดสูงกว่าพอลิแลคติกแอชิดที่ไม่เติมยางธรรมชาติอิพอกไซด์ ทั้งนี้อาจเป็นผลมาจากการอนุภาคยางกระจายเข้า ไปในเฟสของพอลิแลคติกแอชิดและเกิดการเชื่อมโยงของสายโซ่โมเลกุลและเกิดการเชื่อมโยงระหว่างสายโซ่ โมเลกุลได้สูงขึ้นเนื่องจากมี Epoxy groups ที่มากกว่าสามารถเกิดพันธะไฮโดรเจนกับ Carbonyl groups ของ PLA ได้ดีกว่า [35]

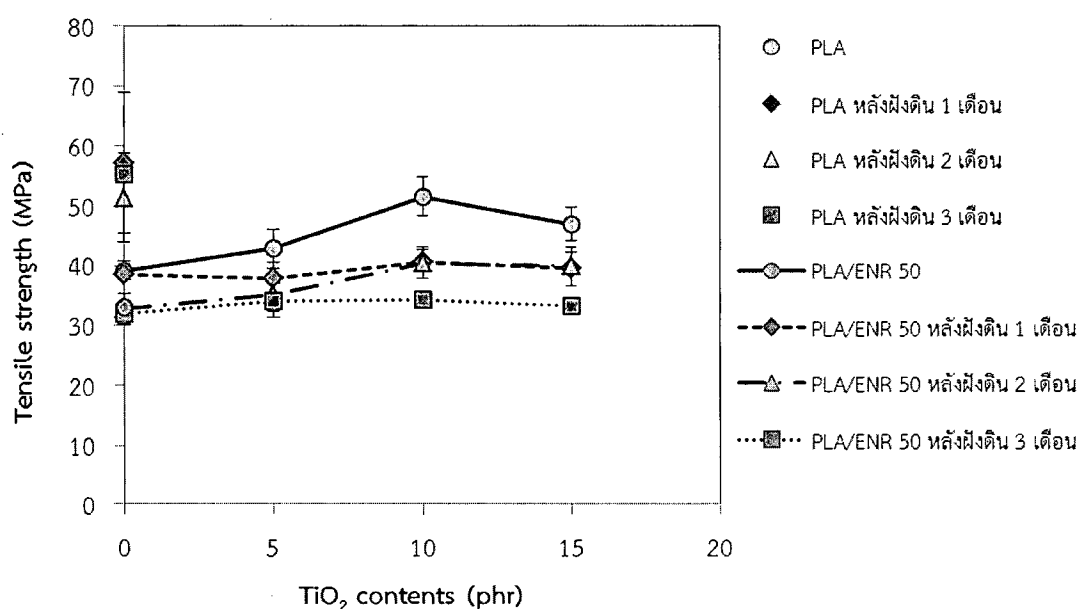
ผลของการเติมไไทเทเนียมไดออกไซด์ลงในพอลิเมอร์สมรรถนะว่างพอลิแลคติกแอชิดและยาง ธรรมชาติอิพอกไซด์ที่อัตราส่วน 90/10 พบร่วมกับการเติมไไทเทเนียมไดออกไซด์ในพอลิเมอร์สมรรถนะว่างพอลิแล คติกแอชิดและยางธรรมชาติอิพอกไซด์ที่ 25% โดยโมล ส่งผลให้ความทนทานต่อแรงดึง ระยะยืด ณ จุดขาด และ 10% โมดูลัส มีค่าไม่แตกต่างกันแต่การเติมไไทเทเนียมไดออกไซด์ลงในพอลิแลคติกแอชิดและยาง ธรรมชาติอิพอกไซด์ที่ 50% โดยโมล มีแนวโน้มเพิ่มขึ้นและมีค่ามากที่สุดที่ปริมาณ 10 phr ความทนทานต่อ แรงดึง ระยะยืด ณ จุดขาด และ 10% โมดูลัสก่อนผึ้งดินเพ่ากับ  $51.56 \text{ MPa}$ ,  $63.4\%$  และ  $39.56 \text{ MPa}$  ตามลำดับ ความทนทานต่อแรงดึง ระยะยืด ณ จุดขาดและ 10% โมดูลัสหลังผึ้งดินมีแนวโน้มลดลงเช่นเดียวกัน หลังผึ้งดิน 1 เดือน เพ่ากับ  $40.4 \text{ MPa}$ ,  $45\%$  และ  $32.22 \text{ MPa}$  หลังผึ้งดิน 2 เดือน เพ่ากับ  $40.39 \text{ MPa}$ ,  $41.88\%$  และ  $30.73 \text{ MPa}$  ตามลำดับ และหลังผึ้งดิน 3 เดือน  $34.23 \text{ MPa}$ ,  $27.88\%$  และ  $22.76 \text{ MPa}$  ตามลำดับแต่เมื่อเติมในปริมาณที่เพิ่มมากขึ้นถึง 15 phr ส่งผลให้สมบัติความทนทานต่อแรงดึง ระยะยืด ณ จุดขาด และ 10% โมดูลัสมีแนวโน้มลดลง เนื่องจากอนุภาคไไทเทเนียมไดออกไซด์จะเกิดการรวมตัวกันส่งผล ทำให้เกิดการยับยั้งอันตรกิริยาการเข้ากันได้ทำให้สมบัติเชิงกลลดลง

ตารางที่ 3.14 ผลของสมบัติเชิงกลของพิล์ม PLA/ENR ที่เติมไทเทเนียมไดออกไซด์ก่อนและหลังผึ้งดิน

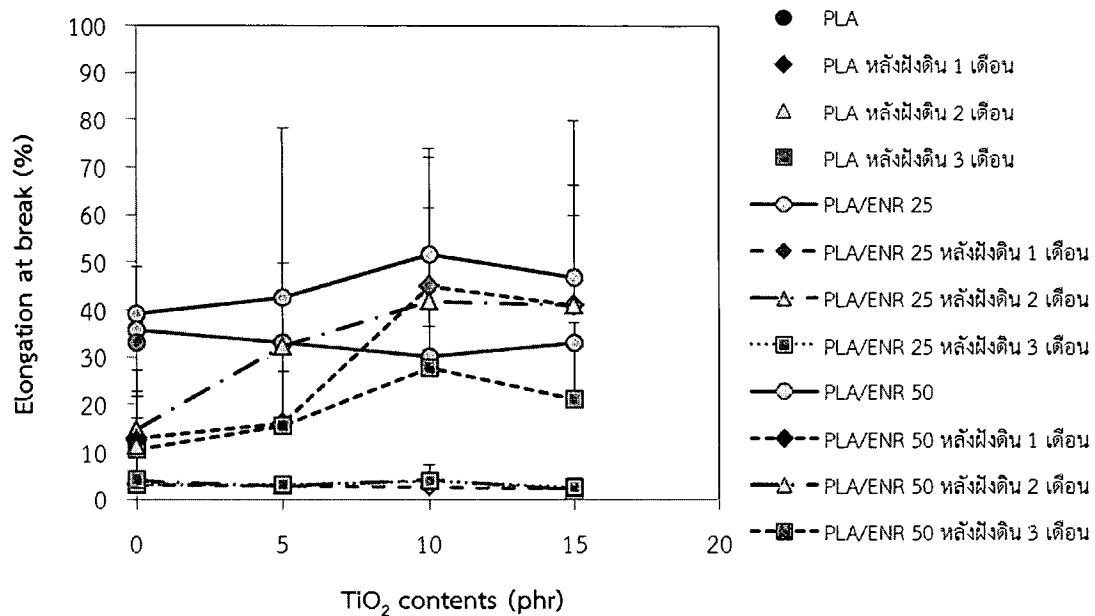
samples	ระยะเวลาในการผึ้งดิน (เดือน)	Tensile strength (MPa)	Elongation at break (%)	10% Modulus (MPa)
neat PLA		33.06± 2.00	3.00± 1.63	-
PLA/ENR25		35.72± 1.29	3.20± 1.55	-
PLA/ENR25/ TiO <sub>2</sub> = 5 phr		33.04 ± 3.38	3.60 ± 0.84	-
PLA/ENR25/ TiO <sub>2</sub> = 10 phr		30.16 ± 1.90	9.20 ± 6.48	-
PLA/ENR25/ TiO <sub>2</sub> = 15 phr	0	33.09± 2.17	2.14± 0.36	-
PLA/ENR50		39.16 ± 1.64	37.80 ± 15.61	28.67 ± 1.38
PLA/ENR50/ TiO <sub>2</sub> = 5 phr		42.76± 3.30	55.40± 48.28	30.22± 11.70
PLA/ENR50/ TiO <sub>2</sub> = 10 phr		51.56± 3.18	63.40± 41.87	39.56± 2.91
PLA/ENR50/ TiO <sub>2</sub> = 15 phr		46.94± 2.87	53.00± 25.93	35.14± 2.61
neat PLA		57.18 ± 7.45	12.29± 5.4	43.4± 0.98
PLA/ENR25		35.59± 4.62	3.13± 0.83	-
PLA/ENR25/ TiO <sub>2</sub> = 5 phr		31.05± 2.39	2.88 ± 0.99	-
PLA/ENR25/ TiO <sub>2</sub> = 10 phr	1	41.41± 1.91	2.63 ± 1.41	-
PLA/ENR25/ TiO <sub>2</sub> = 15 phr		38.44± 1.25	2.25± 0.89	-
PLA/ENR50		38.51 ± 2.26	13 ± 8.53	30.46± 0
PLA/ENR50/ TiO <sub>2</sub> = 5 phr		37.88± 2.76	16.13± 10.92	30.3± 1.13
PLA/ENR50/ TiO <sub>2</sub> = 10 phr		40.4± 2.02	45± 27.25	32.22±1.59
PLA/ENR50/ TiO <sub>2</sub> = 15 phr		39.55± 2.67	41± 25.22	30.52± 2.5
neat PLA		51.29± 11.71	11.25± 5.99	-
PLA/ENR25		32.55±2.27	3.88± 2.59	-
PLA/ENR25/ TiO <sub>2</sub> = 5 phr		32.36± 3.18	2.75 ± 1.49	-
PLA/ENR25/ TiO <sub>2</sub> = 10 phr		37.16 ± 2.26	4.13 ± 3.48	-
PLA/ENR25/ TiO <sub>2</sub> = 15 phr	2	32.3 ± 2.45	2 ± 0.93	-
PLA/ENR50		32.71 ± 2.68	14.63 ± 12.59	29.58 ± 0.99
PLA/ENR50/ TiO <sub>2</sub> = 5 phr		35.15± 2.79	32.38± 45.74	30.05± 0.73
PLA/ENR50/ TiO <sub>2</sub> = 10 phr		40.39± 2.64	41.88± 31.98	30.73 ± 3.01
PLA/ENR50/ TiO <sub>2</sub> = 15 phr		39.85 ± 3.24	41.13 ± 38.74	33.27 ± 3.05
neat PLA		55.23± 5.84	4.12± 2.35	-
PLA/ENR25		31.71±2.51	3.13± 1.46	-
PLA/ENR25/ TiO <sub>2</sub> = 5 phr		26.71 ± 1.12	3.14 ± 2.79	-
PLA/ENR25/ TiO <sub>2</sub> = 10 phr		31.6 ± 1.59	3.86 ± 1.86	-
PLA/ENR25/ TiO <sub>2</sub> = 15 phr	3	29.55 ± 1.93	2.5 ± 0.93	-
PLA/ENR50		31.99 ± 1.79	10.38 ± 6.24	28.85 ± 7.28
PLA/ENR50/ TiO <sub>2</sub> = 5 phr		34.08± 2.81	15.63± 8.84	33.67± 2.31
PLA/ENR50/ TiO <sub>2</sub> = 10 phr		34.23± 0.83	27.88± 15.01	32.76 ± 16.62
PLA/ENR50/ TiO <sub>2</sub> = 15 phr		33.21 ± 0.83	21.13 ± 14.15	17.88 ± 17.02



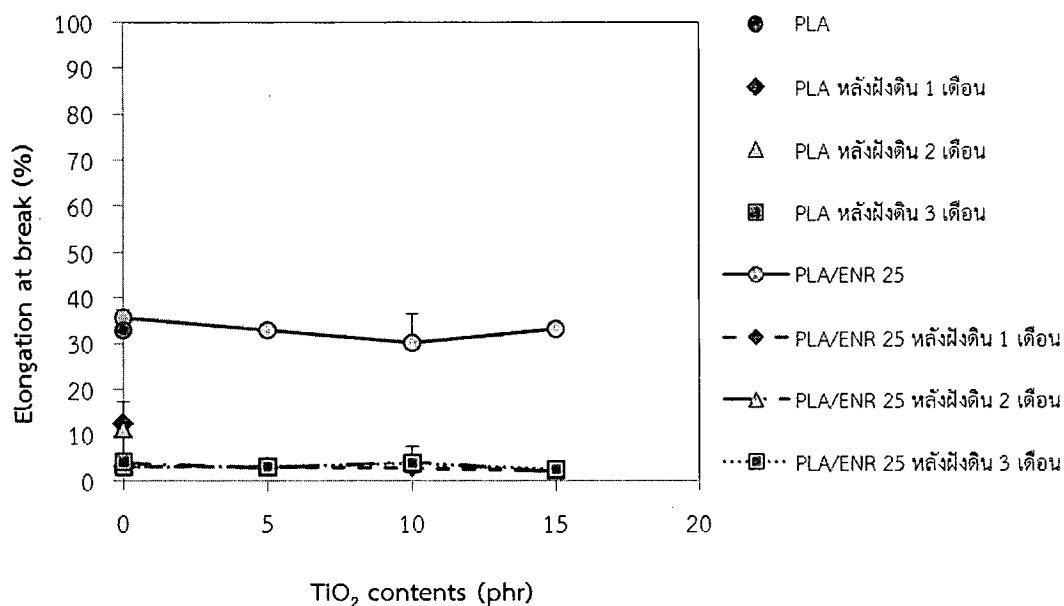
รูปที่ 3.34 ผลของปริมาณไทด์เนียมไดออกไซเด็ตต่อสมบัติความทนทานต่อแรงดึงของ PLA และพอลิเมอร์ผสมระหว่าง PLA/ENR25 ที่อัตราส่วน 90/10



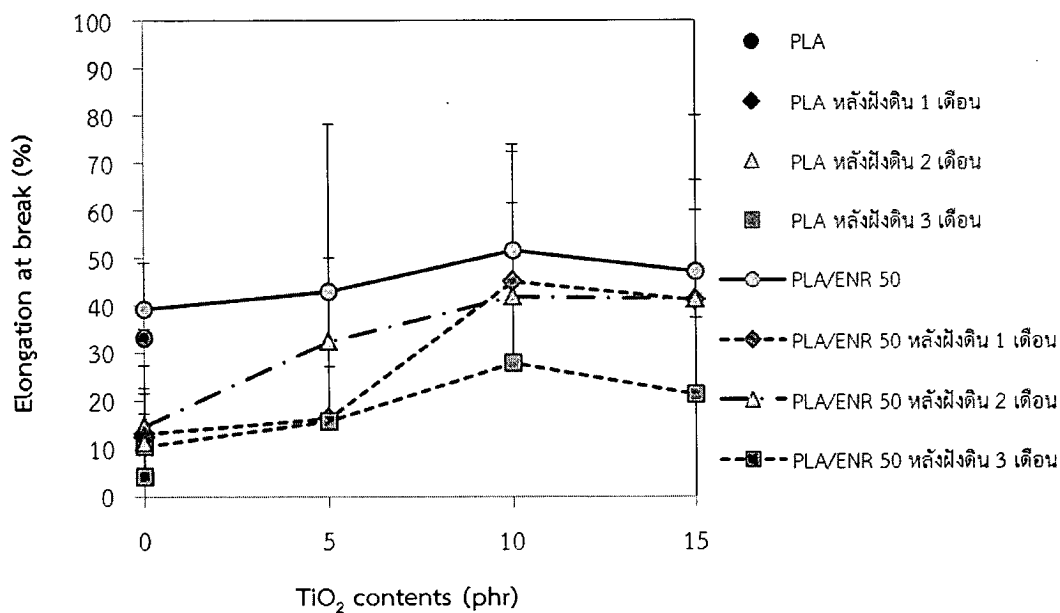
รูปที่ 3.35 ผลของปริมาณไทด์เนียมไดออกไซเด็ตต่อสมบัติความทนทานต่อแรงดึงของ PLA และพอลิเมอร์ผสมระหว่าง PLA/ENR25 ที่อัตราส่วน 90/10



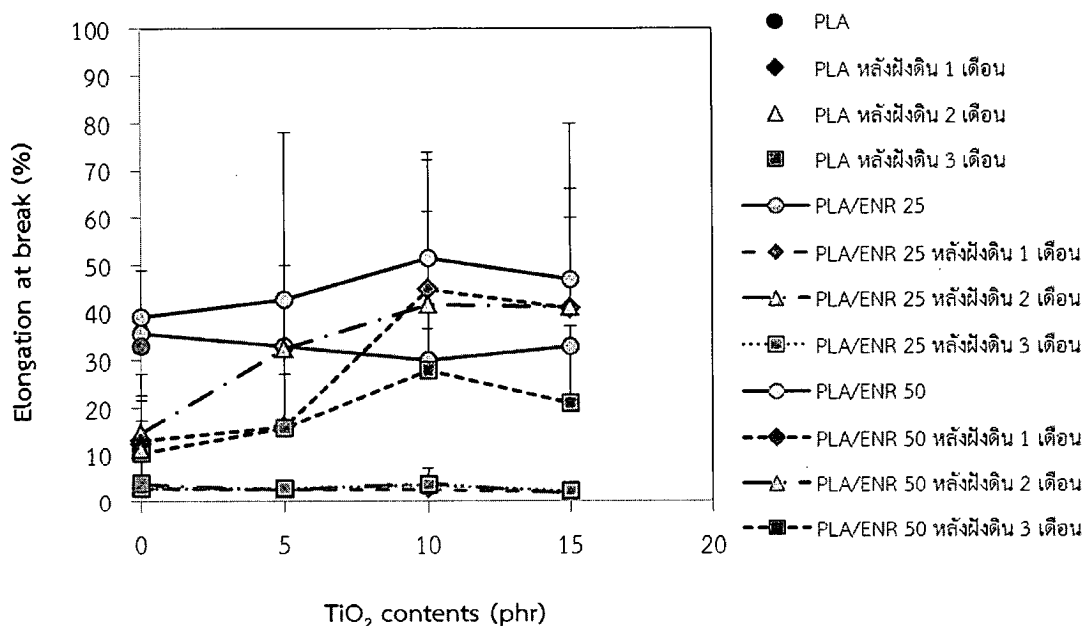
รูปที่ 3.36 เปรียบเทียบผลของปริมาณไทดานียมไดออกไซด์ต่อสมบัติความทนทานต่อแรงดึงของ PLA และ พอลิเมอร์ผสมระหว่าง PLA/ENR25 และ PLA/ENR50 ที่อัตราส่วน 90/10



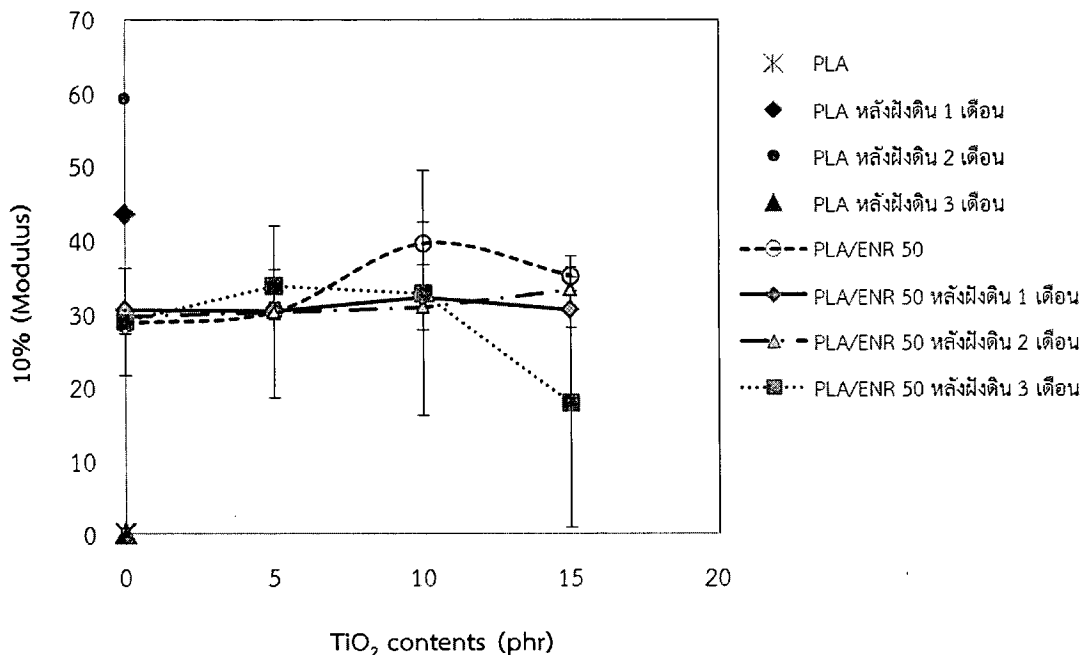
รูปที่ 3.37 ผลของปริมาณไทดานียมไดออกไซด์ต่อระยะยืด ณ จุดขาด ของพอลิเมอร์ผสมระหว่าง PLA/ENR25 ที่อัตราส่วน 90/10



รูปที่ 3.38 ผลของปริมาณไทดานีเยม์ไดออกไซด์ต่อระยะยืด ณ จุดขาด ของพอลิเมอร์สมรรถห่วง PLA/ENR50 ที่อัตราส่วน 90/10



รูปที่ 3.39 เปรียบเทียบผลของปริมาณไทดานีเยม์ไดออกไซด์ต่อระยะยืด ณ จุดขาด ของพอลิเมอร์สมรรถห่วง PLA/ENR25 และ PLA/ENR50 ที่อัตราส่วน 90/10

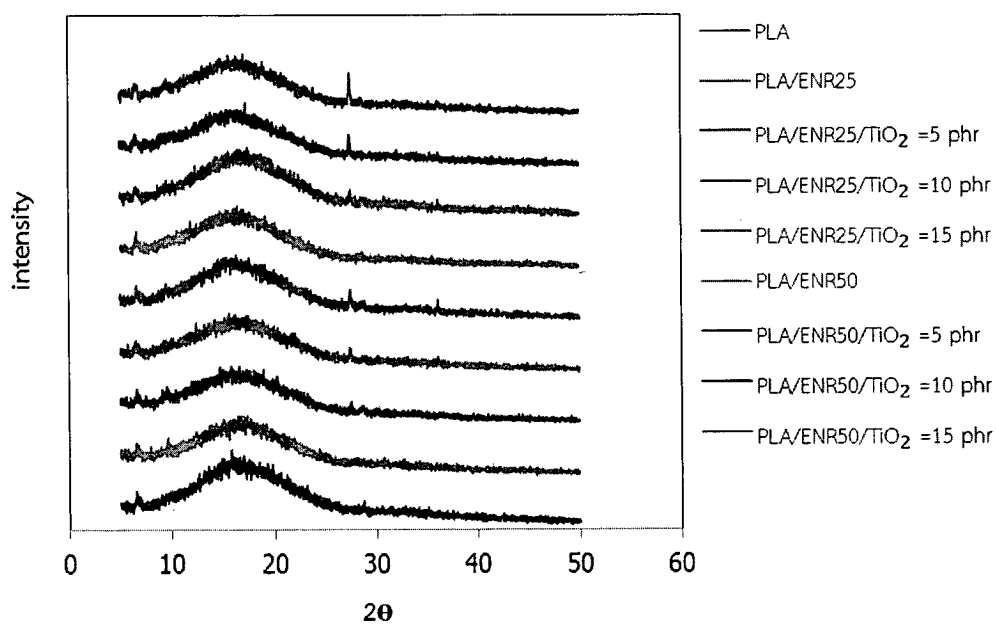


รูปที่ 3.40 ผลของปริมาณไททาเนียมไดออกไซด์ต่อ 10% โมดูลัส ของพอลิเมอร์สมาระห่วง PLA/ENR50 ที่อัตราส่วน 90/10

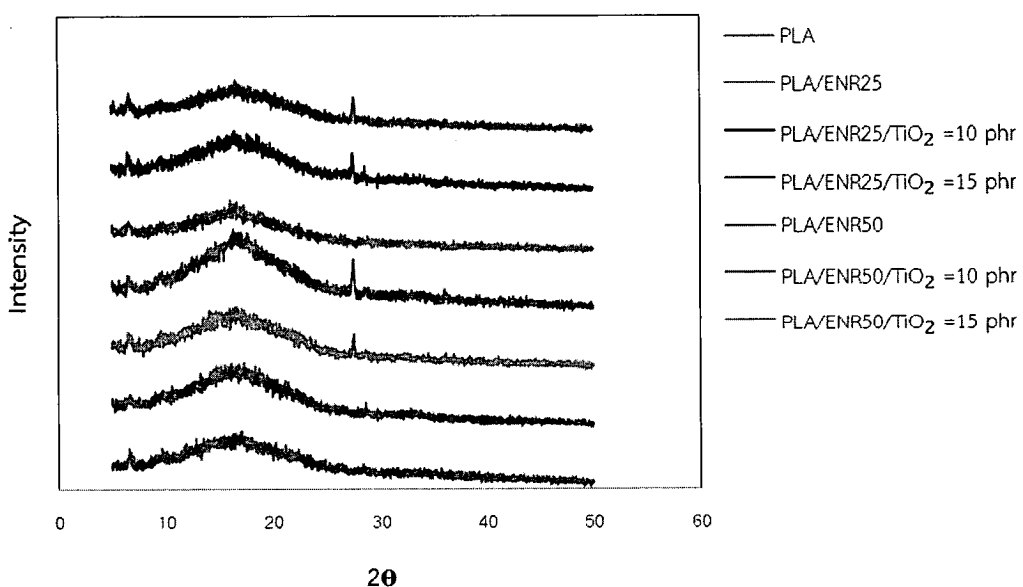
### 3.9 การทดสอบโครงสร้างพลีกของฟิล์มหลังผังดิน

#### 3.9.1 เครื่องเอกซเรย์ดิฟเฟรเกตومิเตอร์ (X-ray Diffractometer, XRD)

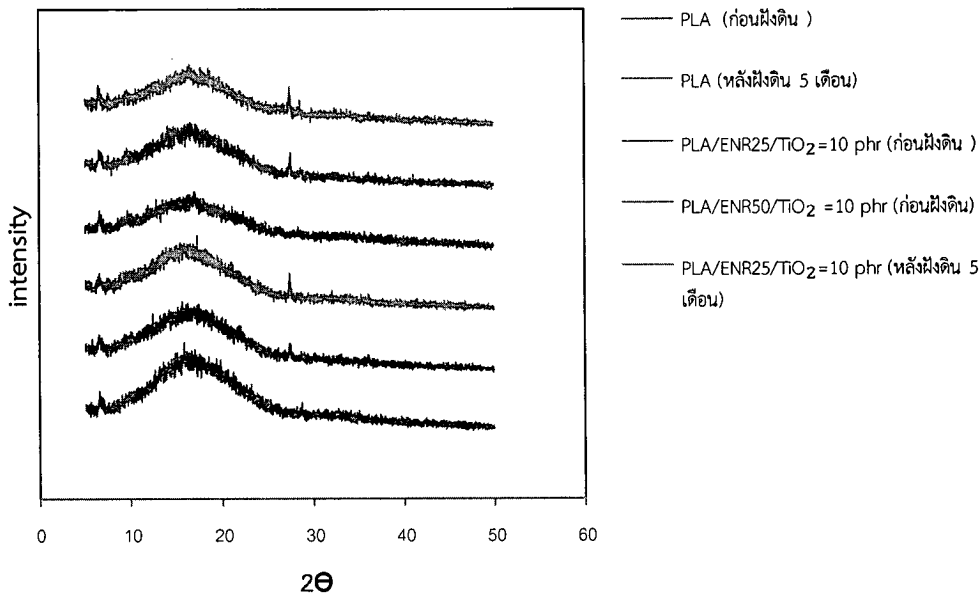
แสดงผล XRD pattern ของฟิล์มจากพอลิเมอร์สมาระห่วง PLA/ENR50 (90/10) แปรปริมาณไททาเนียมไดออกไซด์ที่ 0-15 phr ก่อนและหลังผังดิน ในรูปที่ 3.40 - 3.41 พบว่าฟิล์มที่ได้มีลักษณะโครงสร้างโดยส่วนใหญ่เป็นแบบอสัณฐานและมีส่วนที่เป็นผลึกเกิดขึ้นเพียงเล็กน้อยและมีแนวโน้มลดลงเมื่อปริมาณ TiO<sub>2</sub> มากขึ้น การลดลงของผลึกอาจเกิดอันตรกิริยะระหว่างสายโซ่ของ PLA และยาง ENR ซึ่งจะทำให้การจัดเรียงตัวของสายโซ่ของ PLA เป็นไปได้ยากขึ้นทำให้ความเป็นผลึกในพอลิเมอร์ลดลง อย่างไรก็ตามเมื่อปริมาณ TiO<sub>2</sub> มากขึ้นจะเพิ่มการเกิดอันตรกิริยะให้มากขึ้นจึงทำให้การจัดเรียงตัวของสายโซ่ PLA เป็นไปได้ยากขึ้นจึงทำให้ปริมาณผลึกมีแนวโน้มเพิ่มขึ้นเมื่อปริมาณ TiO<sub>2</sub> มากขึ้น [42] รูปที่ 3.42 แสดงผล XRD pattern ของพอลิเมอร์สมาระห่วงพอลิแลคติกแอชิดและยางธรรมชาติอิพอกไซด์ 25 และ 50 % โดยโมล ที่อัตราส่วน 90/10 ปริมาณไททาเนียมไดออกไซด์ที่ 10 phr ก่อนและหลังผังดินที่ 5 เดือน ก่อนผังดินพอลิเมอร์จะมีปริมาณผลึกเพียงเล็กน้อย แต่หลังผังดินที่ 5 เดือน จะมีปริมาณผลึกมากขึ้น พบพีคที่  $2\Theta = 28^\circ$  อาจเป็นผลมาจากการสร้างผลึกของ Poly (L-lactide) หรือโพลี (d-lactide) กำลังก่อตัวขึ้น [40]



รูปที่ 3.41 XRD pattern ของพอลิเมอร์สมรรถห่วงพอลิแลคติกแอชิดและยางธรรมชาติอิพอกไซด์ที่ อัตราส่วน 90/10 ที่ปรับปรุงใหม่เท่านี้เนียมได้ออกไซด์ที่ 0-15 phr ก่อนผั้งดิน



รูปที่ 3.42 XRD pattern ของพอลิเมอร์สมรรถห่วงพอลิแลคติกแอชิดและยางธรรมชาติอิพอกไซด์ที่ อัตราส่วน 90/10 ที่ปรับปรุงใหม่เท่านี้เนียมได้ออกไซด์ที่ 0-15 phr หลังผั้งดิน 5 เดือน



รูปที่ 3.43 XRD pattern ของพอลิเมอร์สมรรถห่วงพอลิแลคติกแอลซิดและยางธรรมชาติอิพอกไซด์ที่ อัตราส่วน 90/10 ที่ปริมาณไททาเนียมไดออกไซด์ที่ 10 phr ก่อนและหลังผึ้งดินที่ 5 เดือน

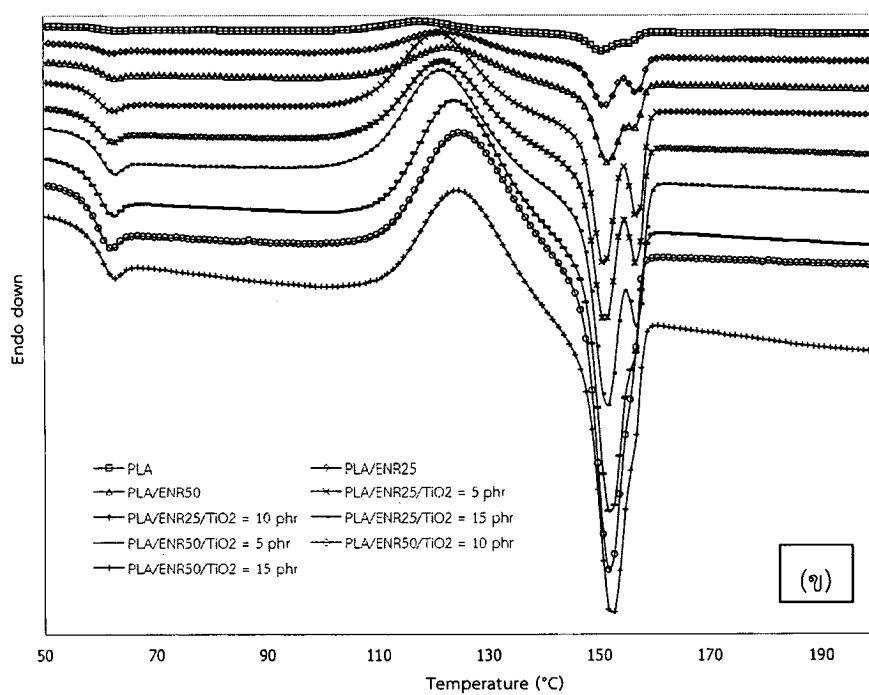
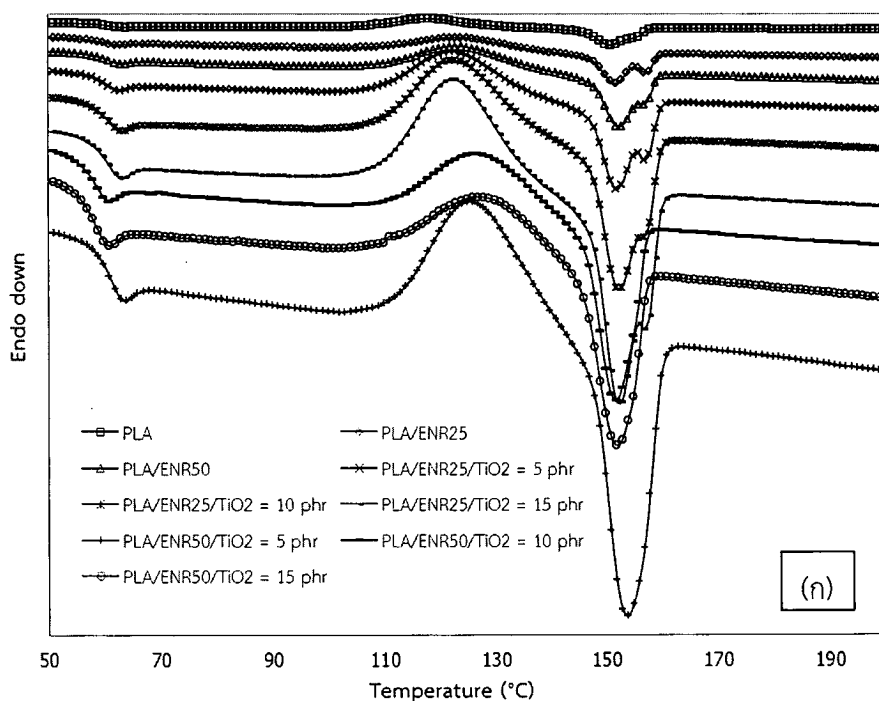
### 3.10 ผลการทดสอบสมบัติทางความร้อน

#### 3.10.1 ผลการทดสอบด้วยเทคนิคดิฟเฟอร์เรนเชียลแคลลอริเมทรี (Differential Scanning Calorimetry, DSC)

ผลการทดสอบสมบัติทางความร้อนด้วยเทคนิค DSC ของพอลิเมอร์สมรรถห่วง PLA/ENR ที่มี ปริมาณอิพอกไซด์ 25 และ 50 % โดยโน้มที่ปรับปรุงโดยการเติมยางธรรมชาติอิพอกไซด์ และใช้ 'ไททาเนียมไดออกไซด์เป็นสารตัวเติมโดยทำการศึกษาชนิดของยางธรรมชาติอิพอกไซด์ที่ 25 และ 50% โดยโน้ม และ ปริมาณของไททาเนียมไดออกไซด์ที่ 0-15 phr ซึ่งทำการทดสอบโดยใช้อุณหภูมิ -60-200 องศาเซลเซียส แสดงดังตารางที่ 3.15 และเทอร์โมแกรม DSC พบว่าการเติมยางธรรมชาติอิพอกไซด์ที่มีปริมาณอิพอกไซด์ที่ 25 และ 50 % โดยโน้ม และไททาเนียมไดออกไซด์ทำให้ค่าอุณหภูมิการเปลี่ยนสถานะคล้ายแก้ว (glass transition temperature,  $T_g$ ) มีค่า  $T_g$  ประมาณ 59 องศาเซลเซียส ซึ่งให้เห็นว่าการเติมยางธรรมชาติ อิพอกไซด์มีผลต่อค่า  $T_g$  ของพอลิเมอร์สมบูรณ์  $TiO_2$  มากขึ้นจะเพิ่มการเกิดอันตรกิริยาให้มากขึ้นจึงทำให้ การจัดเรียงตัวของสายน้ำ PLA เป็นไปได้ยากขึ้นจึงทำให้ปริมาณผลึกมีแนวโน้มลดลงเมื่อปริมาณ  $TiO_2$  มากขึ้น เมื่อเวลาการย่อยสลายด้วยการผึ้งดินเพิ่มขึ้น ทำให้ค่า  $T_g$ ,  $T_c$ ,  $T_{m1}$  และ  $T_{m2}$  มีแนวโน้มลดลง แต่ปริมาณ Crystallinity มีแนวโน้มเพิ่มขึ้นเนื่องจากการเพิ่มขึ้นของ Crystallinity ของพอลิเมอร์สมบูรณ์จาก การเพิ่มขึ้นของความสามารถในการเคลื่อนที่ของ PLA โดยอุณหภูมิที่สูง และ Plasticizing effect ของน้ำ และ การเพิ่มขึ้นของผลึกจะเกี่ยวข้องกับการสูญเสียความเป็นอสัมฐานของ PLA เพราะการย่อยสลายจะเกิดขึ้นตรง บริเวณอสัมฐาน [29]

ตารางที่ 3.15 สมบัติทางความร้อนและปริมาณผลึกของฟิล์ม neat PLA, PLA/ENR25 และ PLA/ENR50 (90/10) ระยะเวลาในการฝังดิน 2 เดือน วิเคราะห์ในขั้น second heating scan ที่ heating rate  $10^{\circ}\text{C min}^{-1}$

samples	ระยะเวลาใน การฝังดิน (เดือน)	อุณหภูมิการสลายตัว (องศาเซลเซียส)				
		Tg (°C)	Tc (°C)	Tm <sub>1</sub> (°C)	Tm <sub>2</sub> (°C)	%Crystallinity
neat PLA		60.99	119.45	-	152.29	37.78
PLA/ENR25		59.07	123.80	151.34	152.27	30.62
PLA/ENR25/TiO <sub>2</sub> = 5 phr		59.84	122.46	151.77	157.31	30.78
PLA/ENR25/TiO <sub>2</sub> = 10 phr		58.91	121.80	151.27	156.98	28.60
PLA/ENR25/TiO <sub>2</sub> = 15 phr	0	59.38	121.63	151.41	157.13	28.48
PLA/ENR50		59.62	122.96	-	152.42	30.34
PLA/ENR50/TiO <sub>2</sub> = 5 phr		59.62	125.28	-	152.76	24.77
PLA/ENR50/TiO <sub>2</sub> = 10 phr		59.75	126.29	-	153.30	20.57
PLA/ENR50/TiO <sub>2</sub> = 15 phr		59.76	126.78	-	153.96	21.43
neat PLA		60.34	118.14	-	150.67	27.093
PLA/ENR25		59.42	123.43	151.61	157.48	30.07
PLA/ENR25/TiO <sub>2</sub> = 5 phr		59.38	122.30	151.98	157.51	30.31
PLA/ENR25/TiO <sub>2</sub> = 10 phr		59.74	122.64	152.34	157.70	28.62
PLA/ENR25/TiO <sub>2</sub> = 15 phr	2	59.76	152.29	122.47	157.66	26.61
PLA/ENR50		60.09	122.95	152.32	157.53	27.15
PLA/ENR50/TiO <sub>2</sub> = 5 phr		60.09	125.78	-	153.49	26.31
PLA/ENR50/TiO <sub>2</sub> = 10 phr		57.67	126.29	-	151.69	21.03
PLA/ENR50/TiO <sub>2</sub> = 15 phr		57.34	127.62	-	151.87	15.37
neat PLA		60.68	117.81	150.84	156.21	30.41
PLA/ENR25		59.27	122.14	151.32	157.35	31.88
PLA/ENR25/TiO <sub>2</sub> = 5 phr		59.53	121.16	151.32	157.35	31.12
PLA/ENR25/TiO <sub>2</sub> = 10 phr		59.08	121.81	151.34	157.37	30.09
PLA/ENR25/TiO <sub>2</sub> = 15 phr	5	59.52	121.48	151.50	157.37	29.58
PLA/ENR50		59.68	122.97	151.83	157.20	27.99
PLA/ENR50/TiO <sub>2</sub> = 5 phr		59.03	124.14	-	152.15	26.56
PLA/ENR50/TiO <sub>2</sub> = 10 phr		58.67	125.30	-	152.15	24.24
PLA/ENR50/TiO <sub>2</sub> = 15 phr		59.58	124.79	-	152.16	27.12



รูปที่ 3.44 เทอร์โมแกรม DSC ของฟิล์ม PLA/ENR25 (90/10) และ PLA/ENR25 (90/10) ที่เติม TiO<sub>2</sub> = 5-10 phr โดยการฝังดิน (ก) 2 เดือน และ (ข) 5 เดือน

3.10.2 ผลการทดสอบด้วยเทคนิคเทอร์โมกราฟิเมตทริกแอนนาไลซีส (Thermogravimetric analysis, TGA)

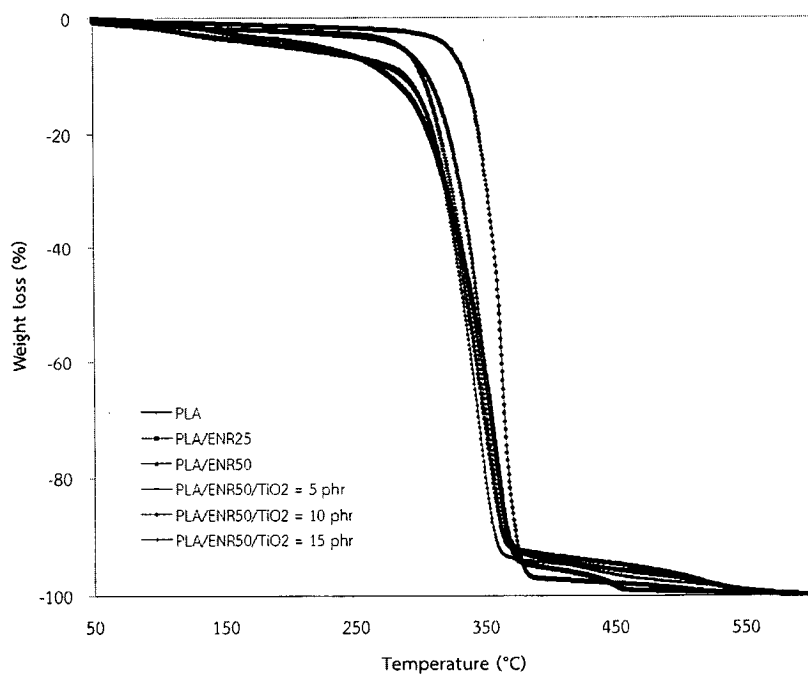
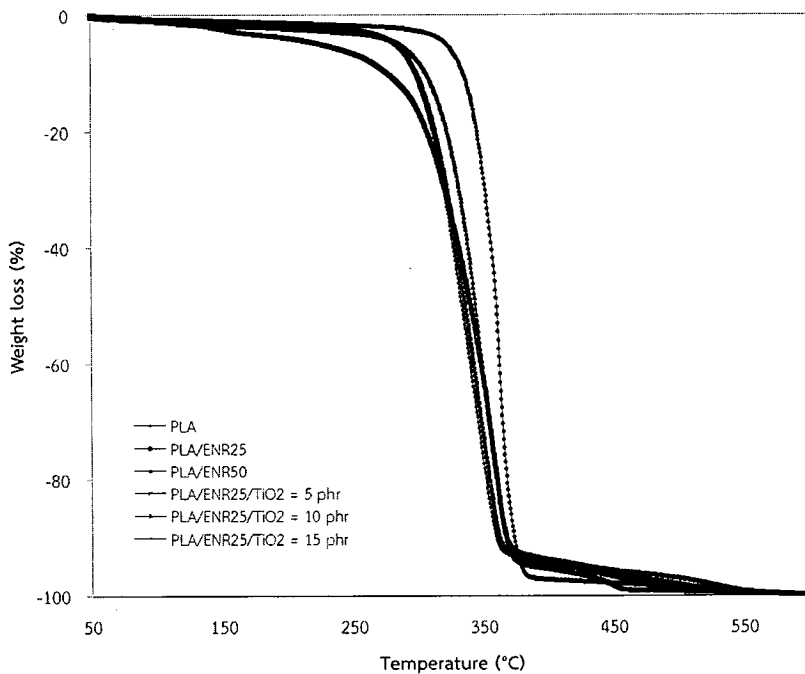
การศึกษาอุณหภูมิการสลายตัวทางความร้อนของแผ่นพิล์มที่ปรับปรุงโดยการเติมยางธรรมชาติอิพอกไซด์ และใช้ไททาเนียมไดออกไซด์เป็นสารตัวเติมโดยทำการศึกษาชนิดของยางธรรมชาติอิพอกไซด์ที่ 25 และ 50% โดยโมล และปริมาณของไททาเนียมไดออกไซด์ที่ 5-15 phr แสดงตั้งตารางที่ 3.16 พบว่าความเสถียรทางความร้อนลดลงเมื่อเติมยาง ENR25 และ 50 ลงใน PLA เนื่องจากยาง ENR มีอุณหภูมิการสลายตัวที่ต่ำกว่า PLA เนื่องจากยาง ENR จะมีพันธะคู่ที่มีอยู่ในโครงสร้างยางจะเป็นจุดที่ไม่ทนความร้อนและสามารถเสื่อมสภาพได้ง่ายอาจทำให้พอลิเมอร์ผสมไม่ทนต่อความร้อนเมื่อเวลาการย่อยสลายด้วยการฝังดิน 2 และ 5 เดือน เพิ่มขึ้น ทำให้อุณหภูมิการสลายตัวมีแนวโน้มลดลง

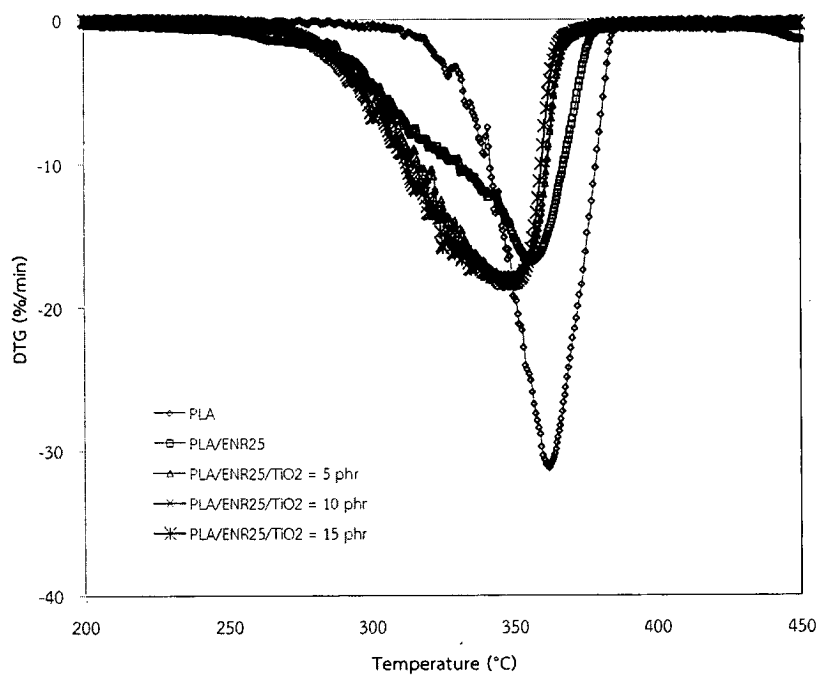
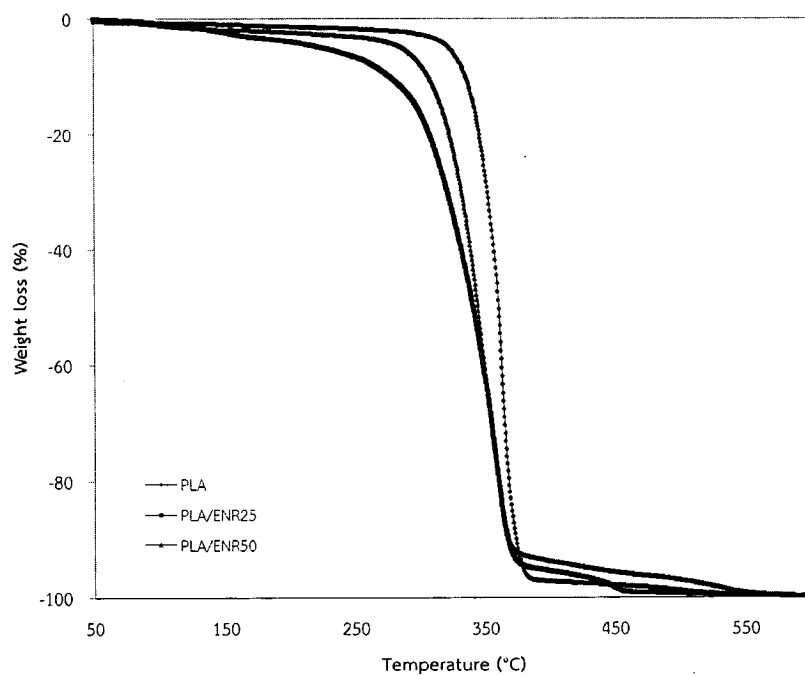
ตารางที่ 3.16 สมบัติทางความร้อนของพิล์ม PLA/ENR (90/10) ที่เติมไททาเนียมไดออกไซด์ที่แตกต่างกันระยะเวลาในการฝังดิน 0-5 เดือน

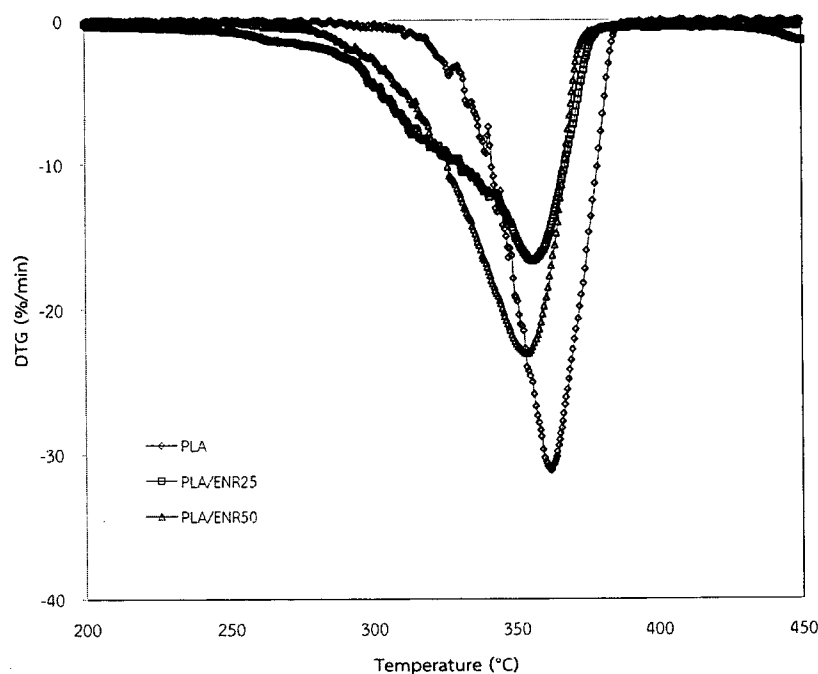
samples	ระยะเวลา การฝังดิน (เดือน)	อุณหภูมิการสลายตัว (องศาเซลเซียส)			
		T <sub>d5</sub>	T <sub>i</sub>	T <sub>dmax</sub>	T <sub>f</sub>
neat PLA		120.1	340.8	358.8	374.2
PLA/ENR25		180.1	316.4	350.9	366.7
PLA/ENR25/TiO <sub>2</sub> = 5 phr		241.0	308.5	351.6	364.4
PLA/ENR25/TiO <sub>2</sub> = 10 phr		234.9	305.0	351.6	363.4
PLA/ENR25/TiO <sub>2</sub> = 15 phr	0	272.6	306.3	344.8	358.5
PLA/ENR50		230.4	321.3	357.6	370.5
PLA/ENR50/TiO <sub>2</sub> = 5 phr		250.0	312.6	355.2	369.9
PLA/ENR50/TiO <sub>2</sub> = 10 phr		284.7	314.9	353.9	365.7
PLA/ENR50/TiO <sub>2</sub> = 15 phr		281.7	310.7	353.9	364.8
neat PLA		322.6	342.6	365.8	376.1
PLA/ENR25/TiO <sub>2</sub> = 5 phr		282.9	309.2	355.5	365.4
PLA/ENR25/TiO <sub>2</sub> = 10 phr		282.2	309.2	354.6	365.4
PLA/ENR25/TiO <sub>2</sub> = 15 phr		282.3	304.9	354.4	362.4
PLA/ENR50	2	285.5	321.0	355.4	367.5
PLA/ENR50/TiO <sub>2</sub> = 5 phr		287.4	311.7	350.9	367.9
PLA/ENR50/TiO <sub>2</sub> = 10 phr		189.16	309.8	353.6	365.3
PLA/ENR50/TiO <sub>2</sub> = 15 phr		282.6	308.2	352.2	359.5
neat PLA		312.1	333.5	347.7	373.7
PLA/ENR25/TiO <sub>2</sub> = 5 phr		284.9	307.2	335.7	361.4
PLA/ENR25/TiO <sub>2</sub> = 10 phr	5	277.5	303.5	335.9	355.0
PLA/ENR25/TiO <sub>2</sub> = 15 phr		281.1	304.3	331.2	353.1
PLA/ENR50		287.9	314.5	354.0	366.3

PLA/ENR50/TiO <sub>2</sub> = 5 phr	270.3	313.8	363.4	365.5
PLA/ENR50/TiO <sub>2</sub> = 10 phr	287.7	309.7	352.1	363.9
PLA/ENR50/TiO <sub>2</sub> = 15 phr	282.4	302.3	345.1	359.5

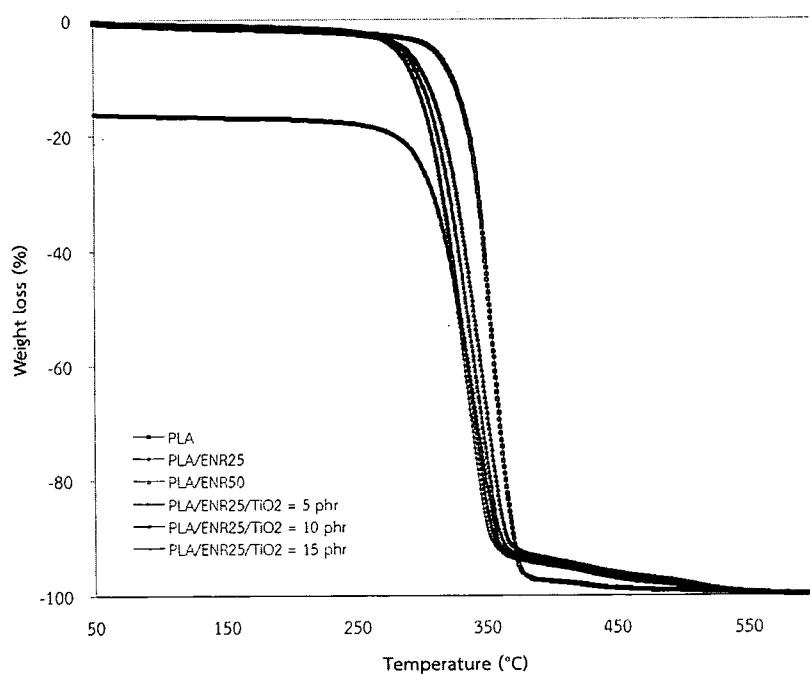
หมายเหตุ  $T_d_5$  = 5% weight loss temperature (°C)  
 Ti = initial decomposition temperature (°C)  
 $T_{d\max}$  = maximum temperature (°C)  
 $T_f$  = final temperature (°C)

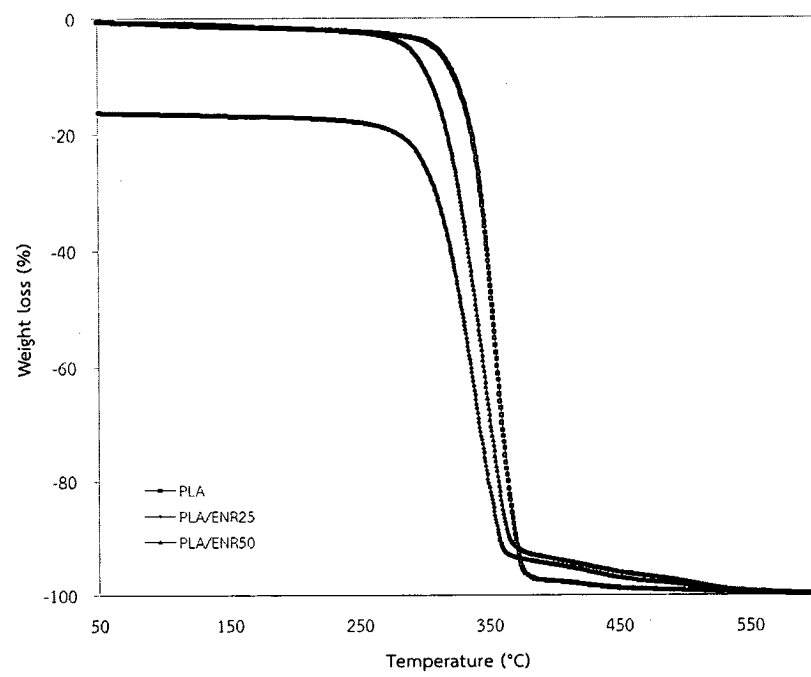
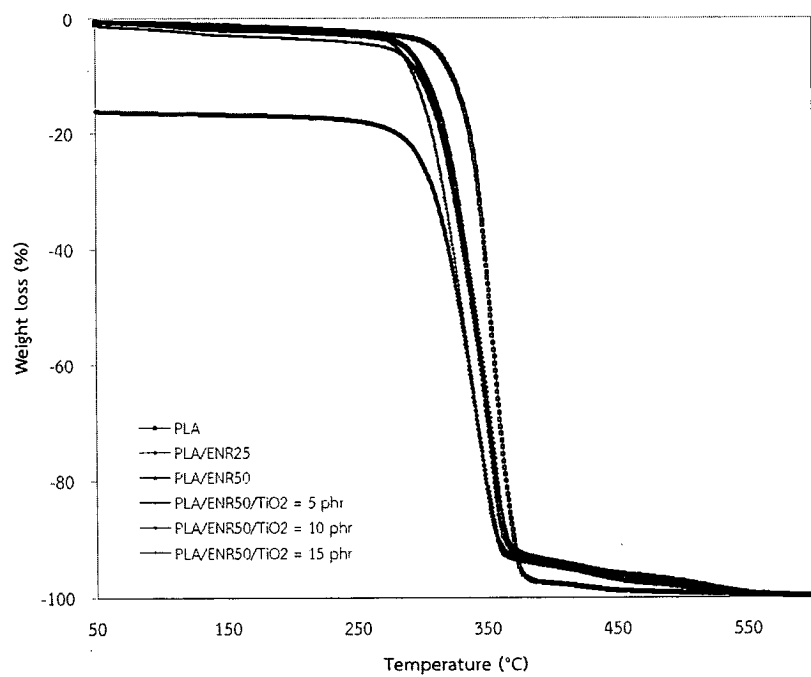


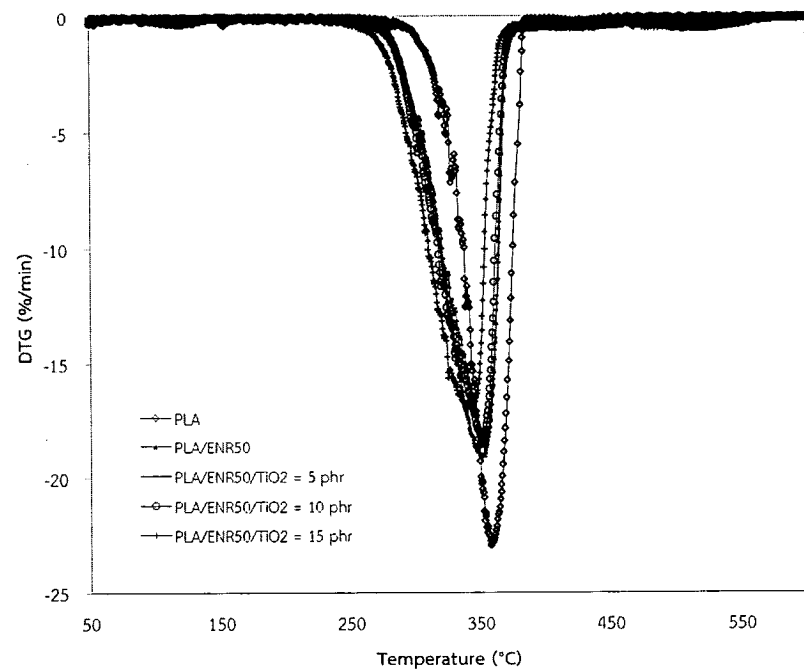
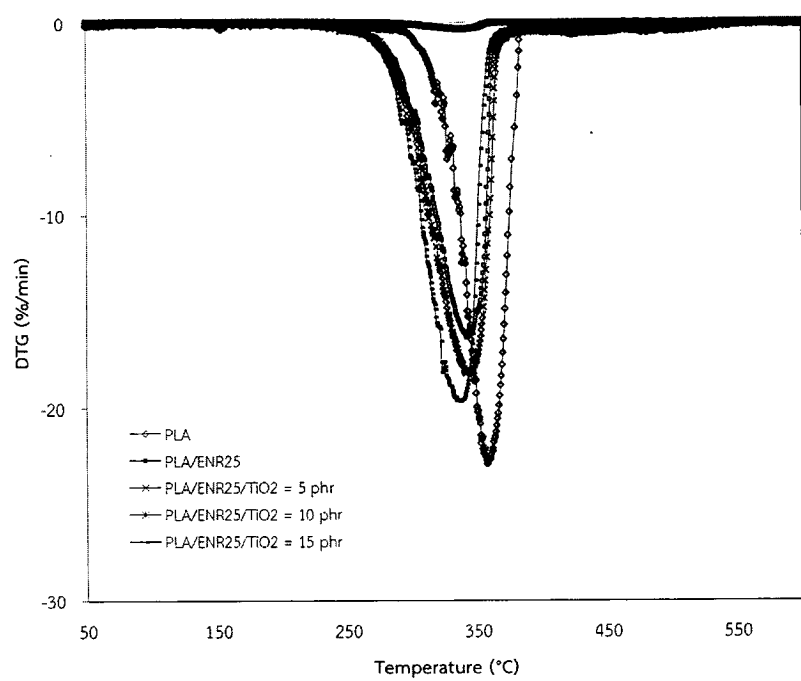


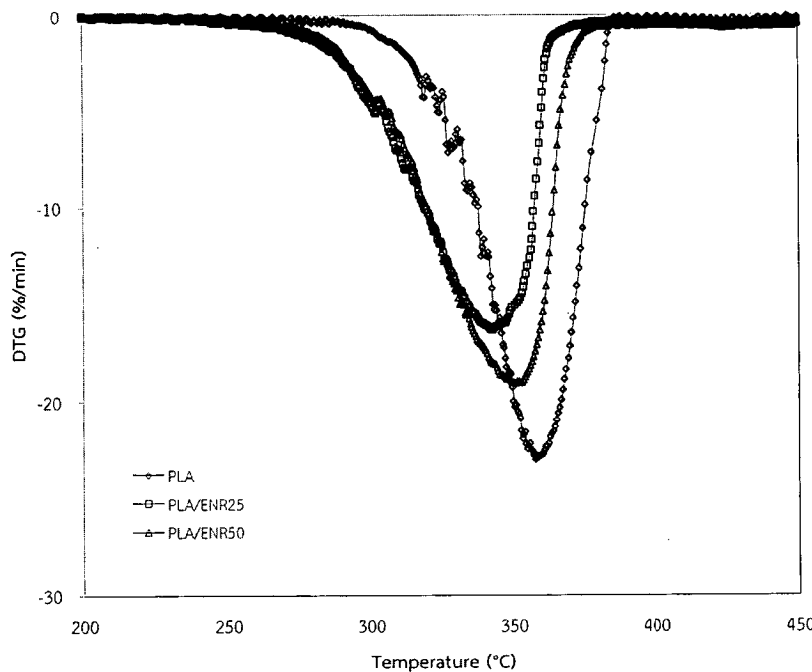


รูปที่ 3.45 เทอร์โมแกรม Weight loss และ DTG ของพิล์ม PLA/ENR 25 และ 50 อัตราส่วน 90/10 โดย ประปริมาณของ ไทดานียมไดออกไซด์ที่ 5-15 phr ผังดิน 2 ดีอน









รูปที่ 3.46 เทอร์โมแกรม Weight loss และ DTG ของพิล์ม PLA/ENR 25 และ 50 อัตราส่วน 90/10 โดยปรับปรุงด้วยไทด์ที่ 5-15 phr ผ่าน 5 ดีอน

### 3.11 วิเคราะห์ความคุ้มค่าทางเศรษฐศาสตร์

ตารางที่ 3.16 แสดงราคาวัสดุติดและ การประเมินราคาสำหรับการเตรียมพิล์มคลุมดินจากพอลิเมอร์ ผสมระหว่างพอลิแลคติกแอซิตและยางธรรมชาติอิพอกไซด์โดยใช้เทาเนียมไดออกไซด์เป็นสารตัวเติม ที่ได้จากการวิจัยนี้ พบราคาพิล์มคลุมดินมีราคาต้นทุน 222.60 บาท/กิโลกรัม ซึ่งพบว่าราคาของพิล์มคลุมดิน จาก พอลิเมอร์ผสมมีราคาสูง เนื่องจากวัสดุและสารเคมีที่ใช้ในการเตรียม เช่น PLA, ENR, Polypropylene glycol, PPG และ TiO<sub>2</sub> เกรด Rutile-103 เป็นต้น ซึ่งในปริมาณน้อยส่งผลทำให้ราคาที่นำมาใช้ในการคำนวณ ต้นทุนการผลิตจึงมีค่าสูง หากใช้สารเคมีดังกล่าวในปริมาณมากขึ้นราคាក้อนทุนก็จะลดลง แต่อย่างไรก็ตามหาก เปรียบเทียบกับราคายางพาราที่มีจำหน่ายในทางการค้าของบริษัท Dongguan Yiding Plastic & Electronic LLC. มีราคา 109.38 บาท/กิโลกรัม ราคาดังกล่าวอยู่ในช่วงค่ากลาง ไม่รวมค่าภาษีนำเข้า (<http://thai.alibaba.com>, 2013) [43] ถือได้ว่าพิล์มคลุมดินจากพอลิเมอร์ผสมที่เตรียมได้จากการวิจัยนี้มี ต้นทุนแพงกว่า 113.22 บาท/กิโลกรัม (ยังไม่รวมต้นทุนจากการผลิต) แม้ว่าต้นทุนการผลิตสูงกว่าก็ยัง พบราพิล์มคลุมดินดังกล่าวมีสมบัติที่ดีกว่าพลาติกที่ผลิตจากปีโตรเคมีเนื่องจากต้องใช้ระยะเวลานานในการ ย่อยและภายหลังจากการใช้งานพิล์มดังกล่าวเมื่อโดนรังสียูวีจะ perseal และแตกได้ง่ายส่งผลให้อายุการใช้งานสั้นลง และไม่สามารถนำกลับมาเป็นปุ๋ยสำหรับการบำรุงรักษาดินได้ในขณะที่พิล์มคลุมดินที่ได้จากการวิจัยนี้ สามารถถ่ายอย่างรวดเร็วได้ทางชีวภาพและเป็นปุ๋ยสำหรับการบำรุงดินและสามารถควบคุมความชื้นในดินได้ดีส่งผล ให้พืชเจริญเติบโตและลดปริมาณปุ๋ยที่จะใช้สำหรับการบำรุงให้พืชเจริญเติบโตได้

ตารางที่ 3.17 ราคาวัตถุดิบและการประเมินราคาสำหรับเตรียมพิล์ม PLA/ENR

ปริมาณที่ใช้	ราคาต่อ1กิโลกรัม (บาท)	ราคายาต่อพิล์ม PLA/ENR/TiO <sub>2</sub> 1 กิโลกรัม (บาท)	
PLA <sup>1</sup>	90% โดยน้ำหนัก	210	189.00
ENR <sup>2</sup>	10% โดยน้ำหนัก	220	22.00
Polypropylene glycol, PPG <sup>3</sup>	5% โดยน้ำหนัก	200	10.00
TiO <sub>2</sub> เกรด Rutile-103 <sup>4</sup>	10 phr	160	1.60
ราคากลางๆ		237.02	

<sup>1</sup> ราคาจากบริษัท ถุงสด จำกัด<sup>2</sup> ราคาจากบริษัท เมืองใหม่กัตตี จำกัด (มหาชน)<sup>3</sup> ราคาจากบริษัท ทีทีเค ชาญเอนซ์ จำกัด<sup>4</sup> ราคาจากบริษัท กิจไพบูลย์ ประเทศไทย จำกัด

## บทที่ 4

### สรุปผลการทดลองและข้อเสนอแนะสำหรับงานวิจัยในอนาคต

#### 4.1 สรุปผลการวิจัย

จากการศึกษาการเตรียมพิล์มคลุมดินจากพอลิเมอร์ผสมระหว่าง PLA/ENR และใช้ไฟฟ้าเนียมไดออกไซด์เป็นสารเพิ่มเสถียรต่อรังสียูวี จากการศึกษาพบว่าอัตราส่วนที่เหมาะสมสำหรับขึ้นรูปพิล์มคือ PLA/ENR50 (90/10) และเติมไฟฟ้าเนียมไดออกไซด์ 10 phr ซึ่งพอลิแลคติกแอชิดเข้ากับยางธรรมชาติอิพอกไซด์ได้ดีที่สุดที่ปริมาณอิพอกไซด์เท่ากับ 50% โดยไม่ลด พอลิเมอร์ผสมส่วนใหญ่เป็นสัมฐานะและยางธรรมชาติอิพอกไซด์เกิดการเชื่อมโยงระหว่างสายโซ่ในกลุ่มกับพอลิแลคติกแอชิดได้ดีในขณะที่ยางธรรมชาติอิพอกไซด์ที่ปริมาณอิพอกไซด์ 25% โดยไม่ลด เข้ากับพอลิแลคติกแอชิดได้ไม่ดีเนื่องจากมีความเป็นขี้ว์ที่ต่ำส่งผลทำให้สมบัติเชิงกลและเสถียรภาพทางความร้อนลดลง การเติม ENR50 และไฟฟ้าเนียมไดออกไซด์ มีผลทำให้เสถียรภาพทางความร้อนเพิ่มขึ้นจากการทดสอบด้วยเทอร์โมกราฟิเมตริกแอนนาไลซิส พบว่าอุณหภูมิการสลายตัวที่ 5% โดยน้ำหนัก (Td,5%) มีแนวโน้มเพิ่มสูงขึ้นซึ่งสูงกว่า Neat PLA นอกจากนี้ยังพบว่าความทนทานต่อแรงดึง ระยะสั้น จุดขาด 10% โดยดูลัส และความทนทานต่อการฉีกขาดมีแนวโน้มเพิ่มขึ้นและมีค่ามากที่สุดที่ปริมาณไฟฟ้าเนียมไดออกไซด์ เท่ากับ 10 phr ดังนั้นการเติมยาง ENR50 และไฟฟ้าเนียมไดออกไซด์สามารถทำให้พอลิแลคติกแอชิดมีความเหนียวและเสถียรภาพทางความร้อนเพิ่มขึ้นตามบริมาณไฟฟ้าเนียมไดออกไซด์ที่เพิ่มขึ้นและมีค่าสูงกว่า Neat PLA เนื่องจากลักษณะสัมฐานะวิทยาของพอลิเมอร์ผสมที่ส่องด้วยกล้องจุลทรรศน์อิเล็กตรอนแบบส่องกล้องพบว่าพื้นผิวมีความราบรื่นและมีการกระจายของยางไปบนเมทริกซ์ของพอลิแลคติกได้ดี แต่พิล์มดังกล่าวไม่ทนต่อการบ่มเร่งสภาพภาวะด้วย QUV ซึ่งพิล์มแตกและเป็นผงเมื่อได้รับรังสียูวีและพิล์มที่ไม่ได้รับรังสียูวีสามารถย่อยสลายในดินได้ 6% ที่ระยะเวลาในการย่อยสลาย 3 เดือน และมีต้นทุนแพงกว่าพิล์มคลุมดินที่มีจำหน่ายตามท้องตลาด เท่ากับ 113.22 บาท/กิโลกรัม อย่างไรก็ตาม พบว่าเมื่อนำพิล์มไปใช้งานสำหรับคลุมดินนั้นและการจัดเก็บพิล์มเมื่อเสร็จสิ้นจากการใช้งานสามารถลดระยะเวลาในการจัดเก็บได้เนื่องจากพิล์มดังกล่าวอยู่ภายใต้เงื่อนไขที่สามารถไฝฝังกลบลงไปในดินได้

#### 4.2 ข้อเสนอแนะ

การศึกษาการเตรียมพอลิเมอร์ผสมระหว่าง PLA/ENR โดยใช้ไฟฟ้าเนียมไดออกไซด์เป็นสารตัวเติม พบว่ายางธรรมชาติอิพอกไซด์กระจายตัวในเมทริกซ์ของพอลิแลคติกแอชิดไม่ส่วนรวมกันให้สมบัติเชิงกลที่ได้ไม่ดีเท่าที่ควรแต่อย่างไรก็ตามการเติมยางธรรมชาติอิพอกไซด์สามารถปรับปรุงสมบัติทางความร้อนและเชิงกลให้เพิ่มขึ้นได้ ดังนั้นควรหาวิธีการที่ทำให้ยางธรรมชาติอิพอกไซด์มีขนาดเล็กลงหรือทำเป็นยางธรรมชาติอิพอกไซด์ลงเพื่อเพิ่มประสิทธิภาพในการเข้ากันได้ของพอลิเมอร์ผสมและสามารถขึ้นรูปพิล์มให้มีประสิทธิภาพได้ดีและจากการวิจัยพบว่าพิล์มที่ได้ไม่ทนต่อรังสียูวีพิล์มซึ่งแตกได้ง่ายดังนั้นควรมีการศึกษาระยะเวลาที่เหมาะสมที่พิล์มสามารถสัมผัสถับรังสียูวีสำหรับการนำไปใช้งานได้จริง หากพบว่าพิล์มที่ได้มีระยะเวลาในการสัมผัสถับรังสีไวได้ในช่วงระยะเวลาสั้นๆควรมีการเปลี่ยนแปลงวัตถุประสงค์ของการใช้งานโดยนำไปคลุมดินสำหรับพืชที่ไม่ต้องการสัมผัสถับรังสีและมากเกินไปซึ่งคิดว่าพิล์มดังกล่าวมีความเหมาะสมสำหรับการนำไปใช้งาน นอกจากนี้พอลิเมอร์ผสมสามารถนำไปใช้งานเป็นผลิตภัณฑ์อื่นๆได้มากมายจึงควรมีการศึกษาการใช้งานอื่นๆของพอลิเมอร์ผสมซึ่งจะทำให้เกิดประโยชน์อีกมากมายหลากหลาย ซึ่งพิล์มคลุมดินเป็นเพียงหนึ่งในผลิตภัณฑ์ที่สามารถนำไปใช้งานได้ เราอาจนำพอลิเมอร์ผสมไปขึ้นรูปเป็นผลิตภัณฑ์อื่นเช่น บรรจุภัณฑ์ต่างๆ

## เอกสารอ้างอิง

- [1] พิล์มคลุมดิน. [ออนไลน์] เข้าถึงได้จาก [http://www2.mtec.or.th/th/special/biodegradable\\_plastic/usage\\_de\\_plas.html](http://www2.mtec.or.th/th/special/biodegradable_plastic/usage_de_plas.html) (20 มีนาคม 2555).
- [2] ธนาวี ลี้จากภัย พลาสติกย่อยสลายได้เพื่อสิ่งแวดล้อม ศูนย์เทคโนโลยีโลหะและวัสดุแห่งชาติ สำนักงานพัฒนาวิทยาศาสตร์และเทคโนโลยีแห่งชาติ กระทรวงวิทยาศาสตร์ บริษัท ไทยอे�ฟเฟคท์สตูดิโอ กรุงเทพฯ 2549.
- [3] พงษ์ธร แซ่อุย. 2547. ย่าง ชนิด สมบัติ และการใช้งาน. พิมพ์ครั้งที่ 2. กรุงเทพฯ : ศูนย์เทคโนโลยีโลหะและวัสดุแห่งชาติ (เอ็มเทค) สำนักงานพัฒนาวิทยาศาสตร์และเทคโนโลยีแห่งชาติ กระทรวงวิทยาศาสตร์และเทคโนโลยี.
- [4] วรารณ์ จรรไชยกุล. น.ป.ป. ผลิตภัณฑ์จากน้ำยางธรรมชาติ. กรุงเทพฯ : ศูนย์วิจัยและพัฒนาผลิตภัณฑ์ยาง สถาบันวิจัยยาง กรมวิชาการเกษตร.
- [5] EN-13655 Plastics: mulching thermoplastic films for use in agriculture and horticulture. Brussels: Comité Européen de Normalisation (C.E.N.); 2002.
- [6] เรนุมาศ พิพิญณี, ราธีณี นามพิชัย และรัตนวรรณ มกรพันธุ์. สมบัติเชิงกลและสัณฐานวิทยาของพอลิแลคติกแอซิด/ยางธรรมชาติอพอกไซด์/ออร์กโนเคลร์ นาโนคอมโพสิต. [ออนไลน์] เข้าถึงได้จาก [www.kucon.lib.ku.ac.th/dbstat/download\\_count.php?rec\\_no...mfnn](http://www.kucon.lib.ku.ac.th/dbstat/download_count.php?rec_no...mfnn). (20 มีนาคม 2555)
- [7] Warunee Klinklai and Chatchai Kunyawut., Preparation of Thermoplastics Elastomer Between Natural rubber and Poly (lactic acid) in The Presence of Epoxidized Natural Rubber., International Conference on the Role of Universities in Hands-On Education Rajamangala University of Technology Lanna, Chiang-Mai, Thailand 23-29 August 2009, 523-533.
- [8] พัชราภรณ์ สมศรี. 2552. พอลิแลกติกแอซิดเสริมความเหนียวตัวยางธรรมชาติ. ปริญญาวิศวกรรมศาสตร์ มหาบัณฑิต สาขาวิชาวิศวกรรมพอลิเมอร์ คณะวิศวกรรมศาสตร์ มหาวิทยาลัยสุรนารี, 77 น.
- [9] จันทิมา ดีประเสริฐกุล. 2012 การศึกษาสมบัติทางความร้อน สมบัติเชิงกลและสัณฐานวิทยาของพอลิเมอร์ ผสมระหว่างพอลิแลกติกแอซิดกับยางธรรมชาติ. สาขาวิชาวิศวกรรมพอลิเมอร์ สำนักวิชาวิศวกรรมศาสตร์ มหาวิทยาลัยเทคโนโลยีสุรนารี
- [10] Bitinis N, Verdejo R, Cassagnau P, Lopez-Manchado MA. 2011. Structure and properties of polylactide/natural rubber blends. Mater Chem Phys. 129:823–31.
- [11] Chunmei Zhang , Weiwei Wang , Yun Huang , Yonghao Pan , Long Jiang , Yi Dan , Yongyue Luo ,Zheng Peng. 2013. Thermal, mechanical and rheological properties of polylactide toughened by epoxidized natural rubber. Materials and Design 45 : 202.
- [12] Petchwattana, N.; Covavisaruch, S.; Euapanthasate, N. 2012. Utilization of ultrafine acrylate rubber particles as a toughening agent for poly(lactic acid)Materials Science and Engineering A. 532: 64-70.
- [13] Norman, S., Michele, E., Amaya, O., Christopher, M., John, S. and Robert, B. 2002. Behaviour of Nanoparticle (ultrafine) Titanium Dioxide Pigments and Stabilizers on the Photooxidative Stability of Water Based Acrylic and Isocyanate Based Acrylic Coatings. Polymer Degradation and Stability, Vol. 78, No. 3, pp. 467-478.

- [14] Norio Nakayama\*, Toyoharu Hayashi. 2007. Preparation and characterization of poly(L-lactic acid)/TiO<sub>2</sub> nanoparticle nanocomposite films with high transparency and efficient photodegradability. *Polymer Degradation and Stability* 92 : 1255-1264.
- [15] SreejaraniKesavanPilla, SuprakasSinha Ray, Manfred Scriba, Vincent Ojj, Mpitloane Joseph Hato. 2012. Morphological and thermal properties of photodegradable biocomposite films, *Journal of Applied Polymer Science Volume 129, Issue 1, 362–370.*
- [16] Saeed Dadashi, Mehdi Farhoodi, Seyed Mohammad Ali Mousavi, Zahra Emam-Djomeh."Characterization and Morphology of TiO<sub>2</sub> Nanocomposites Based on Synthetic and Natural Polymers" 2013.[ออนไลน์] [อ้างถึง 10กุมภาพันธ์ 2557]เข้าถึงได้จาก [http://confbank.um.ac.ir/modules/conf\\_display/conferences/iecfp2013/148\\_1.pdf](http://confbank.um.ac.ir/modules/conf_display/conferences/iecfp2013/148_1.pdf)
- [17] นครินทร์ นิลทวี นัตตุลา วงศ์ตัง ,ภาณุวัตร พรหมนิกร, รัตติกาล ขันร์เครือ และ ศุภกิจ สุทธิเรืองวงศ์ .2552. การติดตามการเปลี่ยนแปลงของสัณฐานวิทยาและผลึกของพอลิแลคไทด์ฟิล์มที่สามารถย่อยสลายทางชีวภาพภายหลังจากการฝังในดิน 35th Congress on Science and Technology of Thailand.
- [18] Balakrishnan, H. and Hassan, Azman and Imran, M. and Wahit, Mat Uzir. 2011. Aging of toughened polylactic acid nanocomposites: water absorption, hydrothermal degradation and soil burial analysis. *Journal of Polymers and the Environment*, 19 (4): 863-875.
- [19] Yosita Rudeekit, Jaruayporn Numnoi, Monchai Tajan, Phasawat Chaiwutthianan and Thanawadee Leejarkpai. 2008. Determining Biodegradability of Polylactic Acid under Different Environments, *Journal of Metals, Materials and Minerals*. Vol.18 No.2 pp.83-87
- [20] Yun Huang, Chunmei Zhang, Yonghao Pan, Yuli Zhou, Long Jiang, Yi Dan. 2013. Effect of NR on the hydrolytic degradation of PLA. *Polymer Degradation and Stability*. 05/2013; 98(5):943–950. DOI:10.1016/j.polymdegradstab.2013.02.018.
- [21] Yan-Bing Luo, Wen-Da Li, Xiu-Li Wang, Da-Yun Xu, Yu-Zhong Wang. 2009. Preparation and properties of nanocomposites based on poly(lactic acid) and functionalized TiO<sub>2</sub>. *Acta Materialia* 57: 3186.
- [22] Richard A Cairncross, Jeffrey G Becker, Shri Ramaswamy, Ryan O'Connor. 2006. Moisture sorption, transport, and hydrolytic degradation in polylactide. *Appl Biochem Biotechnol Mar;131(1-3):774-85.*
- [23] เกศินี เมหะเวชีย์ และพิริยาธร สุวรรณมาลา. กลุ่มวิจัยและพัฒนานิวเคลียร์ สถาบันเทคโนโลยีนิวเคลียร์ แห่งชาติ (องค์การมหาชน) การทดสอบสมบัติของพอลิเมอร์[ออนไลน์] [อ้างถึง 25มกราคม 2557]เข้าถึงได้จาก <http://www0.tint.or.th/nkc/nkc51/nkc5102/nkc5102t.html>
- [24] เกียรติพงษ์ ได้การ. ดำเนินการนักวิทยาศาสตร์ ของศูนย์เครื่องมือวิทยาศาสตร์ และเทคโนโลยี “ การทดสอบ เครื่องวิเคราะห์การเลี้ยวเบนรังสีเอกซ์ หรือ X-ray Diffractometer” [ออนไลน์] [อ้างถึง 25 มกราคม 2557]เข้าถึงได้จาก<http://www.mfu.ac.th>
- [25] Scanning Electron Microscope (SEM) วิทยาลัยนาโนเทคโนโลยีพระจอมเกล้าลาดกระบัง.[ออนไลน์] [อ้างถึง 25 มกราคม 2557]เข้าถึงได้จาก<http://www.nano.kmitl.ac.th/index.php/tool/218-scanning-eletron-microscopysem-.html>

- [26] จตุพรวุฒิ กนกกาญจน์ คณะพลังงานสิ่งแวดล้อมและวัสดุ (มจธ.) เอกสารประกอบการสอนวิชา MTT656 Polymer Characterization and Analysis [ออนไลน์] [อ้างถึง 25 มกราคม 2557] เข้าถึงได้จาก [www.seem.kmutt.ac.th/.../MTT656Chapter%20%207%20AFM%20tech](http://www.seem.kmutt.ac.th/.../MTT656Chapter%20%207%20AFM%20tech)
- [27] การวิเคราะห์พอลิเมอร์ “ การวิเคราะห์สมบัติทางอุณหภูมิของพอลิเมอร์ (Thermal Analysis)” [ออนไลน์] [อ้างถึง 25 มกราคม 2557] เข้าถึงได้จาก [http://www.sci.buu.ac.th/~chemistry/staff/thanida/Polymer\\_Chemistry/image\\_fiber/chapter5\\_2.html](http://www.sci.buu.ac.th/~chemistry/staff/thanida/Polymer_Chemistry/image_fiber/chapter5_2.html) มีนาคม 2555
- [28] ศูนย์นาโนเทคโนโลยีแห่งชาติ สำนักงานพัฒนาวิทยาศาสตร์และเทคโนโลยีแห่งชาติ “Thermogravimetric Analysis (TGA)”.[ออนไลน์] [อ้างถึง 25 มกราคม 2557] เข้าถึงได้จาก [http://www.nanotec.or.th/th/?page\\_id=569](http://www.nanotec.or.th/th/?page_id=569)
- [29] Y. Huang, C. Zhang, Y. Pan, Y. Zhou, L. Jiang, Y. Dan. 2013. Effect of NR on the hydrolytic degradation of PLA. *Polymer Degradation and Stability* 98: 943-950.
- [30] QUV ACCELERATED WEATHERING TESTER [ออนไลน์][อ้างอิง 25 กุมภาพันธ์ 2557] เข้าถึงได้จาก <http://www.q-lab.com/products/quv-weathering-tester/quv>
- [31] พัชราภรณ์ สมดี. 2012. พอลิแลกติกแอซิดเสริมความเหนียวด้วยยางธรรมชาติ. ปริญญา วิศวกรรมศาสตร์มหาบัณฑิต สาขาวิชาวิศวกรรมพอลิเมอร์ คณะวิศวกรรมศาสตร์ มหาวิทยาลัยสุรนารี, 77 น.
- [32] Lin S, Guo WN, Chen CY, Ma JL, Wang BB. 2012. Mechanical properties and morphology of biodegradable poly(lactic acid)/poly(butylene adipate-co-terephthalate) blends compatibilized by transesterification. *Mater Design*.36:604–8.
- [33] Wu S. 1985. Phase structure and adhesion in polymer blends: a criterion for rubber toughening. *Polymer*. 26:1855–63.
- [34] Chunmei Zhang , Weiwei Wang , Yun Huang , Yonghao Pan , Long Jiang , Yi Dan , YongyueLuo , ZhengPeng. 2013. Thermal, mechanical and rheological properties of polylactide toughened byexpoxidized natural rubber. *Materials and Design*. 45 : 198-205.
- [35] JeerupunJ,Woothikanokkhan J, Phinyocheep P. 2004. Effects of epoxidation content of ENR on morphology and mechanical properties of natural rubber blended PVC. *MacromolSymp*. 216: 281–92.
- [36] Luo, Yan-Bing; Wang, Xiu-Li; Xu, Da-Yun; Wang, Yu-Zhong. 2009. *Applied Surface Science* vol. 255 issue 15 May 15. p. 6795-6801
- [37] Jaratrotkamjorn R, Khakkong C, Tanrattanakul V. 2012. Toughness enhancement of poly(lactic acid) by melt blending with natural rubber. *J ApplPolymSci*. 124:5027–36.
- [38] Suksut B, Deeprasertkul C. 2011. Effect of nucleating agents on physical properties of poly(lactic acid) and its blend with natural rubber. *J Polym Environ*. 19:288–96.
- [39] Tashiro K, Zhang J, Tsuji H, Domb AJ. 2008. Disorder-to-order phase transition and multiple melting behavior of poly(l-lactide) investigated by simultaneous measurements of WAXD and DSC. *Macromolecules*. 41:1352–7.

- [40] Yan-Bing Luo , Xiu-Li Wang , Yu-Zhong Wang. 2012. Effect of TiO<sub>2</sub> nanoparticles on the long-term hydrolytic degradation behavior of PLA , Polymer Degradation and Stability. 97: 721-728.
- [41] ชลดา ธีรกรุณวงศ์. 2554. ปฏิกริยาการเร่งด้วยแสงโดยไทเทเนียมไดออกไซด์ ภาควิชาวิทยาศาสตร์ คณะวิทยาศาสตร์และเทคโนโลยี มหาวิทยาลัยราชภัฏนครสวรรค์. วารสารมหาวิทยาลัยราชภัฏยะลา
- [42] N. Nakayama, T. Hayashi. 2007. Preparation and characterization of poly(L-lactic acid)/TiO<sub>2</sub> nanoparticle nanocomposite films with high transparency and efficient photodegradability. Polymer Degradation and Stability. 92: 1255-1264.
- [43] <http://thai.alibaba.com/product-gs/silver-black-plastic-mulch-film-266459935.html>.

## Output จากโครงการวิจัย

รหัสโครงการ RDG5550072

ชื่อโครงการ (ภาษาไทย) สมบัติของไบโอลัคติกอีลาสต์เมอร์สมรรถห่วงพอลิแลคติกแอซิด และยางธรรมชาติอิพอกไซด์โดยใช้เท่านเนียมไดออกไซด์เป็นสารตัวเติมเพื่อทำพิล์มคลุมดิน

(ภาษาอังกฤษ) Properties of Polylactic Acid/Epoxidized natural rubber Bioplastic Elastomer incorporating with  $\text{TiO}_2$  fillers for Mulch Film Application

ชื่อนักวิจัยและสถาบัน

นางสาวปราณี นุ้ยหนู  
ภาควิชาเคมี สาขาวิทยาศาสตร์และเทคโนโลยีการยาง  
คณะวิทยาศาสตร์ มหาวิทยาลัยอุบลราชธานี 85 ถ. ถนนมาร์ค ต. เมืองศรีค  
อ. วารินชำราบ จ.อุบลราชธานี 34190

E-mail : npranee-rubu@hotmail.co.th, [npranee@ubu.ac.th](mailto:npranee@ubu.ac.th),  
[npranee.rubu@gmail.com](mailto:npranee.rubu@gmail.com)

ระยะเวลาดำเนินการ 12 เดือน ตั้งแต่วันที่ 1 สิงหาคม 2555 ถึงวันที่ 31 กรกฎาคม 2556

Output ที่ได้จากการวิจัย

1. ผลงานตีพิมพ์ในวารสารวิชาการนานาชาติหรือผลงานตามที่คาดไว้ในสัญญาโครงการ

1.1 นำเสนอผลงานทางวิชาการในงานประชุม The Asia Pacific Rubber Conference (APRC) 2013 วันที่ 5-6 กันยายน 2556 เวลา 08.30-16.30 น. ณ โรงแรมไดเมอน พลาซ่า จังหวัดสุราษฎร์ธานี ในหัวข้อ Thermal and Mechanical Properties of Mulch Film from Poly(Lactic Acid)/Exoxidized Natural Rubber Blends Filled with Rutile  $\text{TiO}_2$  as fillers นำเสนอผลงานแบบ Oral Presentation

1.2 ได้รับการตีพิมพ์วารสาร Pranee Nuinu, Kittikorn Samosorn, Kittisak Srilatong, Siripa Tongbut and Sayant Saengsuwan, Thermal and Mechanical Properties of Mulch Film from Poly(Lactic Acid)/Exoxidized Natural Rubber Blends Filled with Rutile  $\text{TiO}_2$  as fillers, Advanced Materials Research Vol. 844 (2014) pp 65-68.

2. การนำผลงานวิจัยไปใช้ประโยชน์

- เชิงสารสนเทศ  
การทำงานวิจัยด้านเทคโนโลยียางโดยเฉพาะการเบلنด์ยางธรรมชาติกับยางอีพีดีเอ็มในโครงการนี้ เป็นส่วนหนึ่งที่ก่อให้เกิดความร่วมมือต่อเนื่องกับผู้เชี่ยวชาญต่างประเทศ
- เชิงวิชาการ  
งานวิจัยนี้ใช้ในการพัฒนาการเรียนการสอนวิชายางธรรมชาติ น้ำยาง และยางเบรนด์ และการวิจัยทางเทคโนโลยียาง ของนักศึกษาระดับปริญญาตรี สาขาวิทยาศาสตร์และเทคโนโลยีการยาง ภาควิชาเคมี คณะวิทยาศาสตร์ มหาวิทยาลัยอุบลราชธานี

3. อื่นๆ

คาดว่าจะมีการนำเสนอผลงานวิจัยในที่ประชุมวิชาการระดับชาติหรือนานาชาติอย่างน้อย 1 ครั้ง

ภาคผนวก ก  
บทความตือพิมพ์วารสาร

*Advanced Materials Research Vol. 544 (2014); pp. 63-68*  
*© (2014) Trans Tech Publications Switzerland*  
*doi: 10.4028/www.scientific.net/AMR.544.63*

**Thermal and Mechanical Properties of Mulch Film from Poly(Lactic Acid)/Expoxydized Natural Rubber Blends Filled with Rutile TiO<sub>2</sub> as fillers**

Pranee Nulnu<sup>1,\*</sup>, Kitikorn Samosorn<sup>1,b</sup>, Kittisak Srlatong<sup>1,c</sup>, Siripa Tongbut<sup>1,d</sup>  
 and Sayant Saengsuwan<sup>2,e</sup>

<sup>1</sup>Rubber Science and Technology Program, Department of Chemistry, Faculty of Science, Ubon Ratchathani University, Waiyacharap, Ubon Ratchathani, 34100, Thailand

<sup>2</sup>Laboratory of Advanced Polymers for Energy and Biomedical Applications (LAPERA), Department of Chemistry, Faculty of Science, Ubon Ratchathani University,Waiyacharap, Ubon Ratchathani, 34100, Thailand

<sup>\*</sup>pranee.nulnu@gmail.com, <sup>b</sup>hot2705342@hotmail.com, <sup>c</sup>kittisak\_9693@hotmail.com,  
<sup>d</sup>siripat@hotmail.com, <sup>e</sup>Sayants181@gmail.com

**Keywords:** epoxidized natural rubber; poly lactic acid; Rutile Titanium dioxide; Mulch film

**Abstract.** The aim of this research was to reduce and improve the brittleness and thermal properties of poly lactic acid (PLA), respectively. Epoxidized natural rubber (ENR) was used to enhance the toughness and rutile titanium dioxide (R-TiO<sub>2</sub>) as filler was also incorporated to improve the thermal properties of the PLA. 10 wt% ENR with epoxidation contents of 25 mol% (ENR25) and 50 mol% (ENR50) and various R-TiO<sub>2</sub> contents (0–10 phr) were compounded with PLA by using a twin-screw extruder at 155–165°C and a rotor speed of 40 rpm. The pellets of blends were then formed a thin film using a cast film extruder machine and cooled down under air flow. Thermal and mechanical properties and morphology of PLA/ENR/R-TiO<sub>2</sub> thin film were investigated. The crystallinity of PLA was found to increase with addition of ENR. The mechanical properties of thin film showed that the ENR50 enhanced the elongation but reduced the tensile strength of PLA with addition of R-TiO<sub>2</sub> in 5 and 10 phr, respectively. The TGA indicated that the addition of 10 phr R-TiO<sub>2</sub> increased in the decomposition temperature at 5% weight loss ( $T_{d5\%}$ ) of PLA/ENR film. Thus the thermal stability of PLA/ENR50 was found to improve with addition of R-TiO<sub>2</sub>. From morphological study, the ENR50 phase showed a good dispersion in the PLA matrix. In conclusion, the addition of ENR and R-TiO<sub>2</sub> was found to enhance both toughness and thermal stability of PLA.

## INTRODUCTION

The environmental impact of petrochemical-based plastic wastes has become a global concern in recent years. Poly(lactic acid)(PLA) is a biodegradable, compostable and recyclable thermoplastic that has attracted extensive commercial attention because it can be produced from renewable resources [1]. PLA can replace nondegradable polymers in various applications, such as yard waste bags, food containers, and agricultural mulch films, etc. However, some of its applications are limited by its highly brittleness and has poor crystallization behavior and can be easily damaged by UV when it is used outdoor [2]. To improve toughness and flexibility of PLA, epoxidized natural rubber (ENR) containing epoxy groups would improve the polarity of rubber and better processing compatibility with PLA [3–4]. For UV radiation protection, rutile TiO<sub>2</sub> (R-TiO<sub>2</sub>) exhibits a high refractive index and hiding power as well as good chemical stability and UV light screening effects [5]. The aim of this research was to reduce the brittleness and to improve thermal properties of PLA. Blends of PLA with 10 wt% ENR containing 25 mol% (ENR25) and 50 mol% (ENR50) of epoxidation and various contents of R-TiO<sub>2</sub> were prepared by melt blending in a twin-screw extruder. The blend pellets were then casted as thin film using a cast film extrusion. The thermal and mechanical properties of the film have been investigated in order to understand the effects of the R-TiO<sub>2</sub> additives on the stability of the mulch film application.

### Experimental

**Preparation of PLA/ENR blends and cast film.** PLA and two types of ENR with epoxidation contents of 25 mol% (ENR25) and 50 mol% (ENR50) were separately dried in an air oven at 60°C for 24 h to remove residual moisture before melt. ENR25/PLA and ENR50/PLA blends were both prepared at the blend ratio of 90/10 by using a twin-screw extruder in melt processing at 155–165°C and rotor speed of 40 rpm (MX103-D40L50, Chineon Ya Co., Ltd.). The rutile TiO<sub>2</sub> (R-TiO<sub>2</sub>) was also added at various contents of 0–10 phr (by weight based on ENR) during blend. R-TiO<sub>2</sub> was firstly mixed with ENR in the two-roll mill at room temperature before melt. The 5 wt% of polyethylene glycol (PEG) was also added during mixing in all blends. The well mixed blends were cut into small granules. The pellets of polymer blends were formed thin film thickness of 50–80 µm using a cast film extruder and cooled down under air flow.

**Characterization of PLA/ENR blends and film.** The tensile strength and elongation at break of each film were tested according to ASTM D882 using square shape specimens. The test was carried out on a universal testing machine (LLDVID instruments LR10KPlus) with a crosshead speed of 12.5 mm/min. The elongation of specimens was obtained from the extensometer. The thermal properties of the samples were determined with a differential scanning calorimeter (DSC 823<sup>+</sup>) and thermo gravimetric analysis (TGA, Rigaku Thermoplus TG8120). The morphology of the fractured surface of the blend's strands was also observed using a scanning electron microscope (SEM, JEOL JSM-3800 LV) at 10 kV. The specimens were fractured under cryogenic conditions using liquid nitrogen.

### Results and discussion

#### Thermal Properties of melt film (PLA/ENR)

Table 1 summarizes the thermal characteristics (glass transition temperature ( $T_g$ ), crystalline temperature ( $T_c$ ), melting temperature ( $T_m$ ), and %crystallinity ( $\chi_c$ )) of cast PLA and PLA/ENR (90/10) films with and without R-TiO<sub>2</sub> contents. All data were acquired from the first heating scan. It should be noted that  $T_g$ ,  $T_c$ ,  $T_m$ , and  $\chi_c$  of PLA/ENR film were significantly increased with addition of ENR25 and ENR50. Addition of R-TiO<sub>2</sub> in both PLA/ENR blends was found to decreased the crystallinity of PLA owing to the nucleating effect. The crystallization temperature reduced slightly with addition of R-TiO<sub>2</sub> due to the epoxidized natural rubber hinders the formation of PLA crystal due to crosslinking between ENR and PLA molecular chains [6]. In Table 2, the initial decomposition temperature ( $T_d$ ) of neat PLA was found to be around at 340.8°C, then reached its maximum rate ( $T_{d\max}$ ) at 358.8°C, and completed ( $T_f$ ) at 374.2°C.

Table 1. Thermal properties and the crystallinity of neat PLA, PLA/ENR25 and PLA/ENR50 (90/10) films obtained from the first heating scan at heating rate 10 °C/min<sup>a</sup>

samples	$T_g$ (°C)	$T_c$ (°C)	$T_m$ (°C)	$T_{d\max}$ (°C)	%Crystallinity
neat PLA	63.71	96.78	-	351.92	39.38
PLA/ENR25	55.24	100.16	147.49	336.27	38.44
PLA/ENR25/5 phr TiO <sub>2</sub>	57.70	107.17	148.68	357.27	38.80
PLA/ENR25/10 phr TiO <sub>2</sub>	56.45	97.83	144.69	355.44	35.31
PLA/ENR50	57.23	109.00	147.33	355.92	33.81
PLA/ENR50/5 phr TiO <sub>2</sub>	57.42	103.66	147.00	353.20	36.71
PLA/ENR50/10 phr TiO <sub>2</sub>	57.70	99.84	146.20	354.83	34.58

The  $T_{d\max}$  of the samples were affected by the addition of R-TiO<sub>2</sub>.  $T_{d\max}$  of PLA/ENR blends was significantly increased with increasing of R-TiO<sub>2</sub> contents. This difference could be attributed to the fact that polarity of ENR increases with epoxidation content, so PLA/ENR50 blend performs more

intense molecular interactions and greater physical crosslinking than PLA/ENR25 blend, leading to higher thermal stability.

Table 2. Thermal stability of PLA/ENR (90/10) film filled with R-TiO<sub>2</sub> fillers.

samples	Decomposition temperature			
	T <sub>d</sub> (°C)	T <sub>f</sub> (°C)	T <sub>5%</sub> (°C)	T <sub>10%</sub> (°C)
neat PLA	120.1	340.8	358.8	374.2
PLA/ENR25	180.1	316.4	350.9	366.7
PLA/ENR25/5 phr TiO <sub>2</sub>	241.0	368.3	351.6	363.4
PLA/ENR25/10 phr TiO <sub>2</sub>	234.9	363.0	351.6	363.4
PLA/ENR50	230.4	321.3	357.6	370.5
PLA/ENR50/5 phr TiO <sub>2</sub>	250.0	312.6	355.2	369.9
PLA/ENR50/10 phr TiO <sub>2</sub>	284.7	314.9	353.9	363.7

#### Mechanical properties of blends films

Table 3. The Mechanical properties of melt film from PLA/ENR in R-TiO<sub>2</sub> fillers.

samples	Tensile strength (MPa)	Elongation at break(%)
neat PLA	5.69 ± 0.37	5.92 ± 1.12
PLA/ENR25	3.51 ± 0.22	9.11 ± 3.61
PLA/ENR25/5 phr TiO <sub>2</sub>	3.31 ± 0.45	24.50 ± 6.77
PLA/ENR25/10 phr TiO <sub>2</sub>	3.62 ± 0.26	23.11 ± 9.63
PLA/ENR50	3.52 ± 0.39	20.79 ± 8.00
PLA/ENR50/5 phr TiO <sub>2</sub>	3.93 ± 0.26	25.05 ± 14.78
PLA/ENR50/10 phr TiO <sub>2</sub>	3.23 ± 0.27	23.97 ± 7.83

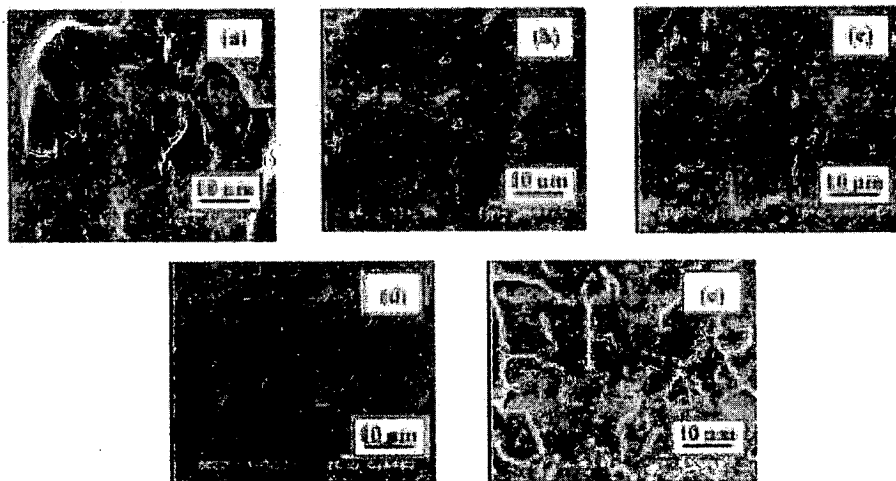


Figure 1. SEM photographs of 90/10 PLA/ENR25 and PLA/ENR50 blends containing various Raulte TiO<sub>2</sub> contents; (a) neat PLA, (b) PLA/ENR25 (TiO<sub>2</sub>=5 phr) (c) and PLA/ENR25 (TiO<sub>2</sub>=10 phr), (d) PLA/ENR50 (TiO<sub>2</sub>=5 phr) and (e) PLA/ENR50 (TiO<sub>2</sub>=10 phr) (magnification  $\times 1000$ ).

The tensile properties of the PLA/ENR blends are presented in Table 3. The tensile strength and elongation at break for both PLA/ENR25 and PLA/ENR50 blends increased with R-TiO<sub>2</sub> contents upto 5 phr after that slightly decreased. The tensile strength decreased from 5.69 MPa of neat PLA

to 3.51 MPa for the PLA/ENR25 film and to 3.52 MPa for the PLA/ENR50 film. The elongation at break of the PLA/ENR25 and PLA/ENR50 blends increased from 5.92±1.12% of neat PLA to 9.11±3.61% and 20.79±8.0%, respectively. The PLA/ENR50 film shows much higher tensile strength and elongation at break than the PLA/ENR25 film. This might also be related to the possibility that the molecular interactions and crosslinking are enhanced with epoxidized content [5]. The result showed that the elongation at break of PLA blends with 10 wt% ENR50 was four times higher than that of neat PLA. According to Jeerupun et al. [7], some of the ENR rubber phases were resized in a form of finely dispersed particles and crosslinked particles, which accounts for the improved toughness of the blends. To consider the addition of ENR50 into the PLA, it was observed that the fracture surface of the PLA/ENR film containing of R-TiO<sub>2</sub> of 5 phr (Fig. 2d) and 10 phr (Fig. 2e) became smoother which is the characteristics of the ductile materials. This implied that ENR50 could act as the interfacial agent to improve the mechanical properties of the PLA/ENR film.

### Conclusion

The blends of PLA/ENR were successfully prepared by incorporating epoxidized natural rubber (ENR) and R-TiO<sub>2</sub> or UV stabilizer using melt blending. Morphology of PLA/ENR blends showed that epoxidized natural rubber was compatible with PLA matrix. After melt blending, the blends were almost amorphous, and ENR hindered the crystallization of PLA due to the crosslinking between ENR and PLA molecular chains. The incorporation of ENR25 greatly reduced the thermal stability of the PLA, while ENR50 had a less impact. The elongation at break of the blends were enhanced with add ENR content whereas resulted in reduced tensile strength. R-TiO<sub>2</sub> showed higher thermal stability for melt film due to T<sub>d</sub>, % was increased with increasing of R-TiO<sub>2</sub> contents than that of neat PLA.

**Acknowledgements.** The authors gratefully acknowledge Thailand Research Fund (RDD53350072), Department of Chemistry, Faculty of Science, Ubon Ratchathani University, Department of Metallurgical and Material Engineering, Faculty of Engineering, Rajamangala University of Technology Thanyaburi for the financial support.

### References

- [1] K.S. Anderson, S.H. Lim, M.A. Hiltzeyer, J. App. Polym. Sci. 89 (2003) 3757-3768.
- [2] M. Chungbien, Z. Chumneei, L. Yeming, W. Weiwei, R. Weyang, J. Long, R. Frederic, N. Thien Phap, D. M. Polym. Degrad. Stab. 97 (2012) 830-832.
- [3] Y. Kim, C. Choi, K. Lee, M. Lee, Fib. and polym. 5 (2004) 270-274.
- [4] Z. Chumneei, W. Weiwei, H. Wan, P. Yonghao, J. Long, D. Yi, L. Vongyee, P. Zheng, J. Mat. and Des. 45 (2013) 198-205.
- [5] H. Melkampour, M. Askari, M. Saeedi Ghanbari, M. Fazalibek, J. of Nanomaterials; 2010. doi:10.1155/2010/264978. Unpublished results.
- [6] C. Thongpin, N. Kutanate, K. Kasipueang and N. Suwanwanit, J. of Mat. Mat. and Min. 22 (2012) 105-117.
- [7] J. Jeerupun, J. Woosithikasatkhan, P. Phinyocheep, Macro. Sym. (2004) 216:281-92.

ภาคผนวก ข  
นำเสนอผลงานทางวิชาการ

นำเสนอผลงานทางวิชาการในงานประชุม The Asia Pacific Rubber Conference (APRC) 2013 วันที่ 5-6 กันยายน 2556 เวลา 08.30-16.30 น. ณ โรงแรมไดมอน พลาซ่า จังหวัดสุราษฎร์ธานี ในหัวข้อ Thermal and Mechanical Properties of Mulch Film from Poly(Lactic Acid)/Expoxydized Natural Rubber Blends Filled with Rutile TiO<sub>2</sub> as fillers นำเสนอผลงานแบบ Oral Presentation



### Outline

1 Introduction

2 Experimental

3 Result & Discussion

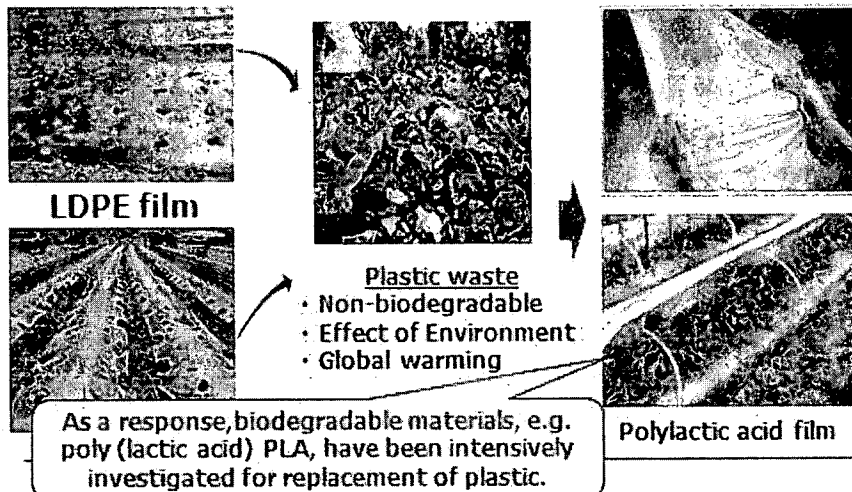
4 Conclusion

5 Acknowledgements

## Agricultural film

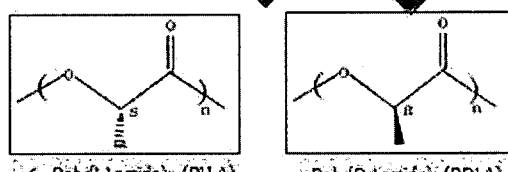
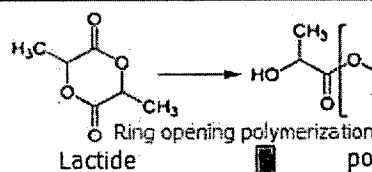
### Introduction

The environmental impact of petrochemical-based plastic wastes has become a global concern in recent years.



## Polylactic acid (PLA)

### Introduction



**Advantages**

- high strength
- high modulus
- biocompatible/bioabsorbable
- biodegradability and ecosystem friendly properties

**Disadvantages**

- high brittleness
- Low crystallization

#### Applications

- Medical applications
- Industrial packaging fields (yard waste bags, food container)
- agriculturs





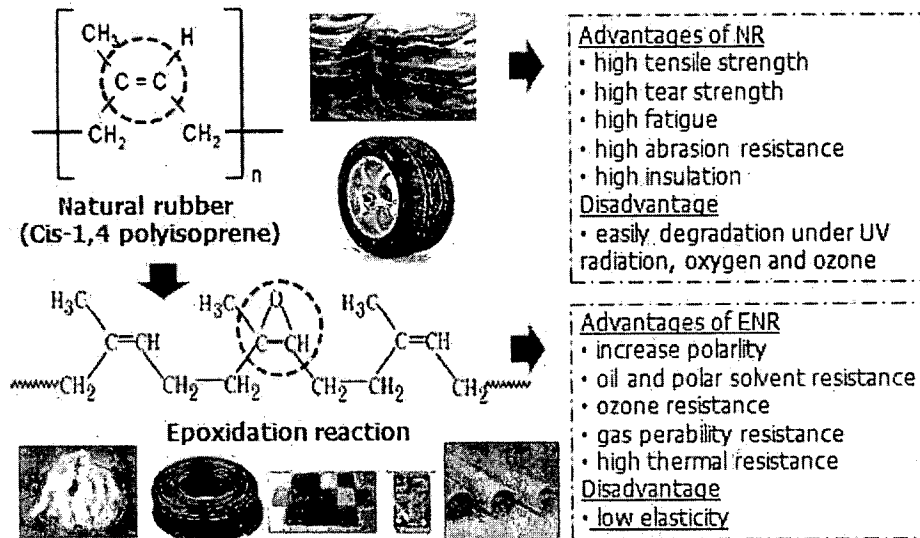
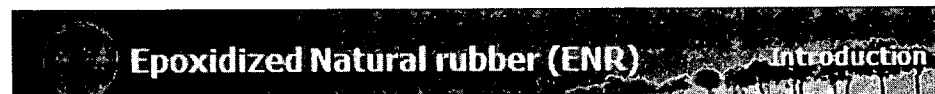
**PLA can be easily damaged by UV when it is used outdoor.**

		Bond energy (kJ/mol)
PLA	C-O	326
	C-C	332
	C-H	414
Ultraviolet (UV)	200 nm	598
	300 nm	379

**TiO<sub>2</sub> with three distinct polymorphs :**

TiO <sub>2</sub> type	properties
Anatase (A-)	adapted to photocatalytic application
Rutile (R-)	exhibits a high refractive index and hiding powder, as well as good chemical Stability and UV light screening effects.
brookite	Unique crystal

5



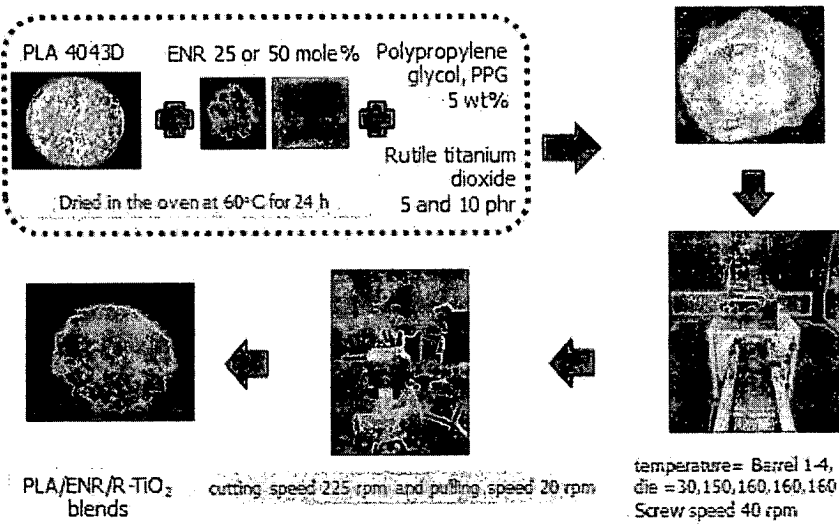
## Objective

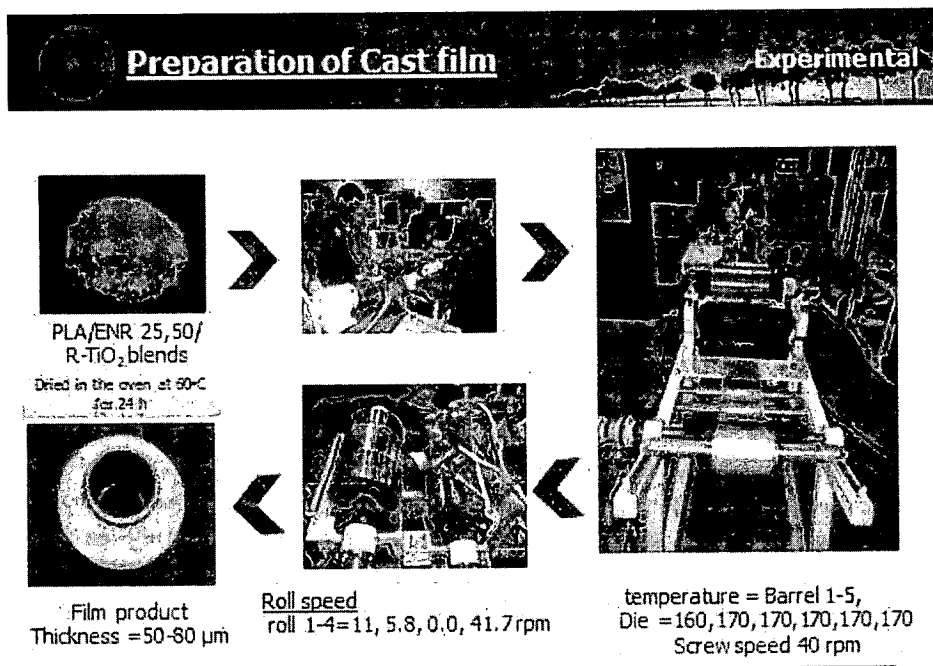
- The aim of this research was to reduce the brittleness and to improve thermal properties of PLA.
- Blends of PLA with 10wt% ENR containing 25 mol% (ENR25) and 50 mol% (ENR50) of epoxidation and various contents of R-TiO<sub>2</sub> were prepared by melt blending in a twin-screw extruder.
- The blend pellets were then casted as thin film using a cast film extrusion.
- The thermal and mechanical properties of the film have been investigated in order to understand the effects of the R-TiO<sub>2</sub> additives on the stability of the mulch film application.

7

## Preparation of PLA/ENR blends

### Experimental





9

**Thermal Properties of mulch film (PLA/ENR) Result & dissusion**

**Table 1.** Thermal properties and the crystallinity of neat PLA, PLA/ENR25 and PLA/ENR50 (90/10) films obtained from the first heating scan at heating rate 10 °Cmin<sup>-1</sup>

samples	T <sub>g</sub> (°C)	T <sub>c</sub> (°C)	T <sub>m1</sub> (°C)	T <sub>m2</sub> (°C)	%Crystallinity
neat PLA	63.71	96.78	-	153.92	39.38
PLA/ENR25	55.24	106.16	147.49	156.27	38.44
PLA/ENR25/5 phr TiO <sub>2</sub>	57.70	107.17	148.66	157.27	38.80
PLA/ENR25/10 phr TiO <sub>2</sub>	56.45	97.83	144.69	155.44	35.31
PLA/ENR50	57.23	103.00	147.33	155.92	35.81
PLA/ENR50/5 phr TiO <sub>2</sub>	57.42	103.66	147.00	155.29	36.71
PLA/ENR50/10 phr TiO <sub>2</sub>	57.70	99.84	146.20	154.83	34.58

## Thermal stability

Result & dissusion

**Table 2.** Thermal stability of PLA/ENR (90/10) film filled with R-TiO<sub>2</sub> fillers obtained from the first heating scan at heating rate 10° Cmin<sup>-1</sup>.

samples	Decomposition temperature			
	T <sub>d5</sub> (°C)	T <sub>i</sub> (°C)	T <sub>dmax</sub> (°C)	T <sub>f</sub> (°C)
neat PLA	120.1	340.8	358.8	374.2
PLA/ENR25	180.1	316.4	350.9	366.7
PLA/ENR25/5 phrTiO <sub>2</sub>	241.0	308.5	351.6	364.4
PLA/ENR25/10 phrTiO <sub>2</sub>	244.9	305.0	351.6	363.4
PLA/ENR50	230.4	321.3	357.6	370.5
PLA/ENR50/5 phrTiO <sub>2</sub>	250.0	312.6	355.2	369.9
PLA/ENR50/10 phrTiO <sub>2</sub>	284.7	314.9	353.9	365.7

11

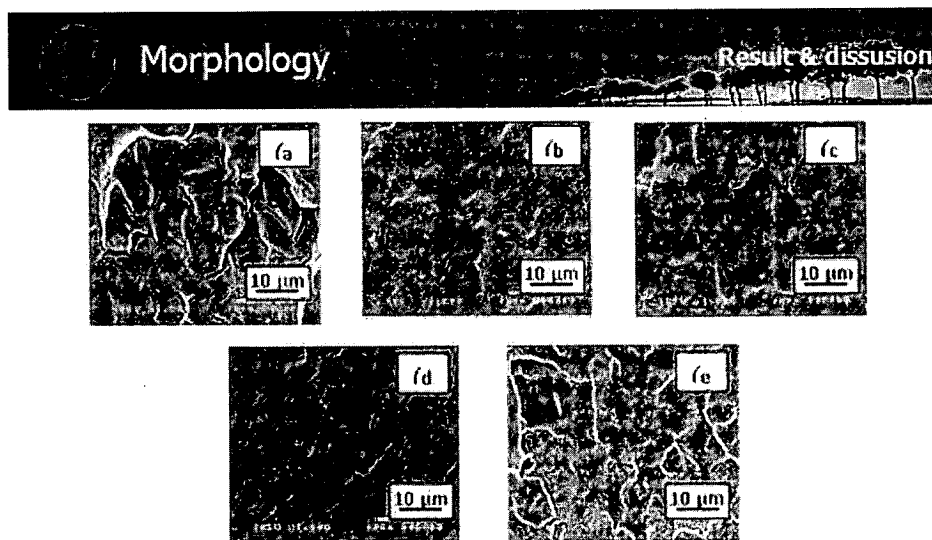
## Mechanical properties of mulch film

Result & dissusion

**Table 3.** The Mechanical properties of mulch film from PLA/ENR as R-TiO<sub>2</sub> fillers

samples	Tensile strength (MPa)	Elongation at break (%)
neat PLA	5.69 ± 0.37	5.92 ± 1.12
PLA/ENR25	3.51 ± 0.22	9.11 ± 3.61
PLA/ENR25/5 phrTiO <sub>2</sub>	3.31 ± 0.45	24.56 ± 6.77
PLA/ENR25/10 phrTiO <sub>2</sub>	3.62 ± 0.25	23.11 ± 9.63
PLA/ENR50	3.52 ± 0.39	20.79 ± 8.00
PLA/ENR50/5 phrTiO <sub>2</sub>	3.95 ± 0.26	25.05 ± 14.78
PLA/ENR50/10 phrTiO <sub>2</sub>	3.23 ± 0.27	23.97 ± 7.83

12



**Figure 1.** SEM photographs of 90/10 PLA/ENR25 and PLA/ENR50 blends containing various Rutile  $\text{TiO}_2$  contents; (a) neat PLA, (b) PLA/ENR25 ( $\text{TiO}_2$ =5 phr) (c) and PLA/ENR25 ( $\text{TiO}_2$ =10 phr), (d) PLA/ENR50 ( $\text{TiO}_2$ =5 phr) and (e) PLA/ENR50 ( $\text{TiO}_2$ =10 phr) (magnification x1000).

13

## Conclusion

The blends of PLA/ENR were successfully prepared by incorporating epoxidized natural rubber (ENR) and R-TiO<sub>2</sub> as UV stabilizer using melt blending.

- Morphology of PLA/ENR blends showed that epoxidized natural rubber was compatible with PLA matrix. After melt blending, the blends were almost amorphous, and ENR hindered the crystallization of PLA due to the crosslinking between ENR and PLA molecular chains.
- The incorporation of ENR25 greatly reduced the thermal stability of the PLA, while ENR50 had a less impact.
- The elongation at break of the blends were enhanced with add ENR content whereas resulted in reduced tensile strength.
- R-TiO<sub>2</sub> showed higher thermal stability for mulch film due to T<sub>d,5%</sub> was increased with increasing of R-TiO<sub>2</sub> contents than that of neat PLA. The addition of ENR and R-TiO<sub>2</sub> was found to enhance both toughness and thermal stability of PLA

1



## ภาคผนวก ค

จากการสรุปข้อคิดเห็นจากผู้ทรงคุณวุฒิต่อร่างรายงานฉบับสมบูรณ์ของโครงการ “สมบัติของใบโถพลาสติกอิเล็กทรอนิกส์และยางธรรมชาติอิพอกไซด์โดยใช้ไฟฟ้าเนียมไดออกไซด์ เป็นสารตัวเติมเพื่อทำฟิล์มคลุมดิน” สัญญาเลขที่ RDG5550072 ดังนี้

### ความเห็นด้านการพิมพ์ (Editorial)

#### ความเห็นของผู้ทรงคุณวุฒิท่านที่ 1

1. มีคำพิดในบางส่วนเพียงเล็กน้อย ควรปรับปรุงแก้ไข  
- ได้ทำการแก้ไขแล้ว

### ความเห็นด้านวิชาการ (Technical)

#### ความเห็นของผู้ทรงคุณวุฒิท่านที่ 1

1. ตารางที่ 2 ควรเพิ่มข้อมูลสารตั้งต้น ENR 25 และ ENR 50  
- ได้ทำการแก้ไขแล้ว หน้า 22
2. หัวข้อ 1.2.3 รูปที่ 1 สิ่งที่เขียนไม่สามารถสังเกตเห็นได้อย่างชัดเจนในรูปที่ 1 (การแสดงตัวเลขในรูปด้วย)  
- ได้ทำการแก้ไขแล้ว หน้า 39
3. ควรเพิ่มเติมสารบัญ  
- ได้ทำการแก้ไขแล้ว หน้า 8
4. ยังขาดรายละเอียดของสารเคมี ควรใส่ที่มาของสารเคมี วิธีการทดลอง ที่บอกถึงสภาวะในการทดลอง เช่นใช้เครื่องอะไร scanning rate เท่าไร หรือวิเคราะห์กี่ตัวอย่าง เป็นต้น  
- ได้ทำการแก้ไขแล้ว หน้า 25
5. ควรทดลองขึ้นรูป Film และทดสอบการใช้งานจริงกับแบล็งทดสอบขนาดเล็ก  
- ไม่สามารถทำได้เนื่องจากวัสดุและสารเคมีไม่เพียงพอสำหรับการทำวิจัย
6. ผลงานที่ได้ยังมีหนักไม่มากพอด้วย ข้อมูลที่แสดงยังขาดความน่าเชื่อถือในหลายส่วน  
- ได้ทำการแก้ไขแล้ว
7. ในวิธีการทดลอง มีวิธีการทำฟิล์ม 2 แบบ แบบที่ 1 ทำด้วย cast film แบบที่ 2 ใช้วิธีการเป่าใช่ หรือไม่ ไม่มีข้อมูลของวิธีที่ 2  
- ได้ทำการลองเฉพาะ ในส่วน cast film ส่วน blow film ไม่สามารถทำได้เนื่องจากเครื่องมือ ชำรุดซึ่งได้แจ้งให้ทราบแล้วตอนที่มีการรายงานความก้าวหน้า ครั้งที่ 1
8. ไม่ค่อยได้สังเคราะห์ความรู้ใหม่ มักยกคำอธิบายของงานที่อ้างอิงมากกว่า  
- ได้ทำการแก้ไขแล้ว หน้า 39-99
9. ไม่น่าจะไม่ได้ทำข้ามกาง มีข้อมูลบางส่วนมีความแปรปรวนสูง  
- ได้ทำการทดลองเยอะมาก แต่เนื่องจากผลของพอลิเมอร์เข้ากันได้ไม่ดีส่งผลให้ค่าที่ได้มีความแปรปรวน
10. ข้อมูลที่รายงานไม่น่าจะเป็นข้อมูลที่มีการทำข้าม ควรตรวจสอบและให้รายละเอียดในวิธีการว่าได้ทำข้ามกันน้อยหรือไม่/อย่างไร ผลสรุปยังไม่ชัดเจนพอโดยเฉพาะการทดสอบ การสือมสภาพของ Bioplastic ที่ได้  
- ได้ทำการแก้ไขแล้ว หน้า 39-99

## ความเห็นของผู้ทรงคุณวุฒิท่านที่ 2

1. ควร trabhwan ข้อมูลผลการทดสอบ เนื่องจากที่รายงานมาค่อนข้างน้อย  
- ได้ทำการแก้ไขแล้ว หน้า 39
2. ขาดส่วนของสารบัญและเลขหน้า (ได้มีการแจ้งในรอบ 6 เดือนแล้ว)
- ได้ทำการแก้ไขแล้ว หน้า 8
3. การอธิบายผลควรอธิบายให้ครบ ไม่ควรสรุปอย่างเดียวควรอธิบายตัวแปรอื่นๆด้วยไม่ใช่อธิบายเฉพาะตัวที่ดีที่สุดอย่างเดียว  
- ได้ทำการแก้ไขแล้ว หน้า 39-99
4. ในส่วนของรายงานกับบทสรุปย่อที่ส่งให้ สกว. ไม่ควรเหมือนกันทั้งหมด ในส่วนของรายงานควรเขียนอธิบายให้ละเอียด  
- ได้ทำการแก้ไขแล้ว หน้า 6
5. ควรมีการอธิบายว่าเมื่อใช้  $TiO_2$  ว่าทำไมไม่สามารถปรับปรุงสมบัติความทนทานต่อ UV ได้ในการทำวัสดุครั้งนี้  
- ได้ทำการแก้ไขแล้ว หน้า 83
6. หัวข้อที่ 2.2 การอธิบายในเรื่องการฉีกขาดที่ลดลงว่าเนื่องมาจากความเชื่อมกันได้บางส่วนของยาง และ PLA ไม่น่าจะใช้ โดยเฉพาะยาง ENR20 น่าจะเป็นผลมาจากการบริมาณ  $TiO_2$  ที่มากเกินจนทำให้ความเป็นยางน้อยลงจึงขาดง่าย  
- ได้ทำการแก้ไขแล้ว หน้า 65
7. 在การเขียนวัสดุและสารเคมี ควรมีรายละเอียดมากกว่าที่ใส่มา เช่น แหล่งที่ได้ หรือรายละเอียดอื่นๆ  
- ได้ทำการแก้ไขแล้ว หน้า 22
8. ใน การทดสอบ รายละเอียดบวกว่าจะทำอะไรบ้าง แต่สิ่งที่แสดงเป็นรูปนั้นไม่ครบ ซึ่งไม่เข้าใจว่า นักวิจัยได้ทำทุกอย่างตามที่อธิบาย แต่รูปที่ใส่ในรายงานไม่ครบหรือไม่ เนื่องจากเวลาอธิบายนักวิจัยอธิบายแค่รูปที่ใช้มา เช่น
  - 2.4.2 บอกว่าใช้ ENR 25 และ 50% นักวิจัยอธิบายเพียง 50% เท่านั้นไม่ได้กล่าวถึง 25% ควรมีคำอธิบาย
  - ได้ทำการแก้ไขแล้ว หน้า 44
  - 1.2.4 ทำเพียง 5-10 phr ตามรูป
9. ควรปรับปรุงให้ต้นทุนต่ำกว่าเดิมเพื่อให้แข่งขันกับสารทางการค้าให้ได้ แล้วนำไปใช้กับงานด้านอื่นๆ ที่มากกว่าพิล์มคลุมดิน เพื่อสู้กับสิ่งที่มีขายในห้องตลาดได้
  - ควรมีการศึกษาวิจัยเพิ่มเติมในการหาสารลดต้นทุนมาปรับปรุงสมบัติของ PLA/ENR